

Teoretická anorganická chemie

3. část

Teorie hybridizace

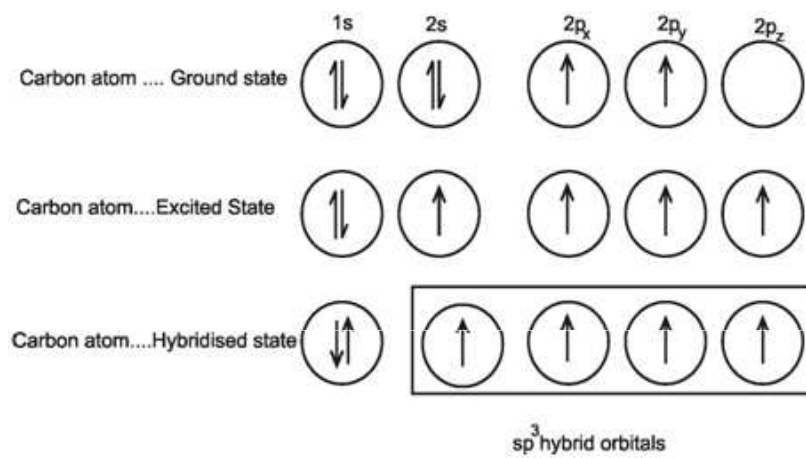
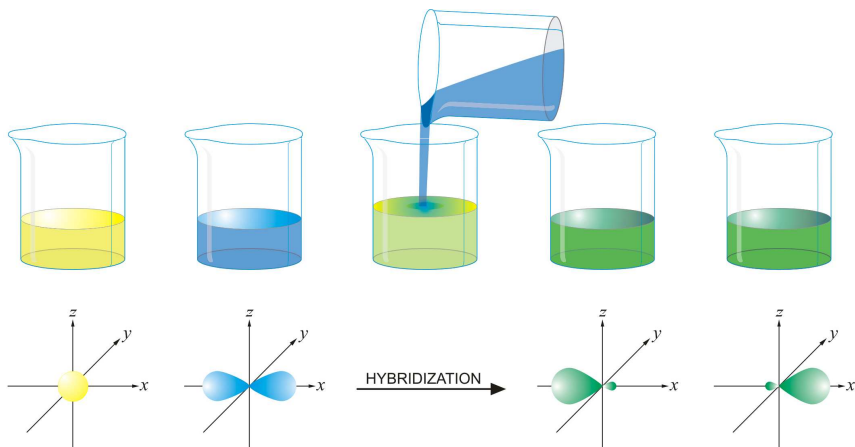
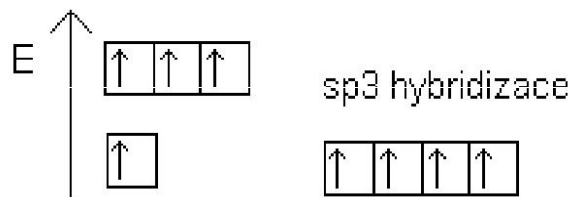
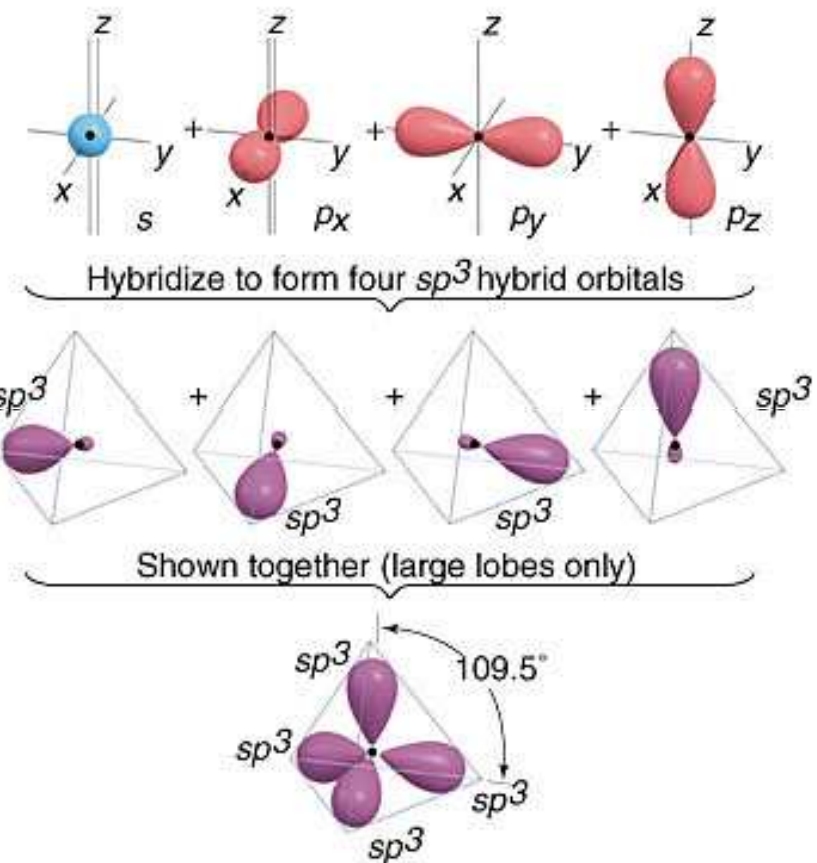
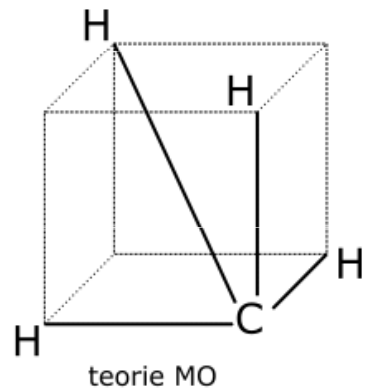
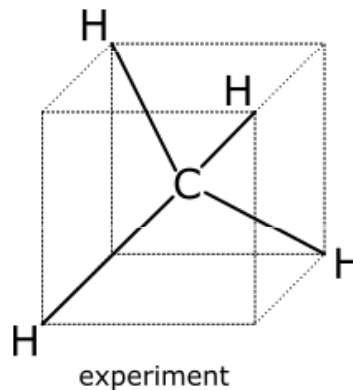
= založena na představě hybridizace (směšování AO) - opět vychází z teorie superpozice stavů \Rightarrow lineární kombinace AO nalezených řešením Schrödingerovy rovnice jsou pro umístění elektronů právě tak vhodnými orbitaly jako původní AO. Umožňuje vysvětlit i případy, geometrie AO atomů jež vytvářejí molekulu nedovoluje vysvětlit vznik těchto vazeb jednoduchým překryvem AO

např. ze 2 energeticky a geometricky rozdílných AO vznikají 2 energeticky degenerované orbitaly, mající stejný tvar, liší se pouze orientací v prostoru

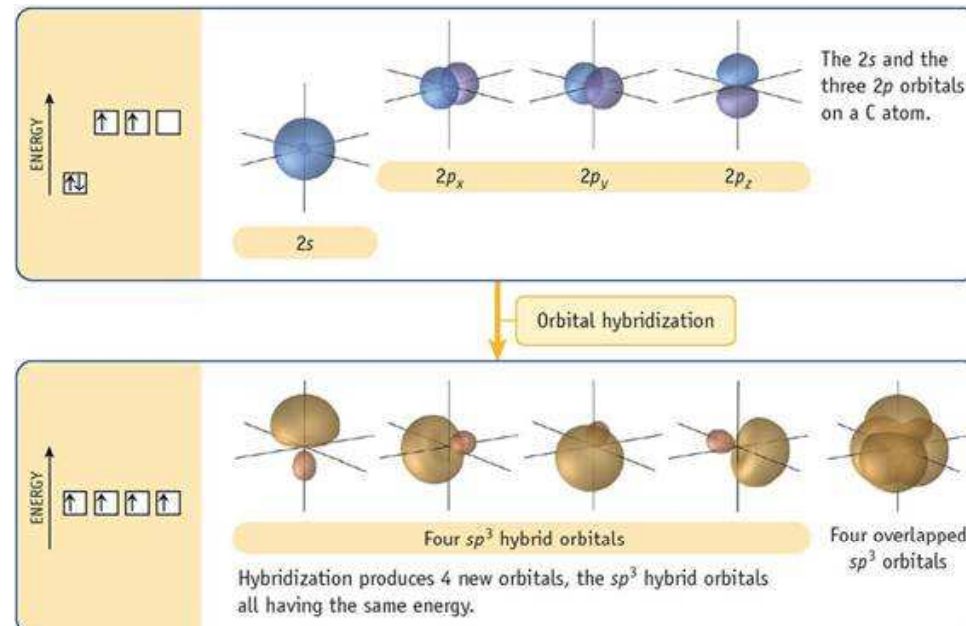
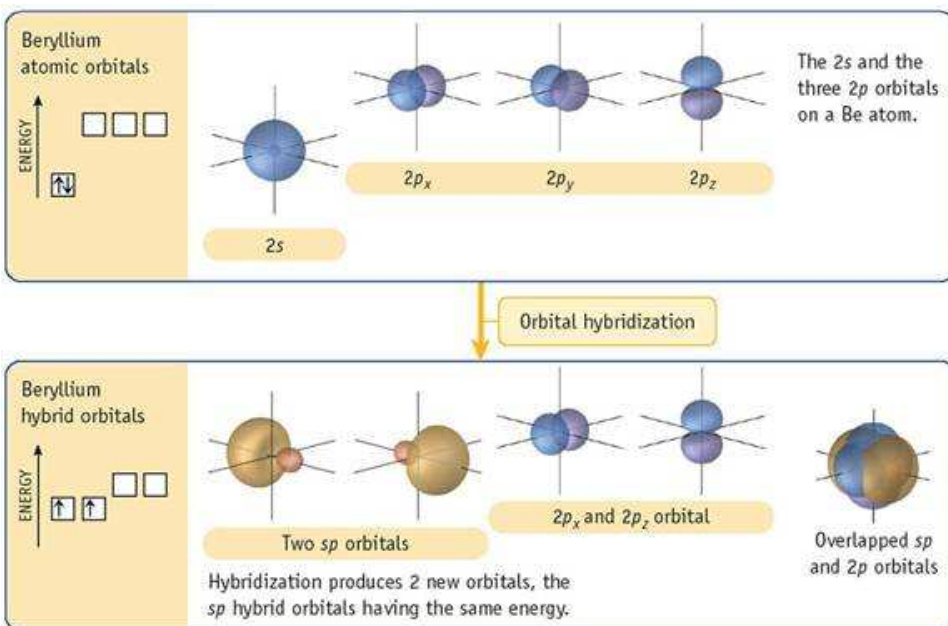
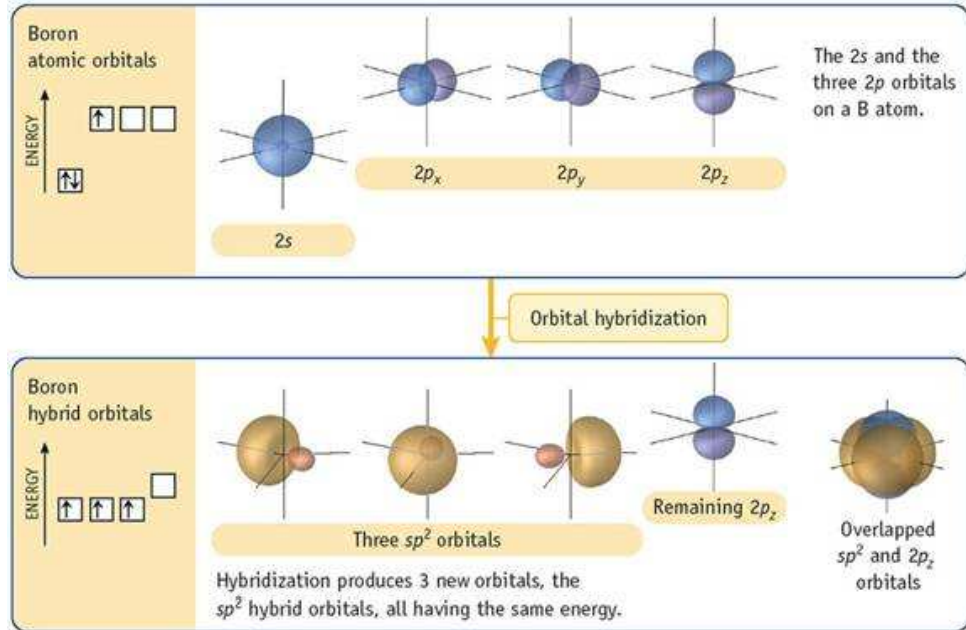
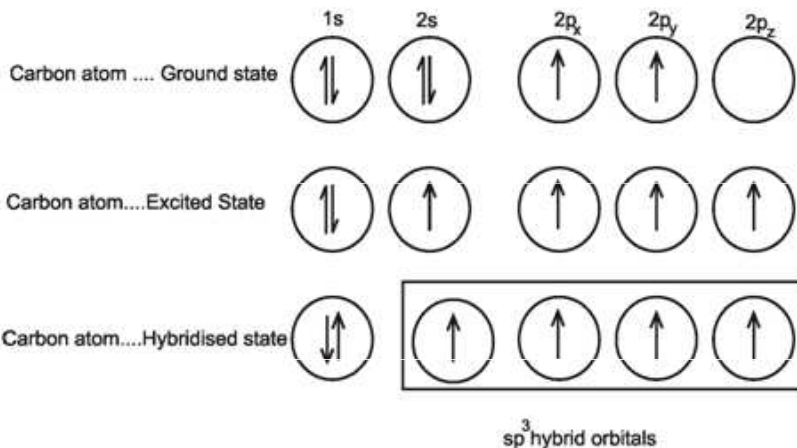
Podmínky:

- energie hybridizujících se AO nesmí být příliš rozdílná
- vhodná symetrie
- vzniká tolik HAO, kolik se AO hybridizace účastní
- odvození tvaru jednoduché molekuly vychází z předpokladu, že tvar molekuly je určován tvarem HAO na středovém atomu. Vazby středového atomu s ostatními vazeb. partnery jsou realizovány překryvem HAO s AO vazebných partnerů.

Hybridizace

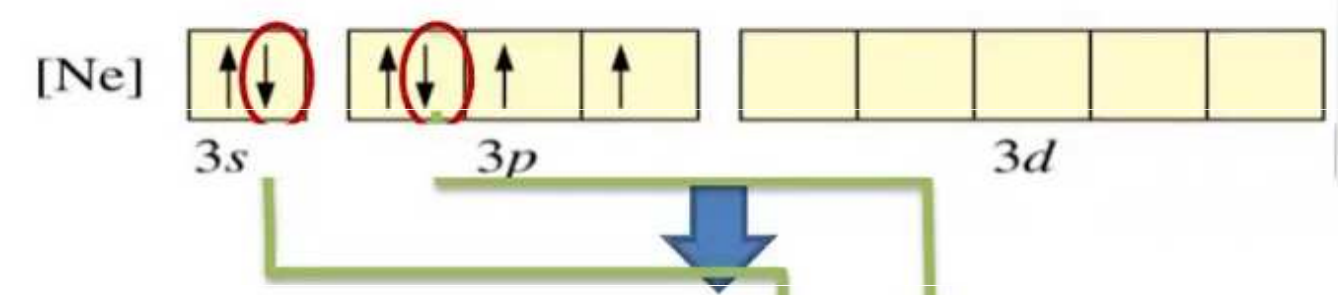


Hybridizace

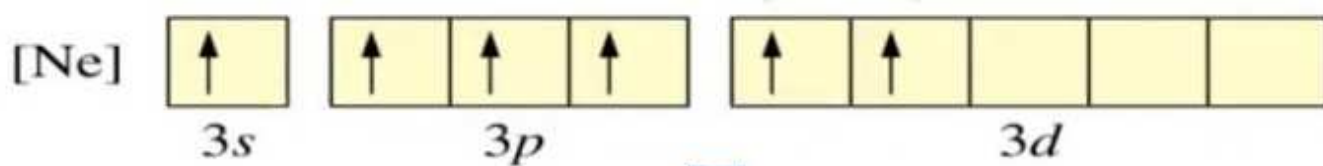


d^2sp^3 Hybridization

Sulfur

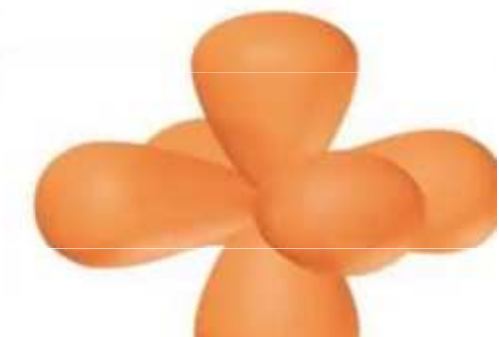
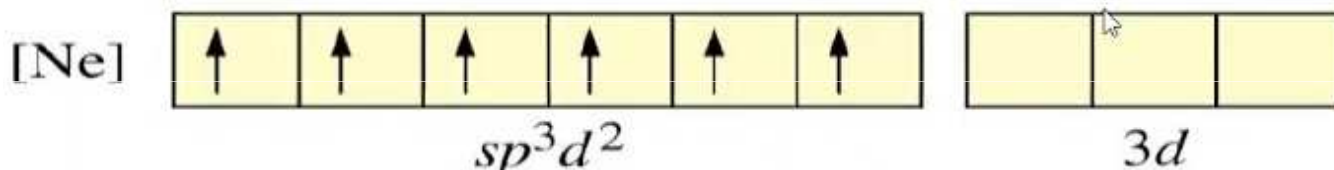


**Ground State
e⁻ config**

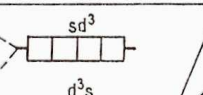
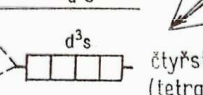
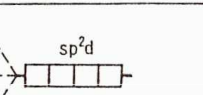
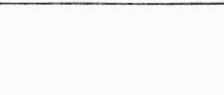
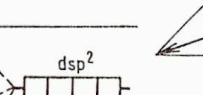
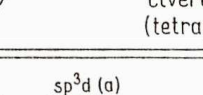
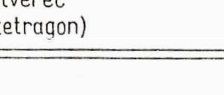
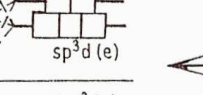
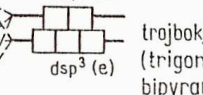
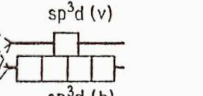
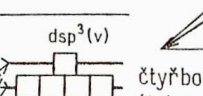
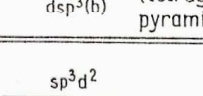


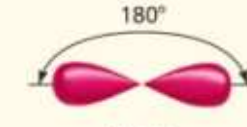
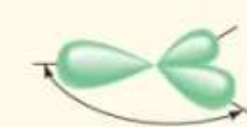
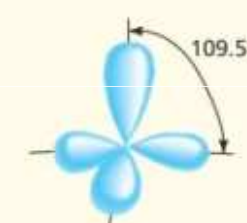
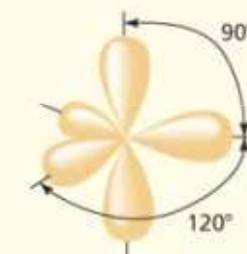
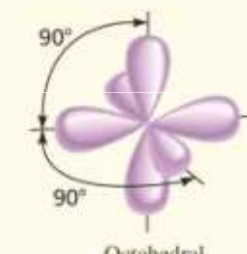
Excited State

Formation of new hybrid orbitals



Hybridizace s účastí orbitalů d

Hybridizace	Užité AO	Energetické schéma	Směry vývinu HAO, název geometricko- ho tvaru	Počet HAO
SD^3	$n(d_{xy}, d_{xz}, d_{yz})$ $n\ s$		sd^3 	4
D^3S	$n\ s$ $(n-1)(d_{xy}, d_{xz}, d_{yz})$		d^3s čtyřstěn (tetraedr)	4
SP^2D	$n(d_{x^2-y^2})$ $n(p_x, p_y)$ $n\ s$		sp^2d 	4
DSP^2	$n(p_x, p_y)$ $n\ s$ $(n-1)d_{x^2-y^2}$		dsp^2 čtverec (tetragon)	4
$SP^3D_{z^2}$	$n(d_{z^2})$ $n(p_x, p_y, p_z)$ $n\ s$		$sp^3d(a)$ 	5
$D_{z^2}SP^3$	$n(p_x, p_y, p_z)$ $n\ s$ $(n-1)d_{z^2}$		$dsp^3(g)$ trojúhelník (trigonální bipyramida)	5
$SP^3D_{x^2-y^2}$	$n(d_{x^2-y^2})$ $n(p_x, p_y, p_z)$ $n\ s$		$sp^3d(v)$ 	5
$D_{x^2-y^2}SP^3$	$n(p_x, p_y, p_z)$ $n\ s$ $(n-1)d_{x^2-y^2}$		$dsp^3(v)$ čtyřboký jechlan (tetragonální pyramida)	5
SP^3D^2	$n(d_{z^2}, d_{x^2-y^2})$ $n(p_x, p_y, p_z)$ $n\ s$		sp^3d^2 	6
D^2SP^3	$n(p_x, p_y, p_z)$ $n\ s$ $(n-1)(d_{z^2}, d_{x^2-y^2})$		d^2sp^3 osmistěn (oktaedr)	6

Pure Atomic Orbitals of the Central Atom	Hybridization of the Central Atom	Number of Hybrid Orbitals	Shape of Hybrid Orbitals	Examples
s, p	sp	2	180° Linear	 BeCl ₂
s, p, p	sp^2	3	120° Trigonal planar	 BF ₃
s, p, p, p	sp^3	4	109.5° Tetrahedral	 CH ₄ , NH ₄ ⁺
s, p, p, p, d	sp^3d	5	90°, 120° Trigonal bipyramidal	 PCl ₅
s, p, p, d, d	sp^3d^2	6	90° Octahedral	 SF ₆

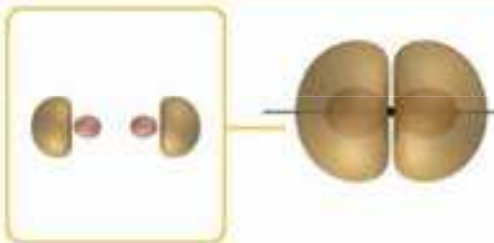
Hybridizace

Arrangement of Hybrid Orbitals

Geometric figure

Example

Two electron pairs
 sp

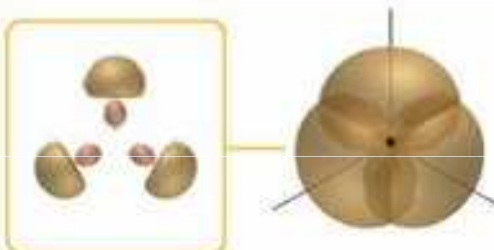


Linear

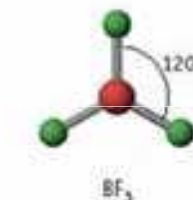


$BeCl_2$

Three electron pairs
 sp^2

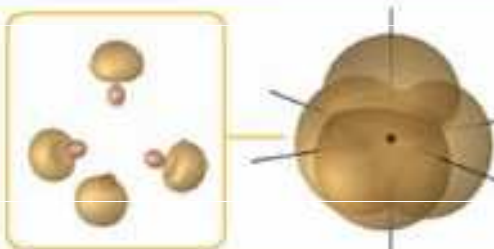


Trigonal-planar

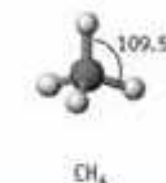


BF_3

Four electron pairs
 sp^3

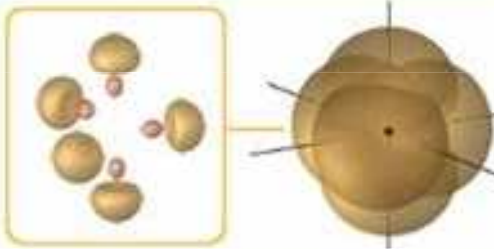


Tetrahedral

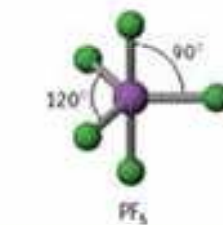


CH_4

Five electron pairs
 sp^3d

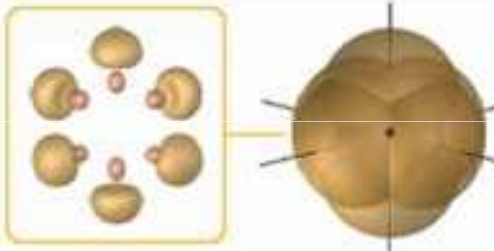


Trigonal-bipyramidal

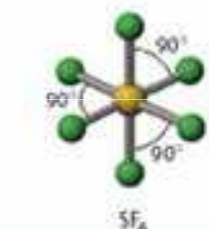


PF_5

Six electron pairs
 sp^3d^2



Octahedral



SF_6

Počet orbitalů zahrnutých do hybridizace

Počet orbitalů zahrnutých do hybridizace (H):

$$H = (V + M - C + A)/2$$

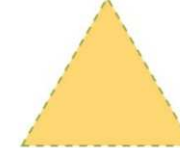
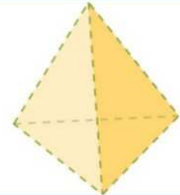
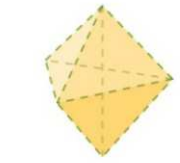
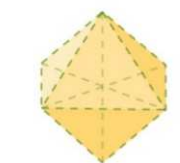
kde V = počet elektronů ve valenční vrstvě centrálního atomu, M = počet jednovazných atomů, C = náboj kationtu, A = náboj aniontu.

$$H = 2 \rightarrow sp \quad (1s + 1p = 2)$$

$$H = 3 \rightarrow sp^2 \quad (1s + 2p = 3)$$

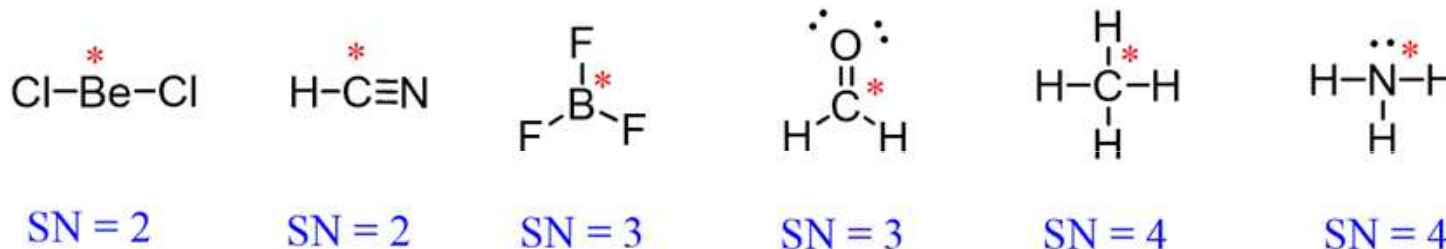
$$H = 4 \rightarrow sp^3 \quad (1s + 3p = 4)$$

Hodnota H je číselně rovna
sterickému číslu (steric number,
SN)

Regions of Electron Density	Arrangement	Hybridization	
2	-----	linear	sp
3		trigonal planar	sp^2
4		tetrahedral	sp^3
5		trigonal bipyramidal	sp^3d
6		octahedral	sp^3d^2

Sterické číslo

Steric Number (SN) = (počet volných elektronových párů na centrálním atomu) + (počet atomů vázaných na centrální atom)



If the **steric number is 4**, it is sp^3

If the **steric number is 3** – sp^2

If the **steric number is 2** – sp

Příklad



hybridizace atomů N, N a O je sp, sp a sp^3 .

Hybrid orbitals: sp^3 , sp^2 , and sp

To maximize distances between repulsive electron pairs, atomic s and p orbitals mix, or "hybridize", resulting in orbitals intermediate in character between s and p :

Name	s	p	Total hybrid orbitals	Unhybridized "leftover" p orbitals	Orbital geometry	(Example
sp^3	1	3	4	0	Tetrahedral	(109°)	CH_4
sp^2	1	2	3	1	Trigonal planar	(120°)	BH_3
sp	1	1	2	2	Linear	(180°)	BeCl_2

Lone pairs may also occupy hybrid orbitals. In these cases the molecular geometry will differ from the orbital geometry

e.g. for some sp^3 hybridized cases:

Example	Attached atoms	Attached lone pairs	Orbital geometry	Molecular geometry
CH_4	4	0	Tetrahedral	Tetrahedral
NH_3	3	1	Tetrahedral	Trigonal pyramidal
H_2O	2	2	Tetrahedral	"Bent"

Počet orbitalů zahrnutých do hybridizace

$$\text{HP} = \text{počet } \sigma\text{-vazeb} + \text{počet volných elektronových párů} - 1$$

HP	počet σ -vazeb a volných elektronových párů	hybridizace
1	2	sp
2	3	sp^2
3	4	sp^3
4	5	sp^3d
5	6	sp^3d^2
6	7	sp^3d^3

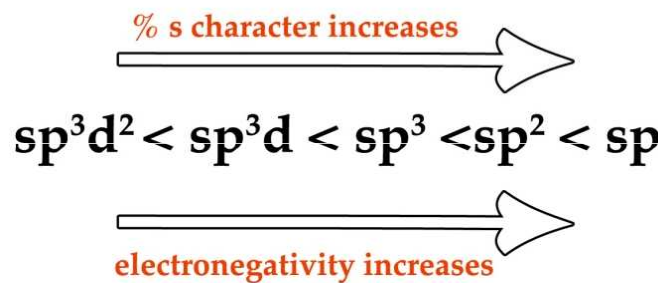
HP = hybridisation power

počet σ -vazeb a volných elektronových párů =
sterické číslo (viz VSEPR)

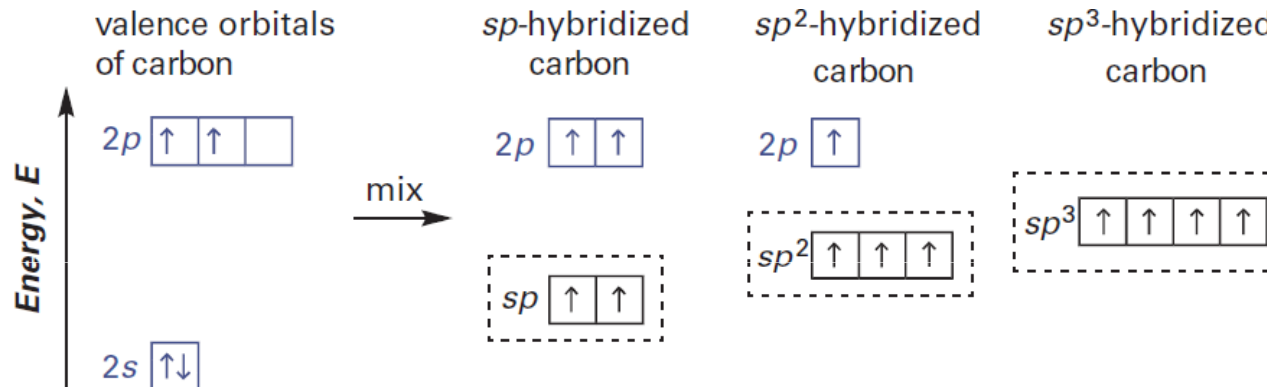
s- a p-charakter hybridních orbitalů

s-charakter hybridního orbitalu - hybridní orbital má vyšší podíl původního s-orbitalu a nižší podíl původního p-orbitalu.

p-charakter hybridního orbitalu - hybridní orbital má vyšší podíl původního p-orbitalu a nižší podíl původního s-orbitalu.



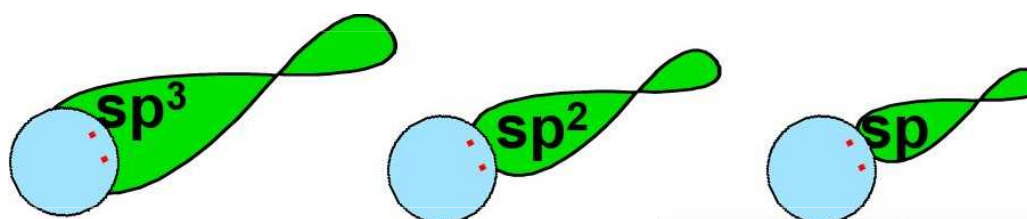
s-orbitaly mají nižší energii než p-orbitaly. Větší s-charakter hybridního orbitalu snižuje energii hybridních orbitalů a proto se více podobají s-orbitalům. Větší p-charakter zvyšuje energii hybridních orbitalů a proto se tyto více podobají p-orbitalům.



s-orbitaly jsou blíže jádru, jsou více penetrující a elektronová hustota je méně dostupná pro vazbu - proto stabilizují volný elektronový pár. Důsledkem většího s-charakteru je menší repulse, menší hybridizační energie a menší vazebný úhel. Totéž platí vice versa o vyšším p-charakteru hybridních orbitalů. Nejstabilnější uspořádání je tudíž využití p-orbitalů pro vazbu a s-orbitalů pro tvorbu volných elektronových párů.

Elektronegativita a hybridizace

s-orbital je nejblíže atomovému jádru, vazebný elektronový pár tvořený s-orbitalem (má větší s-charakter) je více přitahován k jádru - atom vykazuje vyšší elektronegativitu. Čím je vyšší s-charakter, hybridního orbitalu, tím pevnější je vazba.



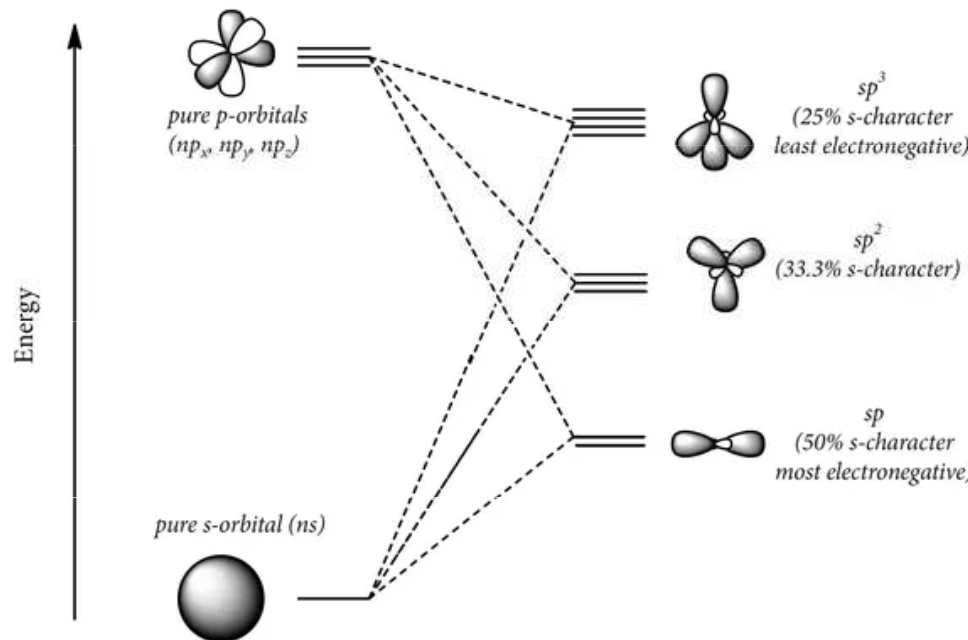
Orbital Size order :

$\text{sp}^3 > \text{sp}^2 > \text{sp}$

Electronegativity order:

$\text{sp} > \text{sp}^2 > \text{sp}^3$

Hybridization	χ (Pauling)
C(sp ³)	2.3
C(sp ²)	2.6
C(sp)	3.1
'generic' C	2.5



© 2016 Aniruddha Mukherji

Bentovo pravidlo

Elektronegativnější atomy preferují vazbu s hybridními orbitaly s menším s-charakterem a větším p-charakterem, které jsou elektropozitivnější.

Elektropozitivnější atomy preferují vazbu s hybridními orbitaly s větším s-charakterem a menším p-charakterem, které jsou elektronegativnější.

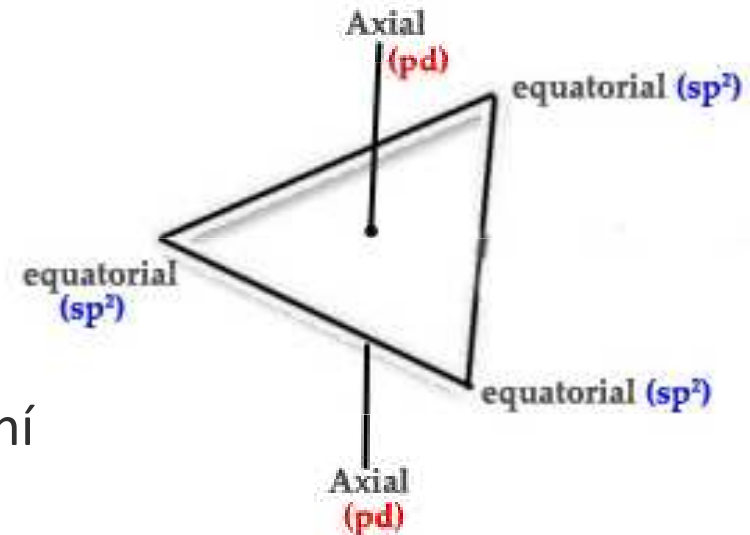


Příklad

Fluorid siřičitý (SF_4)

Molekula SF_4 má obsahuje 4 atomy fluoru a volný elektronový pár, hybridizaci sp^3d a tvar trigonální bipyramidy (TBP).

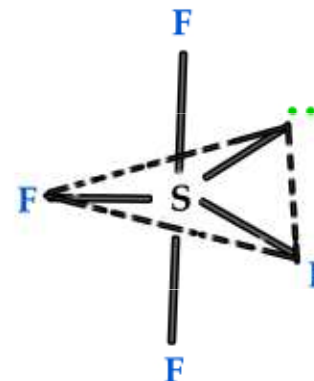
TBP geometrie zahrnuje 3 sp^2 orbitaly v ekvatoriální pozici a 2 pd orbitaly v axiální pozici.



According to Bent's rule,

Equatorial position sp^2 → more s character → will prefer lone pair

Axial position pd → no s character → will prefer Electroneagitive F

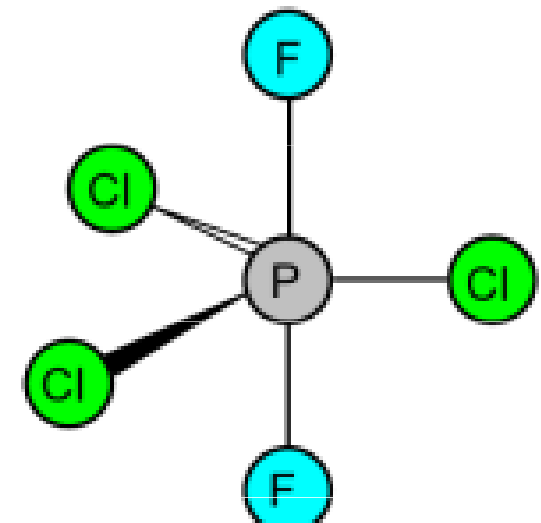


Příklad

Difluorid trichlorid fosforečný (PCl_3F_2)

Molekula PCl_3F_2 má obsahuje 3 atomy chloru a 2 atomy fluoru, hybridizaci sp^3d a geometrii trigonální bipyramidy (TBP).

TBP geometrie zahrnuje 3 sp^2 orbitaly v ekvatoriální pozici a 2 pd orbitaly v axiální pozici.

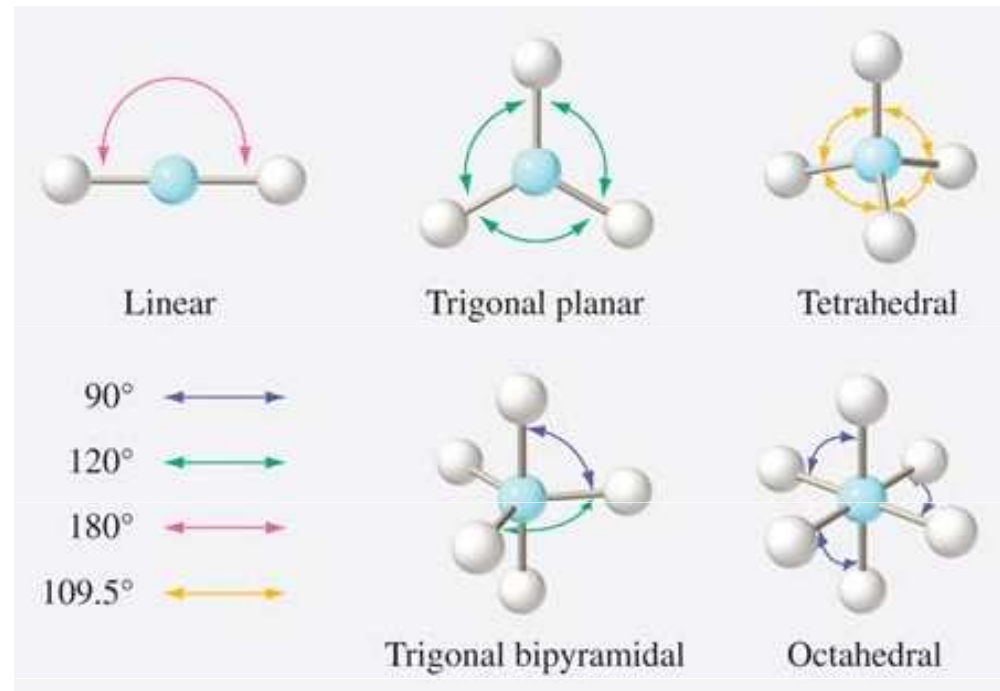


According to Bent's rule ,

Equatorial position sp^2 → more s character → will prefer lone pair

Axial position pd → no s character → will prefer Electroneagative F

Hybridizace a vazebný úhel

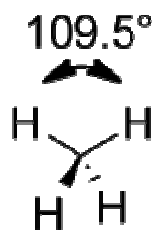


Bentovo pravidlo a vazebný úhel

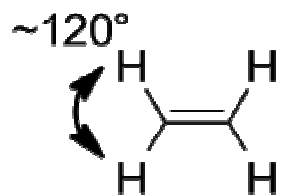
orbitals with **more %s character** → directed towards **electropositive substituents** → θ increases.

orbitals with **less %s character** → directed towards **electronegative substituents** → θ decreases.

sp^3



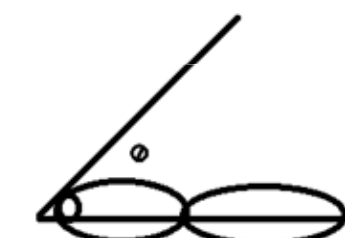
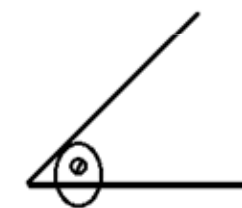
sp^2



sp



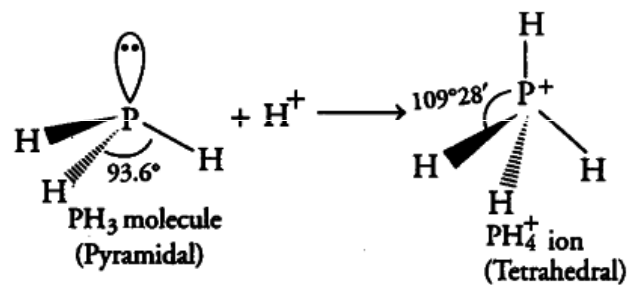
$$\% S \propto \text{Bond angle} \propto \text{bond straight} \propto \frac{1}{\text{Bond length}}$$



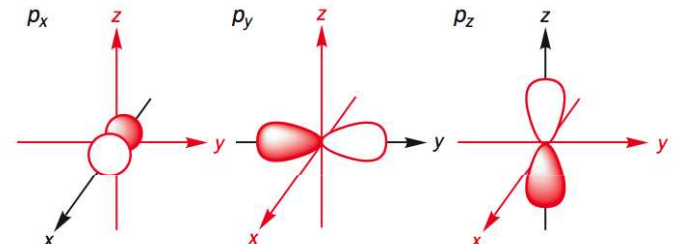
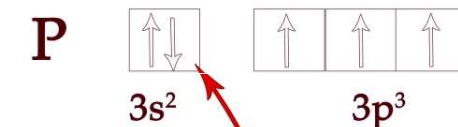
Dragovo pravidlo

U p-prvků 3. a vyšší periody není nutno předpokládat hybridizaci valenčních orbitalů centrálního atomu a vazebný úhel v takových molekulách je blízký 90° pokud:

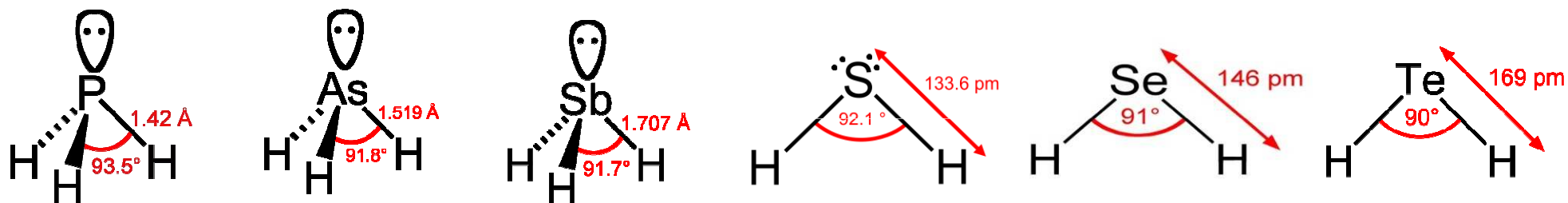
- 1) centrální atom (ze 3. a vyšší periody) má nejméně jeden volný elektronový pár.
- 2) elektronegativita terminálního atomu by měla být menší nebo rovna 2,5 (C, H).
- 3) na centrálním atomu není pozitivní náboj.

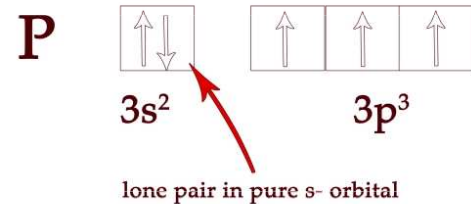
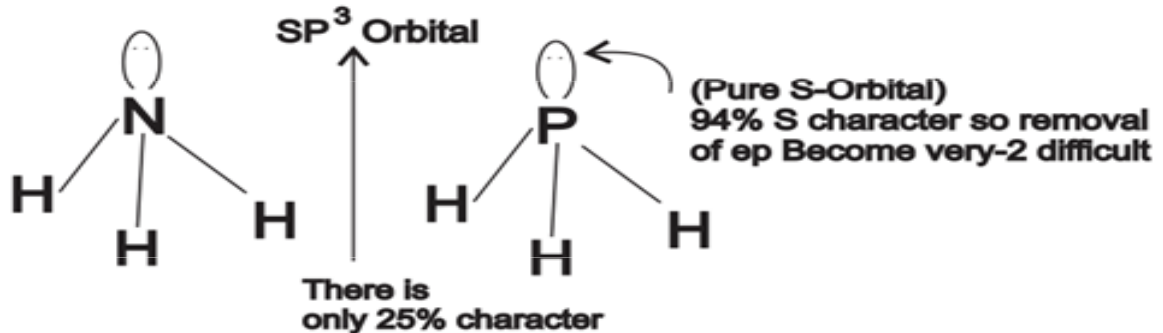


Pravidlo splňují PH_3 , AsH_3 , SbH_3 a H_2S , H_2Se , H_2Te

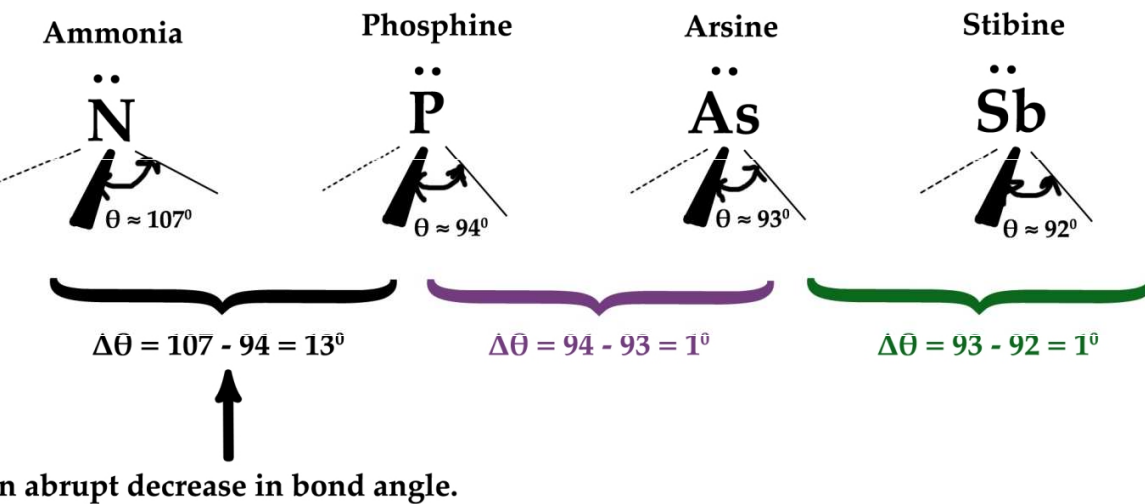


the three degenerate p orbitals are aligned along perpendicular axes

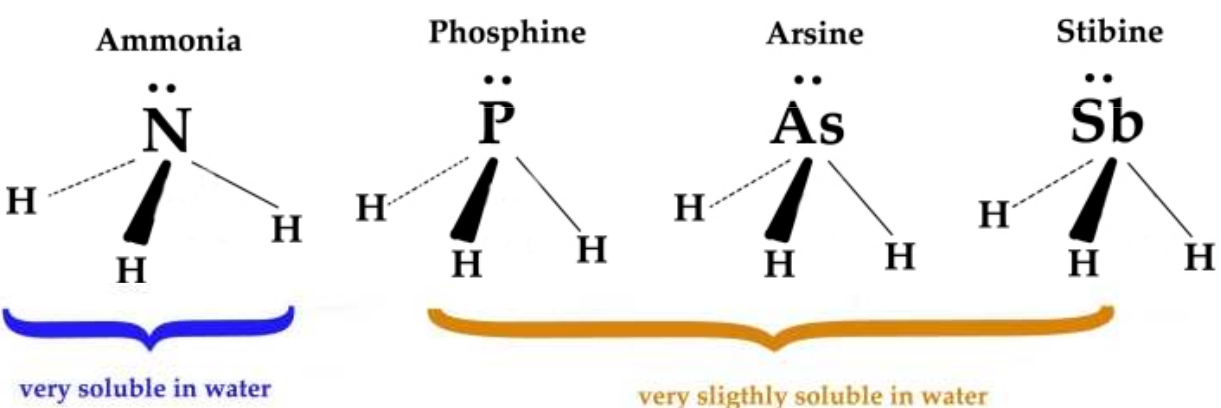




Vazebný úhel



Rozpustnost ve vodě



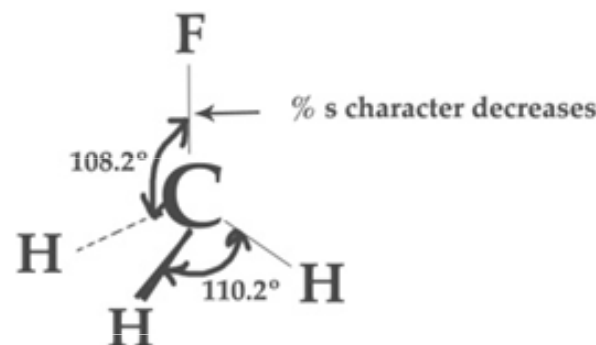
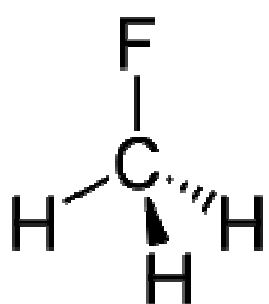
Příklad

Methyl fluorid (CH_3F)

Molekula má sp^3 hybridizaci jako methan. Protože však rozdělení s-charakteru není, v důsledku přítomnosti elektronegativního atomu F u všech hybridních orbitalů stejnoměrné, změní se i vazebné úhly.

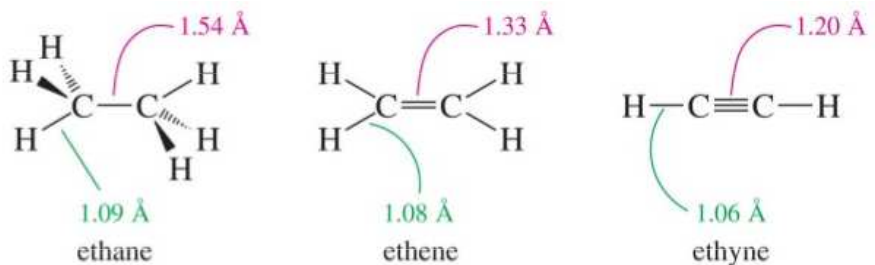
Podle Bentova pravidla orbital s menším s-charakterem bude orientován směrem k více elektronegativnímu prvku – tudíž vazba C-F má menší s-charakter ve srovnání s C-H vazbami a vazebný úhel se zmenší (experimentálně je H-C-F 108.2°) oproti vazebnému úhlu v methanu (109.5°).

Protože s-charakter C-F vazby poklesl, dochází k nárůstu s-charakteru u ostatních tří C-H vazeb, což vede ke zvětšení vazebných úhlů mezi nimi (experimentálně je H-C-H 110.2°) oproti vazebnému úhlu v methanu (109.5°).



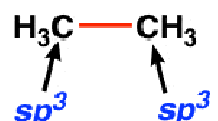
Hybridizace a délka vazby

Délka vazby – závisí na podílu s orbitalům tj.
klesá v řadě $p > sp^3 > sp^2 > sp$

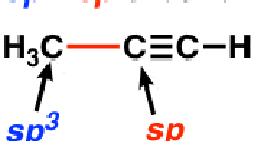


The six types of carbon-carbon σ -bonds

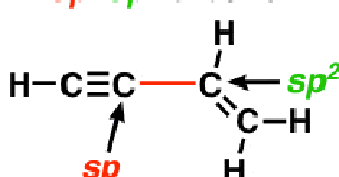
$sp^3-sp^3 \sigma$ -bond



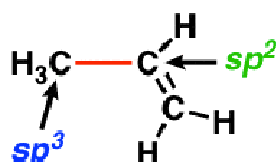
$sp^3-sp \sigma$ -bond



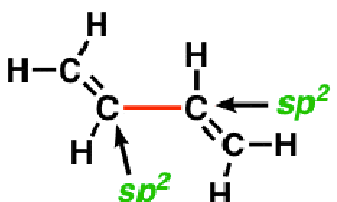
$sp-sp^2 \sigma$ -bond



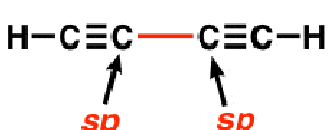
$sp^3-sp^2 \sigma$ -bond



$sp^2-sp^2 \sigma$ -bond



$sp-sp \sigma$ -bond



Representative bond lengths:

sp^3-sp^3 154 pm (1.54 Å)

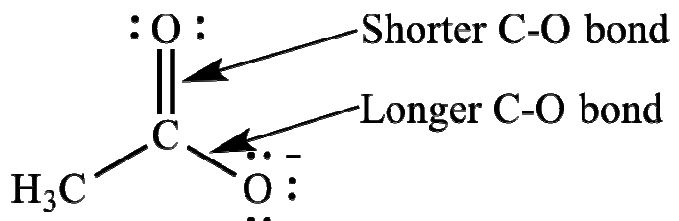
sp^3-sp^2 150 pm (1.50 Å)

sp^3-sp 146 pm (1.46 Å)

sp^2-sp^2 147 pm (1.47 Å)

sp^2-sp 143 pm (1.43 Å)

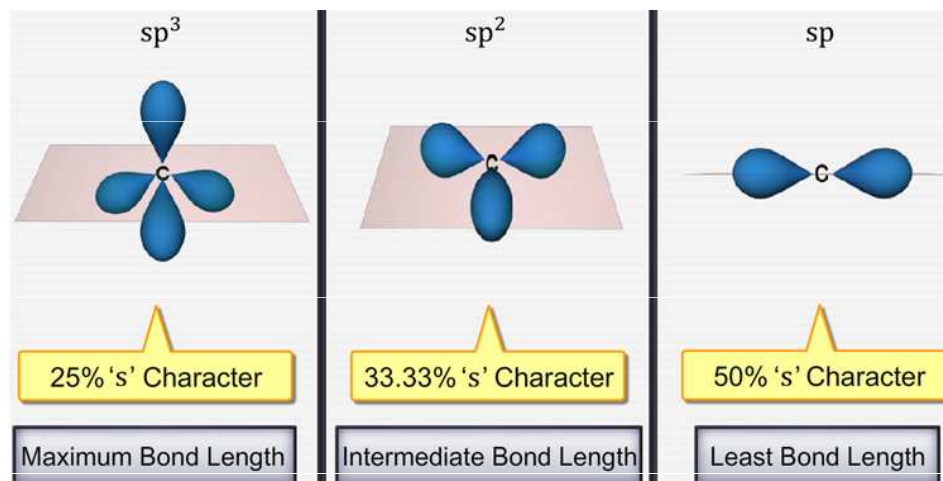
$sp-sp$ 137 pm (1.37 Å)



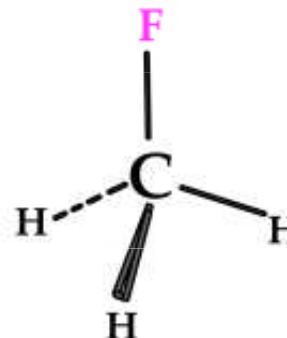
Bond Type	Bond length(pm)	Bond Type	Bond length(pm)
C-H	107	C-O	143
C=O	121	C-C	154
C=C	133	C≡C	120
C-N	143	C=N	138
C≡N	116	N-O	136
N=O	122	O-H	96

Bentovo pravidlo a délka vazby

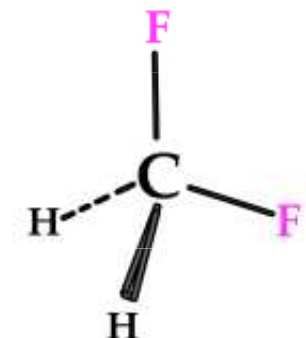
Vazby s větším s-charakterem jsou obecně kratší.



Délky vazeb se mohou měnit přítomností elektronegativních substituentů a změnou hybridizace centrálních atomů. Pokud molekula obsahuje strukturu X-A--Y, záměna substituentu X více elektronegativním substituentem, dojde ke změně hybridizace centralního atomu A a zkracuje se sousední A--Y vazba.



C - F length = 1.388 Å



C - F length = 1.358 Å

Molecule	Average carbon–chlorine bond length
Chloromethane	1.783 Å
Dichloromethane	1.772 Å
Trichloromethane	1.767 Å
Tetrachloromethane	1.766 Å

Hybridizace a energie vazby

Energie vazby – závisí na podílu s orbitalů tj. roste v řadě $p < sp^3 < sp^2 < sp$

Bond	Bond Energy, kJ/mol	Bond	Bond Energy, kJ/mol	Bond	Bond Energy, kJ/mol
H—H	436	C—C	347	N—N	163
H—C	414	C=C	611	N=N	418
H—N	389	C≡C	837	N≡N	946
H—O	464	C—N	305	N—O	222
H—S	368	C=N	615	N=O	590
H—F	565	C≡N	891	O—O	142
H—Cl	431	C—O	360	O=O	498
H—Br	364	C=O	736 ^b	F—F	159
H—I	297	C—Cl	339	Cl—Cl	243
				Br—Br	193
				I—I	151

Model VSEPR

(Valence Shell Electron Pair Repulsion)

= model odpuzování elektronových párů valenční sféry. Model VSEPR lze aplikovat pouze u molekul se středovým atomem **nepřechodného** prvku. Založen na 4 postulátech:

- 1) Každý z daného počtu el. párů (σ a n) se snaží zaujmout takovou polohu, aby jeho vzdálenost od ostatních byla co největší. Elektronové páry středového atomu molekuly vazebné (označené např. jako s) i nevazebné (označené jako n) se rozmísťují tak, aby byly co nejdál od sebe a měly tedy minimální energii v důsledku slabé repulze.

Vzájemná poloha σ a n elektronových párů určuje samotný tvar molekuly. Přítomnost π elektronových párů je pro určení tvaru molekuly bezvýznamná.

- 2) Vazebný elektronový pár soustředěný u více elektronegativního vazebného partnera zaujímá menší prostor než u méně elektronegativního.

- 3) Nevazebný el. pár zaujímá větší prostor než vazebný, protože odpuzuje ostatní el. páry více než vazebný pár - jde o extrémní případ bodu 2)
- 4) Elektronové páry v násobných vazbách zaujímají dohromady větší prostor než elektronový pár v jednoduché vazbě. U dvojně a trojně vazby jsou elektronové páry typu s doprovázeny elektronovými páry typu p. Vzniklé dvojice (s+p) nebo trojice (s+p+p) odpuzují el. páry více než samotný pár s.

Sterické číslo

Stanoví se z Lewisova vzorce nebo výpočtem

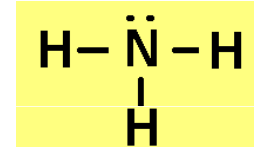
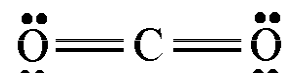
Steric number = no. of σ -bonds + no. of lone pairs

Steric number	hybridization	Structure
2	sp	linear
3	sp ²	trigonal planar
4	sp ³	tetrahedral
5	sp ³ d	trigonal bipyramidal
6	sp ³ d ²	octahedral
7	sp ³ d ³	pentagonal bipyramidal

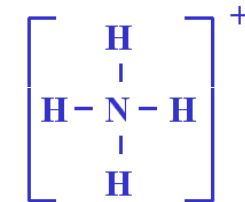
Odhad sterického čísla (SN) molekul z Lewisova vzorce



sterické číslo = 2



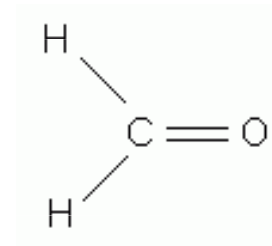
sterické číslo = 4



sterické číslo = 4

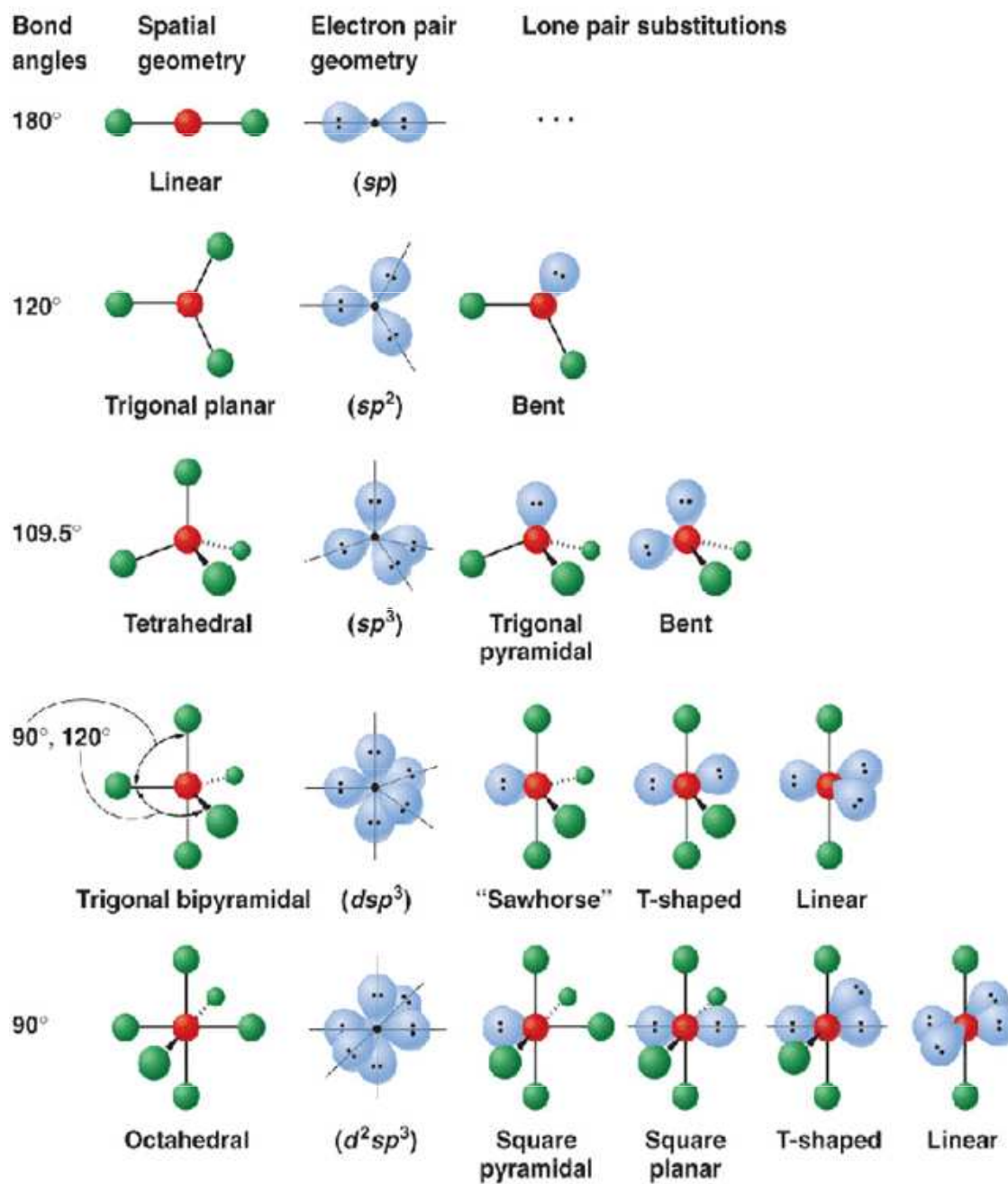


sterické číslo = 3



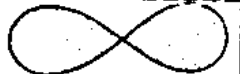
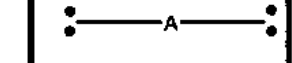
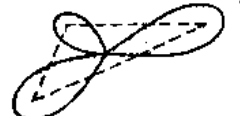
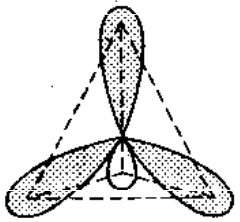
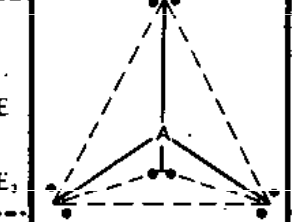
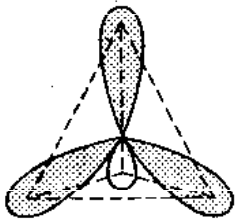
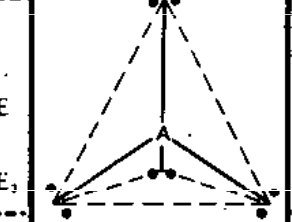
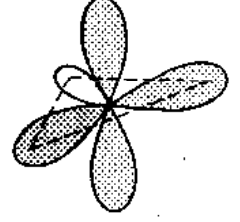
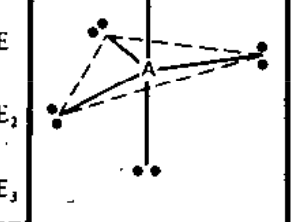
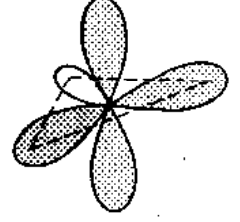
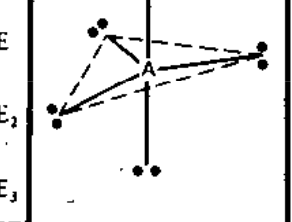
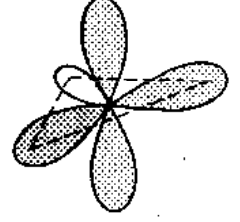
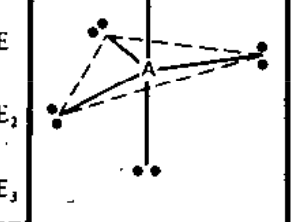
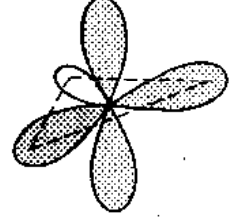
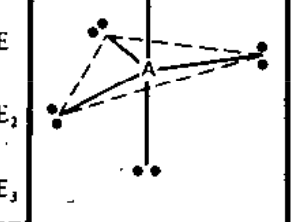
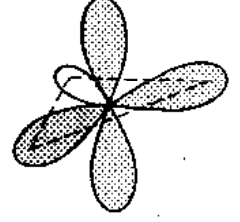
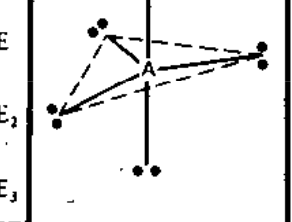
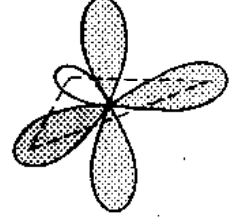
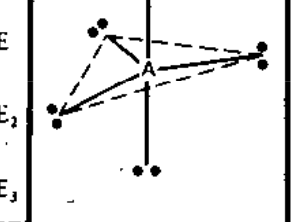
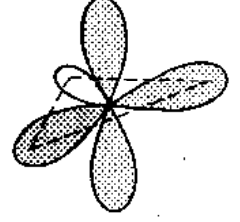
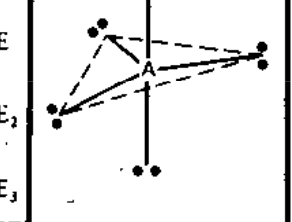
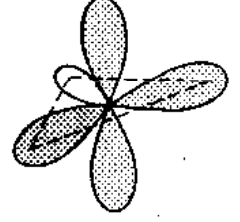
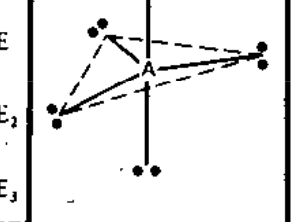
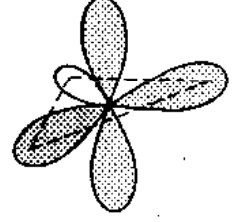
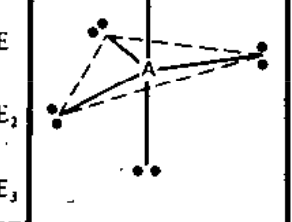
Tvary molekul odvozené z modelu VSEPR

VSEPR



Prostorová orientace elektronových páru	Název tvaru	Znázornění tvaru molekuly	Počet elektronových páru 6	
			Počet elektronových páru 6+n	
lineární 2 elektronové páry	lineární	1	lineární	2
ABE	A — B	1	AB ₂	0
rovnostranný trojúhelník 3 elektronové páry	lineární	1	lomený	2
ABE ₂	B — A — B	2	trojúhelník	3
tetraedr 4 elektronové páry	lineární	1	lomený	2
ABE ₃	A — B	3	AB ₂ E ₂	2
trigonální pyramida AB ₃ E	B — A — B	3	tetraedr	4
AB ₄	B — A — B	1	AB ₄	0
trigonální bipyramida 5 elektronových páru	lineární	1	lineární	2
ABE ₄	A — B	4	AB ₂ E ₃	3
deformovaný tetraedr AB ₄ E	B — A — B	4	trigonální bipyramida	5
AB ₅	B — A — B	1	AB ₅	0
oktaedr 6 elektronových páru	lineární	1	lineární	2
ABE ₅	A — B	5	oktaedr	3
čtverec	AB ₂ E ₄	4	tetragonální pyramida	5
AB ₄ E ₂	B — A — B	2	oktaedr	6
AB ₅ E	B — A — B	1	AB ₆	0

The Likeness of Valence Bond Theory to VSEPR Theory

VALENCE-BOND THEORY				VSEPR THEORY					
Bonding Orbitals	Non-bonding Orbitals	Hybridization	Orbital Shapes	Valence Shell Electron Pairs	VSEPR Formula	Electron-Pair Orientation	Geometric Shapes	Bond Angles	Example
2	0	sp		2	AX ₂		linear	180°	HgCl ₂ , BeCl ₂
3	0	sp ²		3	AX ₃		trigonal planar	120°	BF ₃ , In(CH ₃) ₃ , C≡
2	1			3	AX ₂ E		V-shaped		SnCl ₂ , PbBr ₂
4	0	sp ³		4	AX ₄		tetrahedral		CH ₄ , SnCl ₄ , SiF ₄
3	1			4	AX ₃ E		trigonal pyramidal	109.5°	NH ₃ , PCl ₃ , H ₃ O ⁺
2	2			4	AX ₂ E ₂		V-shaped		H ₂ O, SCl ₂ , OF ₂
5	0	sp ³ d		5	AX ₅		trigonal bipyramidal		PCl ₅ , NbCl ₅
4	1			5	AX ₄ E		irregular tetrahedral	90°, 120°	SF ₄ , TeCl ₄
3	2			5	AX ₃ E ₂		T-shaped		ClF ₃
2	3			5	AX ₂ E ₃		linear		ICl ₂ , XeF ₂
6	0	sp ³ d ²		6	AX ₆		octahedral		SF ₆
5	1			6	AX ₅ E		square pyramidal	90°	BrF ₅
4	2			6	AX ₄ E ₂		square planar		ICl ₄ , XeF ₄

VSEPR: odhad tvaru molekuly bez Lewisova vzorce

Pro skupinu resp. molekulu $(AX_n)^{m-}$ platí

$$CN = (v/2) - 3n$$

kde v = počet valenčních elektronů ve sloučenině, n = počet atomů X (kromě vodíku).

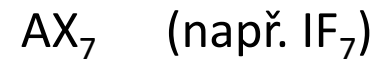
CN = koordinační číslo (odpovídá sterickému číslu SN a hybridizaci H).



CN = 6

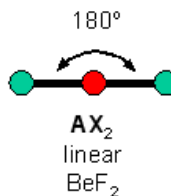


CN = 7

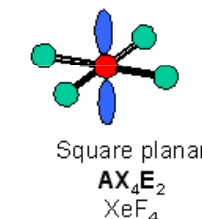
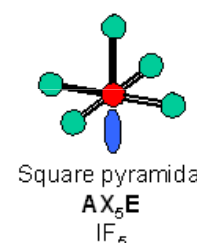
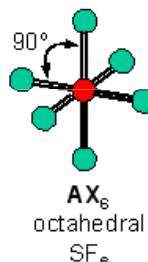
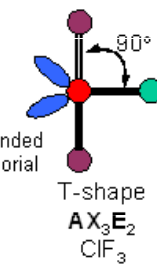
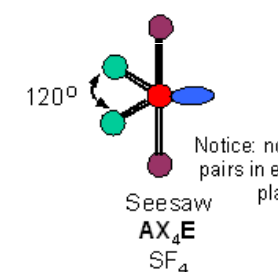
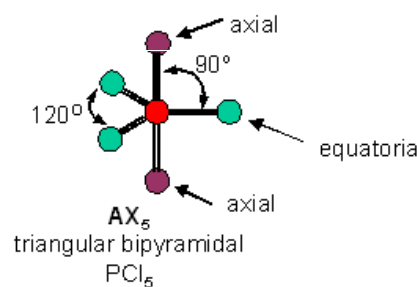
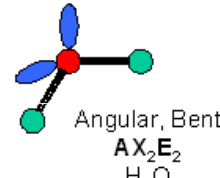
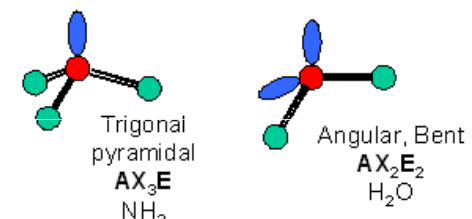
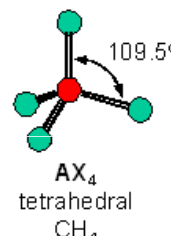
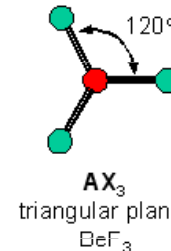


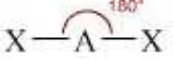
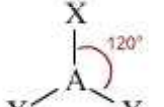
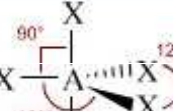
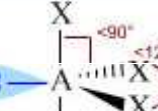
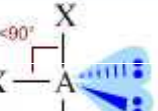
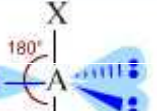
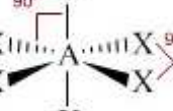
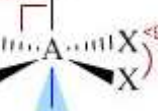
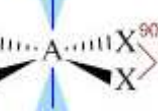
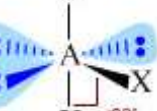
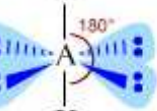
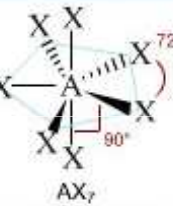
Electron regions (steric number)	Electronic geometry	Bond angles
2	linear	180°
3	trigonal planar	120°
4	tetrahedral	109.5°
5	trigonal bipyramidal	90°, 120°, and 180°
6	octahedral	90° and 180°

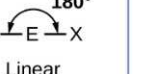
Electron Density and Molecular Geometry



Central atom: A Bonded pair with atom: X
Nonbonded electron pair: E



 AX ₂ Linear				
 AX ₃ Trigonal planar	 AX ₂ E ₁ Bent or Angular			
 AX ₄ Tetrahedral	 AX ₃ E ₁ Trigonal pyramidal	 AX ₂ E ₂ Bent or Angular		
 AX ₅ Trigonal bipyramidal	 AX ₄ E ₁ Sawhorse or Seesaw	 AX ₃ E ₂ T-shape	 AX ₂ E ₃ Linear	
 AX ₆ Octahedral	 AX ₅ E ₁ Square pyramidal	 AX ₄ E ₂ Square planar	 AX ₃ E ₃ T-shape	 AX ₂ E ₄ Linear
 AX ₇ Pentagonal bipyramidal				

Number of electron pairs	Electron pair geometries: 0 lone pair	1 lone pair	2 lone pairs	3 lone pairs	4 lone pairs
2	 180° Linear				
3	 120° Trigonal planar	 <120° Bent or angular			
4	 109° Tetrahedral	 <109° Trigonal pyramid	 <<109° Bent or angular		
5	 90° 120° 180° Trigonal bipyramidal	 <90° <120° Sawhorse or seesaw	 <90° T-shape	 180° Linear	
6	 90° Octahedral	 <90° 90° Square pyramidal	 90° Square planar	 <90° T-shape	 180° Linear

Vazebné úhly

- vliv volných elektronových páru na velikost vazebných úhlů.

Polarita molekuly, dipólový moment

Dipolový moment molekuly = vektorový součet všech vazebných dipolů. Může být nulový, i v případě nenulových vazebných dipolů které se navzájem kompenzují (např. SF_6 , SiF_4 , CF_4 , ...)

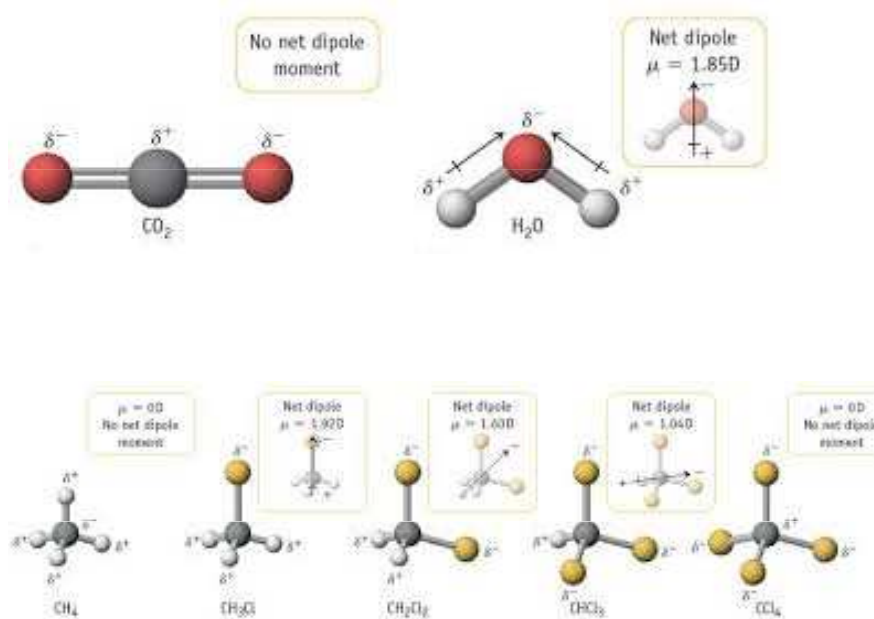
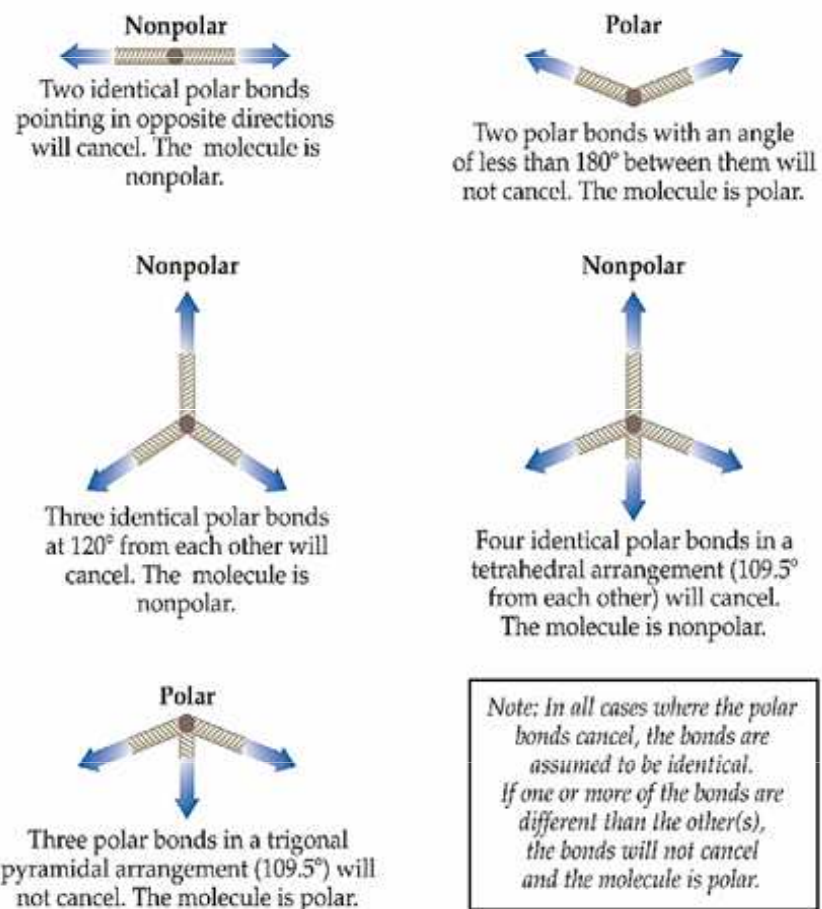
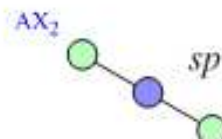


TABLE 10.3 Common Cases of Adding Dipole Moments to Determine Whether a Molecule Is Polar



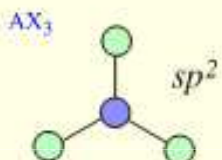
There are only **FIVE** possible electronic geometries which you establish by counting the number of electron regions surrounding the central atom

2 electron regions



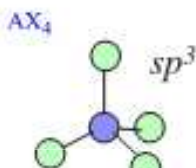
linear

3 electron regions



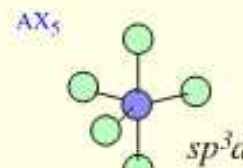
trigonal planar

4 electron regions



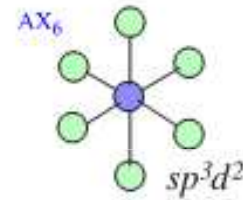
tetrahedral

5 electron regions



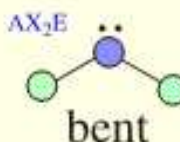
trigonal bipyramidal

6 electron regions

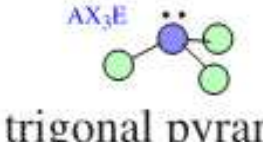


octahedral

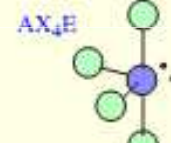
1 position occupied by a lone pair



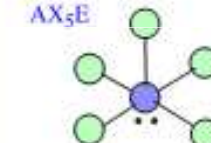
bent



trigonal pyramid



see-saw

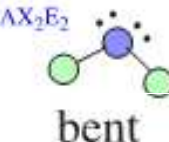


square pyramid

Molecular Geometries

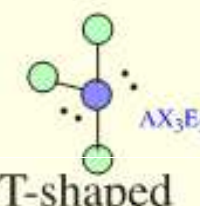
can be any of the shapes on the whole page. The electronic geometries are only those in the box (and orbital hybridizations). The molecular geometry will be different from the electronic when there is at least one or more lone pairs on the central atom. Look at the top of the table and go DOWN a column. As you change from bonding electrons to lone pair electrons, the molecular shape is now different from the electronic because some of the positions are missing atoms. The new shape is then renamed based on the shape of the atoms.

2 positions occupied by a lone pair

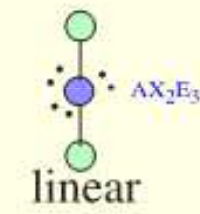


bent

3 positions occupied by a lone pair

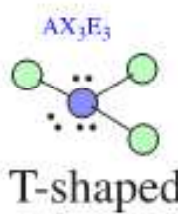


T-shaped

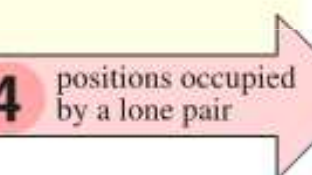


linear

4 positions occupied by a lone pair



T-shaped



linear

Remember, once you have established the correct electronic geometry, the molecular geometry **MUST** be either the same as the electronic or one of the shapes listed directly under the electronic geometry. In other words, each shape in a given column here has the same electronic geometry given at the top of the column.

Polarity

If all the positions on the electronic geometry are the same (have the same atoms surrounding the central atom), the molecule is **NOT** polar because of the symmetry. Any of the other molecular geometries (except square planar and linear) under the box will be polar.

Zachariasenovo pravidlo

1. Pro skupinu resp. molekulu $(XY_2)^m$ - platí

$2p = v$ lineární molekula typu AX_2

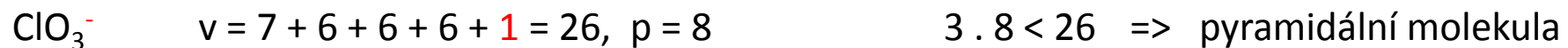
$2p < v$ lomená (angulární) molekula typu AX_2

2. Pro skupinu resp. molekulu $(XY_3)^m$ - platí

$3p = v$ planární molekula typu AX_3

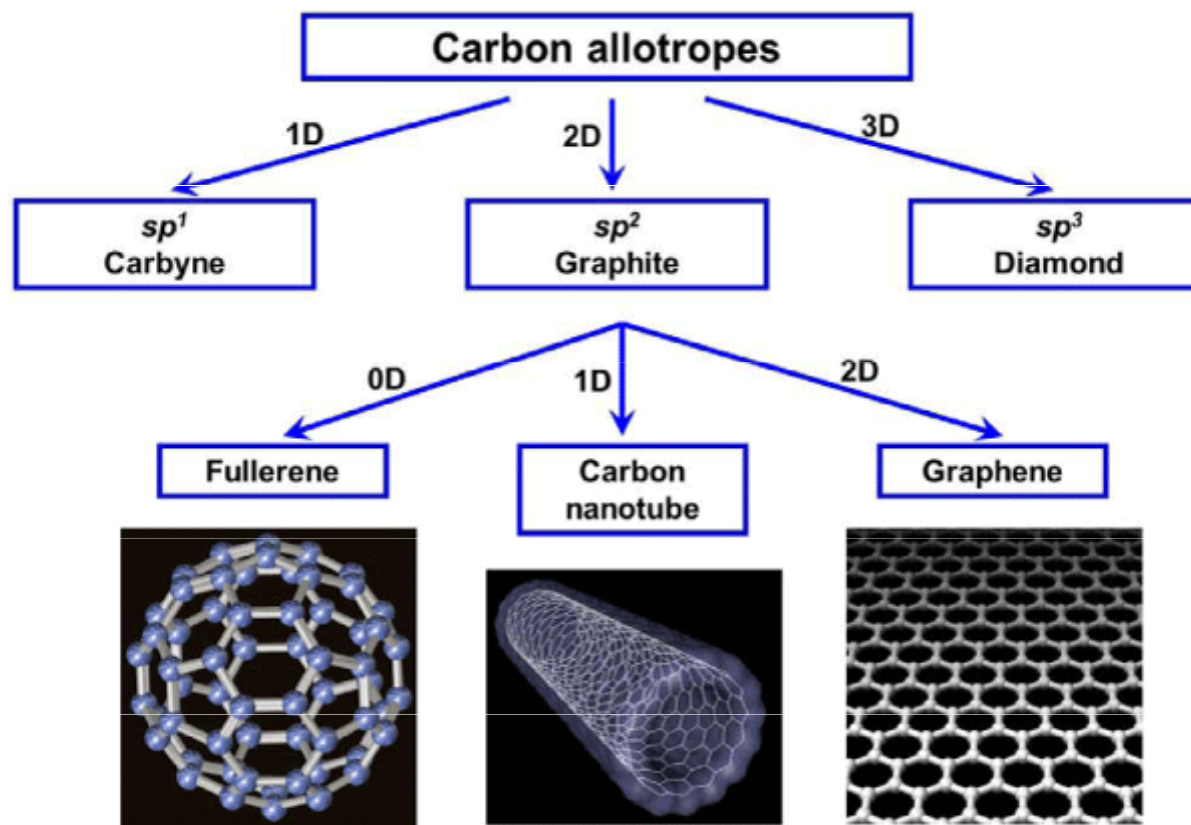
$3p < v$ prostorová (pyramidální) molekula typu AX_3

kde v = celkový počet valenčních elektronů v molekule (skupině), p = počet valenčních elektronů nejbližšího vzácného plynu následujícího za atomem Y (pro H je $p = 2$, pro ostatní prvky je $p = 8$).



Alotropické modifikace

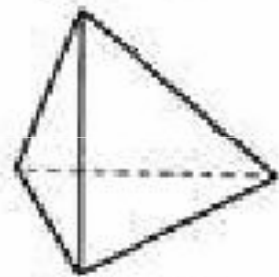
Alotropie (polymorfie) je vlastnost chemického prvku označující jeho schopnost vyskytovat se v několika různých strukturních formách, které mají výrazně odlišné fyzikální vlastnosti. Jednotlivé allotropické modifikace se liší typem krystalové soustavy, fyzikálními a mechanickými vlastnostmi.



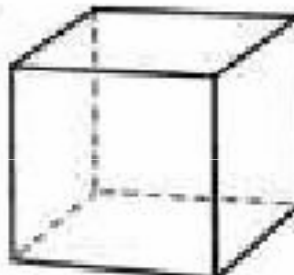
Eulerův vzorec

Euler 1735

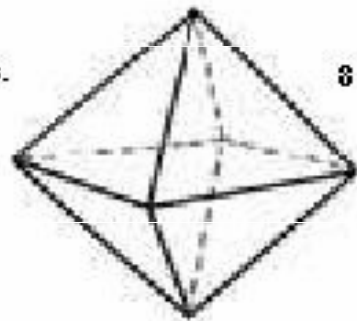
$$F + V - E = 2$$



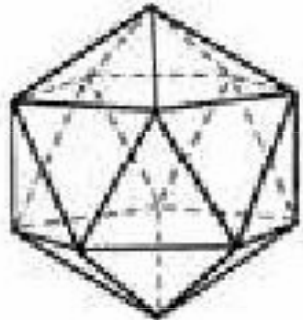
Tetrahedron
4 vertices. 6 edges. 4 faces.



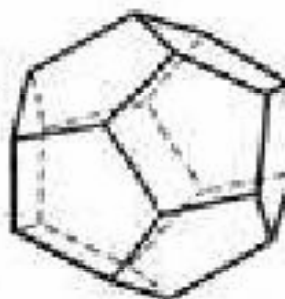
Cube
8 vertices. 12 edges. 6 faces.



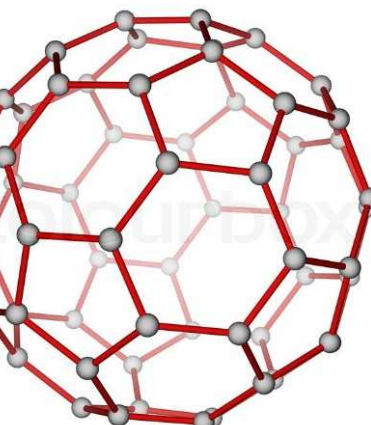
Octahedron
6 vertices. 12 edges. 8 faces.



Icosahedron
12 vertices. 30 edges. 20 faces.



Dodecahedron
20 vertices. 30 edges. 12 faces.



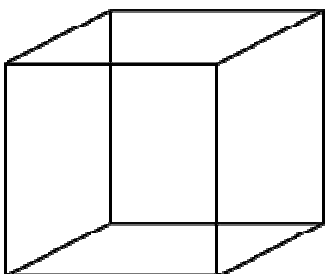
32 faces
(20 hexagonal)
(12 pentagonal)
90 edges
60 vertices

Fulleren C₆₀

Konvexní polydry (Platónovská tělesa)

Eulerův vzorec

3D

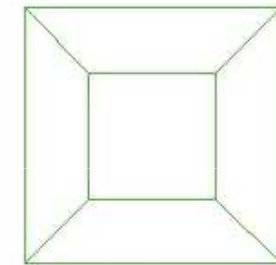


$$E = e$$

$$V = v$$

$$F-1 = f$$

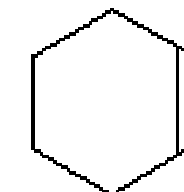
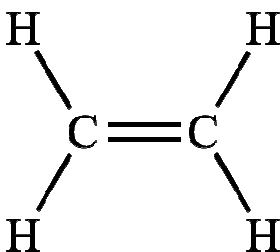
2D



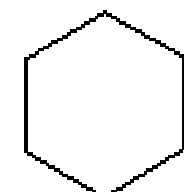
Cyklické a nenasycené molekuly

$$v - e + f = 1$$

v = počet vrcholů (vertices)
e = počet hran (edges)
f = počet ploch (faces)



cyclohexene

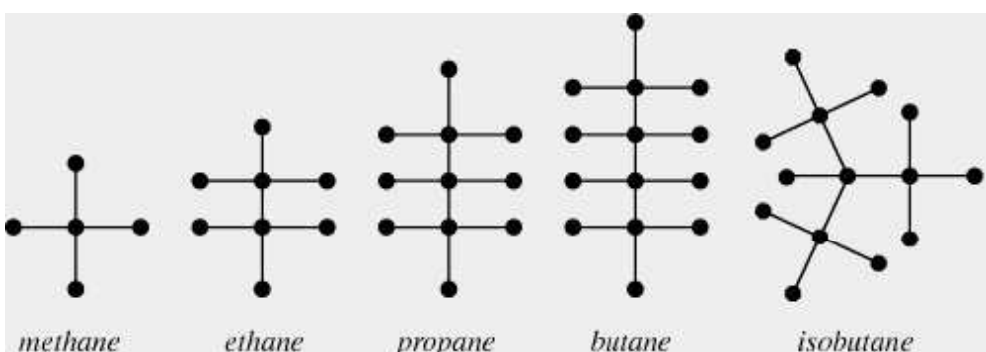


cyclohexane

Alifatické nasycené molekuly

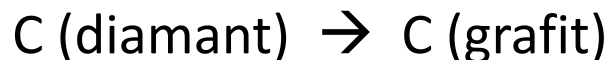
$$v - e + 0 = 1$$

v = počet vrcholů (vertices)
e = počet hran (edges)
f = počet ploch (faces) = 0



Příklad: Stabilita allotropických modifikací

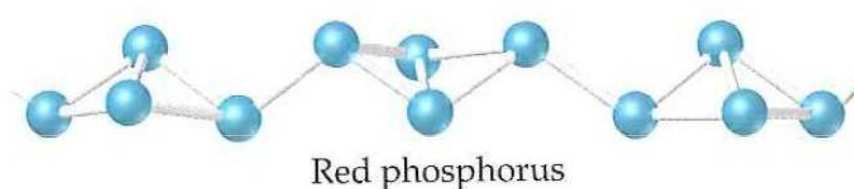
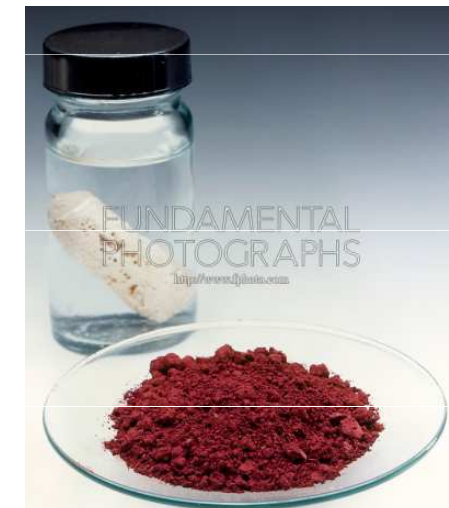
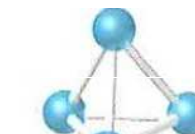
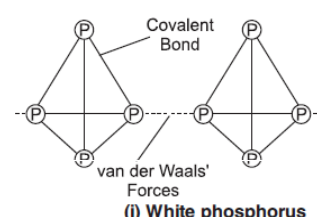
Stálé modifikaci je za standardních podmínek přiřazena nulová entalpie.



$$\Delta H_{298} = -1883 \text{ kJ/mol}$$



$$\Delta H_{298} = -17,57 \text{ kJ/mol}$$



Přeměna diamantu na grafit může probíhat (termodynamická nestálost), je však neměřitelně pomalá (kinetická stálost).

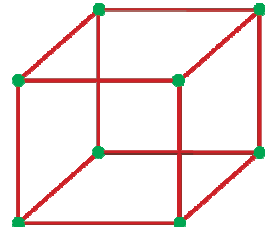
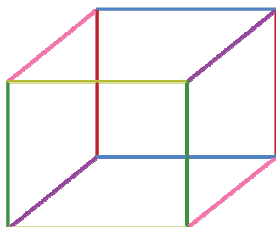
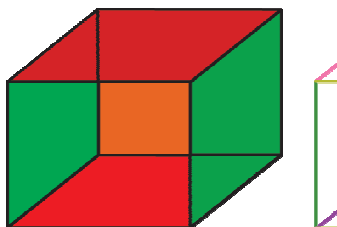
Krystalová struktura

Krystal je pevná látka, v níž jsou stavební prvky (atomy, molekuly nebo ionty) pravidelně uspořádány v opakujícím se vzoru, který se zachovává na velké vzdálenosti (oproti atomárním měřítkům). Struktura krystalu je tak určená základní jednotkou vzoru, nazývanou jednotková buňka, jejíž periodické opakování ve třech rozměrech tvoří krystalovou mřížku.

Eulerova rovnice

$$F + V - E = 2$$

V = počet vrcholů (vertices)
E = počet hran (edges)
F = počet ploch (faces)



$$\text{Faces} + \text{Vertices} - \text{Edges} = 2$$

Příklad

$$F = 8$$

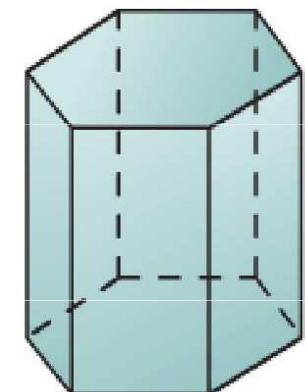
$$V = 12$$

$$E = 18$$

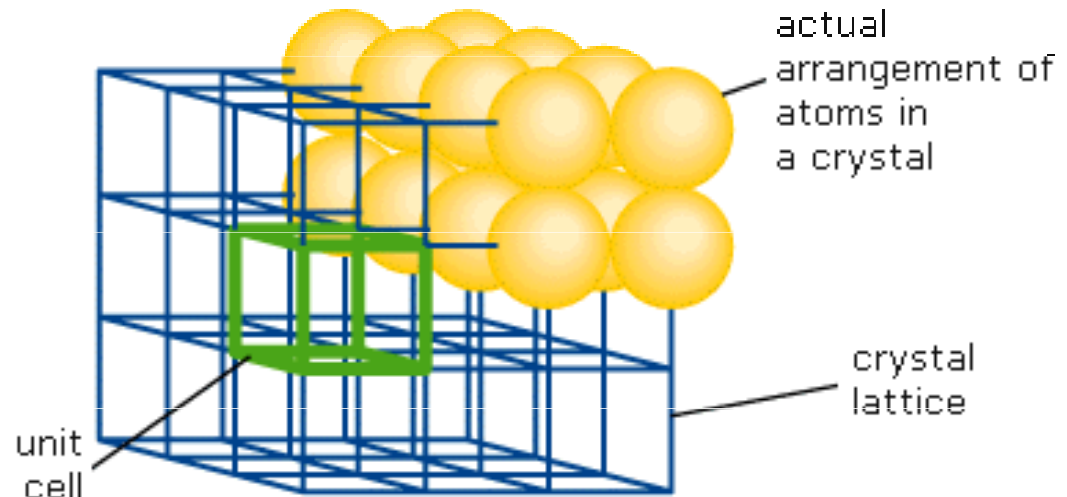
$$F + V = E + 2$$

$$8 + 12 = 18 + 2$$

$$20 = 20$$



Základní (elementární) buňka (krystalu krychlové soustavy)



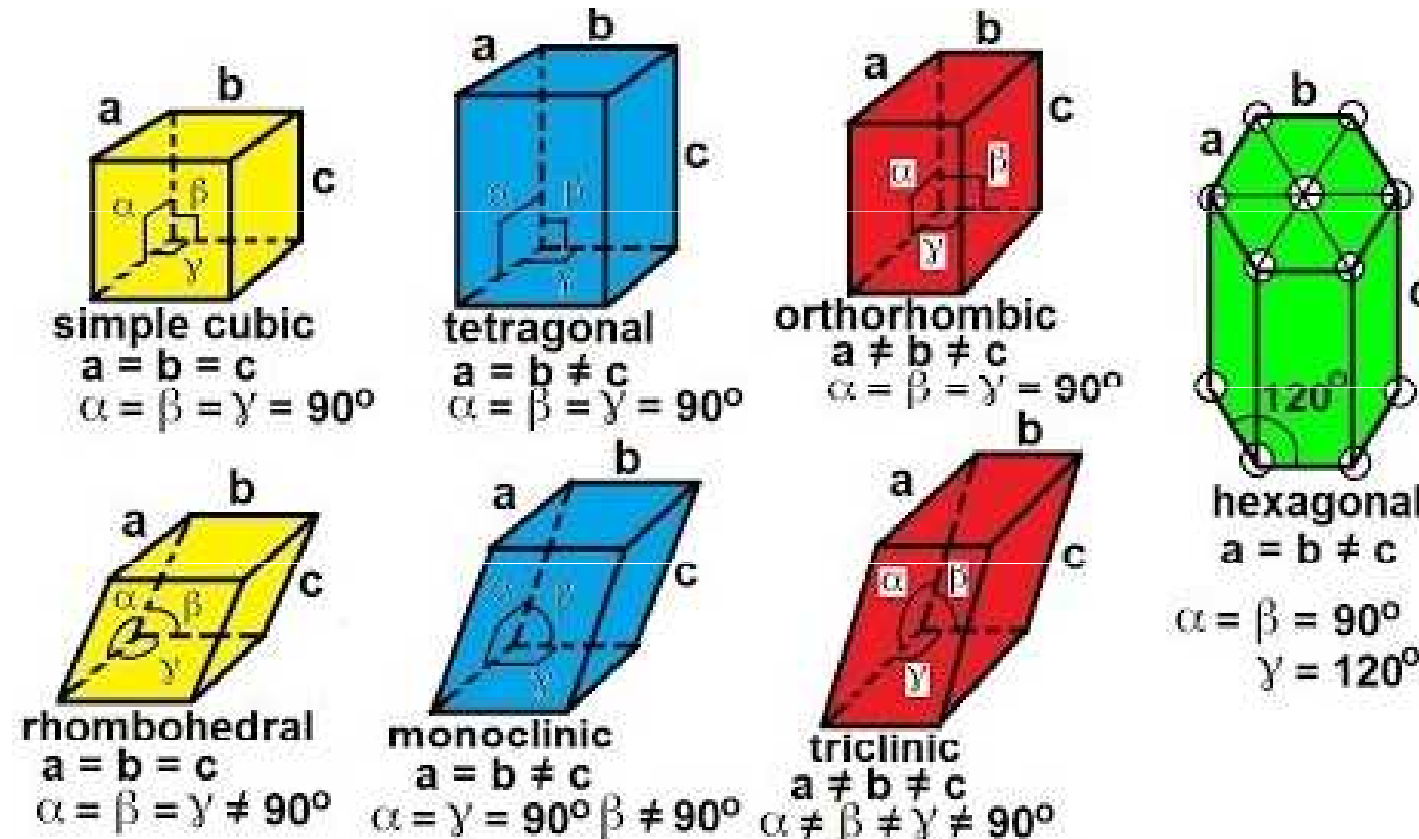
Prostorová mřížka – vychází z určitého bodu, jeho počátku a postupuje ve třech směrech po krocích o velikostech a , b , c . - Tím se vytyčí určité body zvané uzlové body, – prostorová mřížka je souborem uzlových bodů v prostoru (v rámci krystalu)

Elementární buňka - nejmenší část prostorové mřížky, která se periodicky opakuje (uzly při 1 kroku).

Mřížkové parametry a , b , c – délky hran elementární buňky v směre souřadných os. Podle velikosti uhlů α , β , γ mezi nimi a vzájemném poměru délky mřížkových parametrů rozdělujeme krystalické látky do krystalografických soustav.

Krystalografické soustavy

Krystalografické soustavy – 7 rovnoběžnostěnů, lišících se velikostí hran a úhlů.

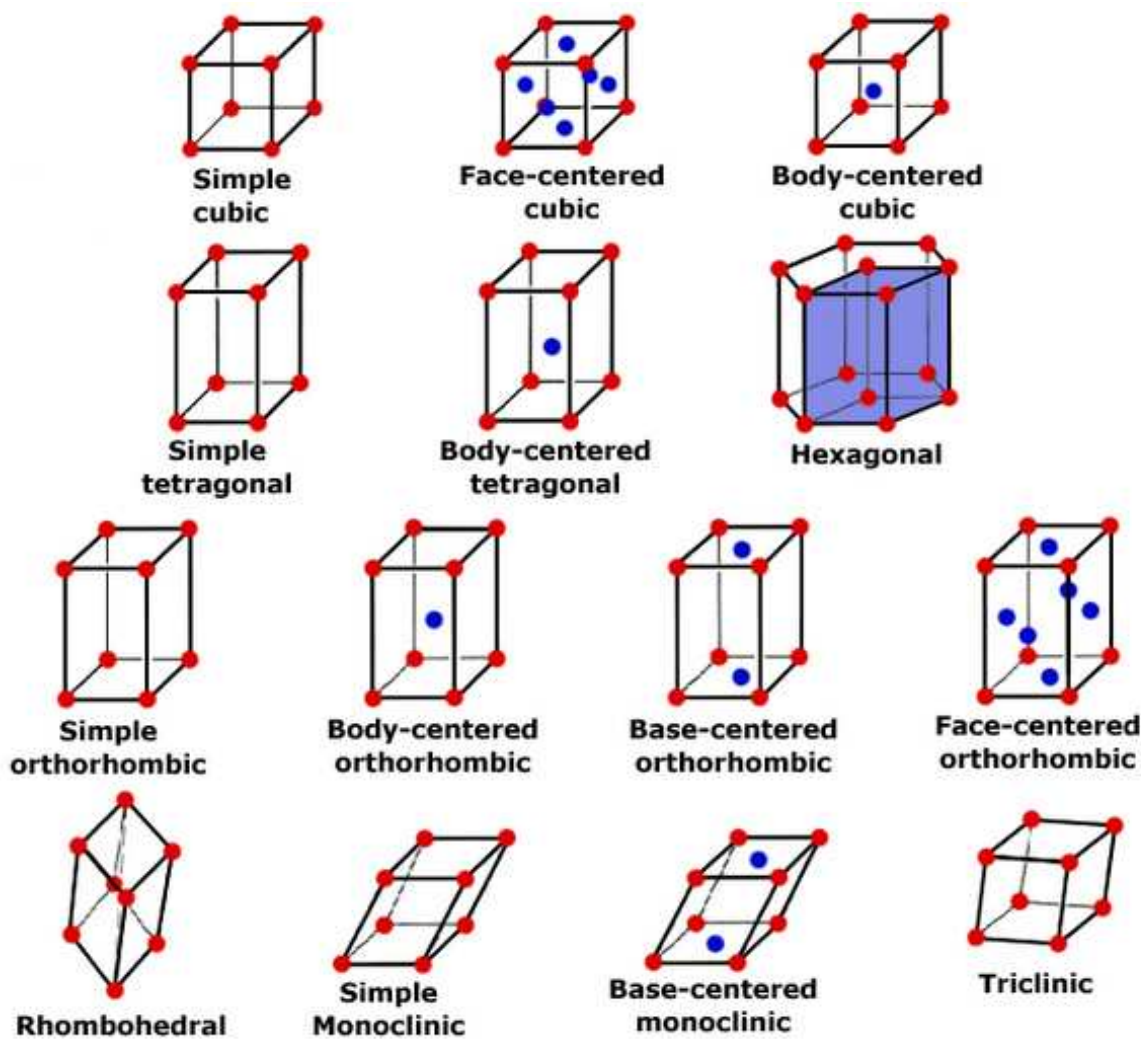


Stensenův zákon (zákon o stálosti úhlů hran): Pro každý krystalovaný minerál jsou charakteristické úhly krystalových hran, které svírají jeho jednotlivé plochy. U všech krystalů téhož nerostu jsou úhly krystalových hran stejné bez ohledu na velikost krystalu (je třeba vždy porovnávat úhly mezi stejnými plochami).

Bravaisovy buňky

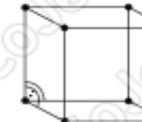
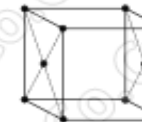
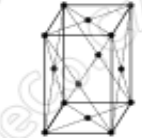
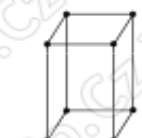
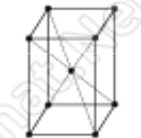
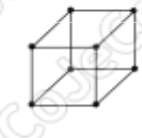
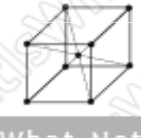
Elementární (základní) buňka je nejmenší část krystalické struktury. Je to rovnoběžnostěn, který je jednoznačně určen třemi translačními vektory a , b , c a úhly, jimi sevřenými. Mnohonásobným opakováním této buňky se beze zbytku vyplní prostor krystalu.

Bravais definoval
14 možných typů
základních buněk.



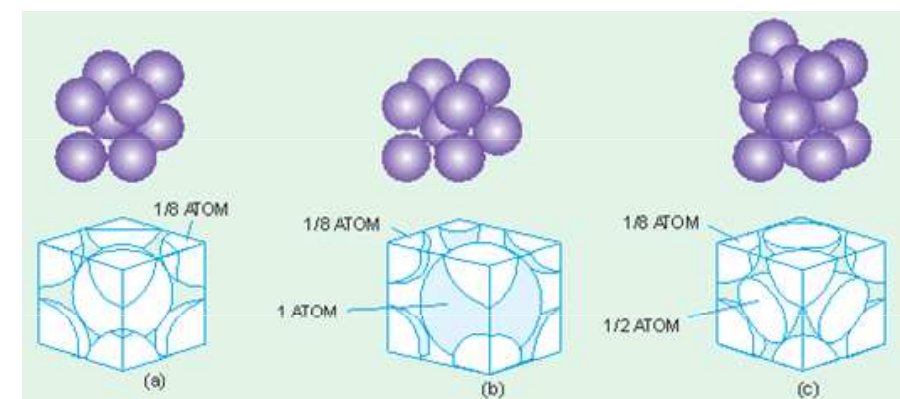
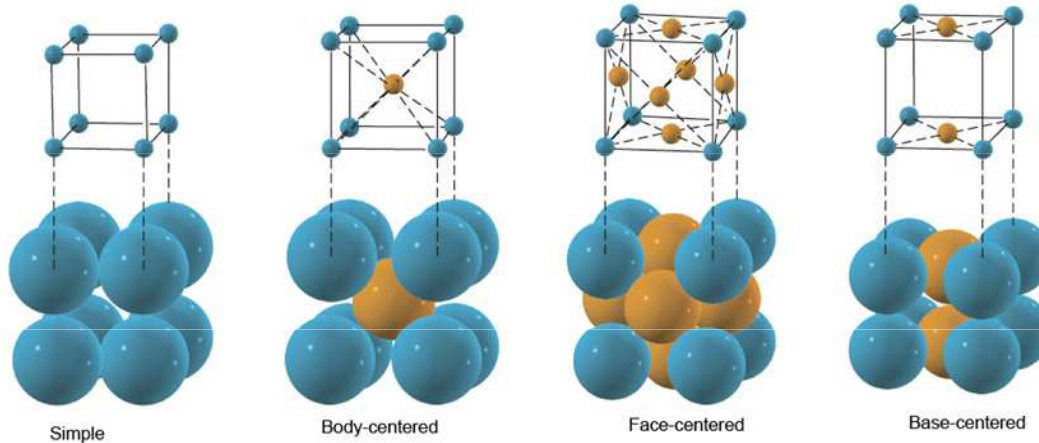
koordinační číslo
počet nejbližších
sousedů

koeficient zaplnění
 $\frac{\text{celkový objem atomů v buňce}}{\text{celkový objem buňky}}$

Krystalografická soustava	Parametry	Primitivní (prostá)	Bazálně centrováná	Plošně centrováná	Objemově centrováná
Trojklonná (Tríklinická)	$a \neq b \neq c$ $\alpha, \beta, \gamma \neq 90^\circ$		—	—	—
Jednoklonná (Monoklinická)	$a \neq b \neq c$ $\alpha = \beta = 90^\circ$ $\gamma \neq 90^\circ$			—	—
Kosočtverečná (Rombická)	$a \neq b \neq c$ $\alpha = \beta = \gamma = 90^\circ$				
Klencová (Romboedrická, trigonální)	$a = b = c$ $\alpha = \beta = \gamma \neq 90^\circ$		—	—	—
Šesterečná (Hexagonální)	$a = b \neq c$ $\alpha = \beta = 90^\circ$ $\gamma = 120^\circ$		—	—	—
Čtverečná (Tetragonální)	$a = b \neq c$ $\alpha = \beta = \gamma = 90^\circ$		—	—	
Krychlová (Kubická)	$a = b = c$ $\alpha = \beta = \gamma = 90^\circ$		—		

Počet atomů patřících elementární buňce

1. Atom v tělesném středu elementární buňky patří pouze této buňce.
2. Atom ve středu plochy elementární buňky je sdílen dvěma buňkami, každé z nich patří jeho jedna polovina.
3. Atom na hraně elementární buňky je sdílen čtyřmi buňkami, každé z nich patří jeho jedna čtvrtina.
4. Atom ve vrcholu elementární buňky je sdílen osmi buňkami, každé z nich patří jeho jedna osmina.



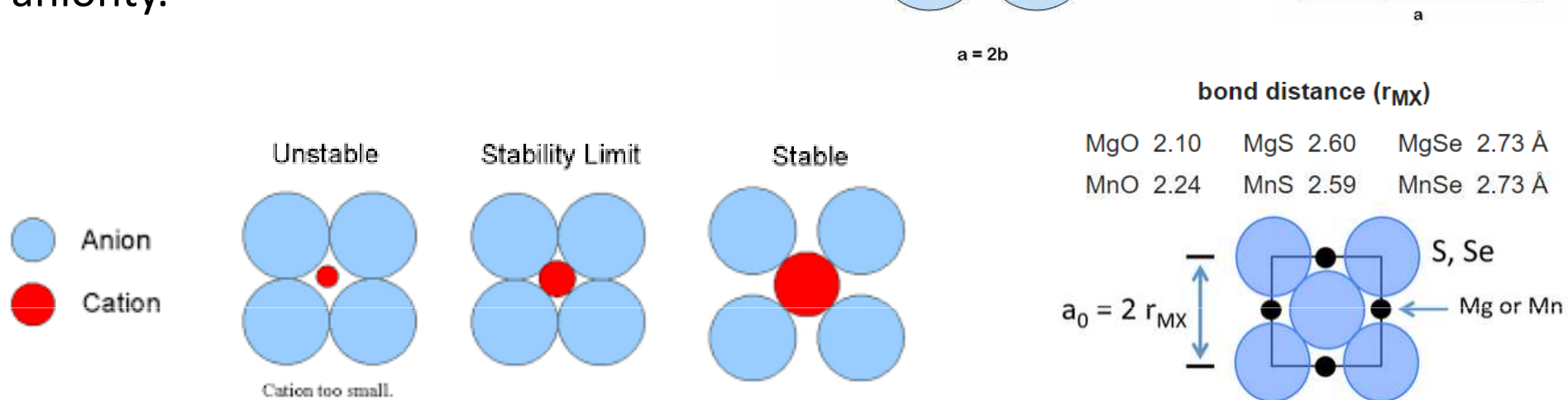
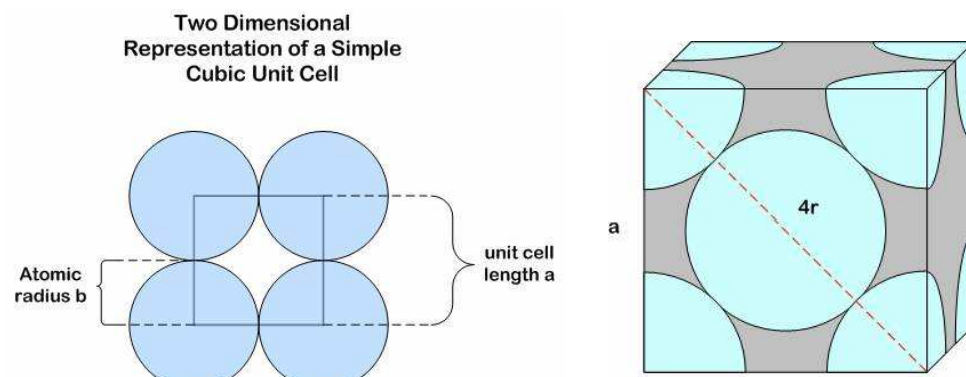
Iontový poloměr v krychlové soustavě

Jednoduchá krychlová struktura: $r = a/2$, atomy se dotýkají podél hran.

Plošně-centrovaná krychlová struktura: $r = a/(2\sqrt{2})$, atomy se dotýkají podél diagonály na ploše krychle.

Prostorově-centrovaná krychlová struktura: $r = \sqrt{(3a)/4}$, atomy se dotýkají podél příčné diagonály krychle.

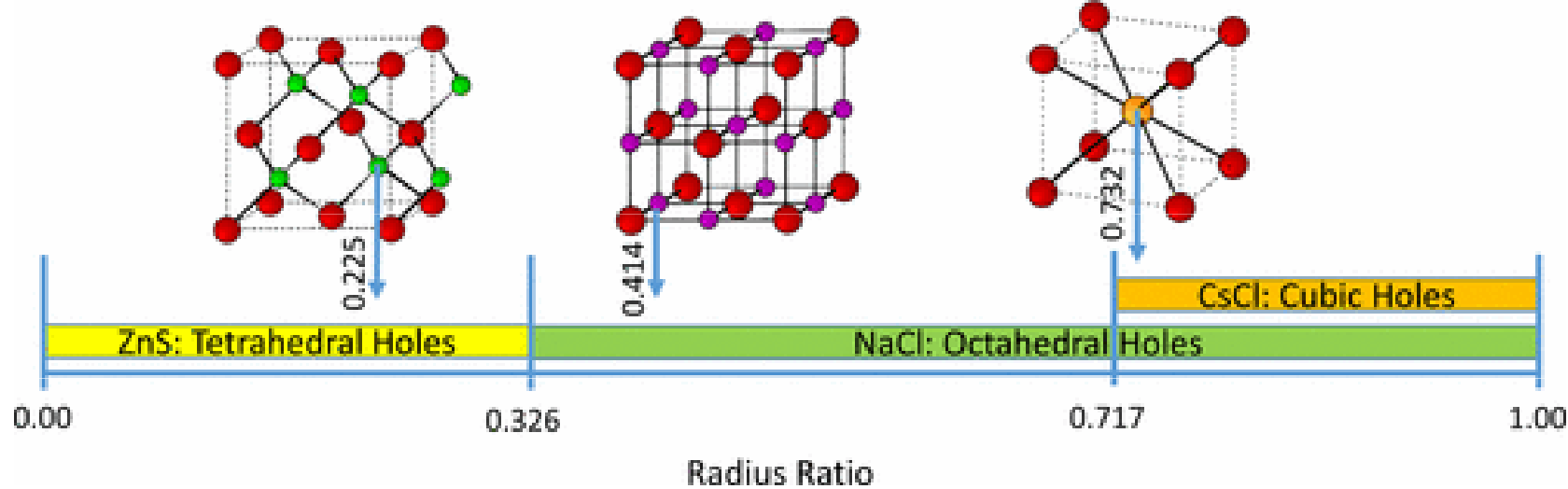
Pokud je kation příliš malý (pomě $r_c/r_a = 0.155$), struktura bude nestabilní v důsledku repulze mezi anionty.



„Cation-anion radius ratio“

Huttig 1920
 Magnus 1922
 Goldschmidt 1927
 Pauling 1931

	Radius Ratio	Coordination number	Type of void	Example
	< 0.155	2	Linear	
	0.155 - 0.225	3	Triangular planar	B_2O_3
	0.225 - 0.414	4	Tetrahedral	ZnS , CuCl
	0.414 - 0.732	6	Octahedral	NaCl , MgO
	0.732 - 1.000	8	Cubic	CsCl , NH_4Br

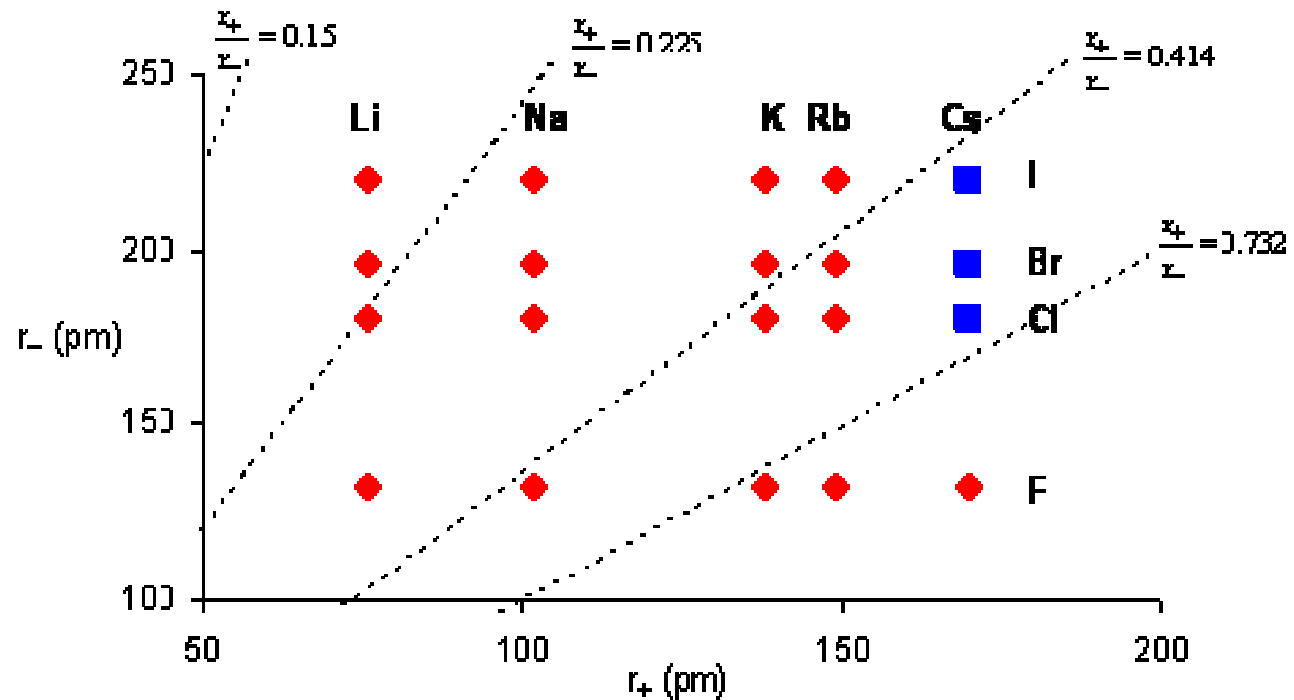


Group 1A	Group 2A	Group 3A	Group 6A	Group 7A
Li^+ 0.90  Li 1.28	Be^{2+} 0.59  Be 0.96	B^{3+} 0.41  B 0.84	O^{2-} 1.26  O 0.66	F^- 1.19  F 0.57
Na^+ 1.16  Na 1.66	Mg^{2+} 0.86  Mg 1.41	Al^{3+} 0.68  Al 1.21	S^{2-} 1.70  S 1.05	Cl^- 1.67  Cl 1.02
K^+ 1.52  K 2.03	Ca^{2+} 1.14  Ca 1.76	Ga^{3+} 0.76  Ga 1.22	Se^{2-} 1.84  Se 1.20	Br^- 1.82  Br 1.20
Rb^+ 1.66  Rb 2.20	Sr^{2+} 1.32  Sr 1.95	In^{3+} 0.94  In 1.42	Te^{2-} 2.07  Te 1.38	I^- 2.06  I 1.39

= cation

= anion

= neutral atom

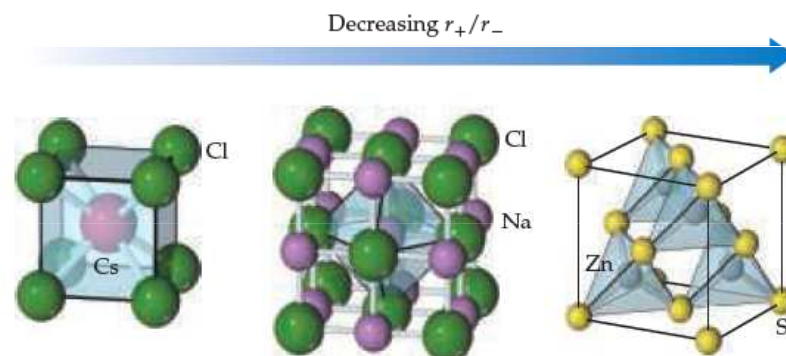


Poměr iontových poloměrů a koordinační číslo

$$r_c/r_a = [12/(12 - CN)]^{1/2} - 1$$

CN je koordinační číslo

Toofan, J.: *Journal of Chemical Education* 71, 1994, 147 a 749.



	CsCl	NaCl	ZnS
Cation radius, r_+ (Å)	1.81	1.16	0.88
Anion radius, r_- (Å)	1.67	1.67	1.70
r_+/r_-	1.08	0.69	0.52
Cation coordination number	8	6	4
Anion coordination number	8	6	4

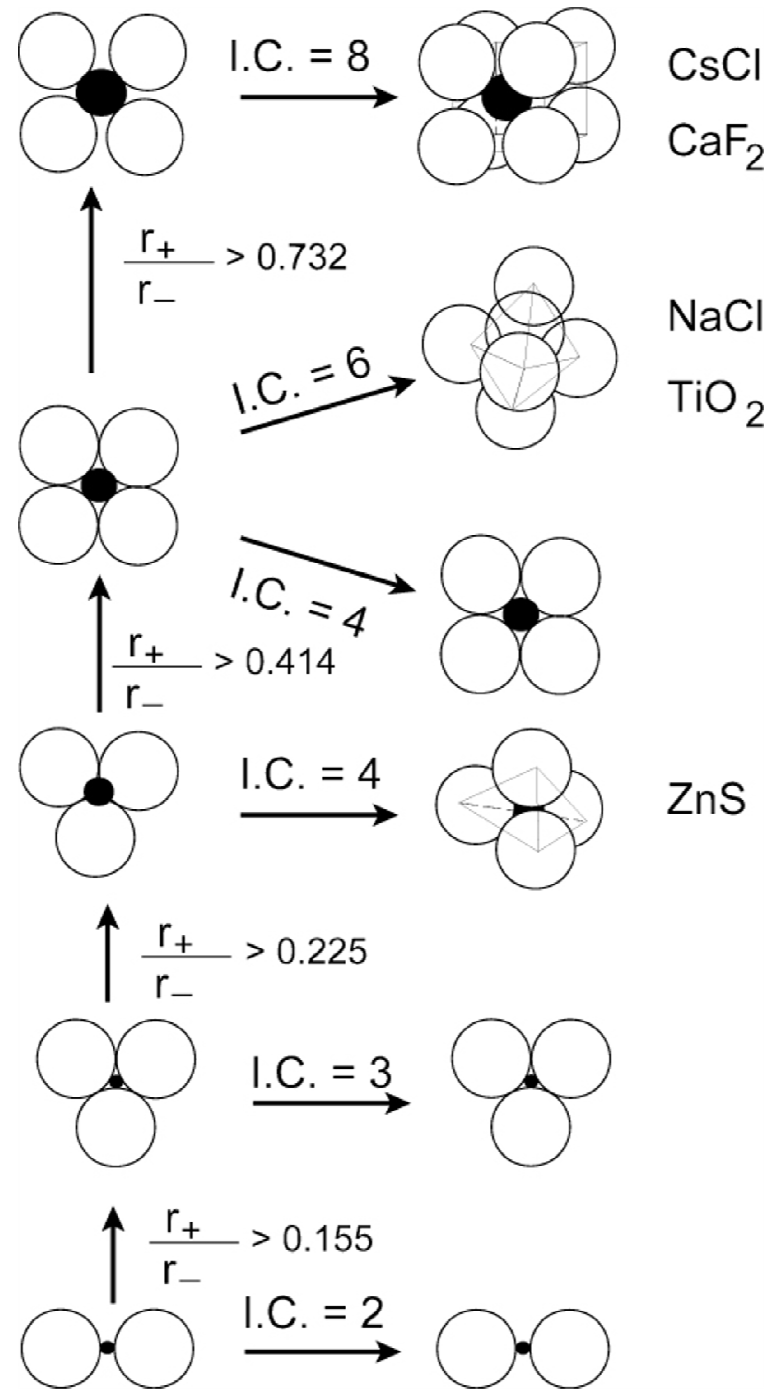
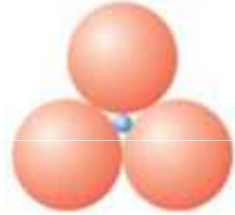
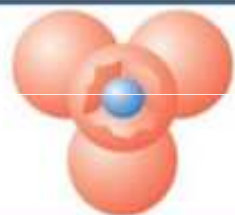
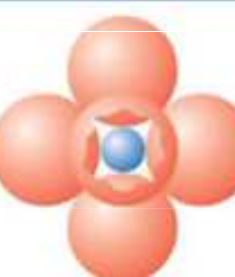
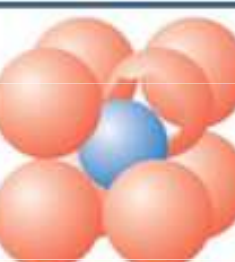
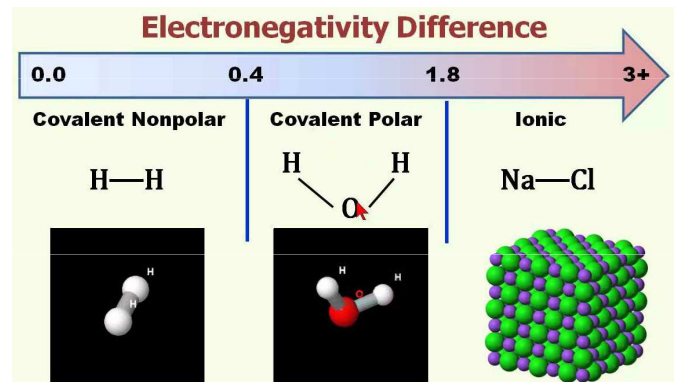
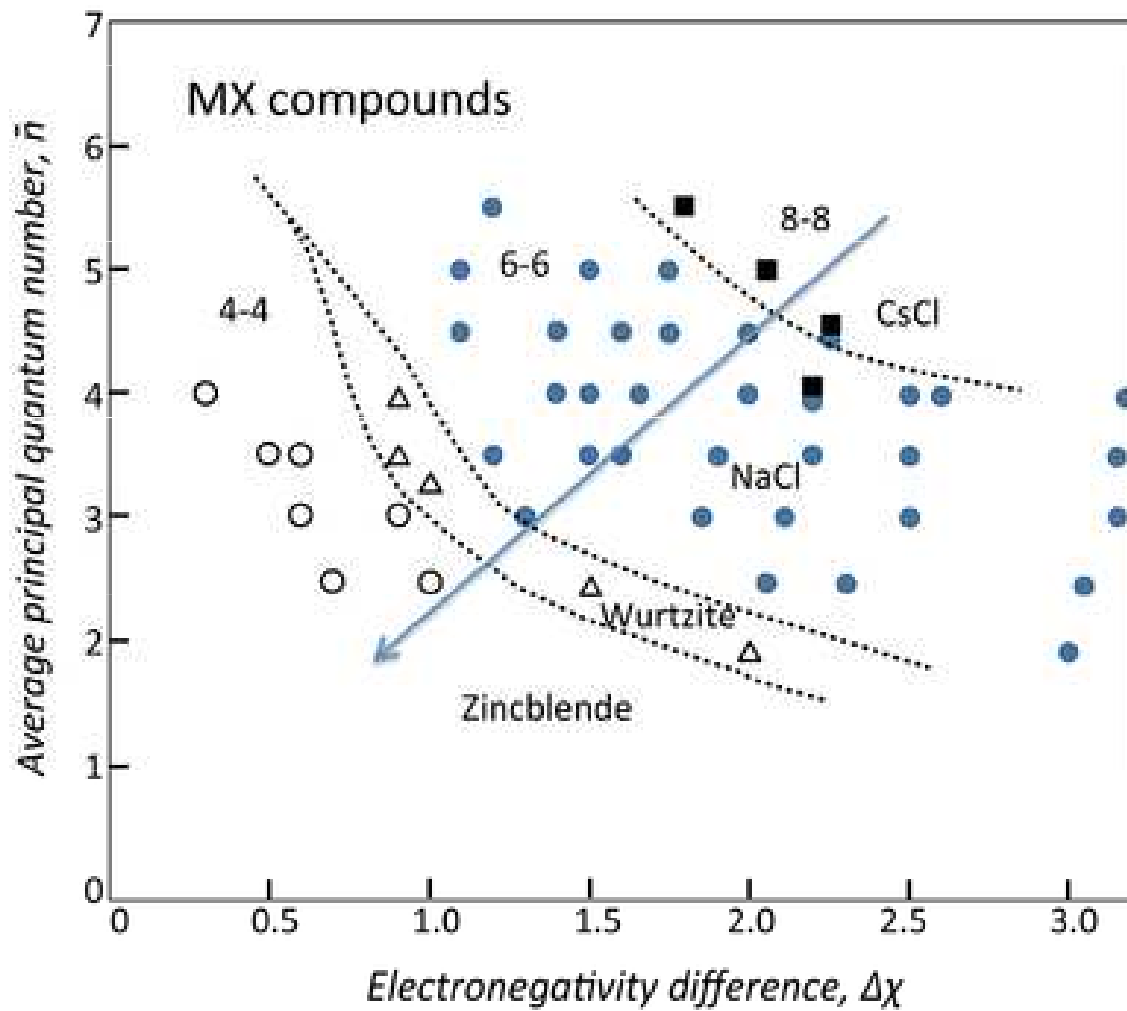


Table 12.2 Coordination Numbers and Geometries for Various Cation-Anion Radius Ratios (r_c/r_A)

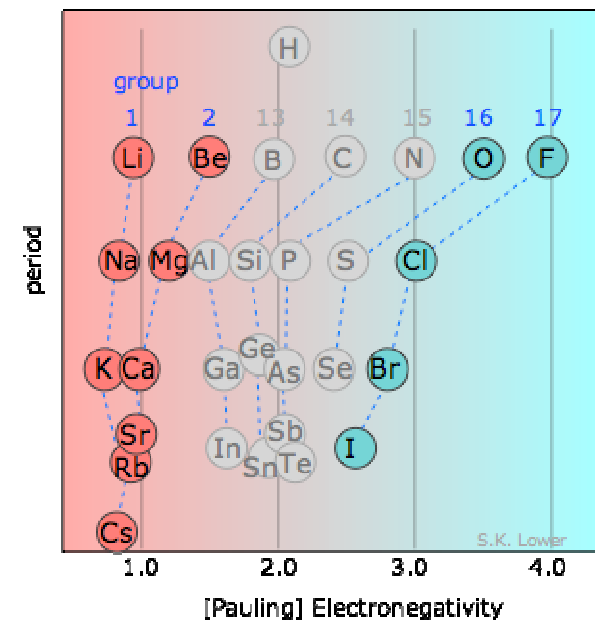
CN	r_c/r_A	Geometry	Crystal structure/Namesake
2	<0.155		
3	0.155- 0.225		
4	0.225- 0.414		"Zinc blend" (ZnS) "Diamond cubic" (Diamond)
6	0.414- 0.732		"Rock salt" (NaCl)
8	0.732- 1.0		For AX: "Cesium chloride" (CsCl) For AX ₂ : "Fluorite" (CaF ₂) For A ₂ X: "Anti-fluorite"

viz 1. Paulingovo pravidlo krystalové struktury

Moore – Pearsonův graf



Bond Type	Electronegativity Difference
pure covalent	< 0.4
polar covalent	between 0.4 and 1.8
ionic	> 1.8



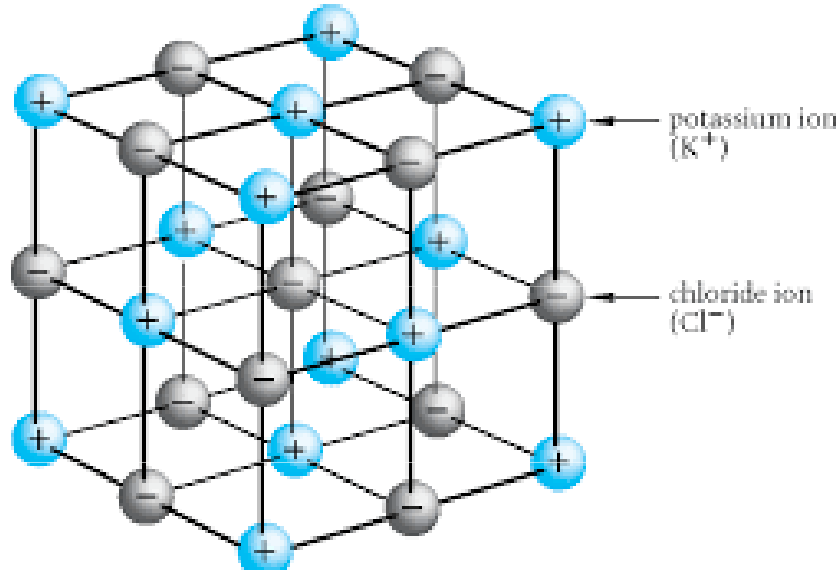
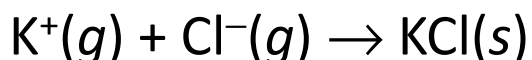
Energie iontové vazby

Když se přiblíží draslíkový a chlorový atom, dojde k výměně elektronu:



Pozitivní energie $\Delta E \Rightarrow$ reakce není energeticky přípustná (neproběhne samovolně).

Hybnou silou procesu tudíž musí být tvorba krystalické tuhé fáze:



Mřížková energie

= energie potřebná k rozrušení iontové vazby a sublimaci iontů (je vždy kladná). Energie systému tvořeného kulovitými ionty dosahuje minima, pokud je každý z nich obklopen maximálním počtem iontů s opačným nábojem. Počet nejbližších sousedů = koordinační číslo.

Mřížkovou energii lze určit z rovnic:

$$E = -\frac{N_A M z^+ z^- e^2}{4\pi\epsilon_0 r_0} \left(1 - \frac{1}{n}\right) \quad \text{Born – Landého rovnice}$$

N_A = Avogadrova konstanta; M = Madelungova konstanta (souvisí s geometrií krystalu); z^+ = náboj kationtu, z^- = náboj aniontu; e = elementární náboj; ϵ_0 = permitivita vakua; r_0 = vzdálenost k nejbližšímu iontu; n = Bornův exponent (číslo mezi 5 a 12, odvozeno experimentálně z kompresibility krystalu nebo experimentálně).

$$E = -\frac{N_A M z^+ z^- e^2}{4\pi\epsilon_0 r_0} \left(1 - \frac{\rho}{r_0}\right) \quad \text{Born – Mayerova rovnice}$$

(zahrnuje i repulzní člen)

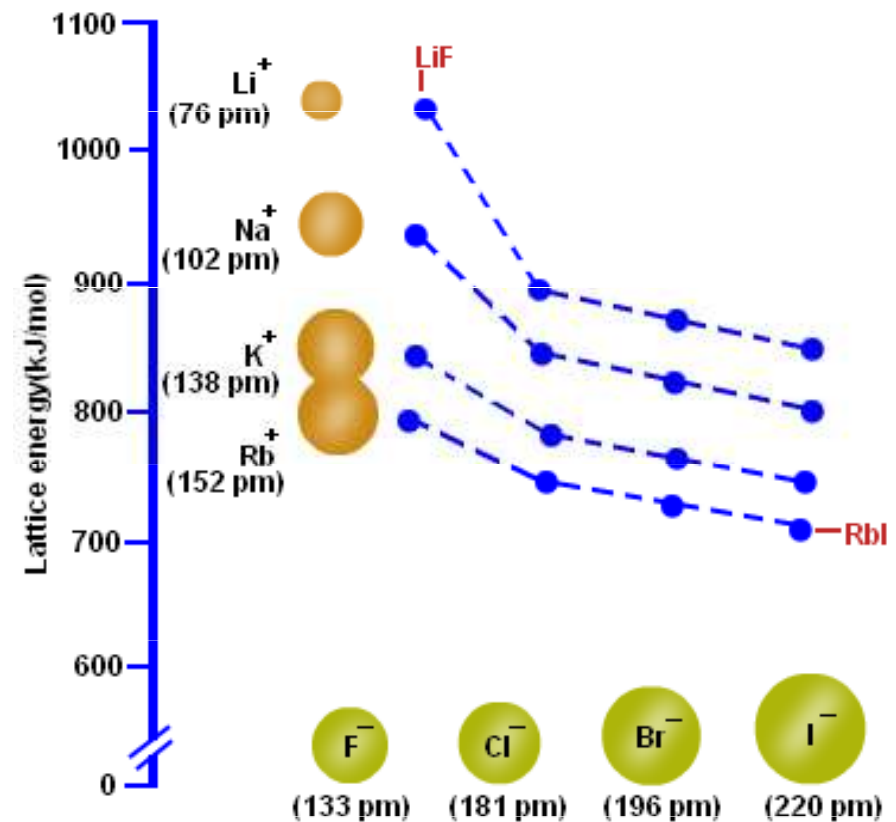
ρ = konstanta závislá na kompresibilitě krystalu; pro alkalické halogenidy je 30 pm)

$$U_L = K \cdot \frac{\nu \cdot |z^+| \cdot |z^-|}{r^+ + r^-} \cdot \left(1 - \frac{d}{r^+ + r^-}\right)$$

Kapustinského rovnice

$K = 1.20200 \times 10^{-4} \text{ J} \cdot \text{m} \cdot \text{mol}^{-1}$; $d = 3.45 \times 10^{-11} \text{ m}$; ν = počet iontů v empirickém vzorci; z^+ a z^- = elementární náboje kationtu a aniontu; r^+ a r^- = poloměry kationtu a aniontu (v m).

Compound	Lattice Energy (kJ/mol)	Compound	Lattice Energy (kJ/mol)
LiF	1030	MgCl ₂	2326
LiCl	834	SrCl ₂	2127
LiI	730	MgO	3795
NaF	910	CaO	3414
NaCl	788	SrO	3217
NaBr	732	ScN	7547
NaI	682		
KF	808		
KCl	701		
KBr	671		
CsCl	657		
CsI	600		



Kromě výpočtu z rovnic lze mřížkovou energii určit na základě **Haber – Bornova cyklu**. U látek s vysokým podílem kovalence se experimentální a vypočítané hodnoty mřížkové energie výrazně liší.

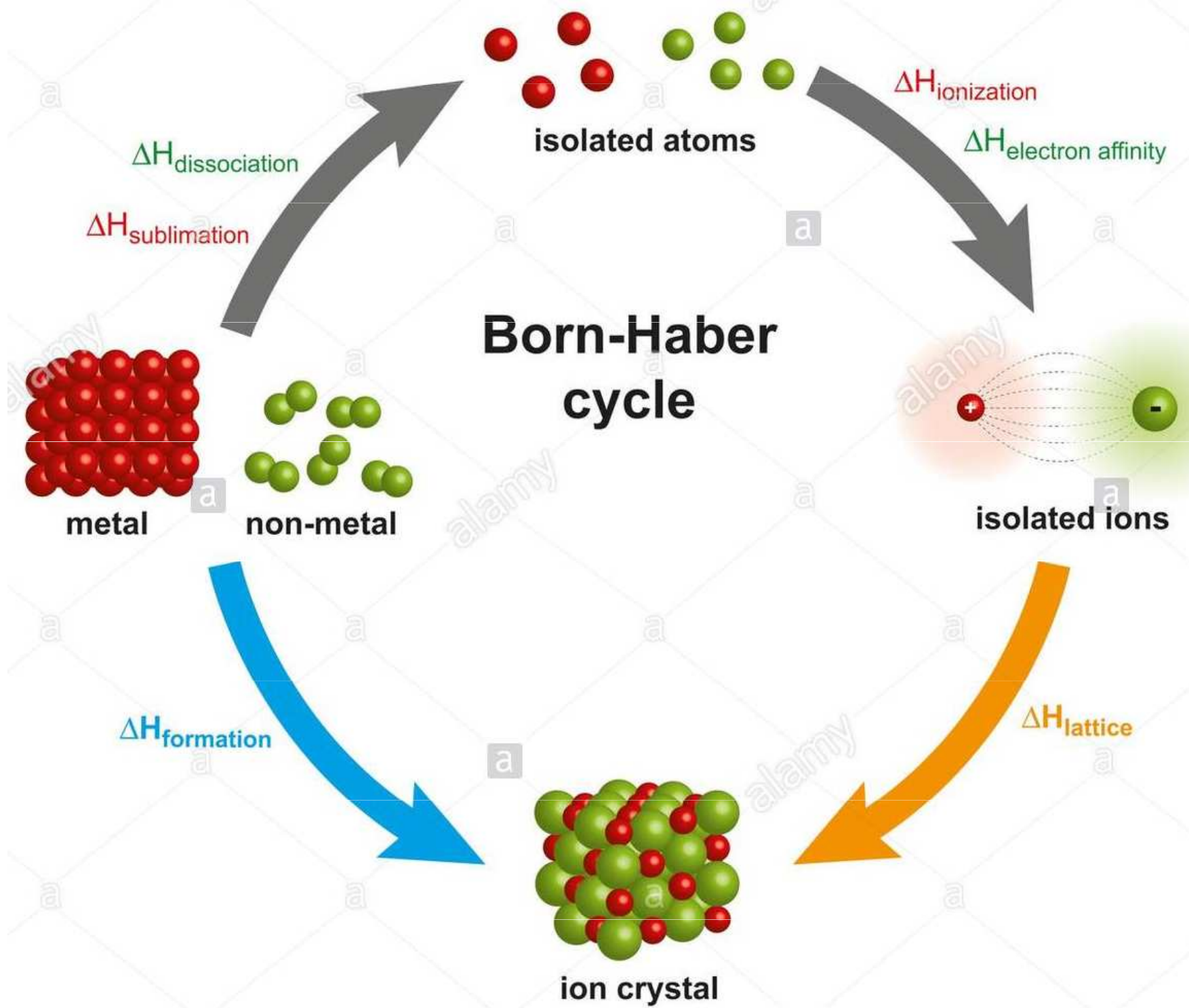
Bornův-Haberův cyklus a mřížková energie

Celková energetická změna při vzniku krystalické fáze může být určena z Bornova-Haberova cyklu, který zahrnuje všechny postupné kroky při vzniku krystalu z prvků. Např. pro krystalický KCl najdeme:

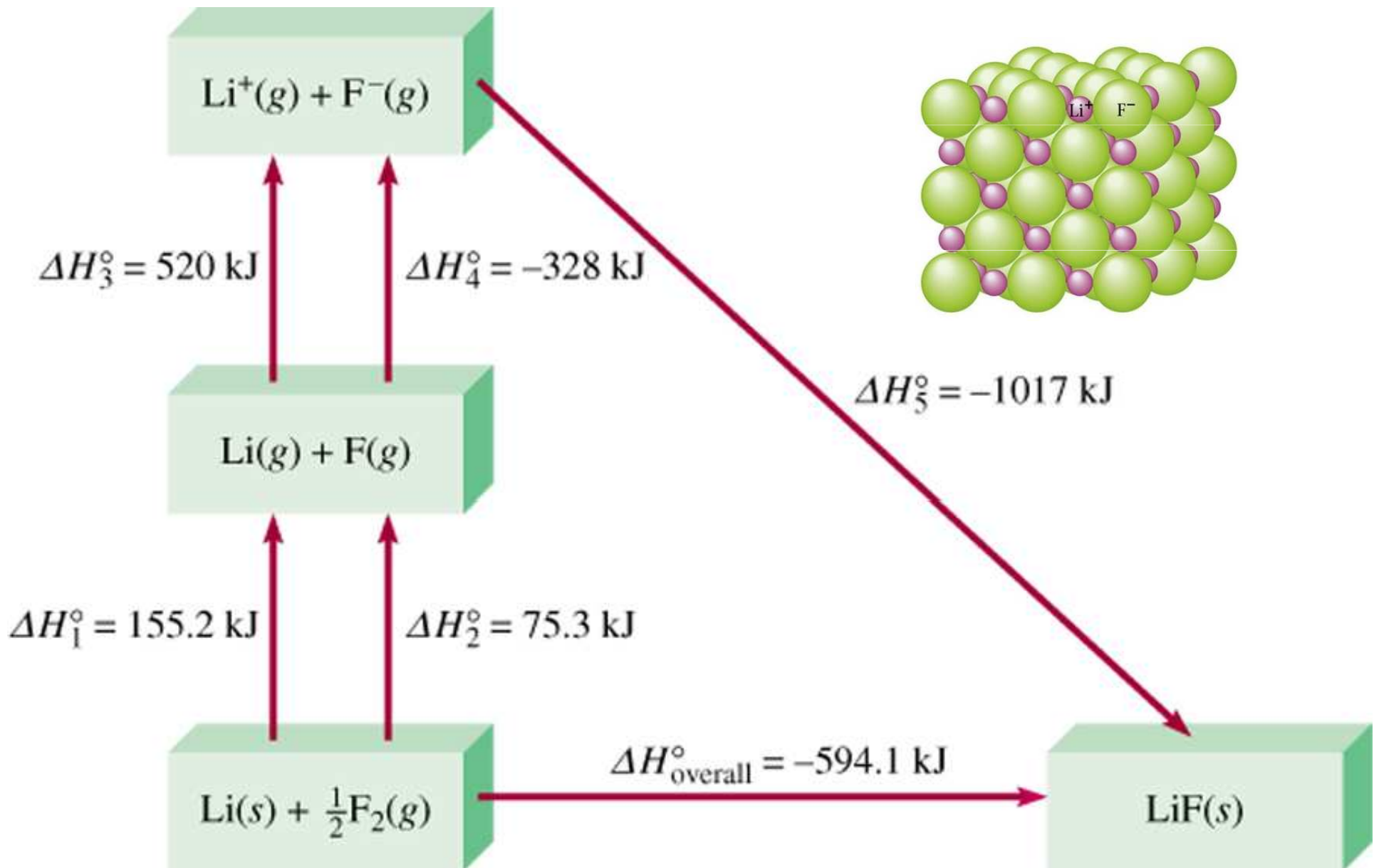
1. Sublimace draslíku
 2. Disociace chloru
 3. Ionizace draslíku (E_i)
 4. Vznik Cl^- aniontu (E_{ea})
 5. Vznik tuhého KCl
- Suma reakcí a energií

$K(s) \rightarrow K(g)$	+89.2 kJ
$1/2 \text{Cl}_2(g) \rightarrow \text{Cl}(g)$	+122 kJ
$K(g) \rightarrow K^+ + e^-$	+418 kJ
$\text{Cl} + e^- \rightarrow \text{Cl}^-$	-348.6 kJ
$K^+(g) + \text{Cl}^-(g) \rightarrow \text{KCl}(s)$	-715 kJ
$K(s) + 1/2 \text{Cl}_2(g) \rightarrow \text{KCl}(s)$	-434.4 kJ

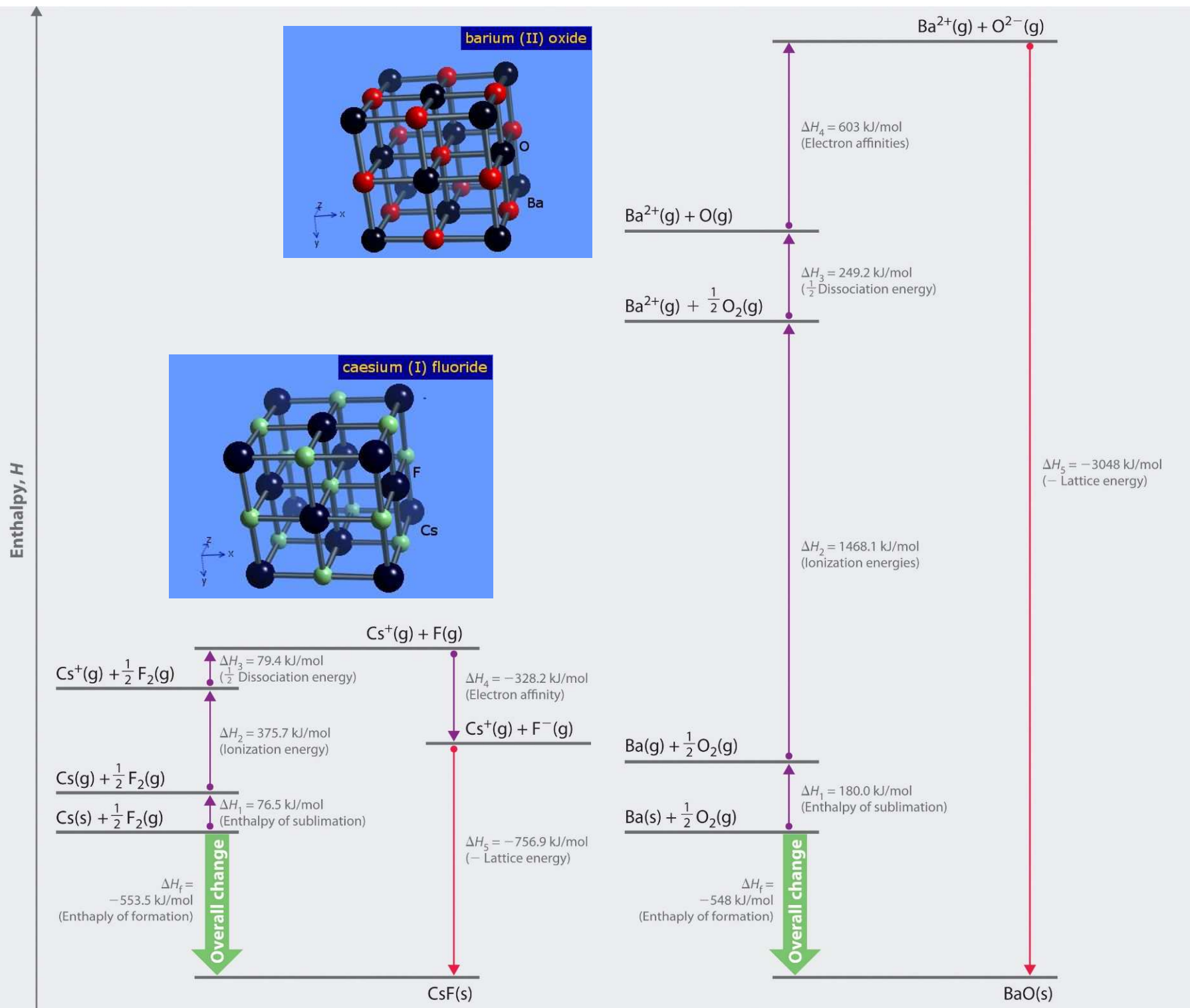
Celková energie -434 kJ/mol potvrzuje že jde o energeticky výhodný proces. Energie 5. kroku je (záporná) mřížková energie.



Bornův-Haberův cyklus pro určení mřížkové energie



$$\Delta H_{\text{overall}} = \Delta H_1 + \Delta H_2 + \Delta H_3 + \Delta H_4 + \Delta H_5$$



Mřížková energie

Compound	Interionic Distance (Angstroms)	Melting Point (Centigrade)	Lattice Energy (kcal/mol)
NaF	2.31	988	-201
NaCl	2.79	801	-182
NaBr	2.94	790	-173
NaI	3.18	660	-159

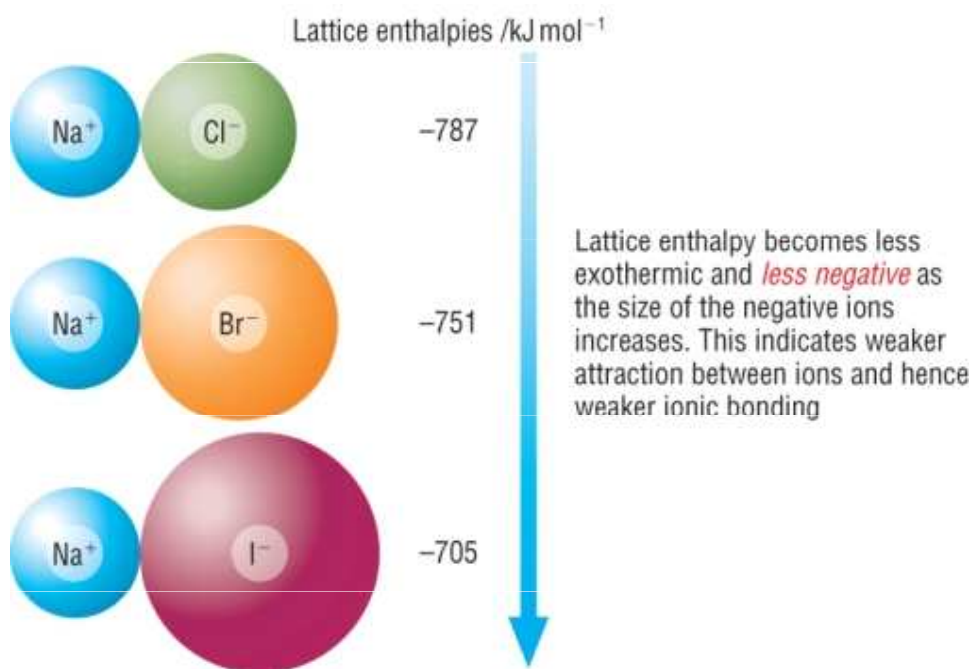
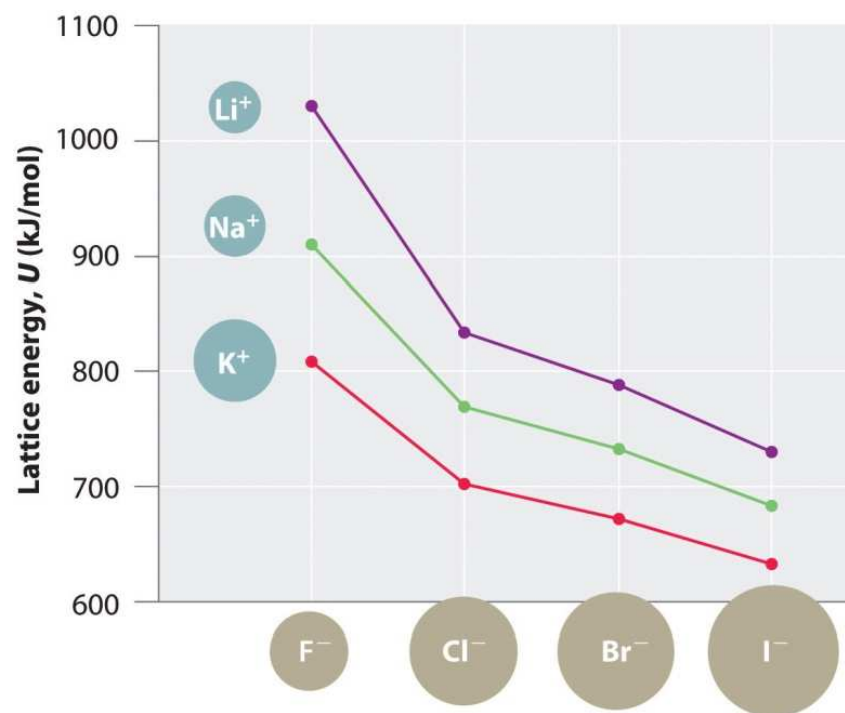
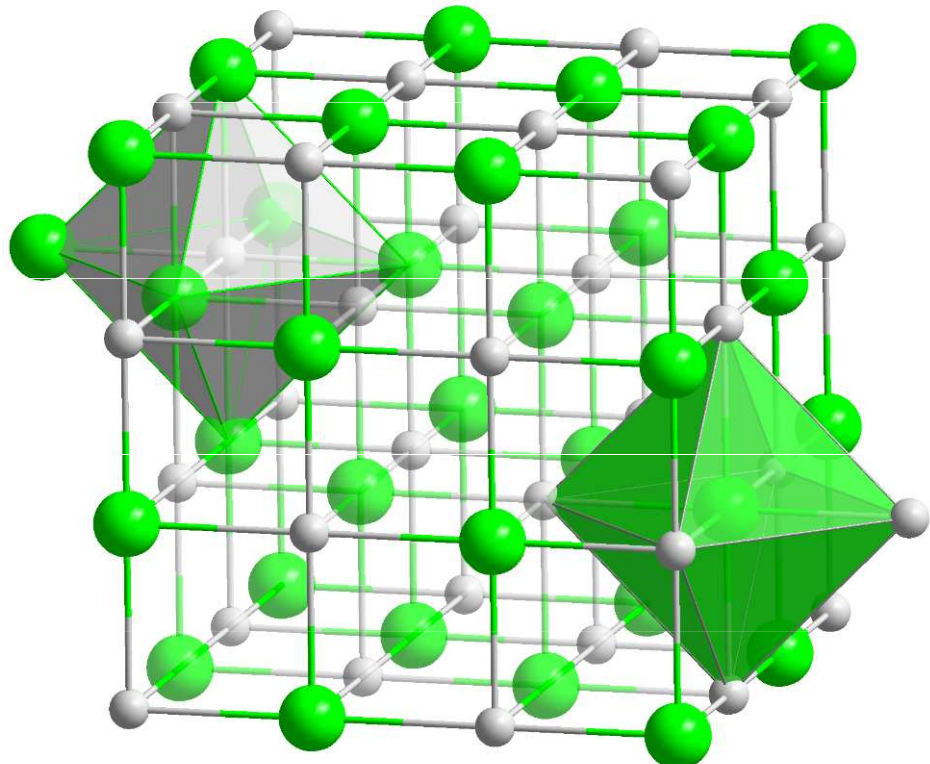


Table 20.5 Lattice enthalpies, $\Delta H_L^\circ/(kJ \text{ mol}^{-1})$

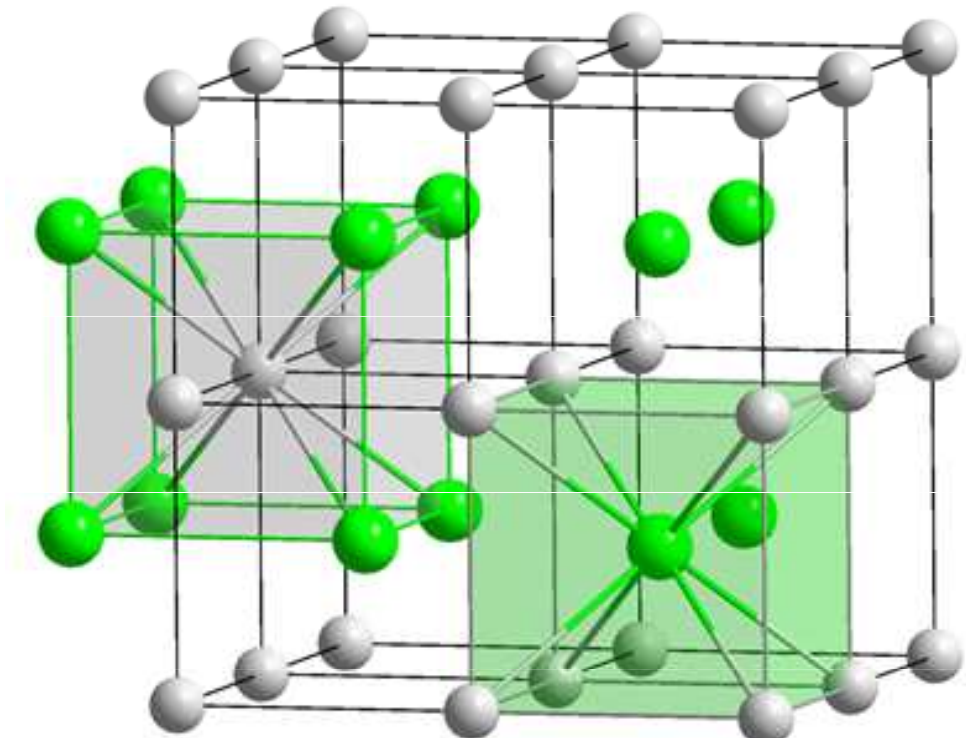
	F	Cl	Br	I
Halides				
Li	1037	852	815	761
Na	926	787	752	705
K	821	717	689	649
Rb	789	695	668	632
Cs	750	676	654	620
Ag	969	912	900	886



Struktura ionových krystalů typu AX

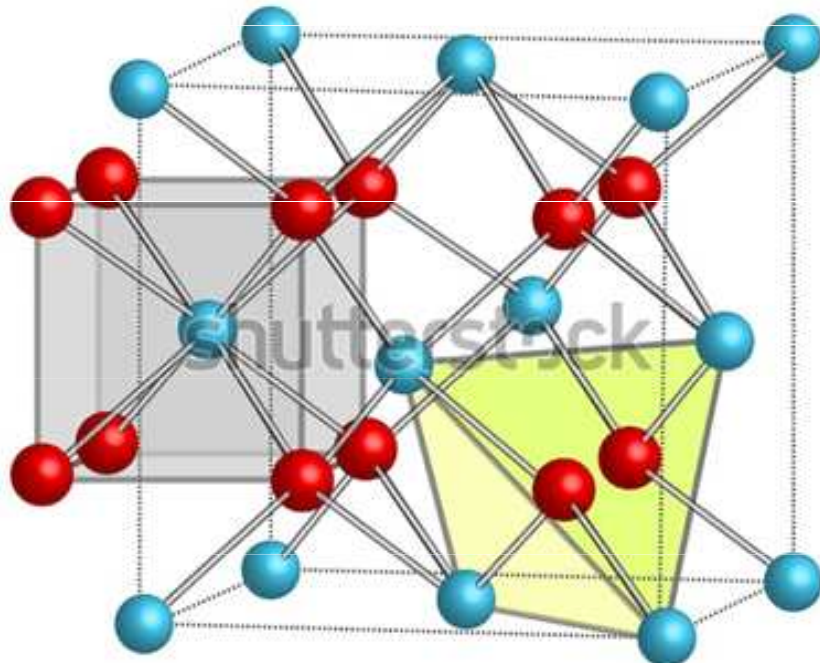


Struktura NaCl
(fcc)

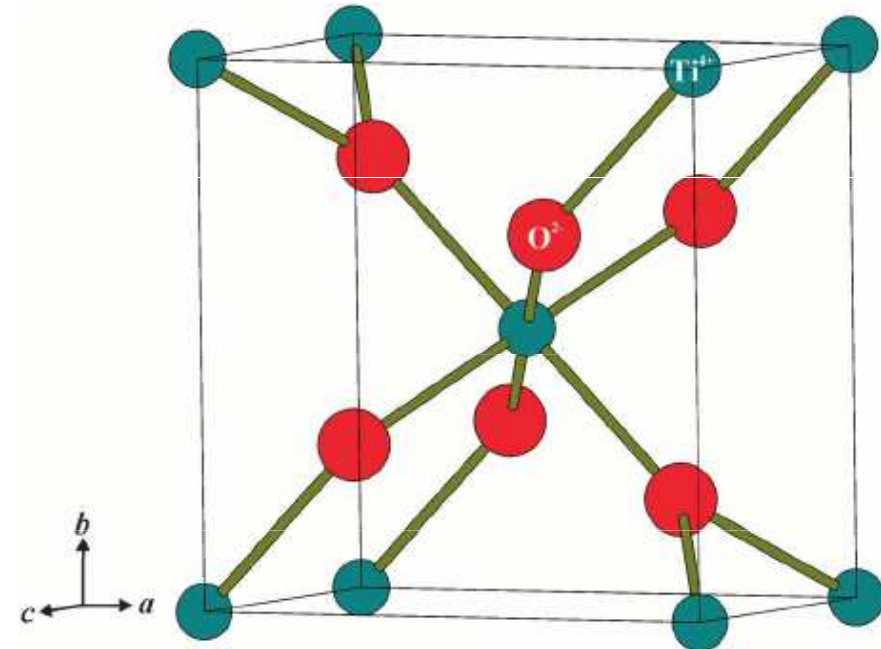


Struktura CsCl
(bcc)

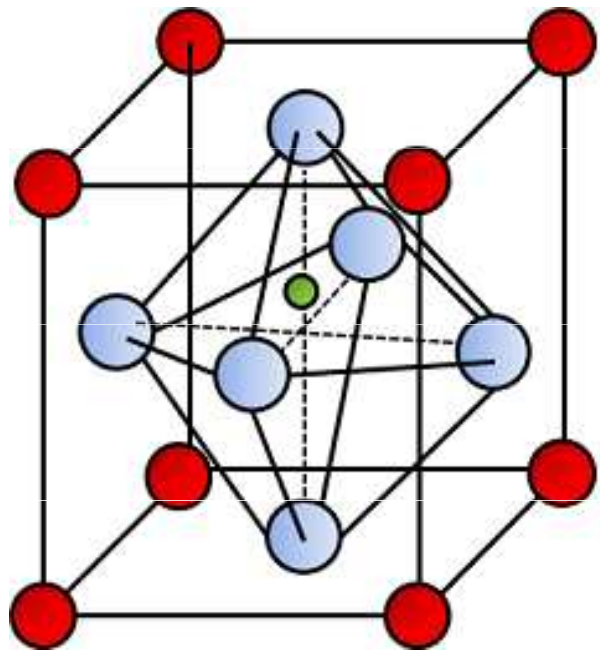
Struktura iontových krystalů typu AX_2



Struktura fluoritu CaF_2
(fcc)



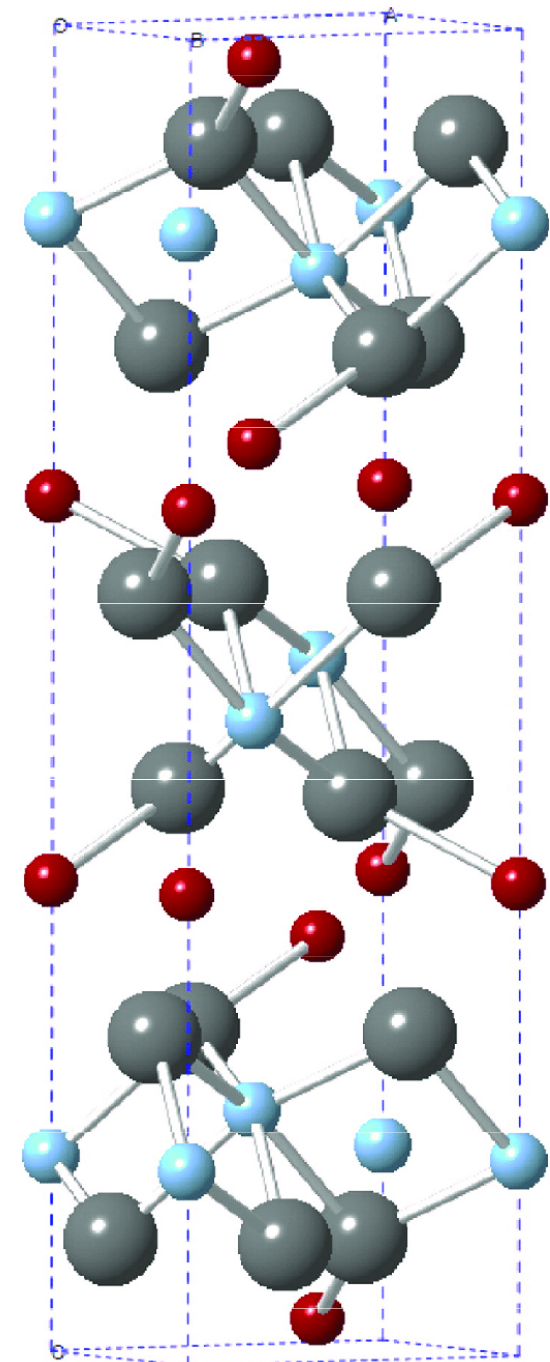
Struktura rutilu TiO_2
(bcc)

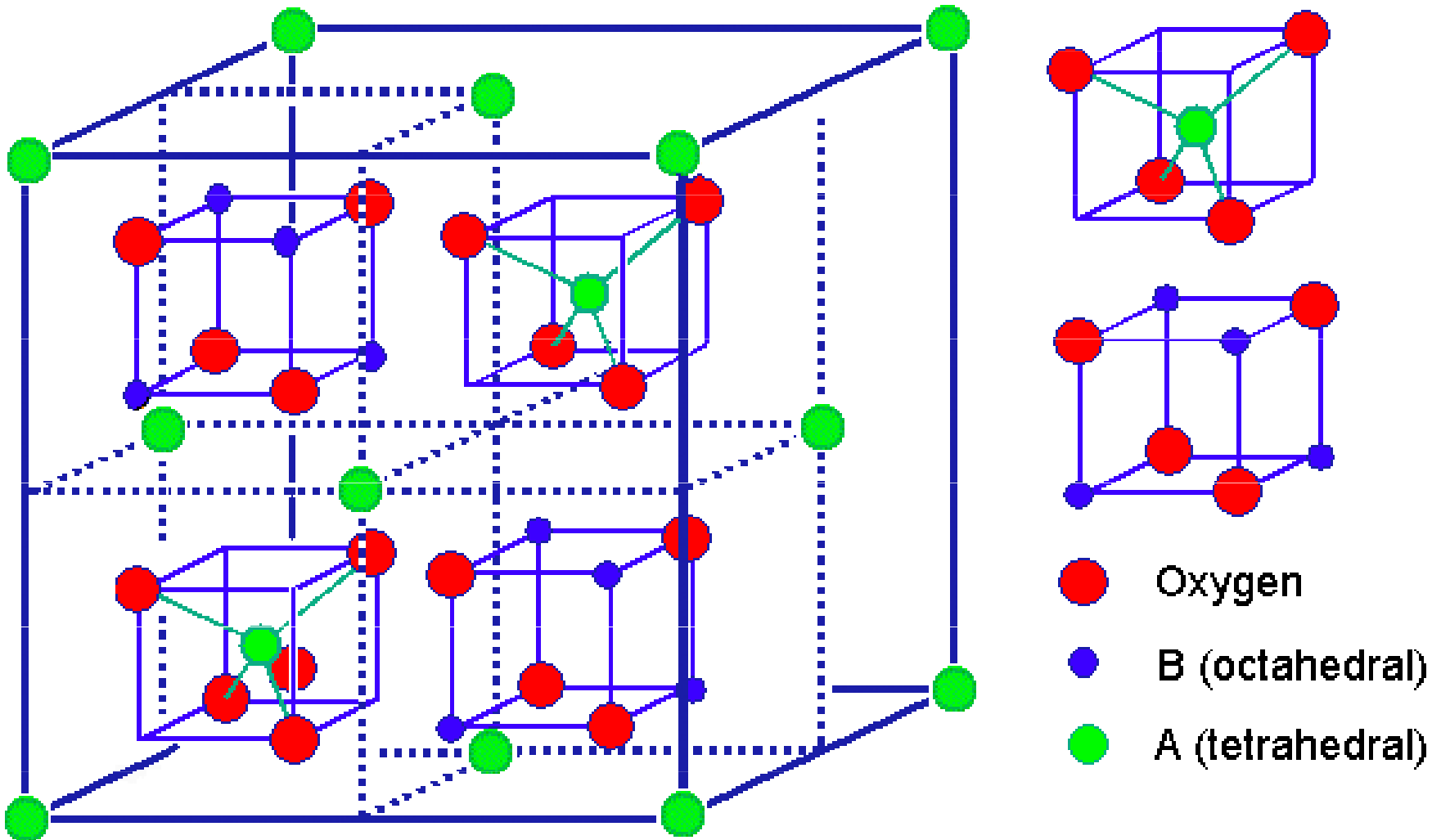


● Ca^{2+}
● O^{2-}
● Ti^{4+}

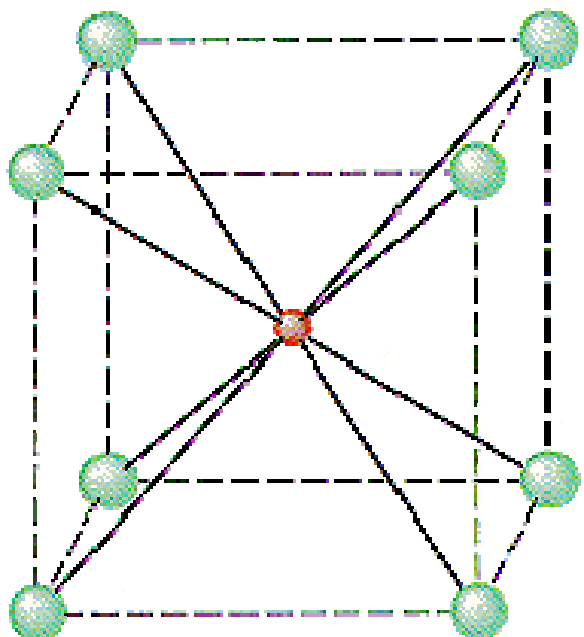
Perovskit (BaTiO_3 nebo CaTiO_3)

Ilmenit (FeTiO_3)

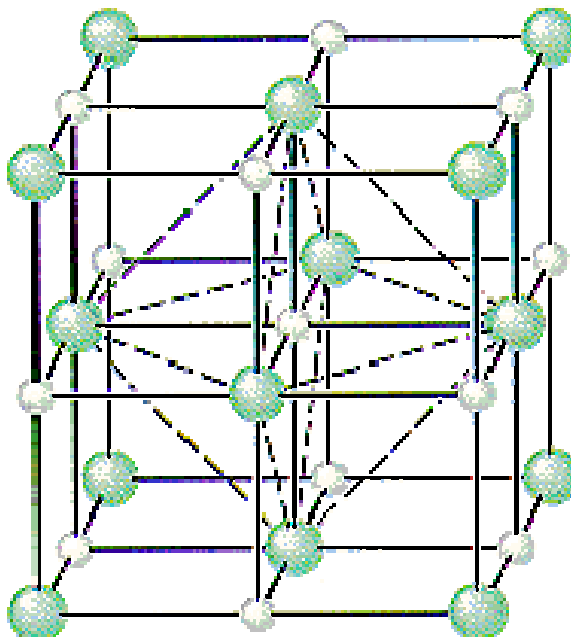




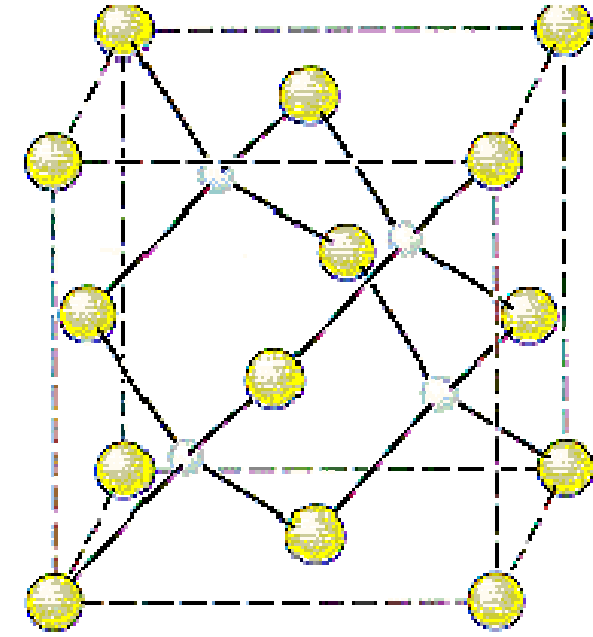
spinel (MgAl_2O_4)



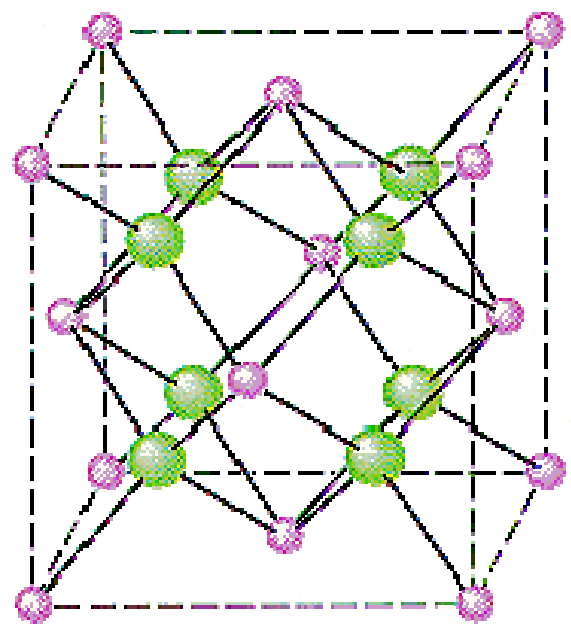
CsCl



NaCl

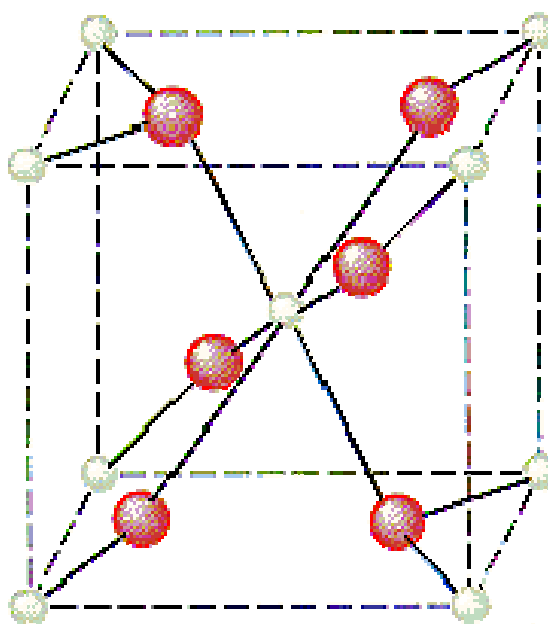


Zinc blende (cubic ZnS)



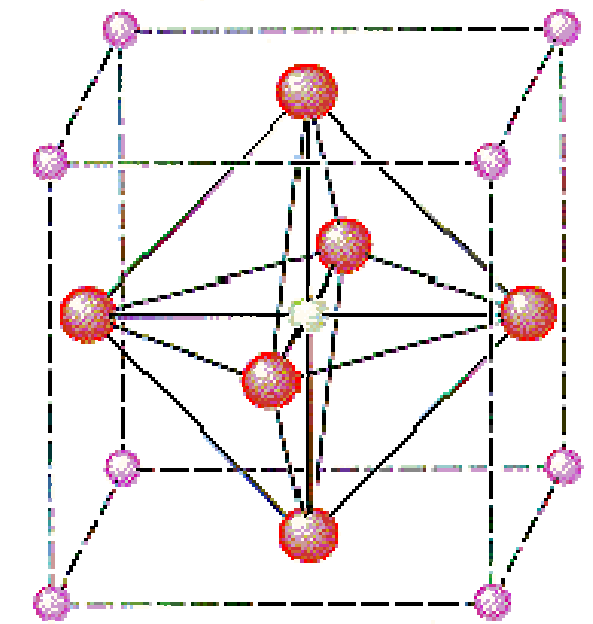
Flourite (CaF_2)

● = Ca^{2+}



Rutile (TiO_2)

● = Ti^{IV}



Perovskite (CaTiO_3)

● = Ti^{IV} ● = Ca^{2+} ● = O^{2-}

Izomorfie

Izomorfie = schopnost látek vytvářet při krystalizaci ze společného roztoku nebo taveniny směsné krystaly (krystaly obsahující obě látky).

Podmínkou je příbuzná stechiometrie: mezi částicemi existují analogické síly, částice jsou přibližně stejně velké (viz. **Goldschmidtova pravidla**), nebo mají alespoň podobnou krystalovou strukturu.

Příklady:

1. Síran draselný a síran amonný jsou izomorfní. Oba krystalují v kosočtverečné soustavě.
2. K_2SO_4 , K_2SeO_4 , K_2CrO_4 a K_2MnO_4 jsou izomorfní. Mají stejný typ aniontu XO_4^{2-} .
3. LiCl a KCl nejsou izomorfní, netvoří směsné krystaly. Délka hrany elementární buňky je u KCl 0,626 nm, u LiCl 0,515 nm.
4. Olivín je kosočtverečný minerál s proměnlivým podílem železa (iontový poloměr 0,86 Å) a hořčíku (iontový poloměr 0,80 Å). Podobně existuje řada směsných krystalů také mezi fayalitem Fe_2SiO_4 a forsteritem Mg_2SiO_4 .

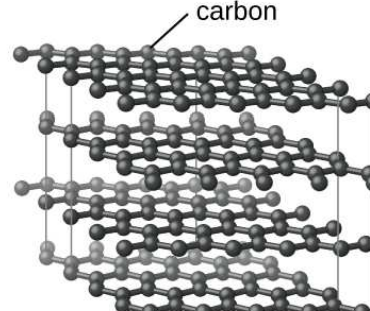
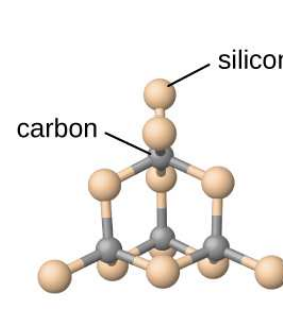
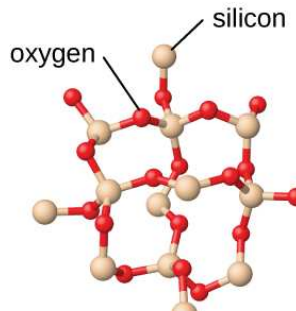
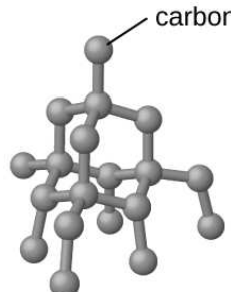
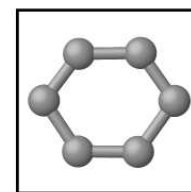
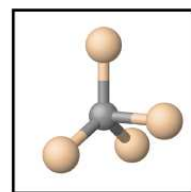
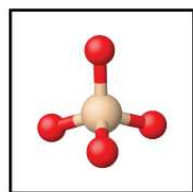
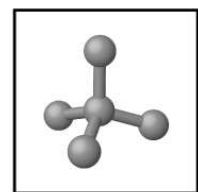
Izomorfní krystaly tvoří skalice, kamence, schoenity a spinely.

Kovalentní pevné látky

Amorfní: nemají velké oblasti pravidelného vnitřního uspořádání.

Krystalické: částice jsou pravidelně uspořádány v krystalické mřížce.

Kovalentní vazby často bývají v krystalické struktuře kombinovány s jiným typem vazeb (iontová, van der Waalsova, vodíková vazba)



diamond

silicon dioxide

silicon carbide

graphite

Atomové kovalentní (valenční) krystaly

Částice v krystalu jsou navzájem poutány kovalentními vazbami. Kovalentní vazby jsou velmi pevné, je obtížné je rozrušit. Krystal je proto tvrdý, netavitelný a netěkavý (body tání a varu jsou velmi vysoké).

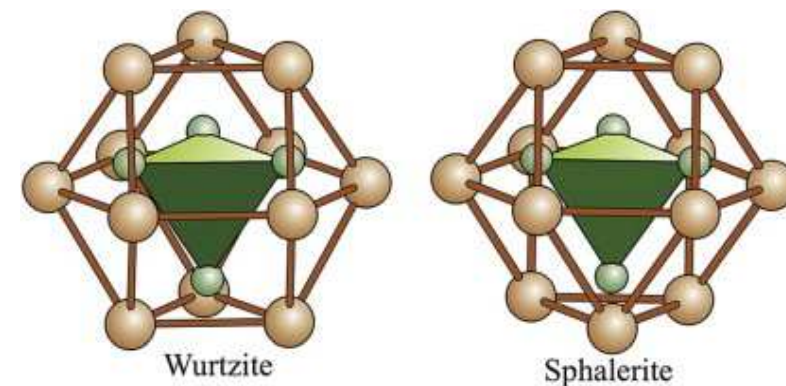
Diamant: b.t. > 3500 °C, b.v. = 4200 °C

Karbid křemíku, SiC: sublimuje za současného rozkladu při 2600 °C

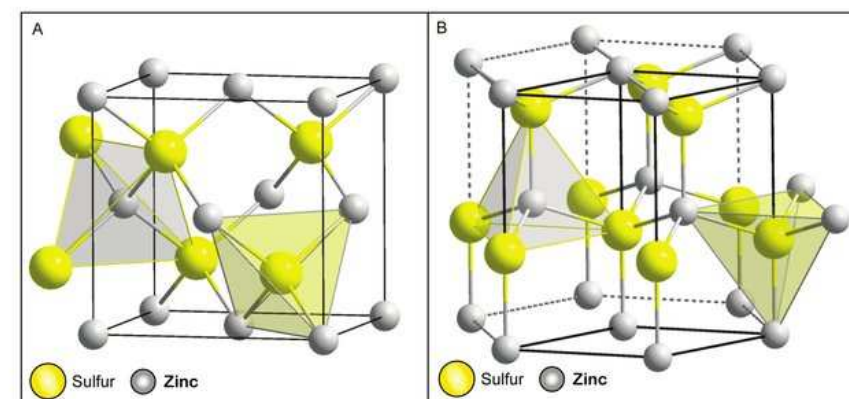
Nitrid hliníku, AlN: sublimuje kolem 2000 °C

Cristobalit, SiO₂: b.t. = 1710 °C, b.v. = 2230 °C

Wurtzit, ZnS: b.t. 1850 °C (pro tlak 152 bar)



Typickými krystalovými strukturami jsou struktury s koordinačním číslem 4: sfalerit (diamant) a wurtzit.



- A. kubická struktura sfaleritu.
- B. hexagonální struktura wurtzitu

Pravidlo 8 – N

Pravidlo 8-N (Hume Rothery 1931): V krystalech, resp. v molekulách, prvků V. – VII. skupiny je počet nejbližších sousedních atomů $8 - N$, kde N je číslo skupiny daného prvku v periodické soustavě (atomy si tak doplňují oktet). Rozdíl $8 - N$ reprezentuje počet nepárových valenčních elektronů a tudíž udává počet možných kovalentních vazeb.

Platí pouze tehdy, je-li splněno oktetové pravidlo.

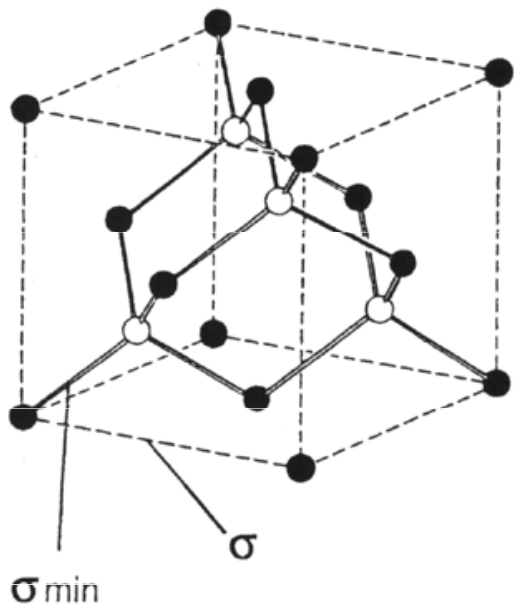
Vzácné plyny: existují pouze v atomární formě ($8 - N = 8 - 8 = 0$).

Halogeny: tvoří jednu jednoduchou vazbu ($8 - N = 8 - 7 = 1$), existují tedy ve formě molekul X_2 .

Chalkogeny: v molekule kyslíku O_2 je jedna dvojná vazba, zatímco atom síry je v molekule S_8 , resp. v řetězcích $-S-S-S-S-$, vázán dvěma jednoduchými vazbami ($8 - N = 8 - 6 = 2$).

Pentely: v molekule dusíku N_2 je jedna trojná vazba, fosfor je v molekule P_4 vázán třemi jednoduchými vazbami ($8 - N = 8 - 5 = 3$).

Tetrely: atomy těchto prvků (např. C, Si) jsou vázány čtyřmi vazbami ($8 - N = 8 - 4 = 4$).

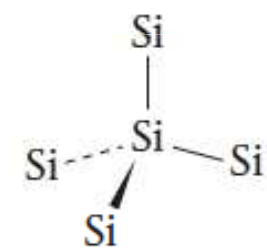
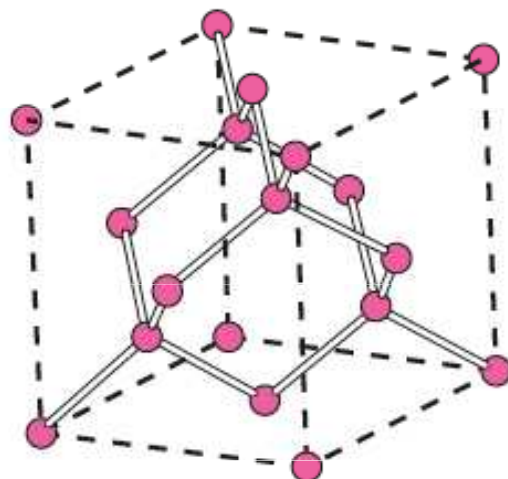
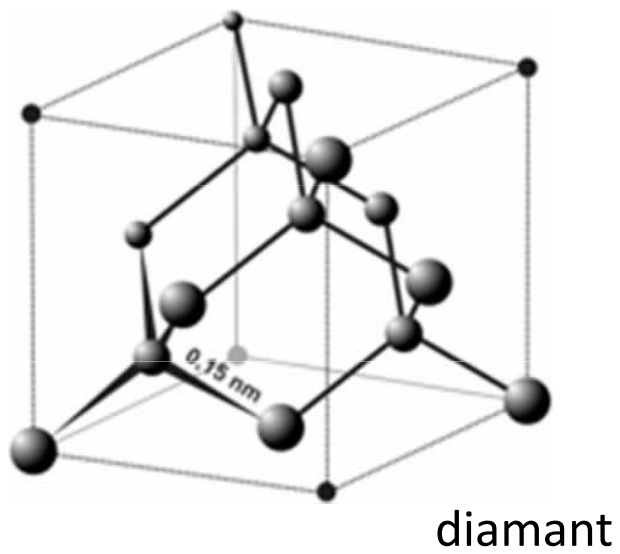


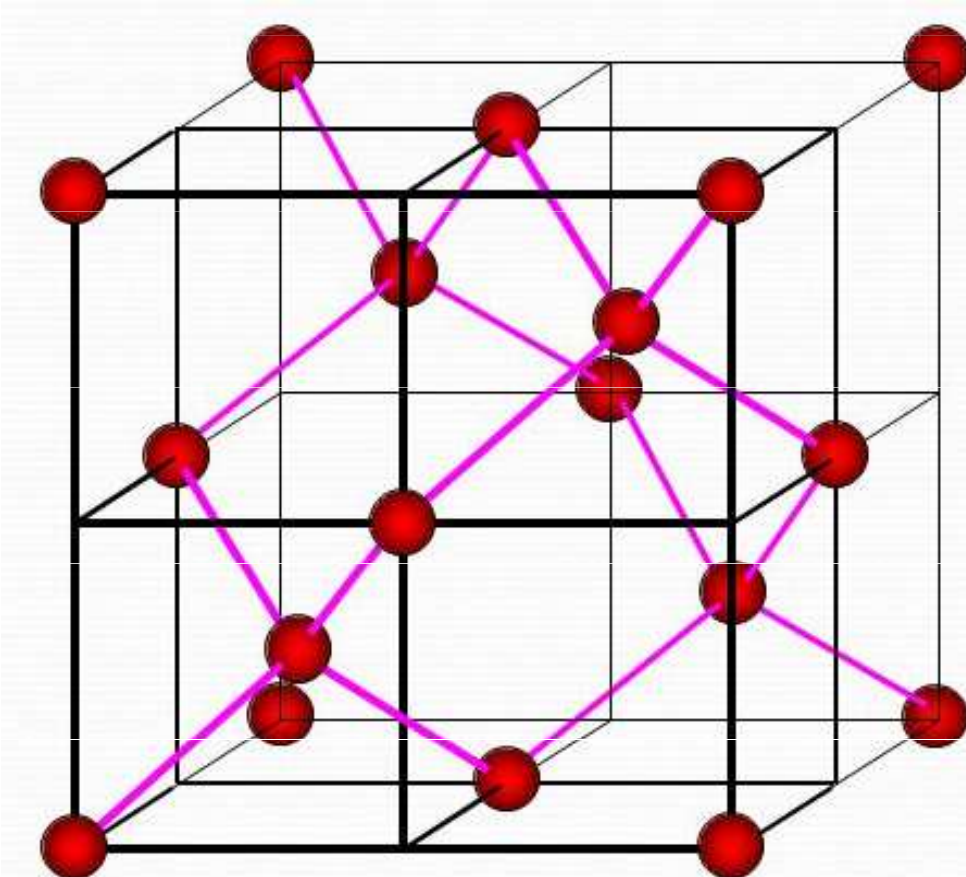
diamond lattice

	σ [nm]	σ_{\min} [nm]
diamond	0.357	0.154
silicon	0.543	0.235
germanium	0.565	0.245
tin	0.646	0.281

cubic zinc blende lattice

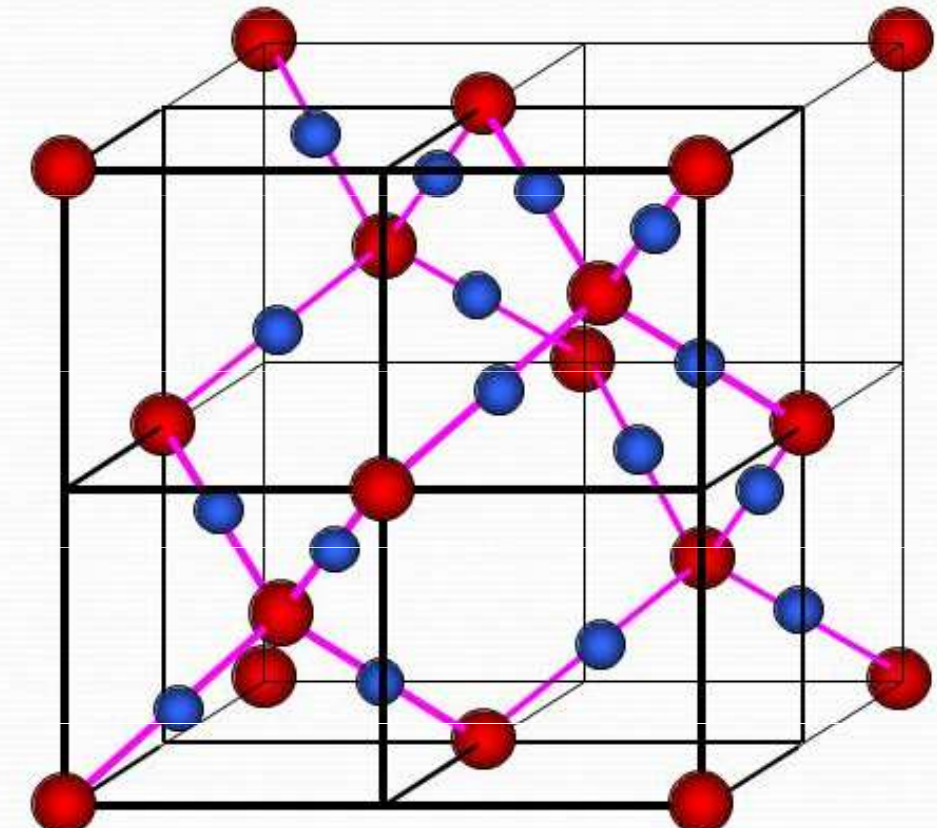
ZnS	0.541
β -SiC	0.435
GaAs	0.565





● = Si

Křemík (Si)



● = Si ● = O

Kristobalit (SiO_2)

Grimm–Sommerfeldovo pravidlo

Grimm–Sommerfeldovo pravidlo: Binární sloučeniny prvků $(N-k)$ -té a $(N+k)$ -té skupiny mají vlastnosti prvků N -té skupiny. Binární kovalentní sloučeniny, mající v průměru 4 elektrony na 1 atom, budou mít strukturu s tetraedrickou koordinací atomů (t.j. wurtzitovou strukturu).

Příklady:

IV. skupina: SiC,

III.-V. skupina: InP, GaAs

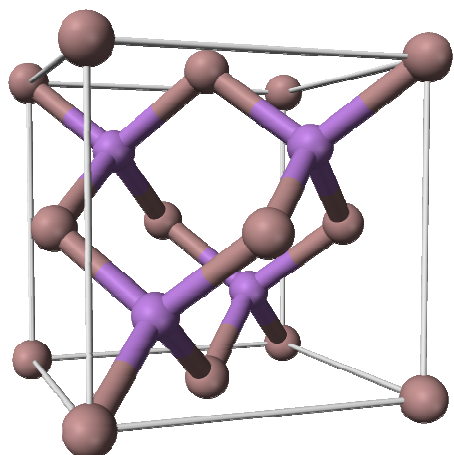
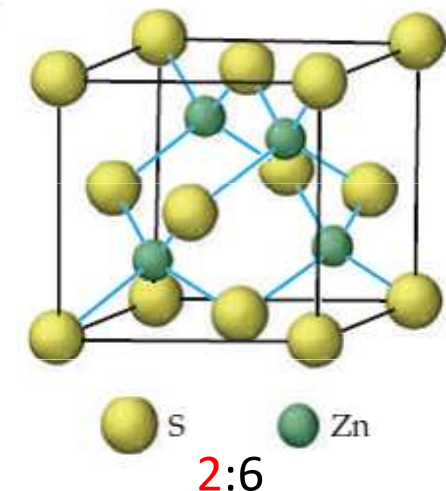
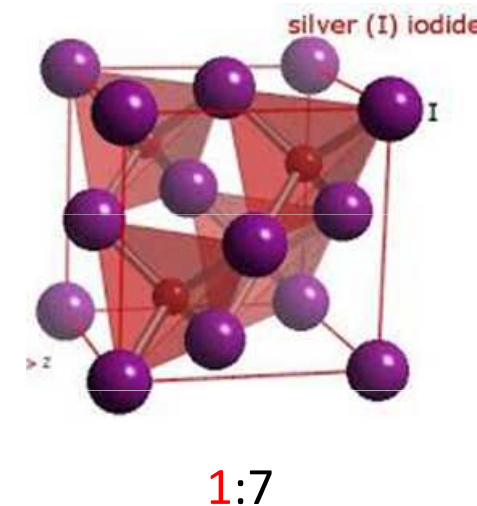
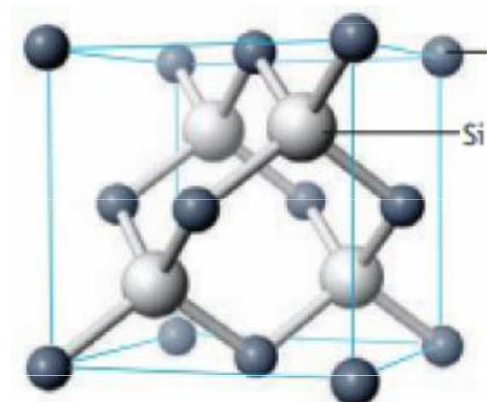
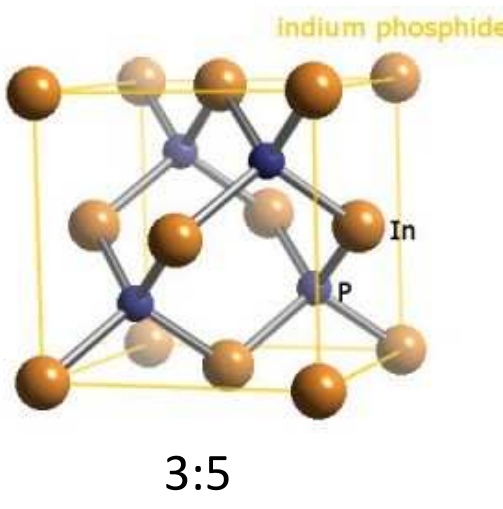
II.-VI. skupina: CdS, CdSe

Pravidlo může být rozšířeno i na predikci délky vazeb predict v látkách splňujících Grimm–Sommerfeldovo pravidlo – když je stejná suma atomových čísel, je stejná i délka vazby:

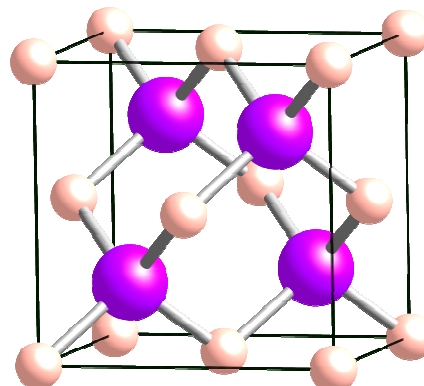
Např. vazba Ge–Ge v germaniu, vazba Ga–As v galium arsenidu, vazba Zn–Se v ZnSe a vazba Cu–Br v CuBr mají délky skoro stejné (v rozmezí 244.7 pm to 246 pm).

Pravidlo platí i pro ternární sloučeniny, jejichž průměrný počet valenčních elektronů na atom je 4.

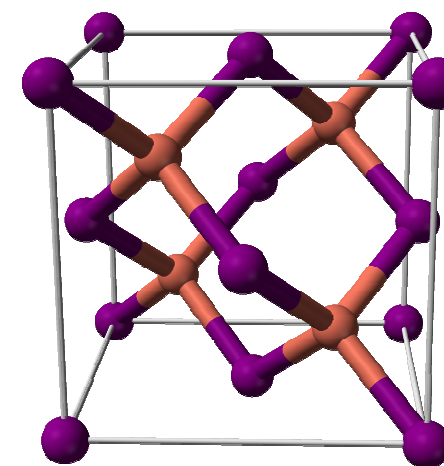
Např. CuGe₂P₃ má sfaleritovou strukturu.



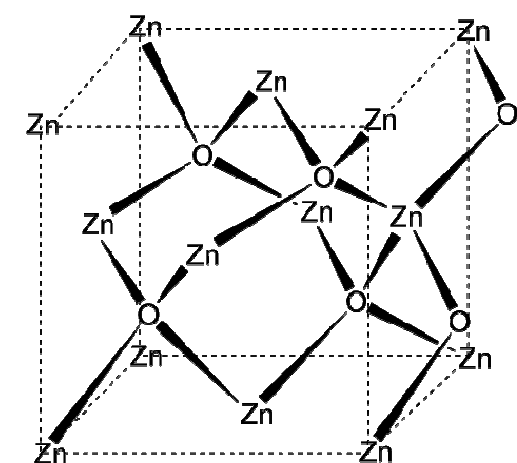
GaAs
3:5



BAs
3:5

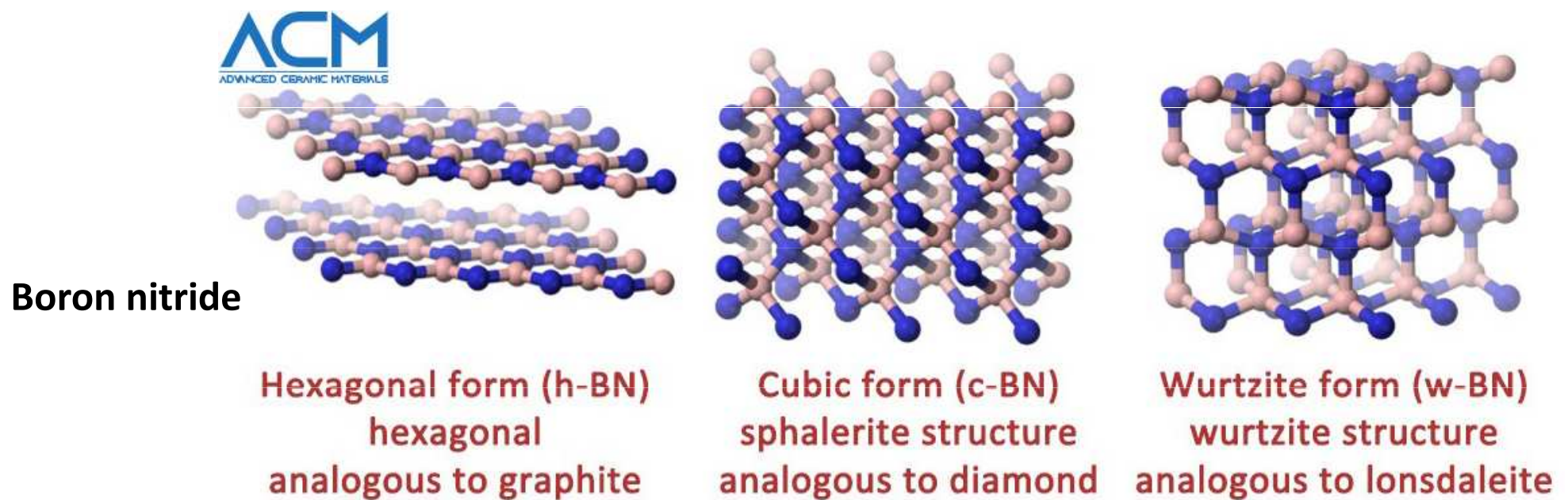
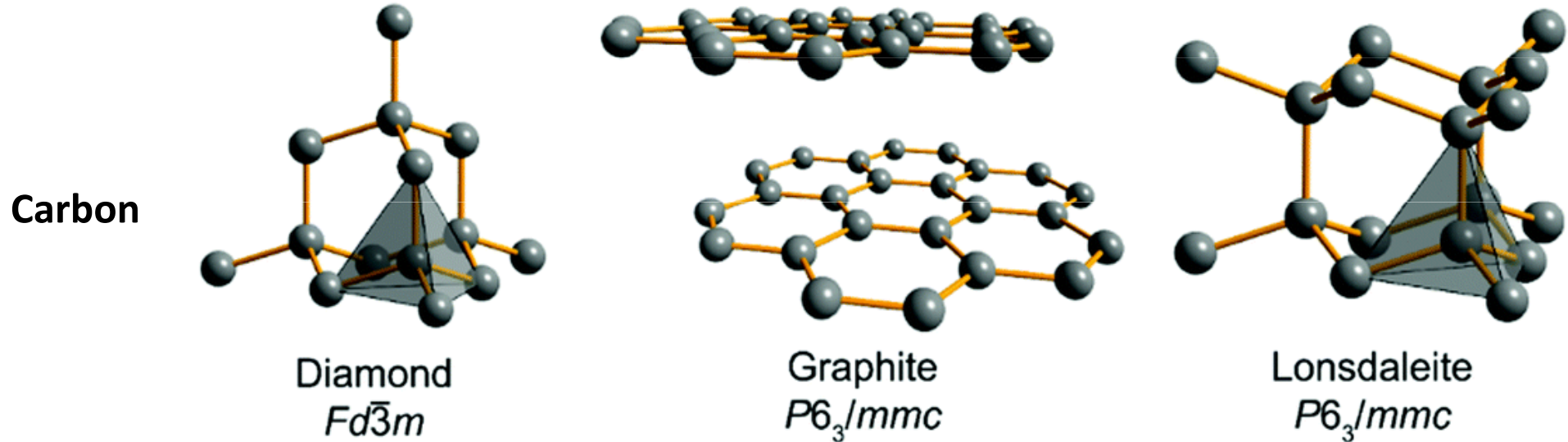


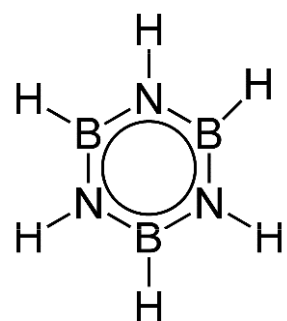
CuI
1:7



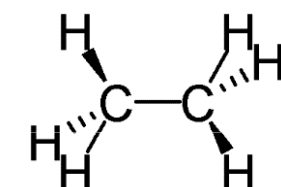
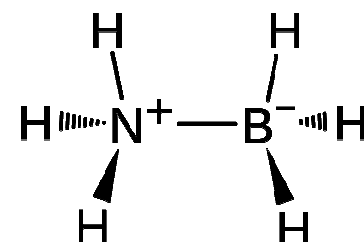
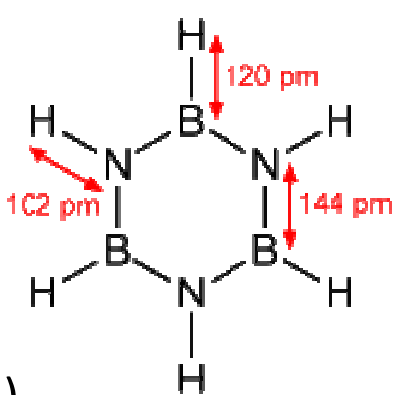
2:6

3-7 = III.A-VII.A skupina, **1** = I.B skupina, **2** = II.B skupina

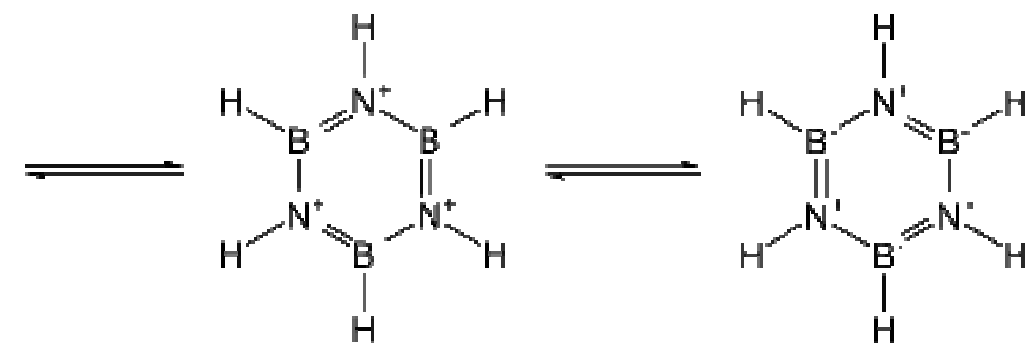
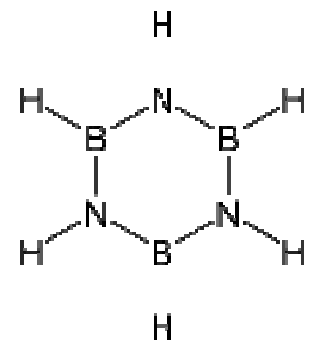
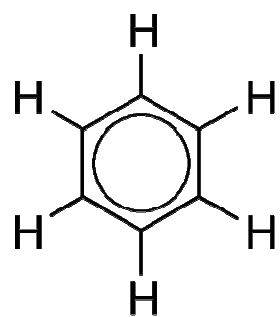
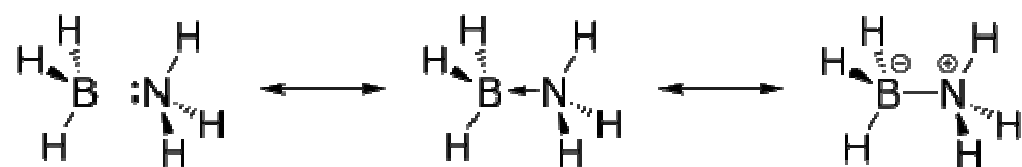
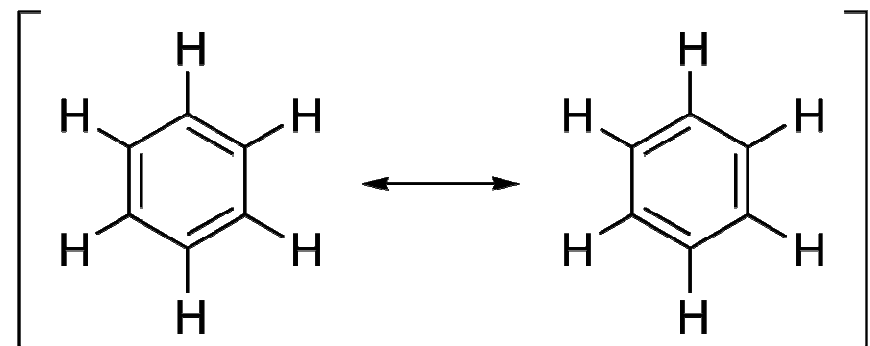




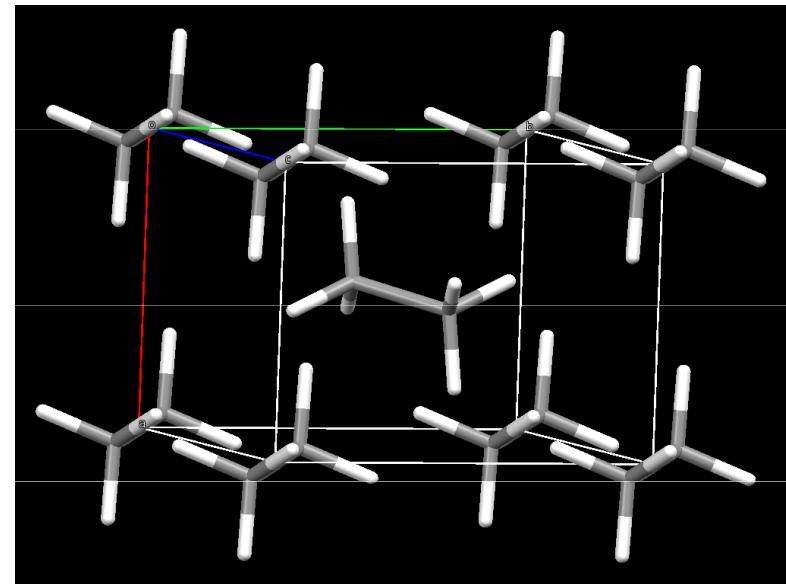
Borazol (borazin)



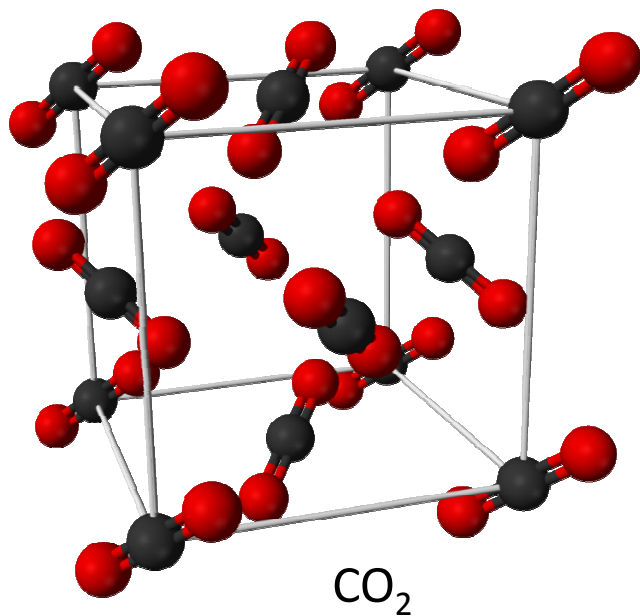
Borazan



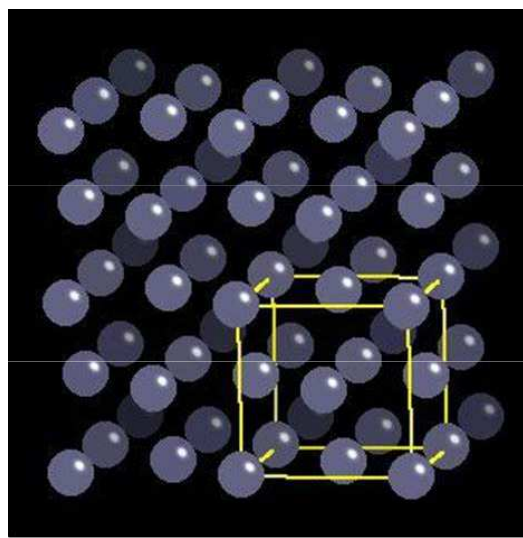
Krystaly s van der Waalsovými silami



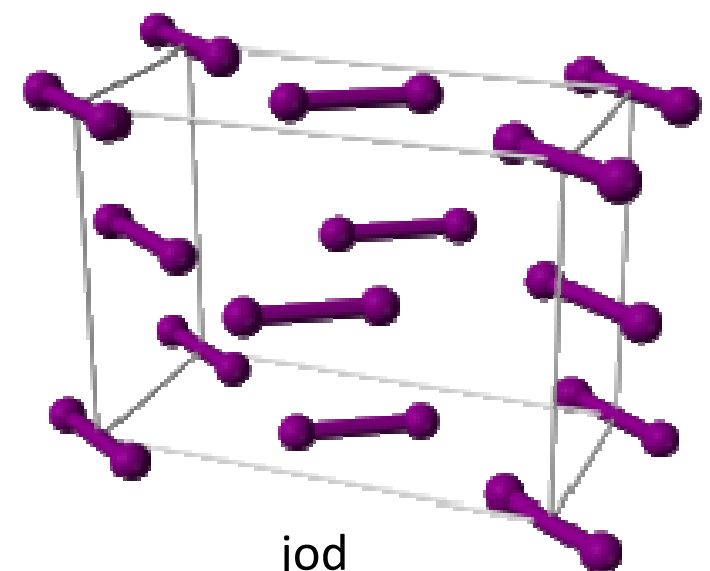
Ethan



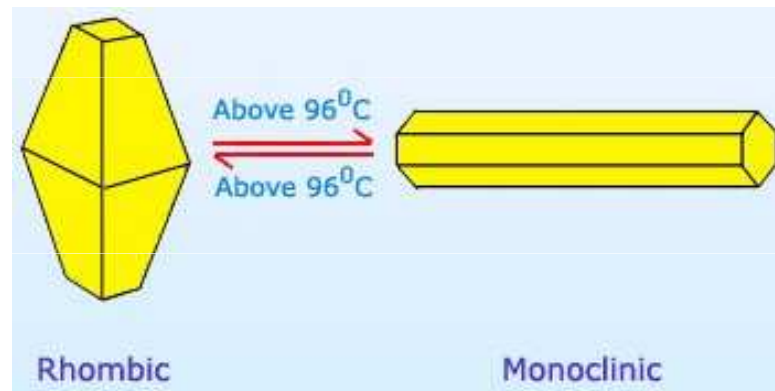
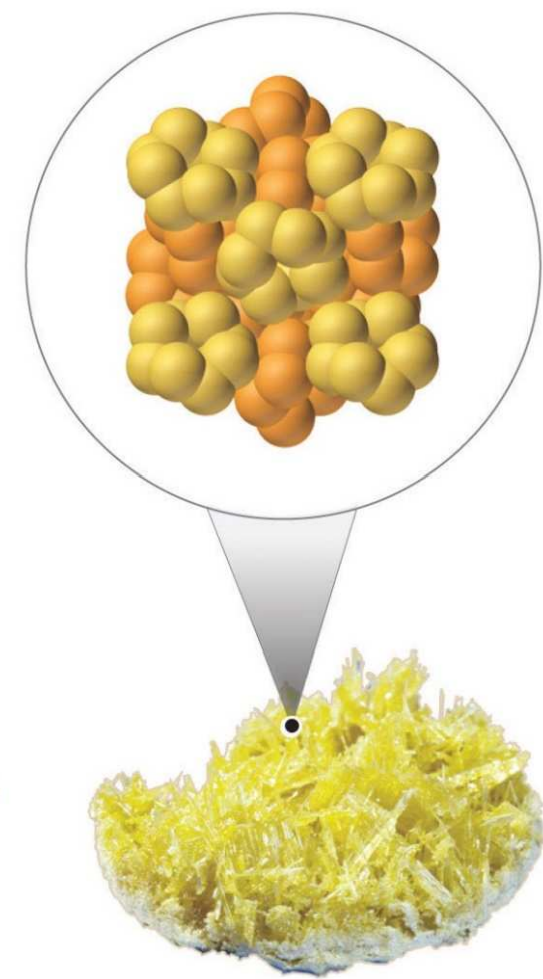
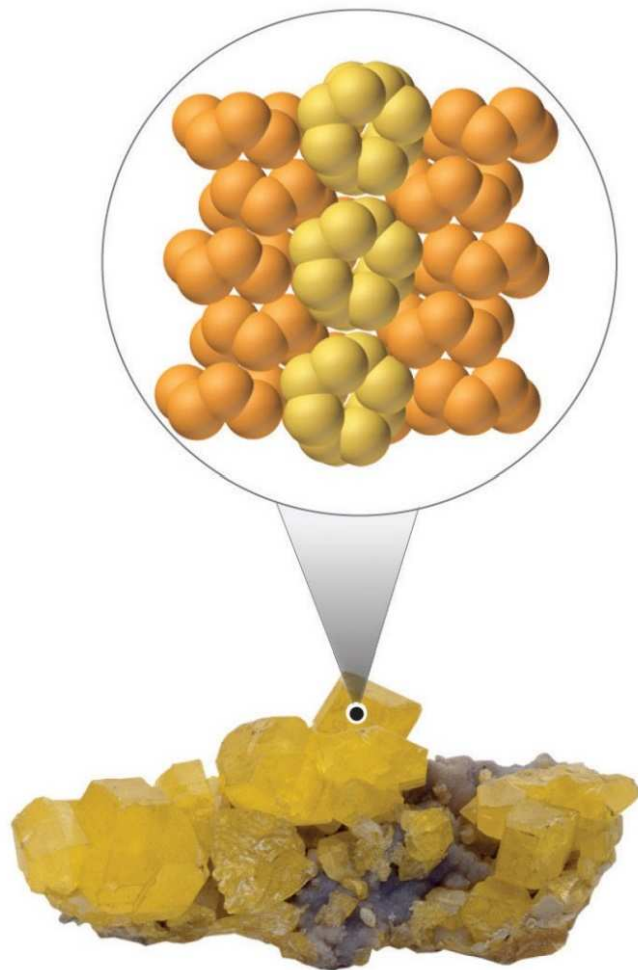
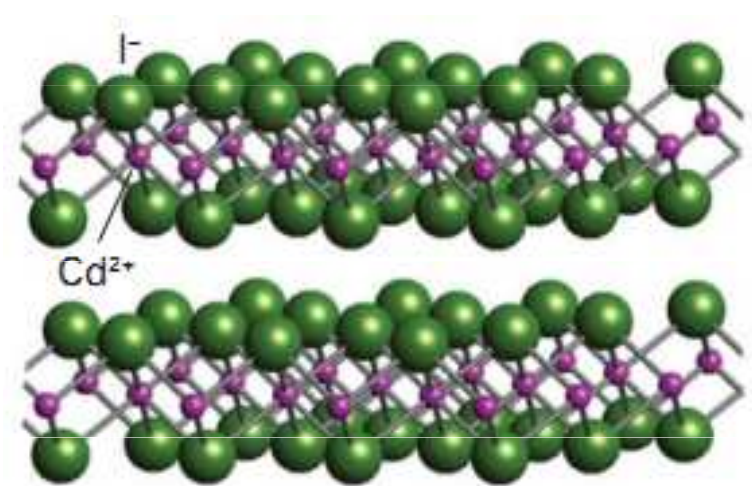
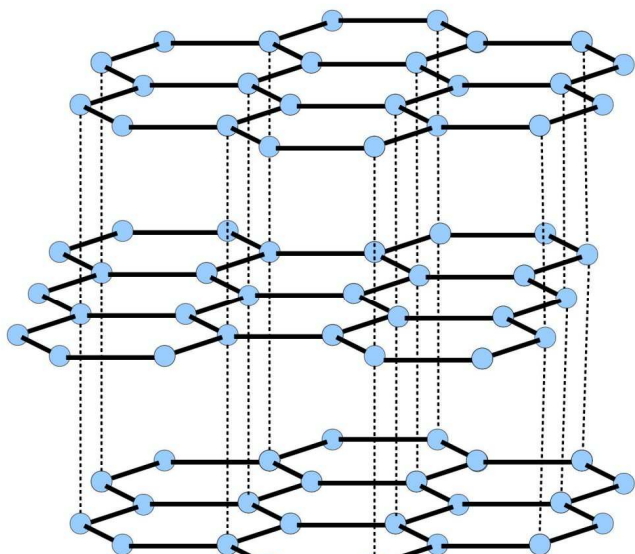
CO₂

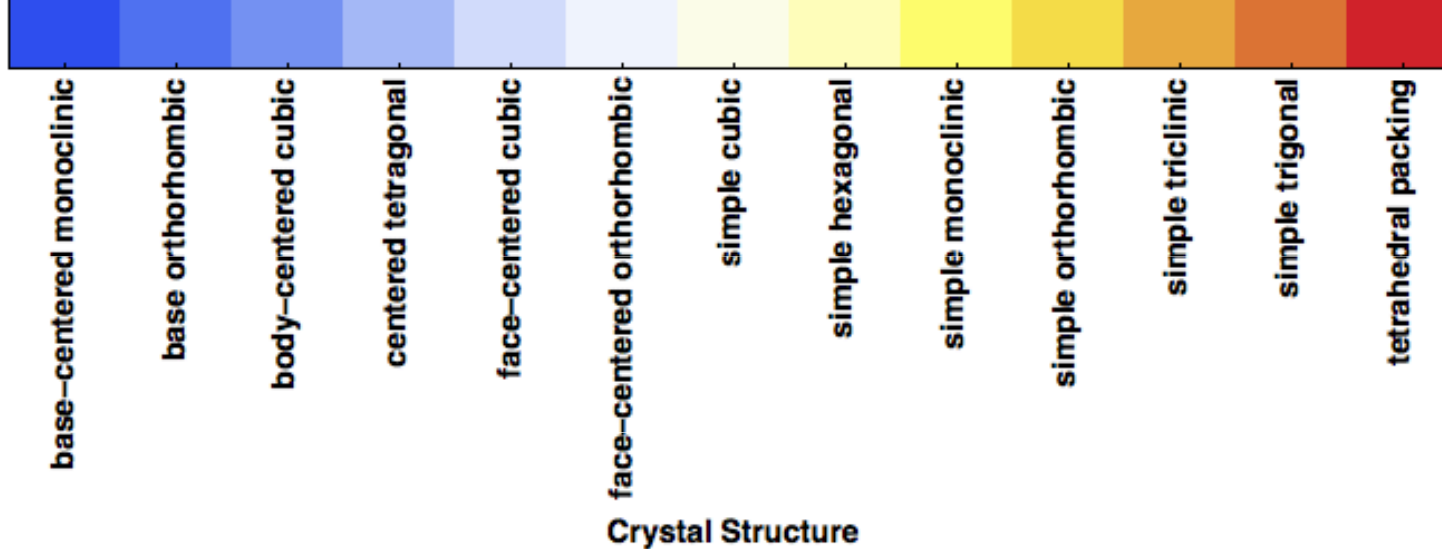
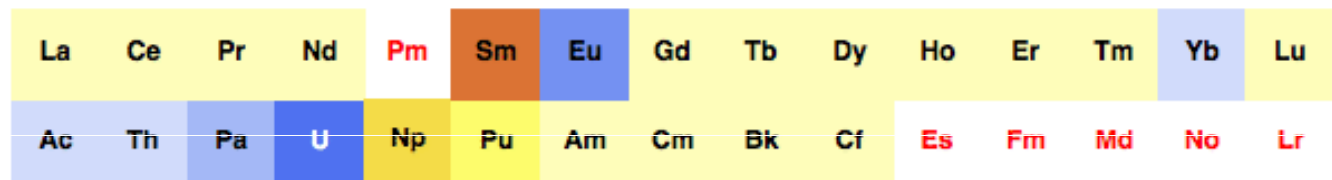
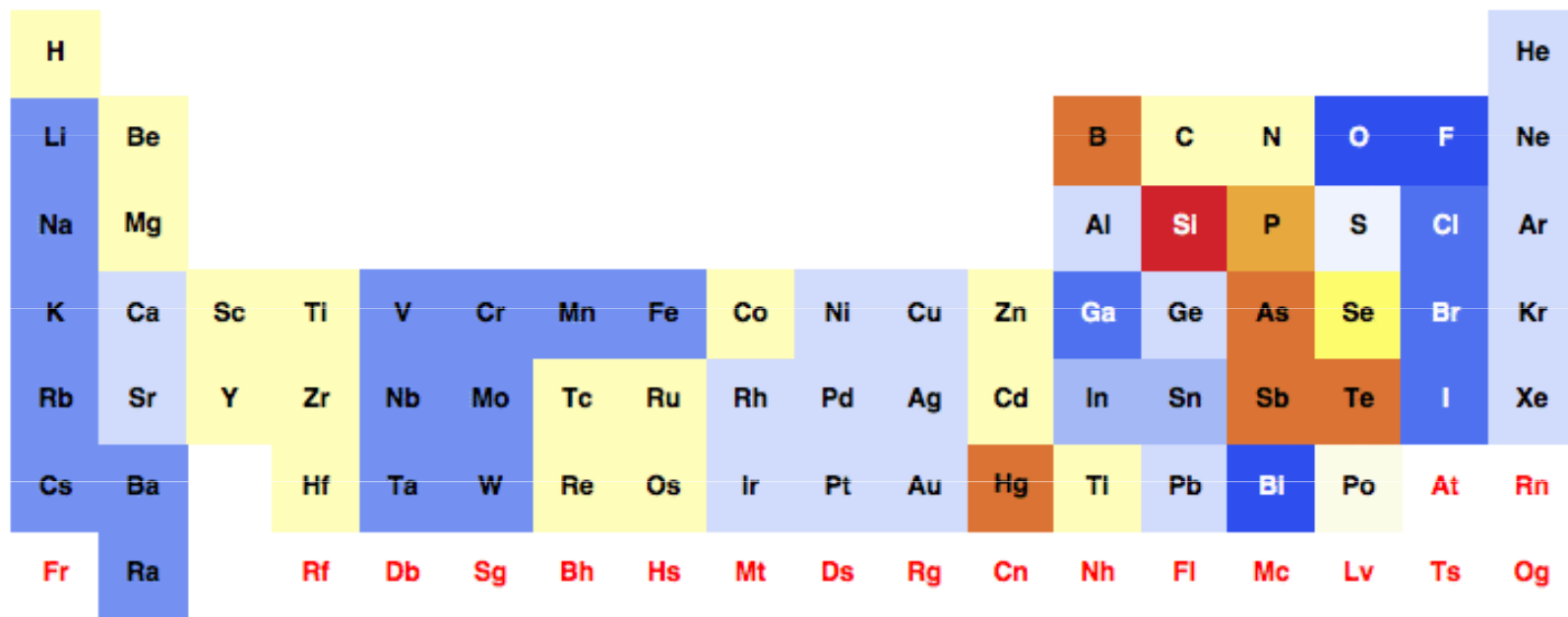


argon

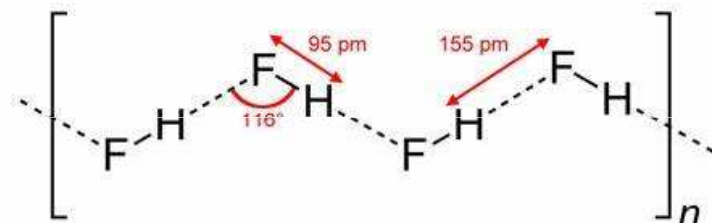


jod



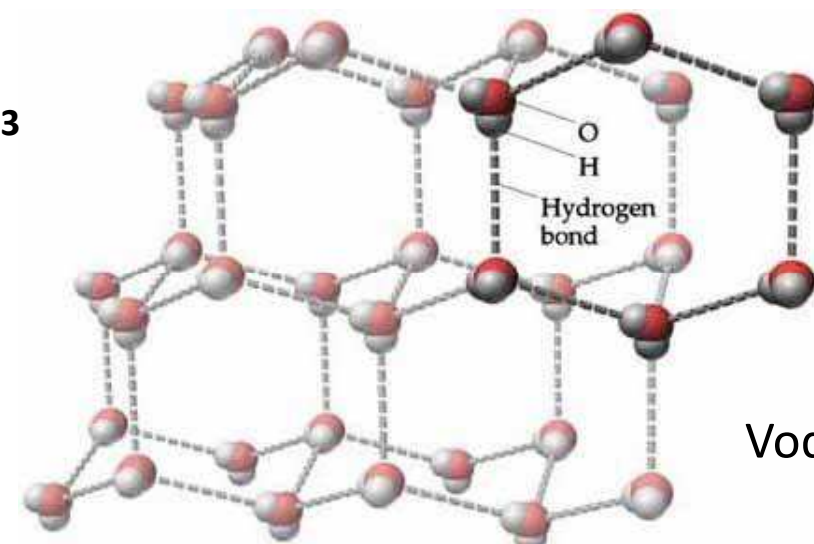


Molekulové krystaly s vodíkovou vazbou

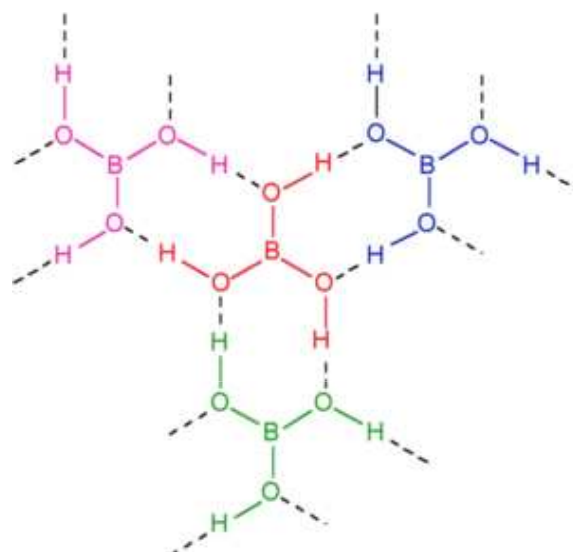


Fluorovodík

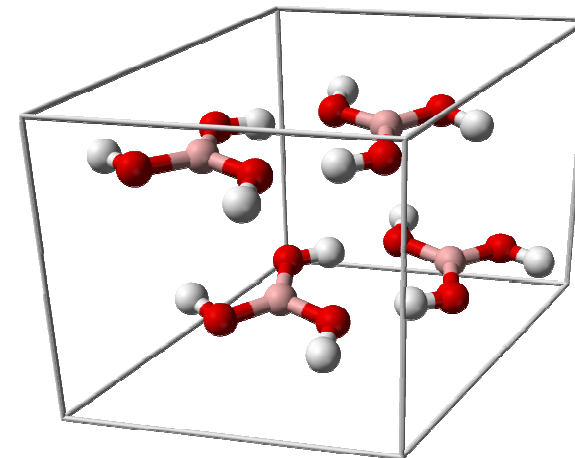
sp^3



Voda (led)

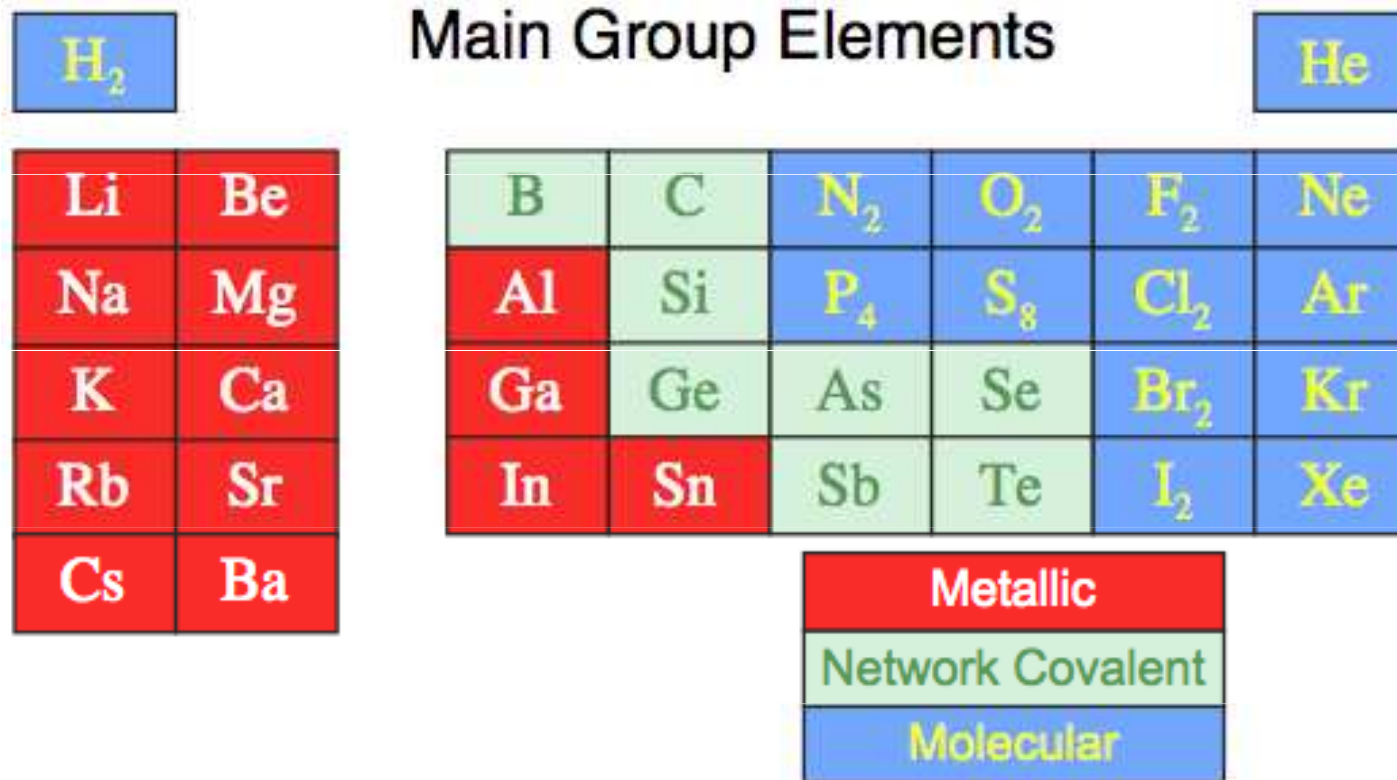


sp^2



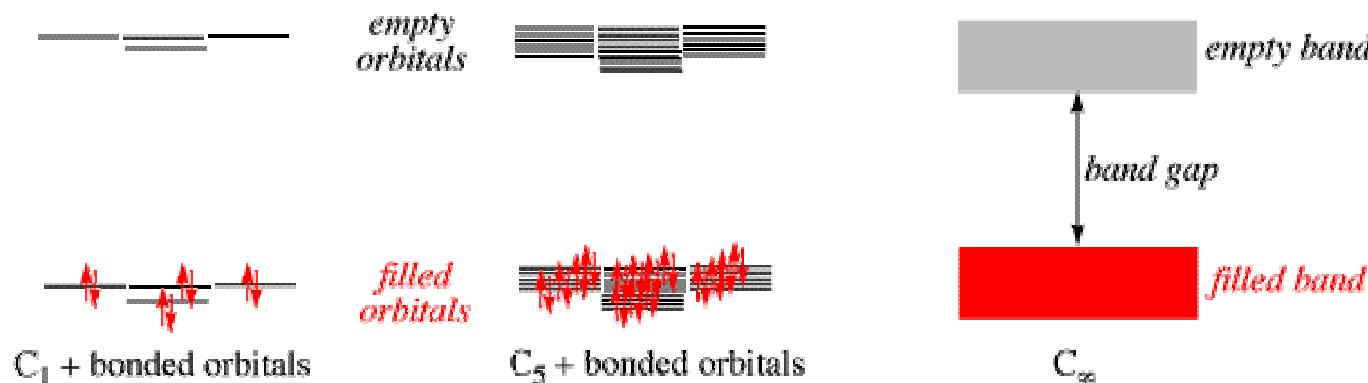
Kyselina boritá (vrstevnatá struktura, vrstvy spojeny van der Waalsovými silami)

Typy krystalů vzhledem k periodické tabulce

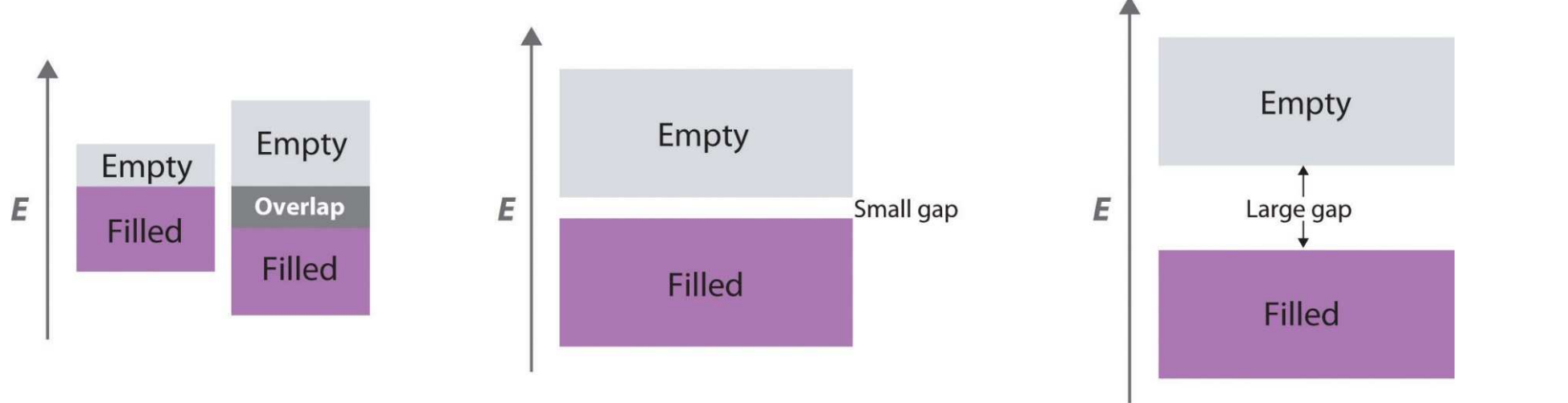


Pásový model (pásová struktura)

V pevné krystalické látce jsou atomy ve velké koncentraci složeny do pravidelného tvaru. Elektrony jsou zde 'delokalizované', vzájemně interagují a vytvářejí pásy povolených energií. S pásovou strukturou úzce souvisí i zbarvení a elektrická vodivost jednotlivých látek.

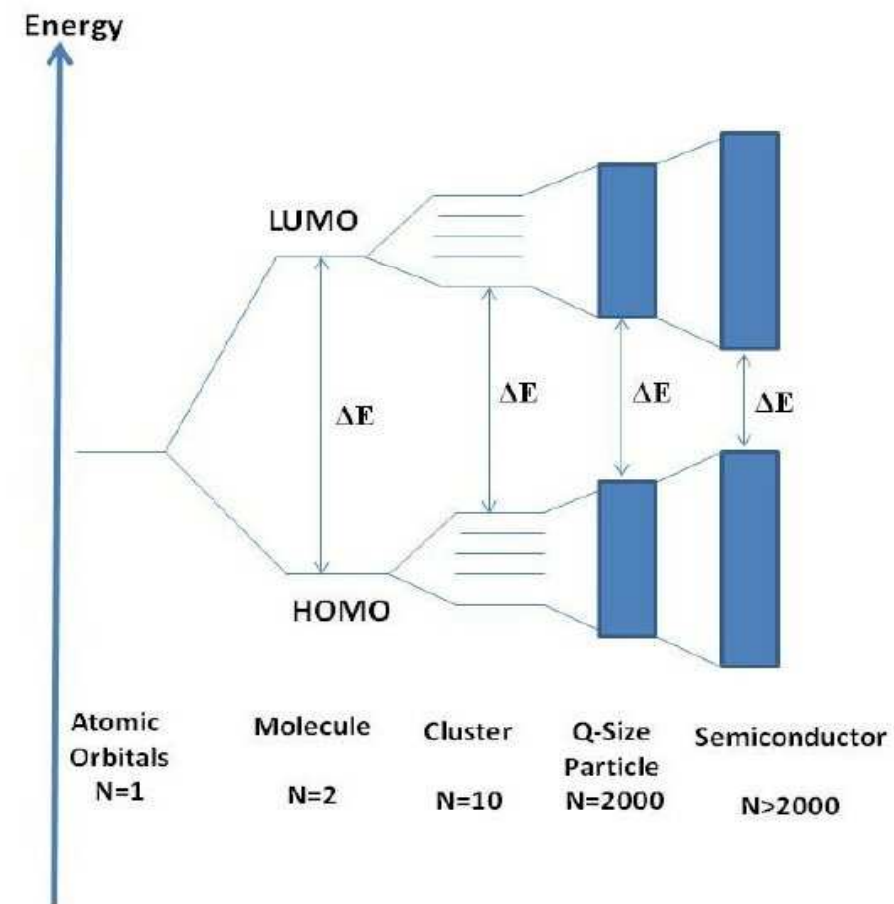
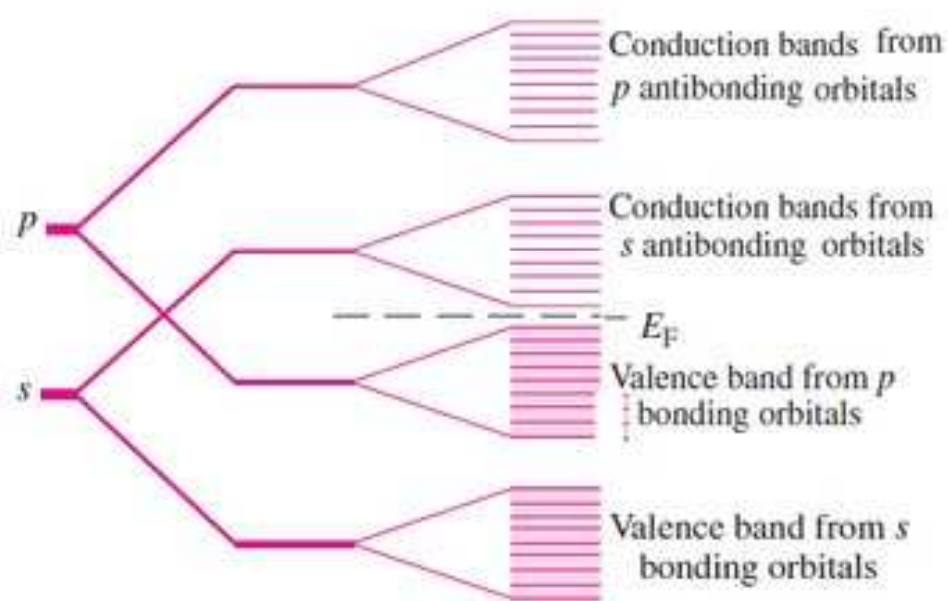


V pevné látce vzniká vždy mnoho elektronových pásů. Tyto pásy se mohou vzájemně překrývat nebo mezi nimi může být určitá mezera, kde se nevyskytuje žádný možný stav a tato mezera se nazývá **zakázaný pás**. Elektrony v látce pak zaplňují elektronové pásy od energeticky nejnižších (nejvhodnějších) stavů. Poslední elektronový pás obsazený elektrony je nazýván **valenční pás** podle toho, že jej tvoří valenční elektrony z jednotlivých atomů krystalu. První neobsazený elektronový pás je nazýván **vodivostní pás**, protože elektrony v zaplněném valenčním pásu nemohou přispívat k elektrické vodivosti materiálu. Až poté, co se elektrony dostanou do vodivostního pásu, se látka stává vodivou. Zakázaný pás se u polovodičů rozděluje na přímý a nepřímý (například u křemíku).



Metals

Semiconductors



Electrical conductivity

how well a material can conduct electricity

$$EC = 0$$

Smaller conductivity going down a group

EC

3	4
Li	Be
11	12
Na	Mg
19	20
K	Ca
37	38
Rb	Sr
55	56
Cs	Ba
87	88
Fr	Ra
89	Ac

Alkali metals

alkaline earth metals

Transistion metals

Transistion metals

Semimetals
Metalloids

5	6	7	8	9	10
B	C	N	O	F	Ne
13	14	15	16	17	18
Al	Si	P	S	Cl	Ar
31	32	33	34	35	36
Zn	Ga	Ge	As	Br	Kr
49	50	51	52	53	54
In	Sn	Sb	Te	I	Xe
48	47	46	45	44	43
Cd	Ag	Pd	Rh	Mo	Zr
77	78	79	76	75	74
Ir	Pt	Au	Re	W	Ta
72	73	79	75	74	73
Hf	Ta	Os	Re	W	Ta
57	56	78	76	75	74
La	Ba	Au	Os	Re	W
89	88	80	79	78	77
Ac	Fr	Hg	Ir	Pt	Ir

Periods Overall decrease across periods

Na, Mg, Al

metallic bonding with delocalised electrons

Si, P, S, Cl

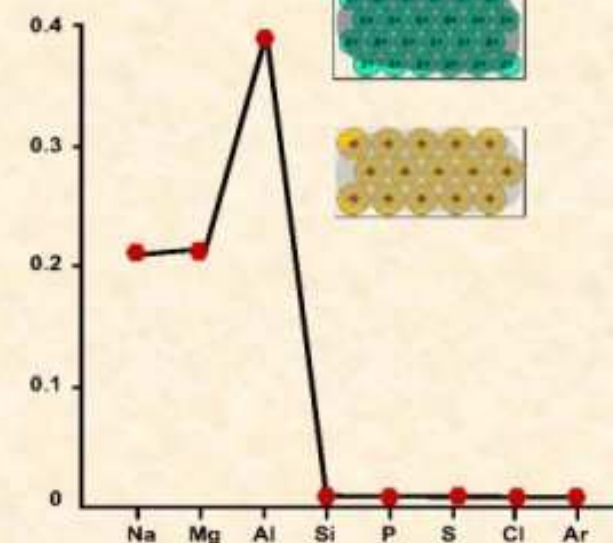
covalently bonded - no electrons are free to move

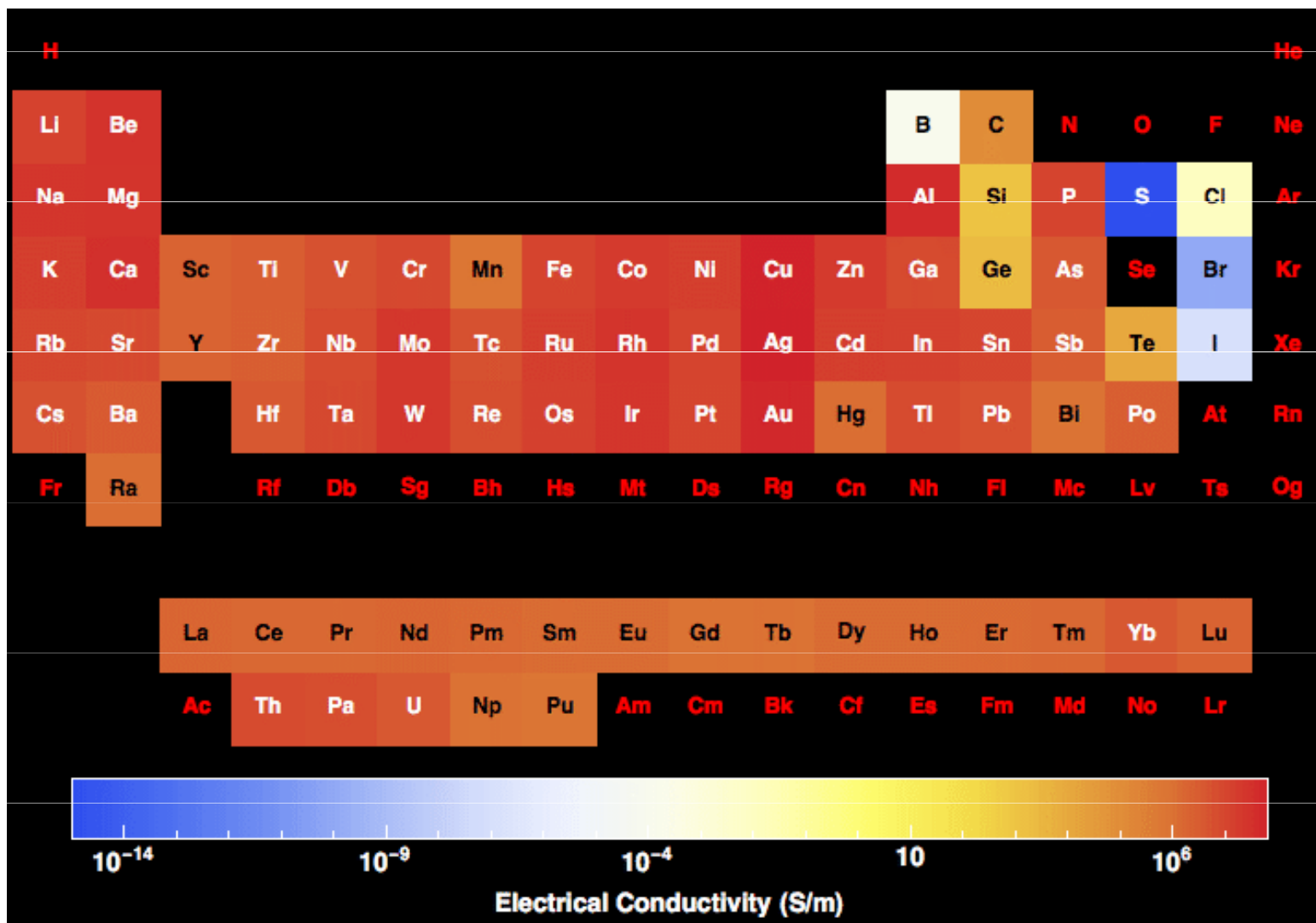
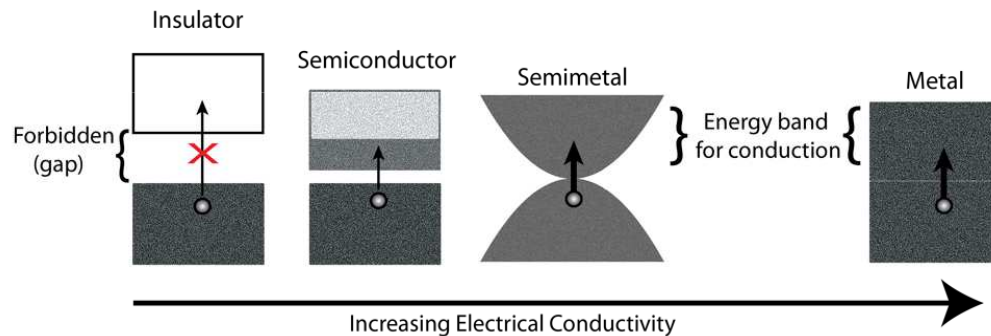
Ar

monatomic - electrons are held very tightly

Groups

Where there is any electrical conductivity, it decreases down a group.





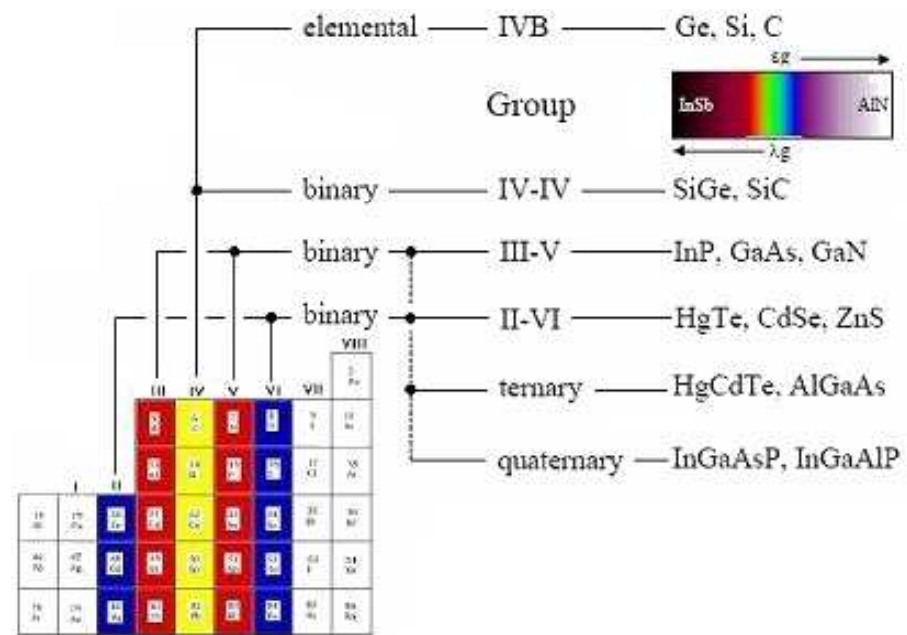
Polovodiče

Čisté polovodiče jsou ve srovnání s kovy velmi špatné vodiče. Elektrony jsou totiž poutány v kovalentních vazbách mezi atomy a nemohou se volně pohybovat v krystalové mřížce. Mezi polovodiče patří prvky křemík, germanium, selen, sloučeniny arsenid galia GaAs, sulfid olovnatý PbS aj. Většina polovodičů jsou krystalické látky, existují však také polovodiče amorfni (např. chalkogenidová skla).

Vlastní polovodiče: Si, Ge, InP, GaAs, CdSe, ... (splňují Grimm-Sommerfeldovo pravidlo)

	Group II	Group III	Group IV	Group V	Group VI	
	B	Boron	C	Carbon	N	Nitrogen
		5		6		7
Mg	Al	Aluminium	Si	Silicon	P	Phosphorus
Magnesium	12	13		14		15
Zn	Ga	Gallium	Ge	Germanium	As	Arsenic
Zinc	30	31	32		33	
Cd	In	Indium	Sn	Tin	Sb	Antimony
Cadmium	48	49		50		51
Hg	Tl	Thallium				
Mercury	80	81				

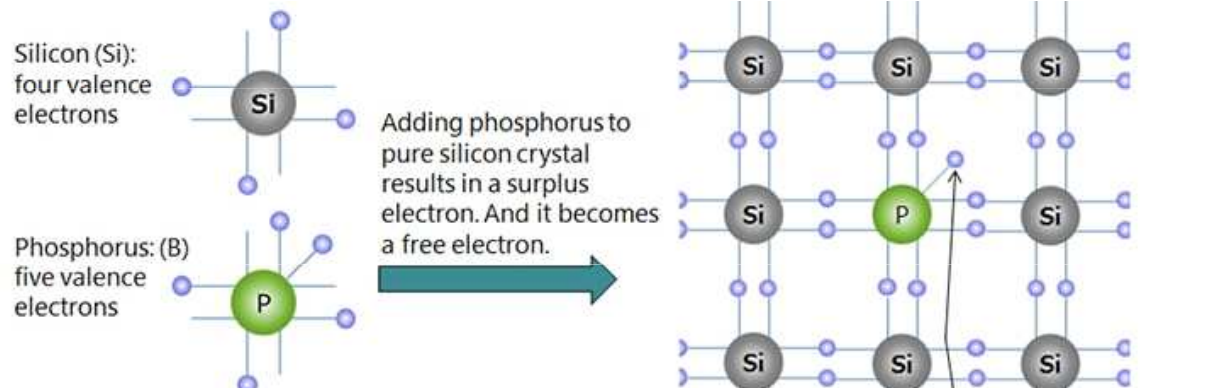
↑ ↑ ↑ ↑ ↑ ↑ ↑
III-V **II-VI**



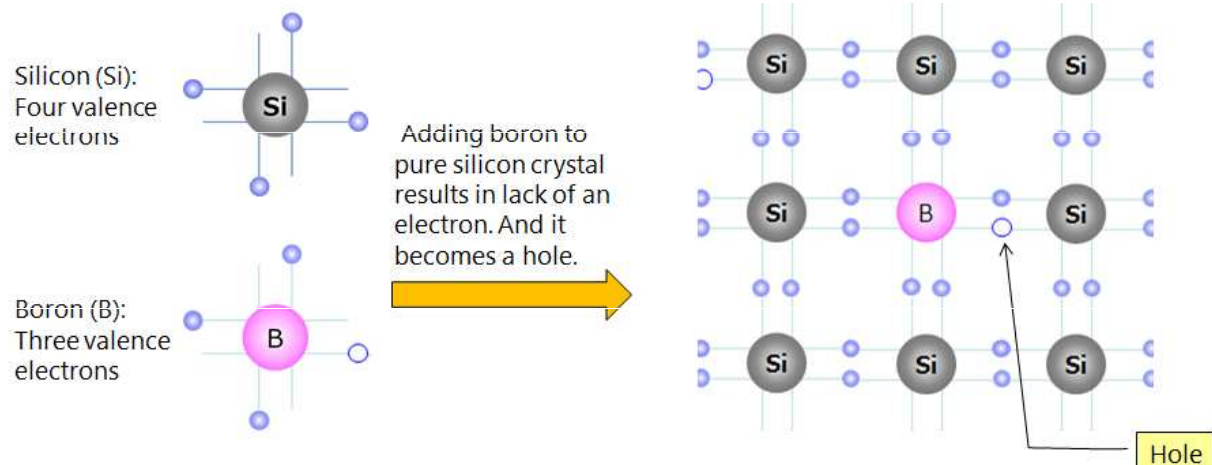
Nevlastní polovodiče

(nesplňují Grimm-Sommerfeldovo pravidlo)

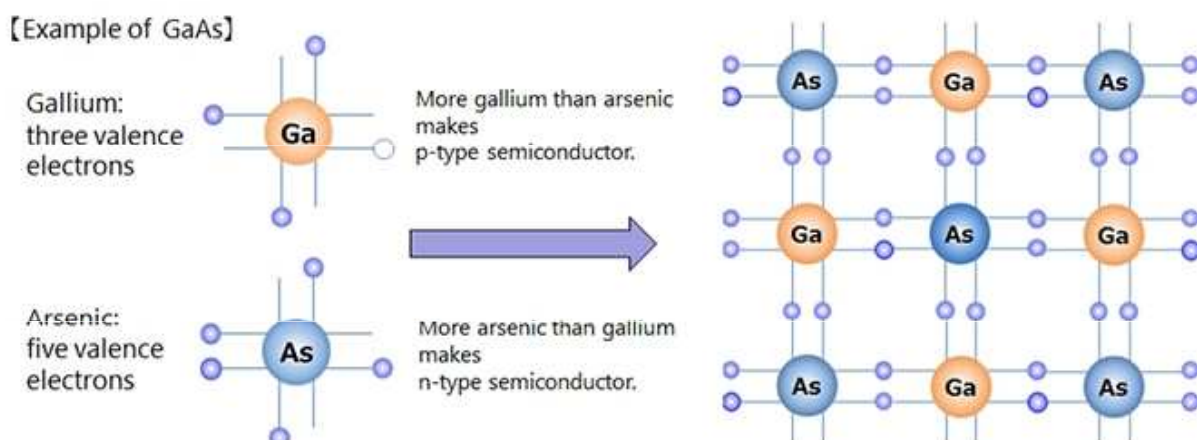
polovodič typu N



polovodič typu P



**polovodiče typu P
nebo
polovodič typu N**



polovodiče typu N – majoritními nositeli náboje jsou volné elektrony (e^-)

polovodiče typu P – majoritními nositeli náboje jsou elektronové vakance, tzv. díry (h^+)

Elemental semiconductors
C(diamond), Si, Ge

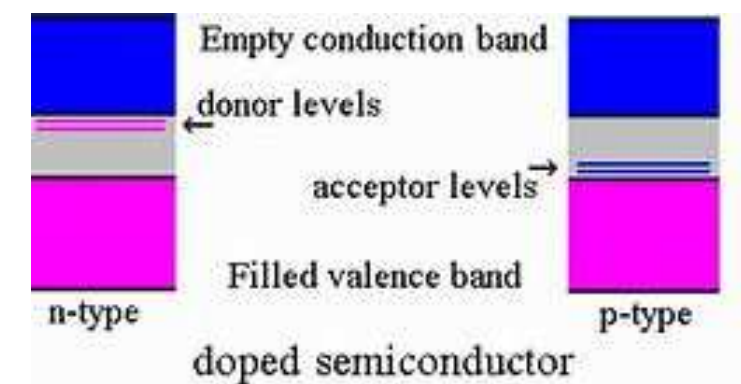
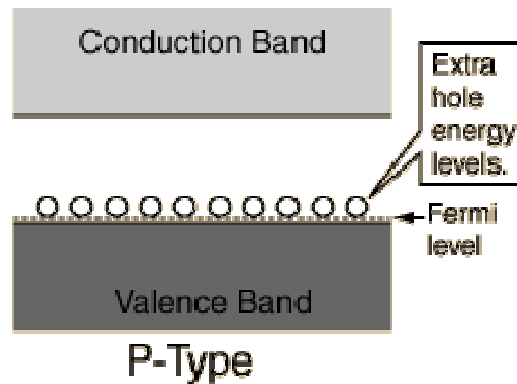
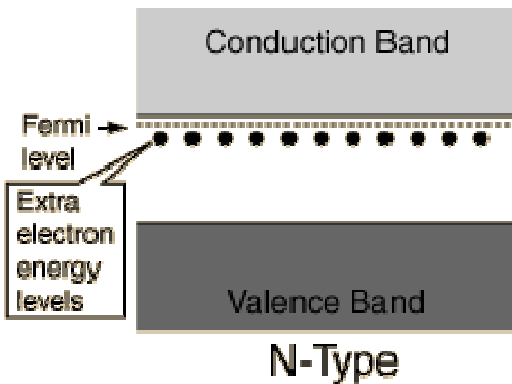
	13 IIIA	14 IVA	15 VA
B P-type dopant for C	B 5 Boron 10.81 $2p^1$	C 6 Carbon 12.011 $2p^2$	N 7 Nitrogen 14.0067 $2p^3$
B, Al, Ga, In P-type dopant for Si	Al 13 Aluminum 26.9815 $3p^1$	Si 14 Silicon 28.0855 $3p^2$	P 15 Phosphorus 30.9738 $3p^3$
Al, Ga, In P-type dopant for Ge	Ga 31 Gallium 69.723 $4p^1$	Ge 32 Germanium 72.61 $4p^2$	As 33 Arsenic 74.92159 $4p^3$
	In 49 Indium 114.82 $5p^1$		Sb 51 Antimony 121.75 $5p^3$

B, Al, Ga, In
P-type dopant for Si

Al, Ga, In
P-type dopant for Ge

N, P
N-type dopant for C

P, As, Sb
N-type dopant for Si, Ge



Semiconductor	Bandgap Energy E _G (eV)
Carbon (diamond)	5.47
Silicon	1.12
Germanium	0.66
Tin	0.082
Gallium arsenide	1.42
Gallium nitride	3.49
Indium phosphide	1.35
Boron nitride	7.50
Silicon carbide	3.26
Cadmium selenide	1.70

Material	Symbol	Band gap (eV) at 302K
Silicon	<i>Si</i>	1.11
Selenium	<i>Se</i>	1.74
Germanium	<i>Ge</i>	0.67
Silicon carbide	<i>SiC</i>	2.86
Aluminium phosphide	<i>AlP</i>	2.45
Aluminium arsenide	<i>AlAs</i>	2.16
Aluminium antimonide	<i>AlSb</i>	1.6
Aluminium nitride	<i>AlN</i>	6.3
Diamond	<i>C</i>	5.5
Gallium(III) phosphide	<i>GaP</i>	2.26
Gallium(III) arsenide	<i>GaAs</i>	1.43
Gallium(III) nitride	<i>GaN</i>	3.4
Gallium(II) sulfide	<i>GaS</i>	2.5
Indium antimonide	<i>InSb</i>	0.17
Indium(III) nitride	<i>InN</i>	0.7
Indium(III) phosphide	<i>InP</i>	1.35
Indium(III) arsenide	<i>InAs</i>	0.36
Zinc oxide	<i>ZnO</i>	3.37
Zinc sulfide	<i>ZnS</i>	3.6
Zinc selenide	<i>ZnSe</i>	2.7
Zinc telluride	<i>ZnTe</i>	2.25
Cadmium sulfide	<i>CdS</i>	2.42
Cadmium selenide	<i>CdSe</i>	1.73
Cadmium telluride	<i>CdTe</i>	1.49
Lead(II) sulfide	<i>PbS</i>	0.37
Lead(II) selenide	<i>PbSe</i>	0.27
Lead(II) telluride	<i>PbTe</i>	0.29
Copper(II) oxide	<i>CuO</i>	1.2
Copper(I) oxide	<i>Cu₂O</i>	2.1

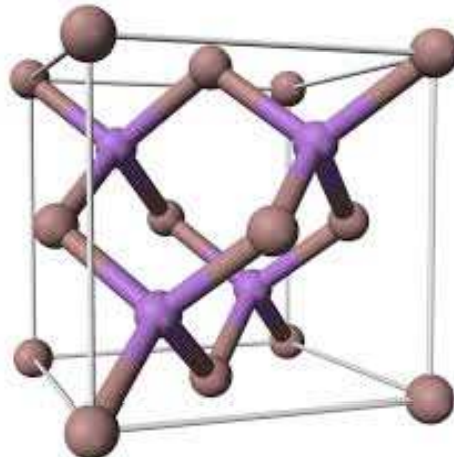
Příklad: Polovodič GaAs má šířku zakázaného pásu 1.42 eV. Jakou maximální vlnovou délku musí mít světlo, aby bylo pohlceno?

Řešení:

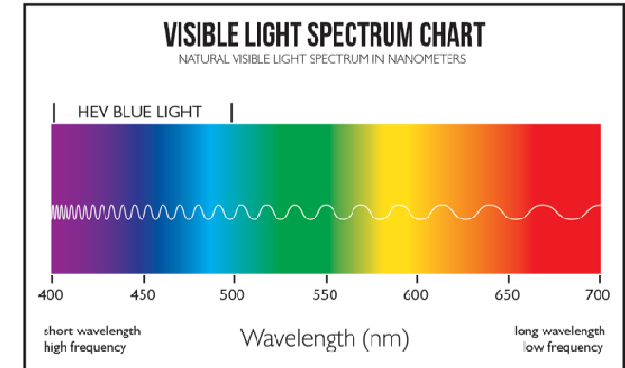
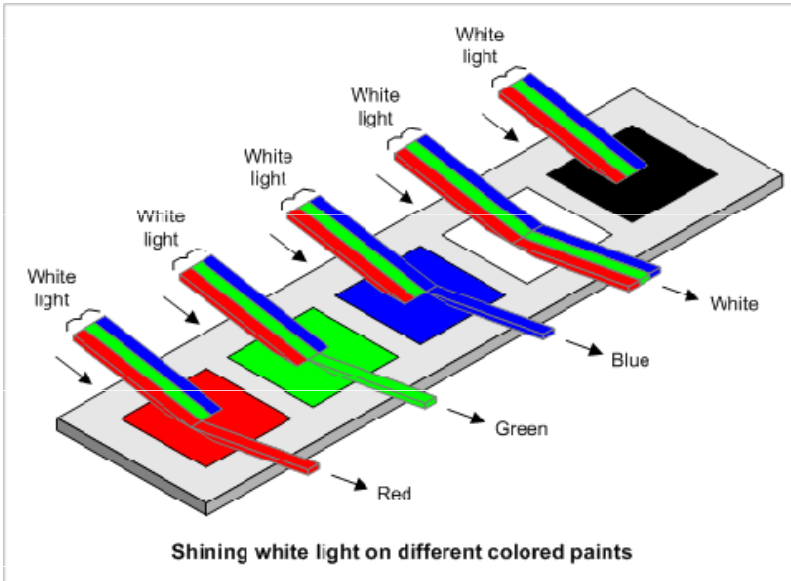
$$E_g = 1.42 \text{ eV} = 1.42 \times 1.602177 \cdot 10^{-19} \text{ J} = 2.27 \cdot 10^{-19} \text{ J} \quad (\text{h = Planckova konstanta})$$

$$v_{\min} = E_g/h = 2.27 \cdot 10^{-19} \text{ J} / 6.626 \cdot 10^{-34} \text{ J} \cdot \text{s} = 3.42 \cdot 10^{14} \text{ s}^{-1} \quad (\text{c = rychlosť svetla ve vakuu})$$

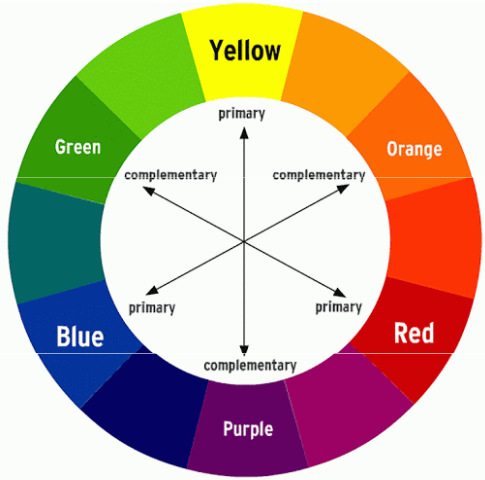
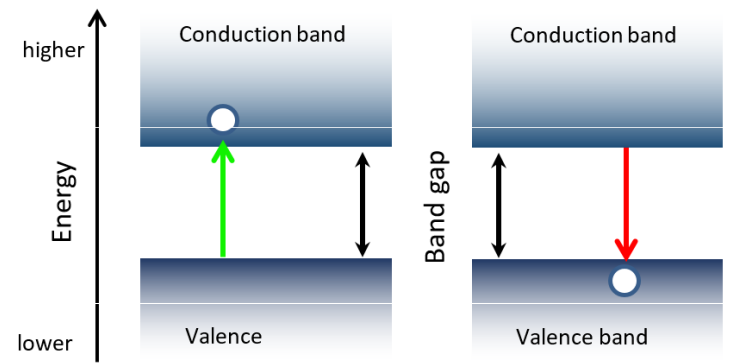
$$\lambda_{\max} = c/v_{\min} = 299792458 \text{ m.s}^{-1} / 3.42 \cdot 10^{14} \text{ s}^{-1} = \underline{\underline{876 \text{ nm}}} \quad (\text{infračervená oblast})$$



Pásová struktura a barva



- (a) Absorption of light
- energy of electron increases
- (b) Emission of light
- energy of electron decreases

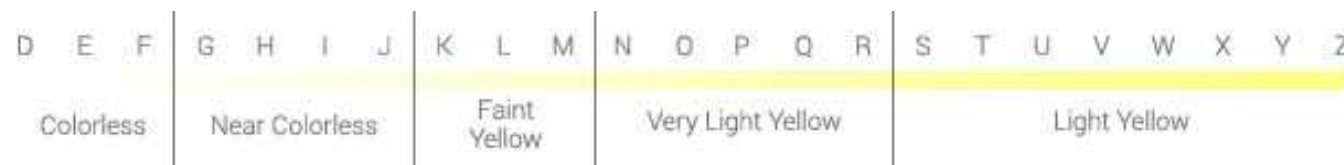


červenofialová	žlutozelená
červená	zelená
červenooranžová	modrozelená
oranžová	modrá
žlutooranžová	modrofialová
žlutá	fialová

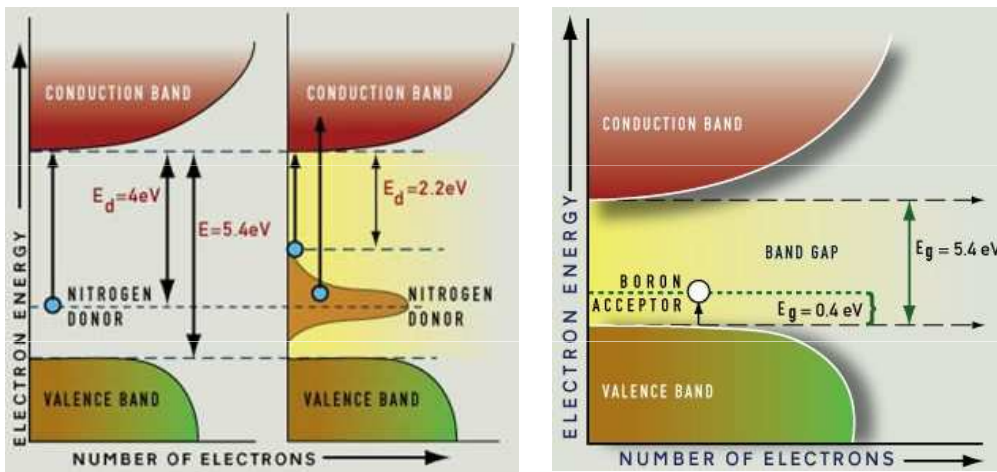
Semiconductor Material	Band Gap Energy, eV
Si	1.11
AlP	2.43
GaP	2.26
Ge	0.67
GaAs	1.43
ZnSe	2.58
CuBr	3.05
Sn (grey)	0.08
InSb	0.18
CdTe	1.5

Zbarvení diamantů

Diamant je bezbarvý minerál. Většinou se v něm ale vyskytují chemické příměsi, které způsobují jeho zabarvení. A tak se diamanty vyskytují v nejrůznějších barevných odstínech. V diamantu bez příměsí se elektrony mohou excitovat z do prázdného vodivostního pásu ze zaplněného valenčního pásu. Energie potřebná k excitaci elektronu z valenčního do vodivostního pásu se nachází v UV oblasti. Proto je diamant bezbarvý.



Dusík má o jeden valenční elektron více než uhlík. Několik atomů dusíku na 1 milion atomů uhlíku v diamantu vede ke vzniku donorové hladiny v zakázaném pásu. Díky je absorbováno záření v UV oblasti (modré a fialové světlo), což vede ke žlutému zabarvení diamantu.



Bor má o jeden valenční elektron méně než uhlík. Několik atomů boru na 1 milion atomů uhlíku v diamantu vede ke vzniku děr s energií zakázaného pásu, které mohou akceptovat elektron z valenčního pásu (akceptorová hladina).

Příklad:

Sulfid kademnatý (CdS) má šířku zakázaného pásu 2.4 eV. Odhadněte jeho barvu.

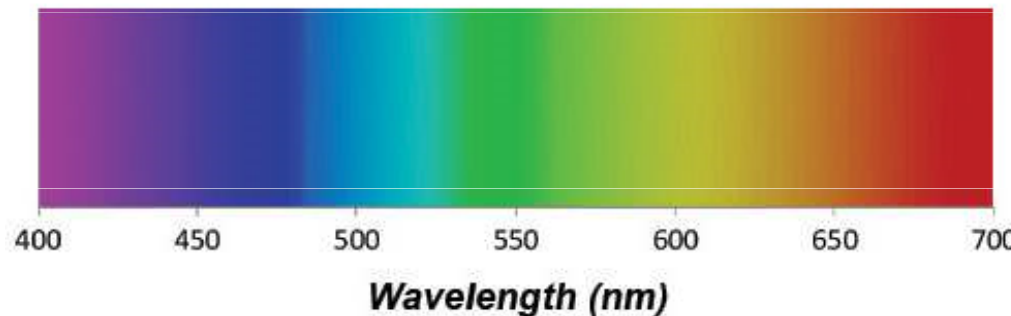
Řešení:

$$E_g = 2.4 \text{ eV} = 2.4 \times 1.602177 \cdot 10^{-19} \text{ J} = 3.84 \cdot 10^{-19} \text{ J} \quad (\text{h} = \text{Planckova konstanta})$$

$$\nu_{\min} = E_g/h = 3.84 \cdot 10^{-19} \text{ J} / 6.626 \cdot 10^{-34} \text{ J} \cdot \text{s} = 5.8 \cdot 10^{14} \text{ s}^{-1} \quad (c = \text{rychlosť svetla ve vakuu})$$

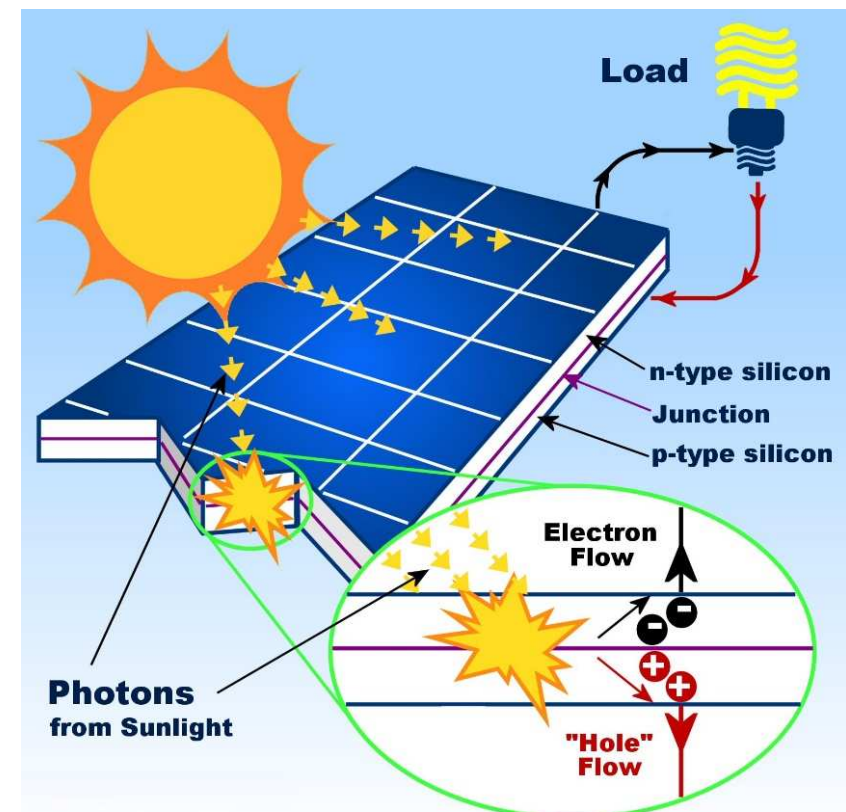
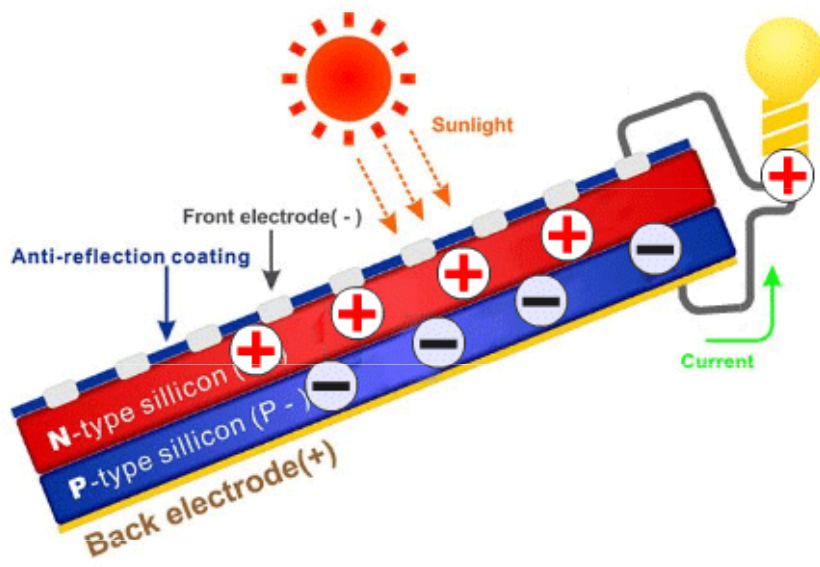
$$\lambda_{\max} = c/\nu_{\min} = 299792458 \text{ m.s}^{-1} / 5.8 \cdot 10^{14} \text{ s}^{-1} = 517 \text{ nm} \Rightarrow \text{zelená barva}$$

Maximální absorbovaná vlnová délka odpovídá zelené barvě, vyšší vlnové délky odpovídající žluté, oranžové a červené barvě absorbovány nejsou. Proto je CdS žlutý až žlutooranžový.



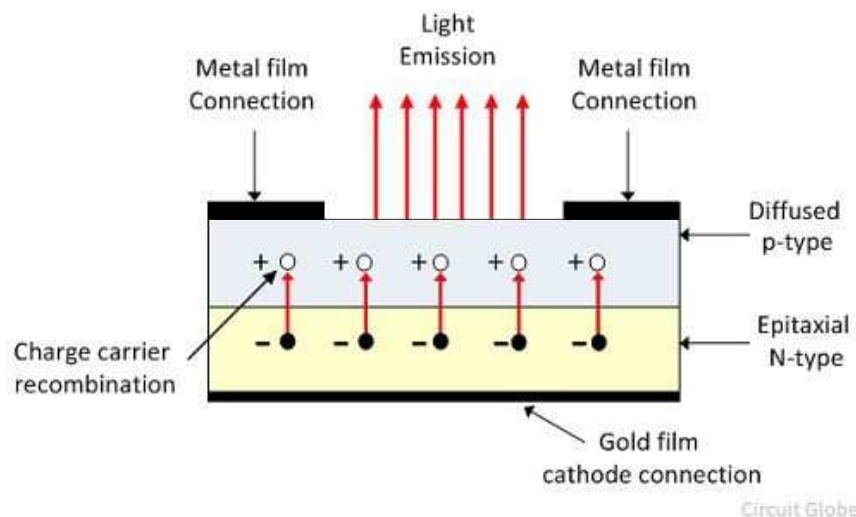
Fotovoltaický jev

Foton s dostatečnou energií může v polovodičovém materiálu uvolnit elektron z valenčního do vodivostního pásu. Na jeho původním místě vznikne tzv. díra (elementární kladný náboj). Je-li v polovodičovém materiálu vytvořen PN přechod (dioda), pohybují se tyto náboje směrem k elektrodě se stejnou polaritou. Jsou-li elektrody propojeny vnějším obvodem, putují elektrony k opačné elektrodě, kde rekomбинují s děrami a vnějším obvodem prochází elektrický proud.



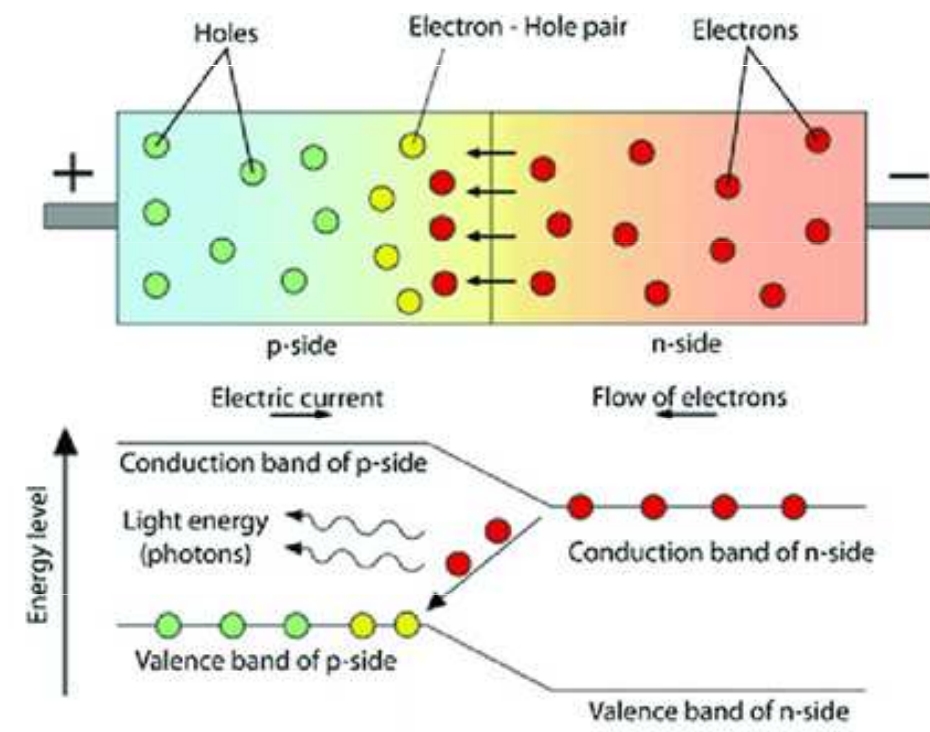
LED diody

LED (Light-Emitting Diode) je polovodičová dioda, která emituje viditelné (případně infračervené nebo ultrafialové) záření.



Materials	Energy Band Gap (eV)*	Emitting Wavelength (nm)
GaAs	1.43	867
GaP	2.26	548
Al _x Ga _{1-x} AS	1.43 – 2.16	867 - 574
Ga _x In _{1-x} P	1.35 – 2.26	918 - 548
Al _y Ga _{1-y} In _{1-y} P	1.25 – 2.45	992 - 506
GaN	3.4	365
AlN	6.3	197
Ga _x In _{1-x} N	0.7 – 3.4	1771 - 365
Al _x In _{1-x} N	0.7 – 6.3	1771 - 197
Al _x In _y Ga _{1-x-y} N	0.7 – 6.3	1771 - 197

LED Color	Max. Wavelength
Ultraviolet	405nm
Deep Blue	420nm
Blue	450nm
Royal Blue	470 nm
Green	525nm
Amber	590nm
Orange-Red	615nm
Red	625nm
Deep Red	660nm
Far Red	730nm
White	Various Low K ratings



LED Color Guide

LED P/N Suffix	Description	Chemistry	# of Elements	Color	Peak	Dominant	Forward Voltage		Brightness
				Temperature (CCT Typ)	Wavelength (λ / x-coord)	Wavelength (λ / y-coord)	(Vf Typ)	(Vf Max)	
H	High Efficiency Red	GaP	2	~	700	660	2.0	2.5	Standard
SR	Super Red	GaAlAs	3	~	660	640	1.7	2.2	High
SR	Super Red	AlInGaP	4	~	660	640	2.1	2.5	High
SI	Super High Intensity Red	AlInGaP	4	~	636	628	2.0	2.6	High
I	High Intensity Red	GaAsP	3	~	635	625	2.0	2.5	Standard
ZI	TS AlInGaP Red	AlInGaP	4	~	640	630	2.2	2.8	High
SO	Super Orange	AlInGaP	4	~	610	602	2.0	2.5	Standard
A	Amber	GaAsP	3	~	605	610	2.0	2.5	Standard
SY	Super Yellow	AlInGaP	4	~	590	588	2.0	2.5	Standard
ZY	TS AlInGaP Yellow	AlInGaP	4	~	590	589	2.3	2.8	High
Y	Yellow	GaAsP	3	~	590	588	2.1	2.5	Standard
SUG	Super Ultra Green	AlInGaP	4	~	574	568	2.2	2.6	High
G	Green	GaP	2	~	565	568	2.2	2.6	Standard
SG	Super Green	GaP	2	~	565	568	2.2	2.6	Standard
PG	Pure Green	GaP	2	~	555	555	2.1	2.5	Standard
UPG	Ultra Pure Green	InGaN	3	~	525	520	3.5	4.0	High
UEG	Ultra Emerald Green	InGaN	3	~	500	505	3.5	4.0	High
USB	Ultra Super Blue	InGaN	3	~	470	470	3.5	4.0	High
UV	Ultra Violet	InGaN	3	~	410	~	3.5	4.0	Standard
SUV	Super Violet	InGaN	3	~	380	~	3.4	3.9	Standard
T	Turquoise	InGaN	3	~	0.19	0.41	3.2	4.0	Standard
V	Violet / Purple	InGaN	3	~	0.22	0.11	3.2	4.0	Standard
P	Pink	InGaN	3	~	0.33	0.21	3.2	4.0	Standard
MW (Warm)	Warm White	InGaN	3	3000K	~	~	3.3	4.0	High
NW (Neutral)	Neutral White	InGaN	3	4000K	~	~	3.3	4.0	High
UW (Cool)	Cool White	InGaN	3	6000K	~	~	3.3	4.0	High

Vegardův zákon

Vegard (1921):

Mřížkový parameter tuhého roztoku dvou komponent je přibližně váženým průměrem mřížkových parametrů obou složek při téže teplotě.

$$a_{A(1-x)Bx} = (1 - x) a_A + x a_B$$

$a_{A(1-x)Bx}$ je mřížkový parametr tuhého roztoku, a_A a a_B jsou mřížkové parametry čistých složek, x je molární zlomek složky B v tuhém roztoku.

Vegardův zákon je jednou z variant tzv. **pákového pravidla**, předpokládá že obě složky A a B v čisté formě (t.j. před smísením) mají stejnou krystalovou strukturu.

Vegardův zákon úplně platí jen zřídka; obvykle jsou pozorovány odchylky od lineárního chování. V praxi se používá k přibližným odhadům mřížkových parametrů v případě, že tyto nejsou dostupné experimentálně.

Vegardův zákon u polovodičů

Vlnovou délku emitovaného světla LED diod lze měnit „smícháním“ různých polovodičů. Šířka zakázaného pásu u polovodičů je přibližně lineární funkcí mřížkového parametru. Pokud mřížkový parametr polovodiče sleduje Vegardův zákon, lze lineární vztah mezi šírkou zakázaného pásu a složením. Pro $\text{InP}_x\text{As}_{1-x}$ platí

$$E_{g,\text{InPAs}} = x E_{g,\text{InP}} + (1 - x) E_{g,\text{InAs}}$$

V případech, že vztah mezi energií zakázaného pásu a složením není přesně lineární, přidává se empirický parametr b , reprezentující nelinearitu:

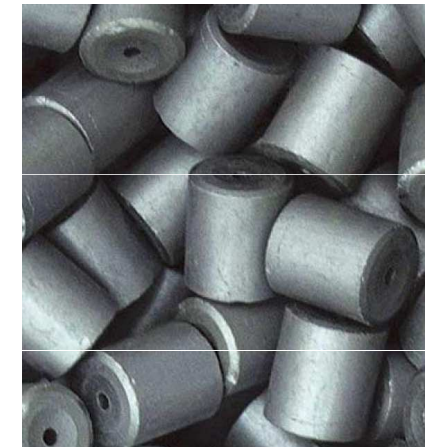
$$E_{g,\text{InPAs}} = x E_{g,\text{InP}} + (1 - x) E_{g,\text{InAs}} - bx(1 - x)$$

Semiconductor material	LED color	Wavelength λ (nm)	Bandgap energy (eV)
Gallium Nitrogen (GaN)	Blue	430	2.88
Silicon Carbide (SiC)	Blue	480	2.58
Gallium Phosphide (GaP)	Green	565	2.19
Aluminum Gallium Phosphide (AlGaP)	Yellow	595	2.08
Aluminum Gallium Phosphide (AlGaP)	Orange	620	2.00
Aluminum Gallium Arsenide (AlGaAs)	Red	645	1.92
Gallium Aluminum Arsenide (GaAlAs)	Infrared	880	1.41
Gallium Arsenide (GaAs)	Infrared	950	1.31

Příklad

MOX (Mixed oxide fuel) je směsné oxidické palivo do lehkovodních jaderných reaktorů. Nejčastěji se využívá uran-plutoniový MOX, směs oxidu uraničitého UO_2 a oxidu plutoničitého PuO_2 . Směs 7% plutonia a 93% přírodního uranu reaguje podobně, i když ne identicky, jako palivo LEU (palivo s nízko-obohaceným uranem).

$$a_{\text{U}_{0.93}\text{Pu}_{0.07}\text{O}_2} = 0.93 a_{\text{UO}_2} + 0.07 a_{\text{PuO}_2}$$



Příklad

Vytvořte polovodič $\text{Ga}_x\text{Al}_{1-x}\text{As}$ ($x < 1$) emitující oranžové světlo. Šířka zakázaného pásu je pro GaAs 1.42 eV a pro AlAs 2.16 eV.

Oranžové světlo má λ_{\max} cca 650 nm a tudíž energii 1.9 eV.

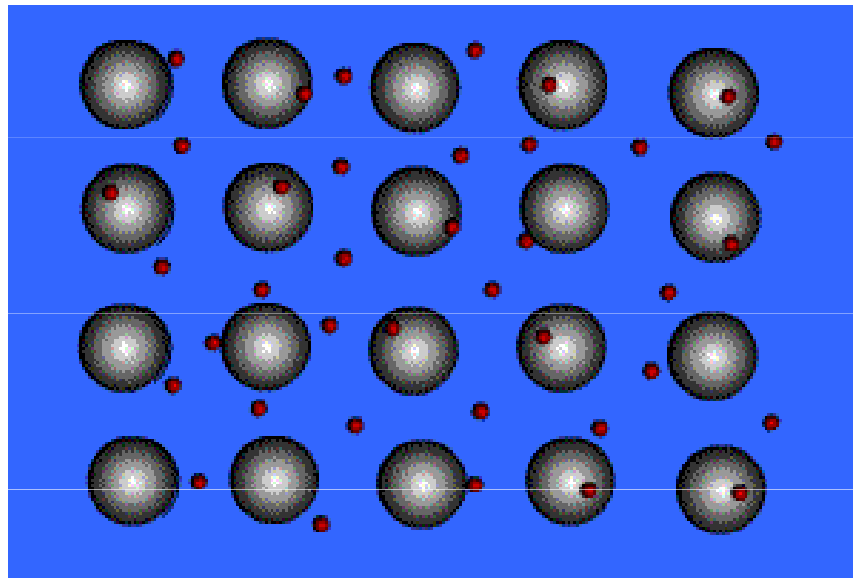
$$1.42x + 2.16(1 - x) = 1.9$$

$$x = 0.35$$

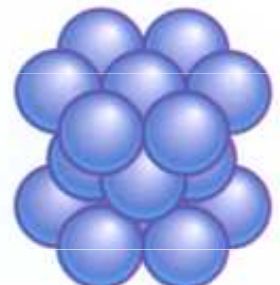
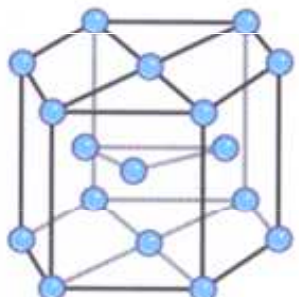
Stechiometrie polovodič je tudíž $\text{Ga}_{0.35}\text{Al}_{0.65}\text{As}$.

Krystalická struktura kovů

Kovová vazba nemá směrový charakter, struktura (uspořádání jader v mřížce) vychází z **nejtěsnějšího uspořádání koulí**.

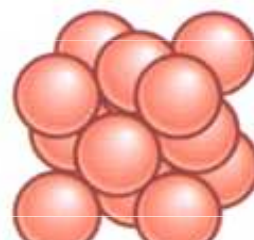
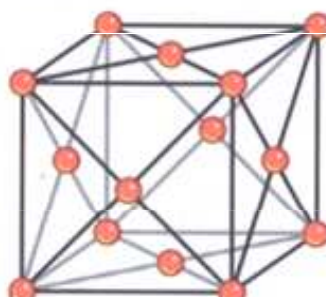


Close-packed hexagonal structure CPH



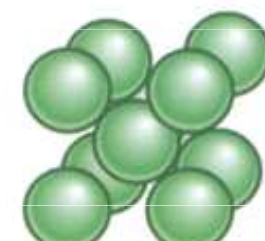
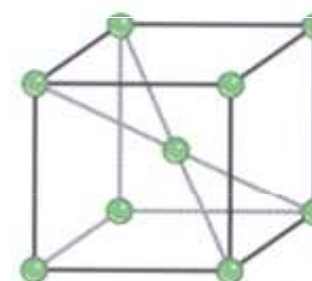
Zinc, magnesium, cadmium

Face-centred cubic structure FCC

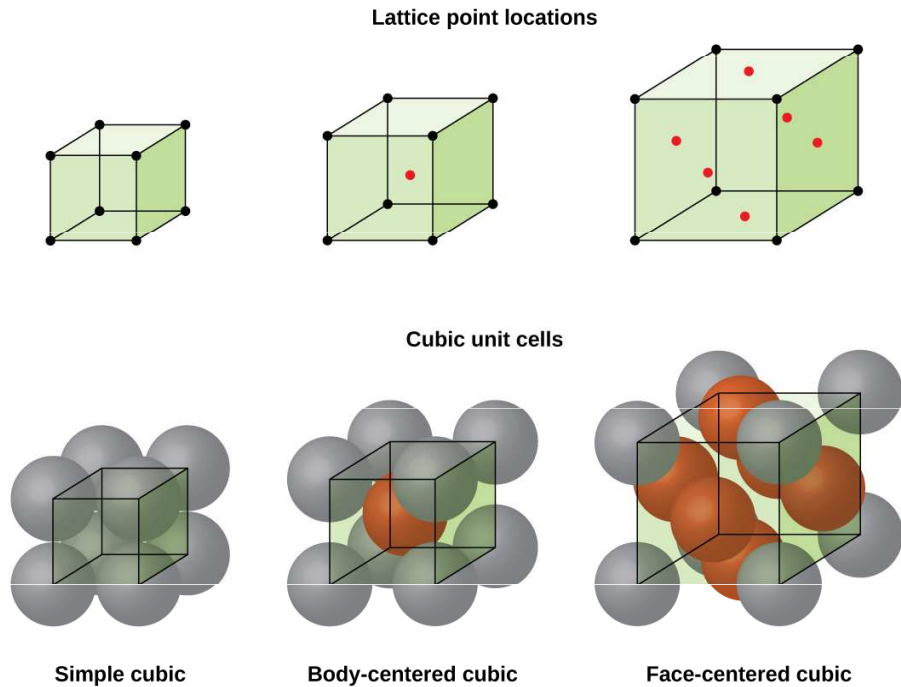


Aluminium, copper, silver

Body-centred cubic structure BCC

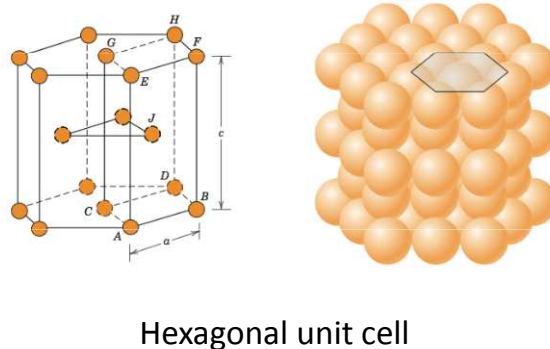


Chromium, tungsten, iron



Structure	Coordination number	Stacking pattern
Primitive Cubic	6	<i>AAAAAA...</i>
Body-centered Cubic		<i>ABABAB...</i>
Hexagonal close packed	12	<i>ABABAB...</i>
Cubic close packed		<i>ABCABC...</i>

Non-close packing Close packing

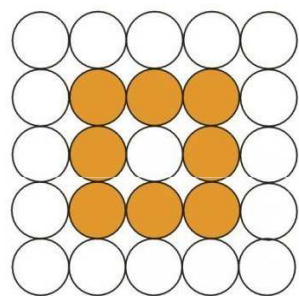
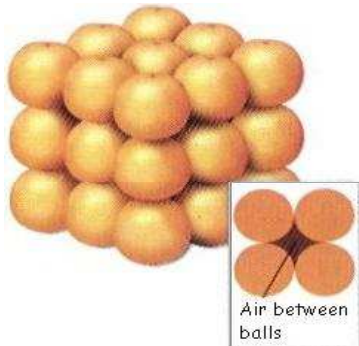


Structure	hcp	fcc	bcc
Packing Efficiency (PE) of the structure	74%	74%	68%
Coordination Number (CN)	12	12	8
Ratio of the radius of the octahedral interstice (R) to the radius of the host atoms (r).	0.414	0.414	0.155
Ratio of the radius of the tetrahedral interstice (R) to the radius of the host atoms (r)	0.225	0.225	0.291

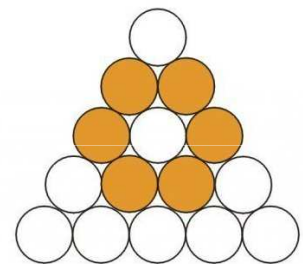
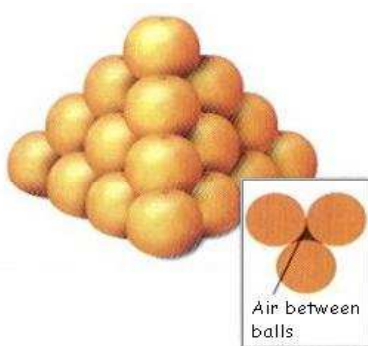
Nejtěsnější uspořádání koulí

Kepler 1611

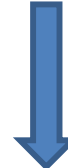
V trojrozměrném prostoru nemá žádné uspořádání koulí stejněho poloměru větší hustotu než kubické plošně centrováné uspořádání.

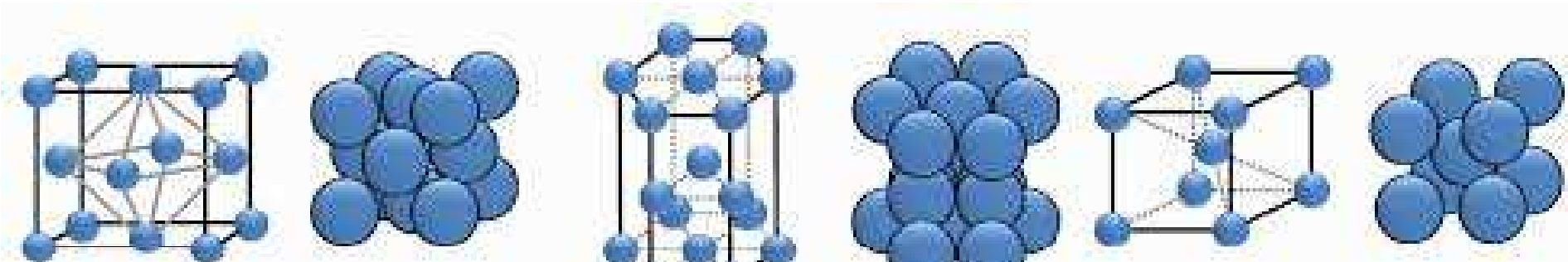


Only 52% of the space is used in a square stack



As much as 74% is used in the pyramid shaped stack

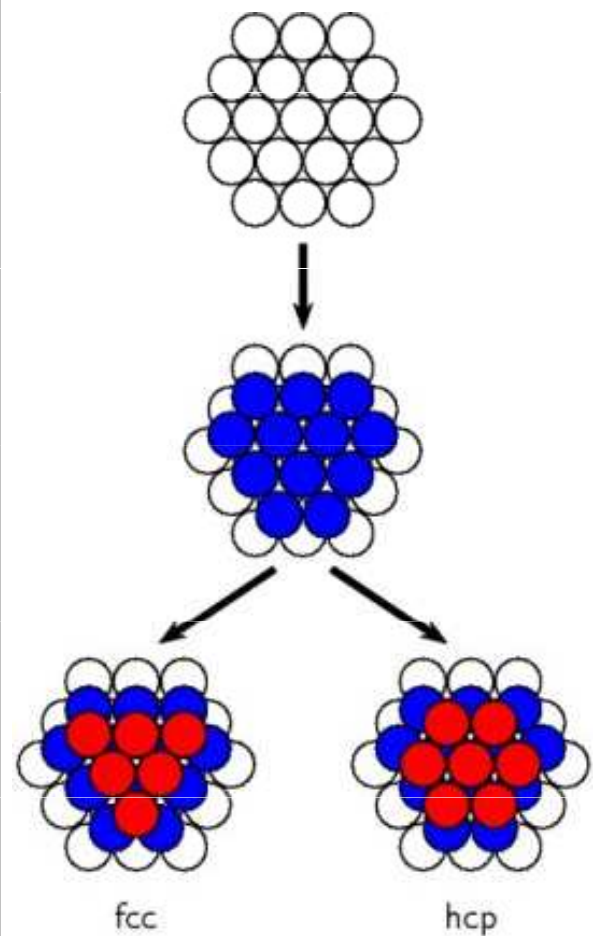
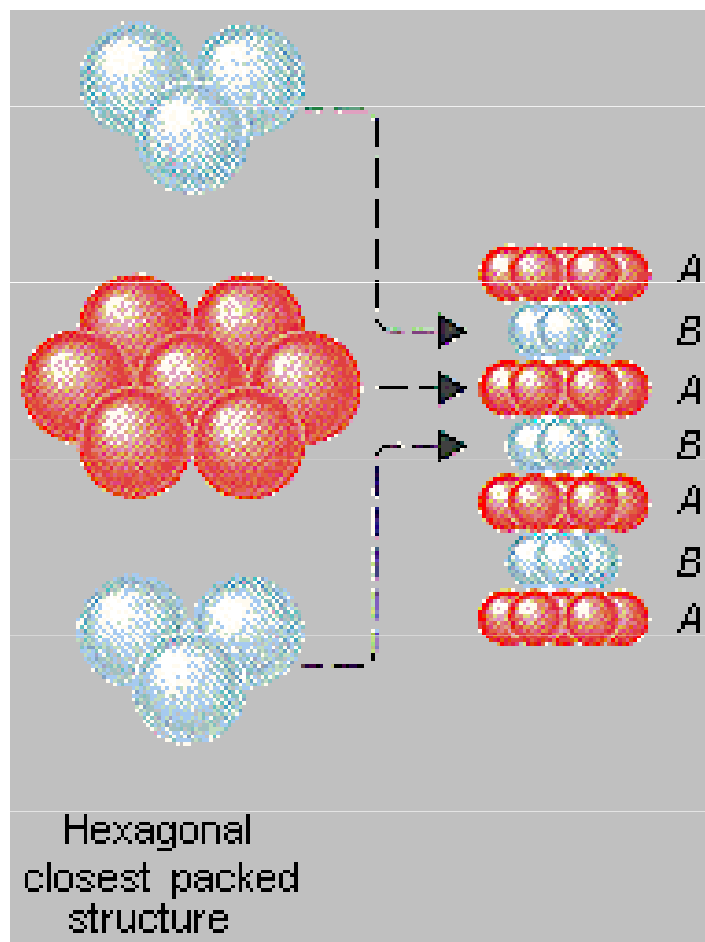
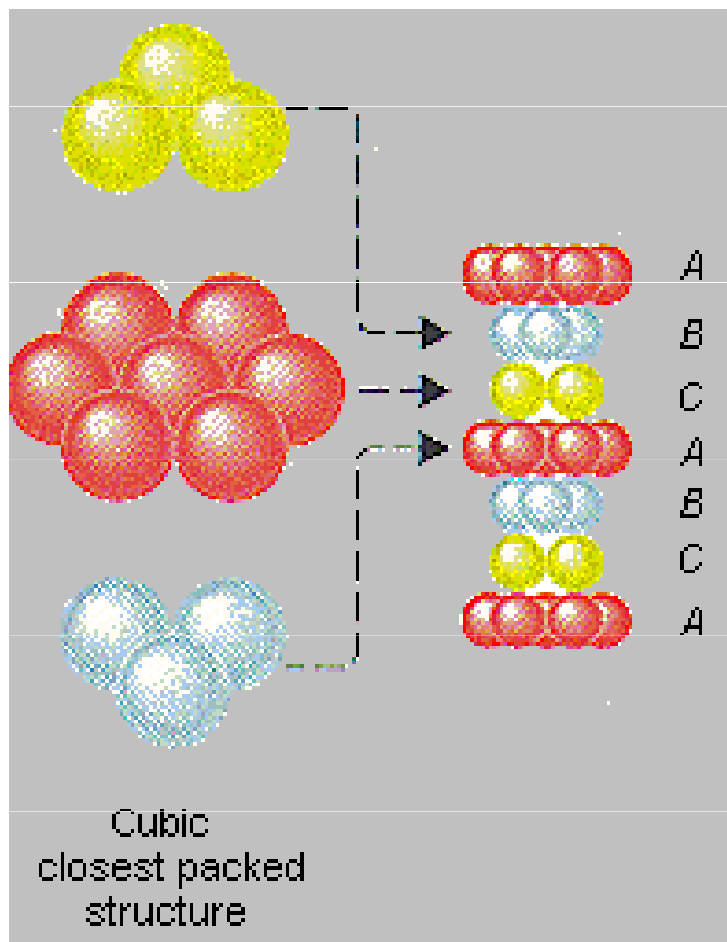


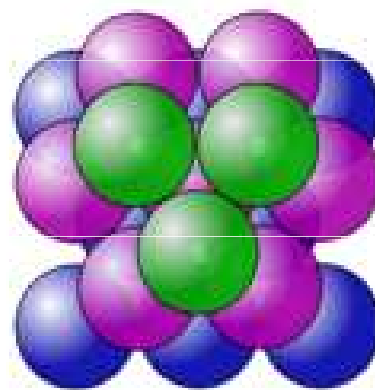
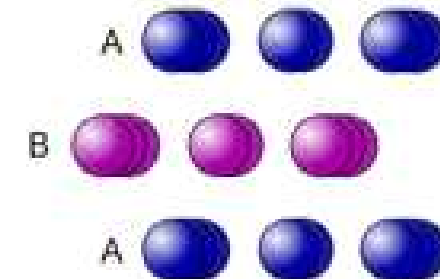
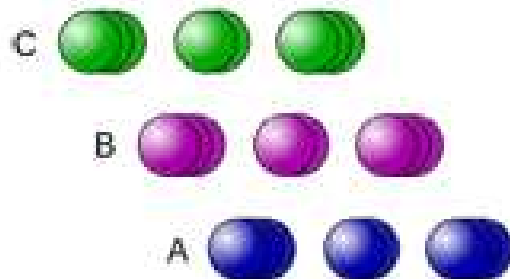


fcc

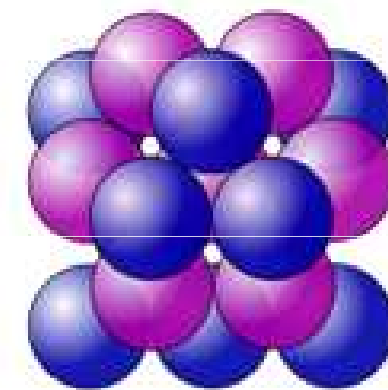
hcp

bcc

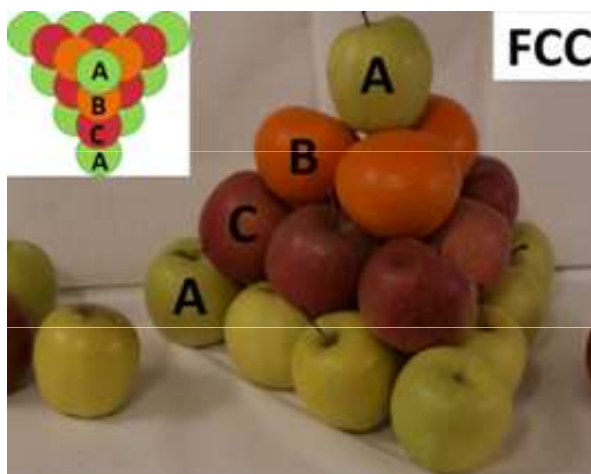




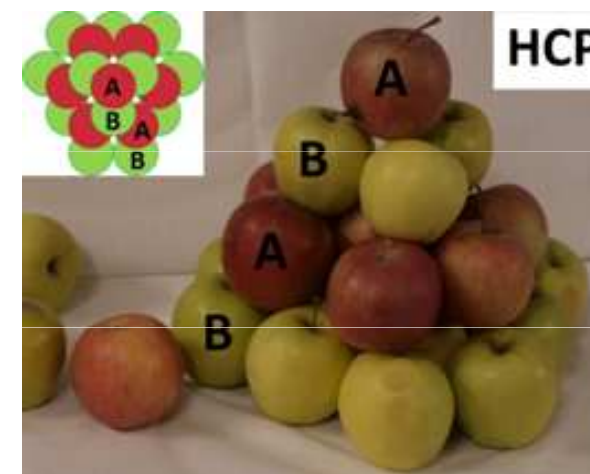
face-centered cubic (fcc)
(also called cubic close packed (ccp))
three repeating layers ABCABC....



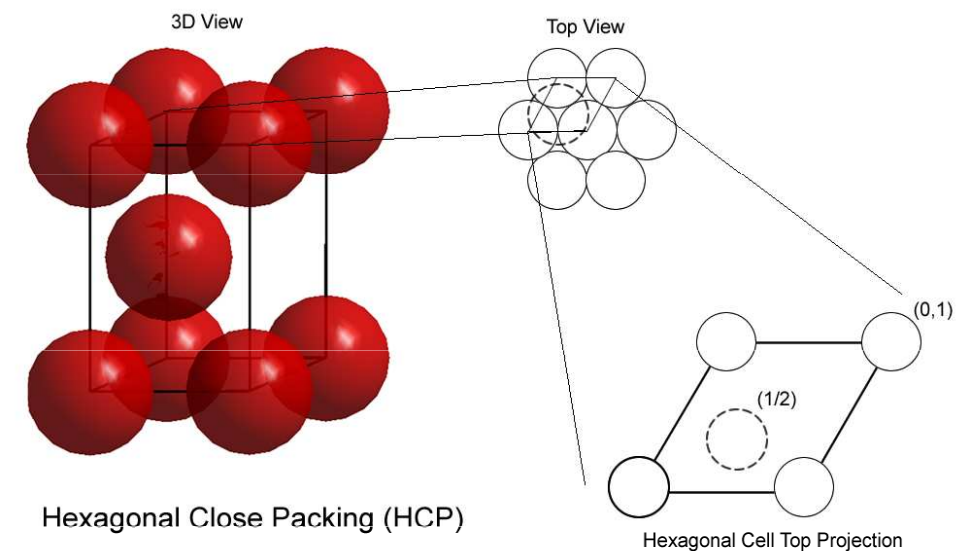
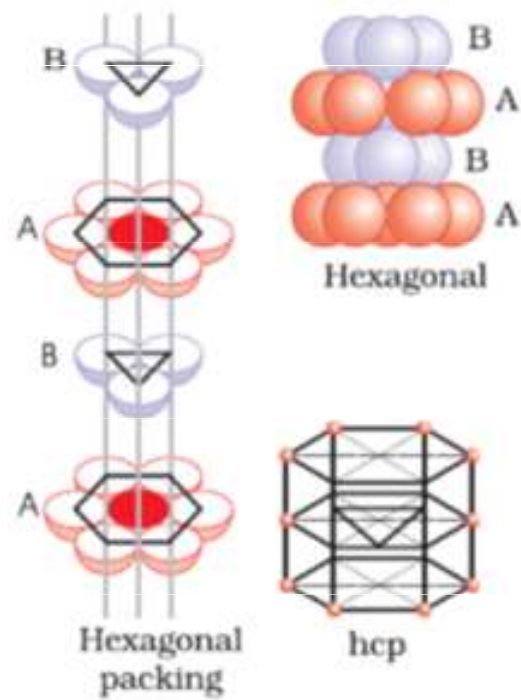
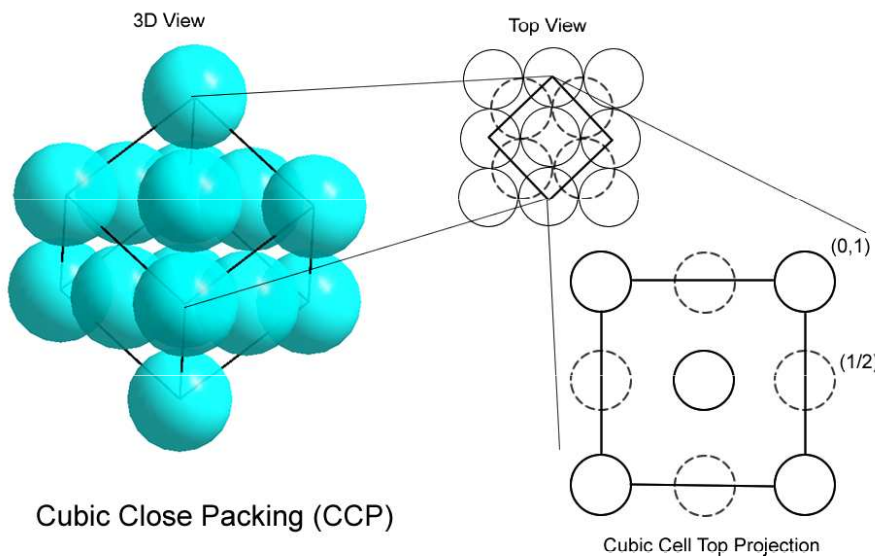
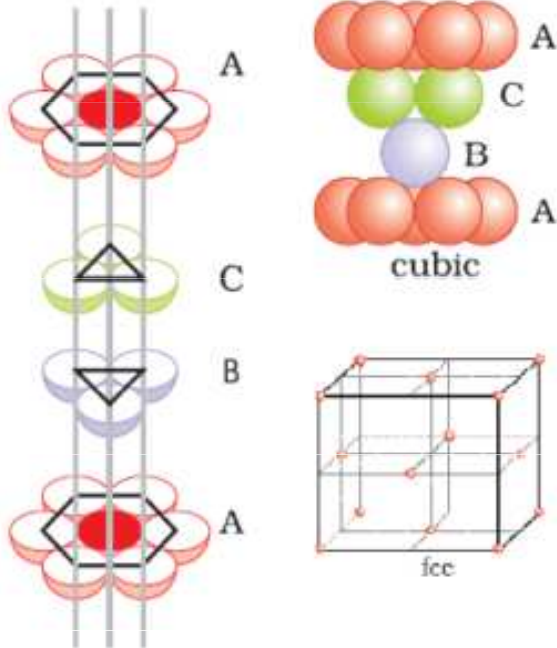
hexagonal close-packed (hcp)
two repeating layers ABABAB...

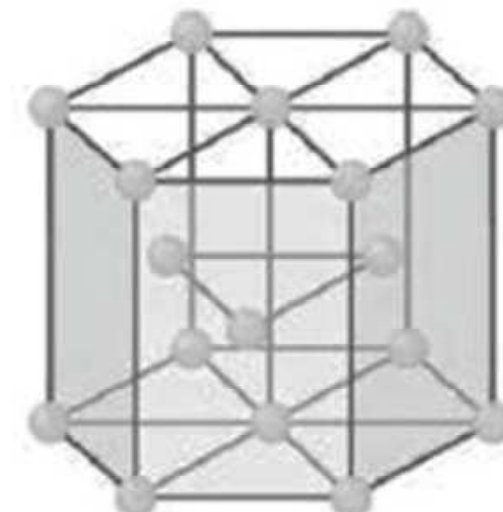
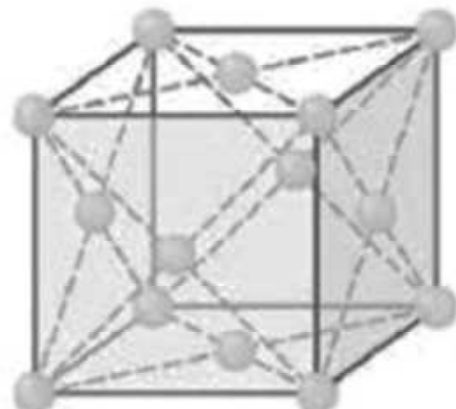
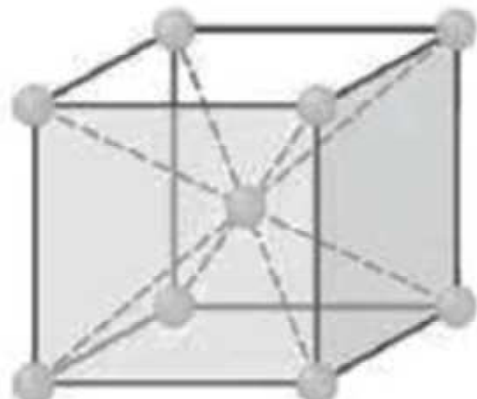


FCC



HCP





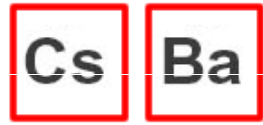
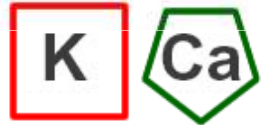
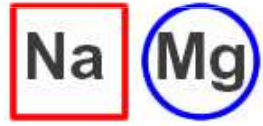
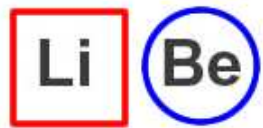
H																				He
	Li	Be																		
	Na	Mg																		
	K	Ca	Sc	Ti	V	Cr	Mn	Fe	Co	Ni	Cu	Zn	Ga	Ge	As	Se	Br	Kr		
	Rb	Sr	Y	Zr	Nb	Mo	Tc	Ru	Rh	Pd	Ag	Cd	In	Sn	Sb	Te	I	Xe		
	Cs	Ba	La	Hf	Ta	W	Re	Os	Ir	Pt	Au	Hg	Tl	Pb	Bi	Po	At	Rn		
	Fr	Ra	Ac																	

■ Primitive Cubic

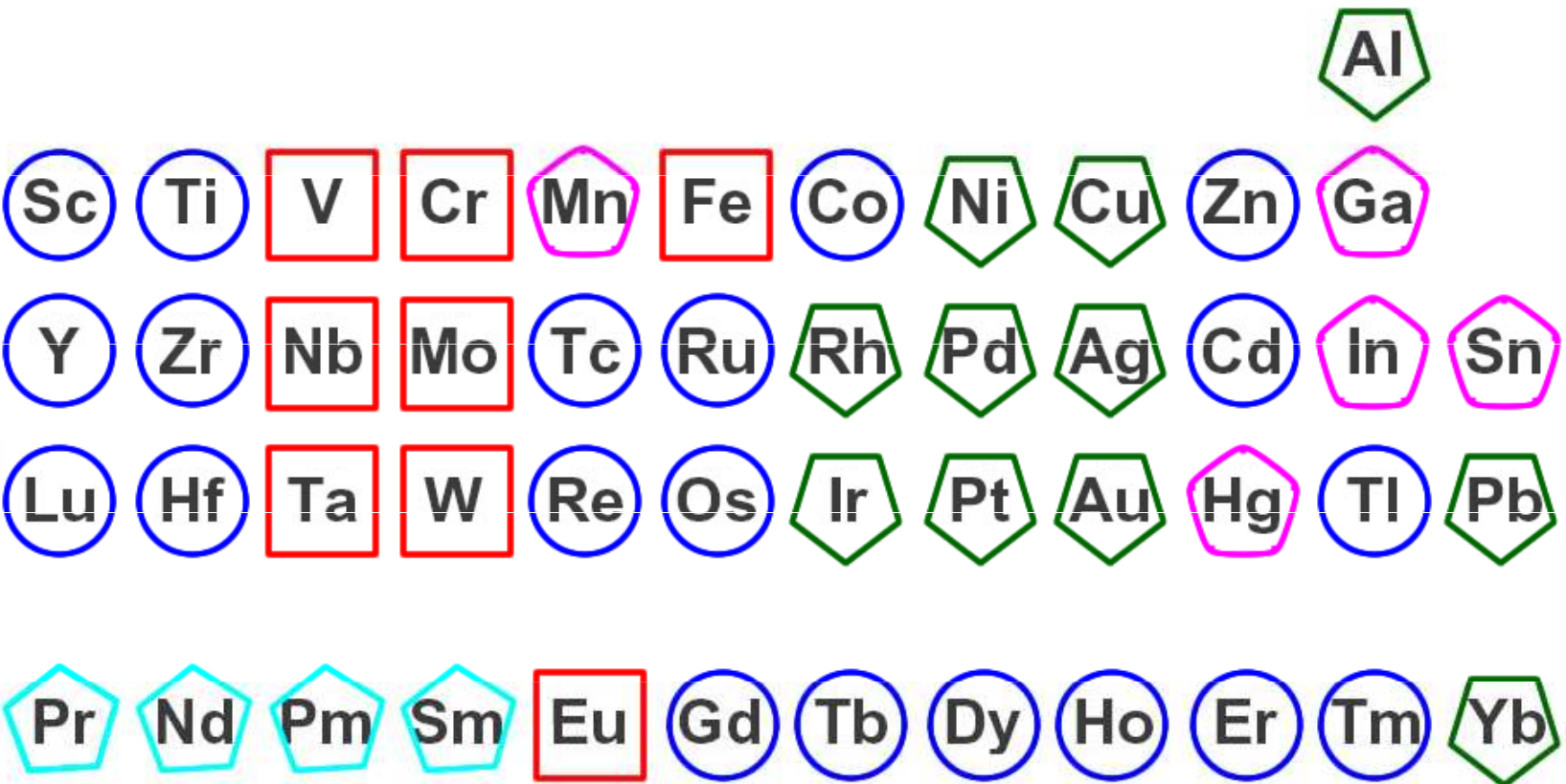
■ Cubic close packing
(Face centered cubic)

■ Body Centered Cubic

■ Hexagonal close packing



Metal Elements from the Periodic Table



(Cubic Close Packing)



(Hexagonal Close Packing)



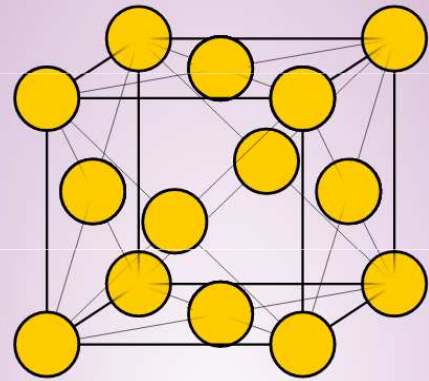
(Body Centered Cubic)



(4H)

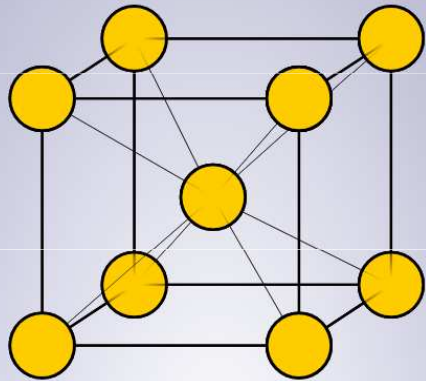


(Other)



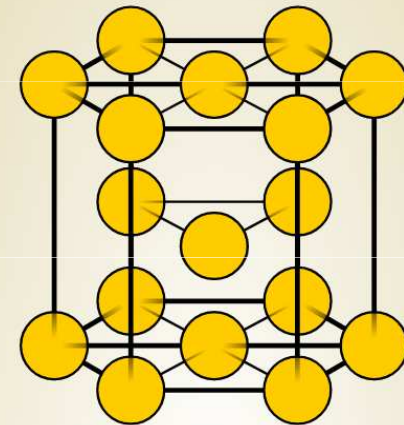
Examples of **FCC** elements at room temperature:

**Al, Ca, Ni, Cu, Sr, Rh,
Pd, Ag, Yb, Th, Ir, Pt,
Au, Pb**



Examples of **BCC** elements at room temperature:

**Li, Na, K, V, Cr, Mn, Fe,
Rb, Nb, Mo, Cs, Ba, Eu,
Ta, W, Ra**

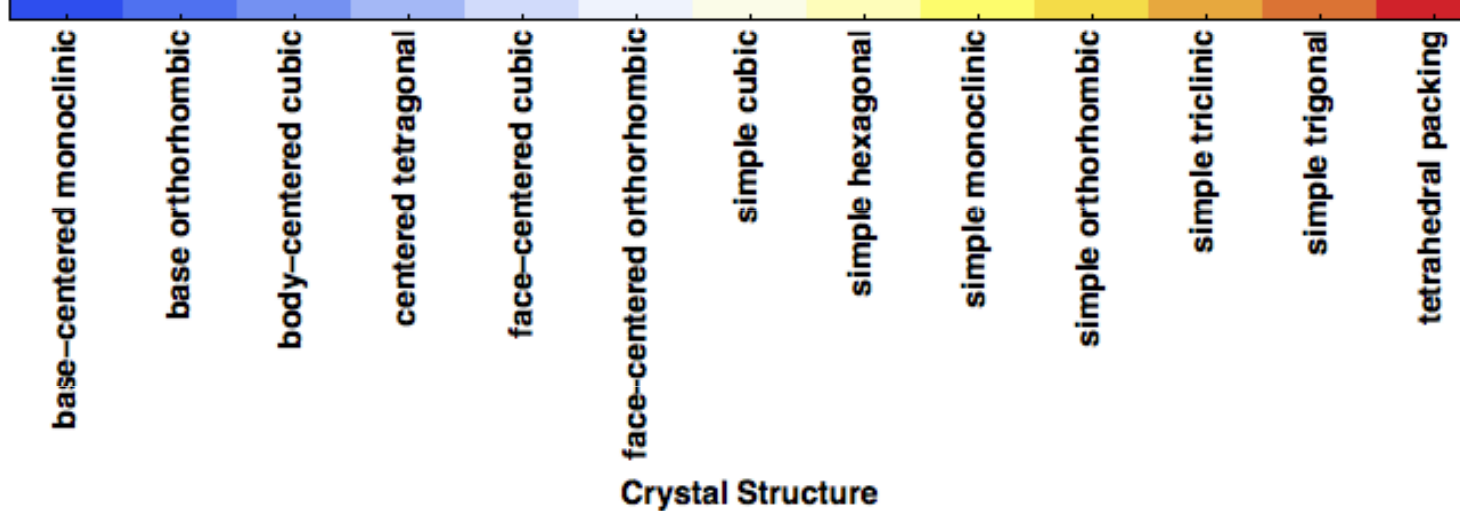


Examples of **HCP** elements at room temperature:

**Be, Mg, Sc, Ti, Co, Zn,
Y, Zr, Tc, Ru, Cd, Gd,
Tb, Dy, Ho, Er, Tm, Lu,
Hf, Re, Os, Tl**

H																				He
Li	Be																			Ne
Na	Mg																			Ar
K	Ca	Sc	Tl	V	Cr	Mn	Fe	Co	Ni	Cu	Zn	Ga	Ge	As	Se	Br				Kr
Rb	Sr	Y	Zr	Nb	Mo	Tc	Ru	Rh	Pd	Ag	Cd	In	Sn	Sb	Te	I				Xe
Cs	Ba		Hf	Ta	W	Re	Os	Ir	Pt	Au	Hg	Tl	Pb	Bi	Po	At				Rn
Fr	Ra		Rf	Db	Sg	Bh	Hs	Mt	Ds	Rg	Cn	Nh	Fl	Mc	Lv	Ts	Og			

La	Ce	Pr	Nd	Pm	Sm	Eu	Gd	Tb	Dy	Ho	Er	Tm	Yb	Lu
Ac	Th	Pa	U	Np	Pu	Am	Cm	Bk	Cf	Ee	Fm	Md	No	Lr

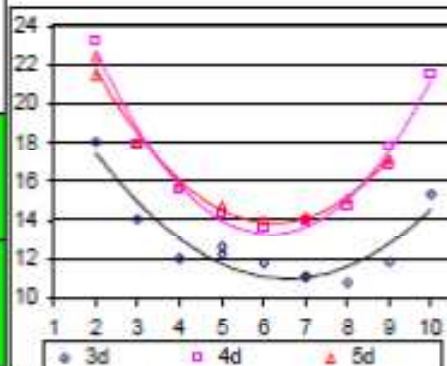


Engel – Brewerův model

Engel-Brewerova teorie: u přechodných kovů závisí strukturní typ především na počtu d-elektronů. Výjimky: Mn, Fe, Hg

	I	II	III	IV	V	VI	VII		VIII		I	II	
2	Li	Be		d ¹	d ²	d ³	d ⁴	d ⁵	d ⁶	d ⁷	d ⁸	d ⁹	d ¹⁰
3	Na	Mg						(n-1) d					
4	K	Ca	Sc	Ti	V	Cr	Mn	Fe	Co	Ni	Cu	Zn	
5	Rb	Sr	Y	Zr	Nb	Mo	Tc	Ru	Rh	Pd	Ag	Cd	
6	Cs	Ba	Lu	Hf	Ta	W	Re	Os	Ir	Pt	Au	Hg	

Objem buňky pro přechodné kovy 3d, 4d a 5d:
 $V(3d) < V(4d) \sim V(5d)$
 (Lanthanoidová kontrakce mezi 4d a 5d kovy)



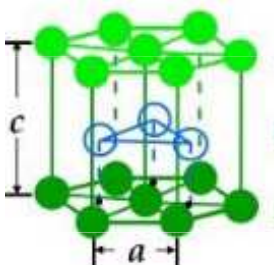
La	Ce	Pr	Nd	Pm	Sm	Eu	Gd	Tb	Dy	Ho	Er	Tm	Yb
Ac	Th	Pa	U	Np	Pu	Am	Cm	Bk	Cf	Es	Fm	Md	No

bcc

hcp

ccp (fcc)

APF for HCP



A sites

$$C=1.633a$$

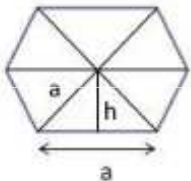
B sites

$$\text{Number of atoms in HCP unit cell} = (12 \cdot 1/6) + (2 \cdot 1/2) + 3 = 6 \text{ atoms}$$

A sites

$$\begin{aligned} \text{Vol. of HCP unit cell} &= \text{area of the hexagonal face} \times \text{height of the hexagonal} \\ &\text{Area of the hexagonal face} = \text{area of each triangle} \times 6 \end{aligned}$$

$$a=2r$$



$$\text{Area of triangle} = \frac{bh}{2} = \frac{ah}{2} = \frac{1}{2}a \cdot \frac{a\sqrt{3}}{2}$$

$$\text{Area of hexagon} = 6 \cdot \frac{a^2\sqrt{3}}{4}$$

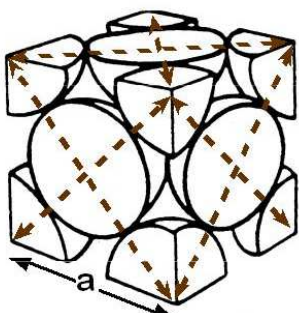
$$\text{Volume of HCP} = 6 \cdot \frac{a^2\sqrt{3}}{4} \cdot C = 6 \cdot \frac{a^2\sqrt{3}}{4} \cdot 1.633a$$

$$\text{APF} = 6 \cdot \frac{4\pi r^3}{3} / \left(\frac{\sqrt{3}}{4} \cdot 6 \cdot 1.633 \cdot a^3 \right)$$

$$\text{APF} = 0.74$$

ATOMIC PACKING FACTOR: FCC

- APF for a body-centered cubic structure = 0.74



$$\begin{aligned} \text{Close-packed directions:} \\ \text{length} &= 4R \\ &= \sqrt{2}a \end{aligned}$$

$$\begin{aligned} \text{Unit cell contains:} \\ 6 \times 1/2 + 8 \times 1/8 &= 4 \text{ atoms/unit cell} \end{aligned}$$

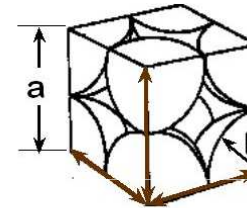
$$\begin{aligned} \text{atoms} &\rightarrow 4 \quad \frac{4}{3}\pi(\sqrt{2}a/4)^3 \quad \text{volume} \\ \text{unit cell} &\quad \text{atom} \\ \text{APF} = & \frac{4 \cdot \frac{4}{3}\pi(\sqrt{2}a/4)^3}{a^3} \quad \text{volume} \\ &\quad \text{unit cell} \end{aligned}$$

ATOMIC PACKING FACTOR

$$\text{APF} = \frac{\text{Volume of atoms in unit cell}^*}{\text{Volume of unit cell}}$$

*assume hard spheres

- APF for a simple cubic structure = 0.52



close-packed directions

contains $8 \times 1/8 =$
1 atom/unit cell

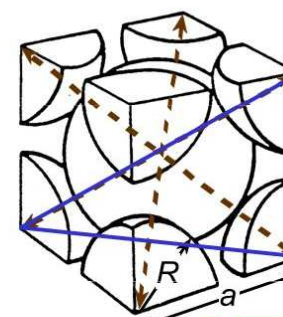
Adapted from Fig. 3.19,
Callister 6e.

$$\begin{aligned} \text{atoms} &\rightarrow 1 \quad \frac{4}{3}\pi(0.5a)^3 \quad \text{volume} \\ \text{unit cell} &\quad \text{atom} \\ \text{APF} = & \frac{1 \cdot \frac{4}{3}\pi(0.5a)^3}{a^3} \quad \text{volume} \\ &\quad \text{unit cell} \end{aligned}$$



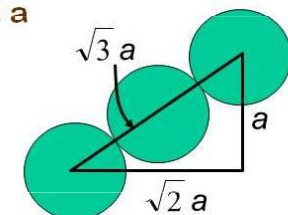
ATOMIC PACKING FACTOR: BCC

- APF for a body-centered cubic structure = 0.68



Close-packed directions:

$$\begin{aligned} \text{length} &= 4R \\ &= \sqrt{3}a \end{aligned}$$

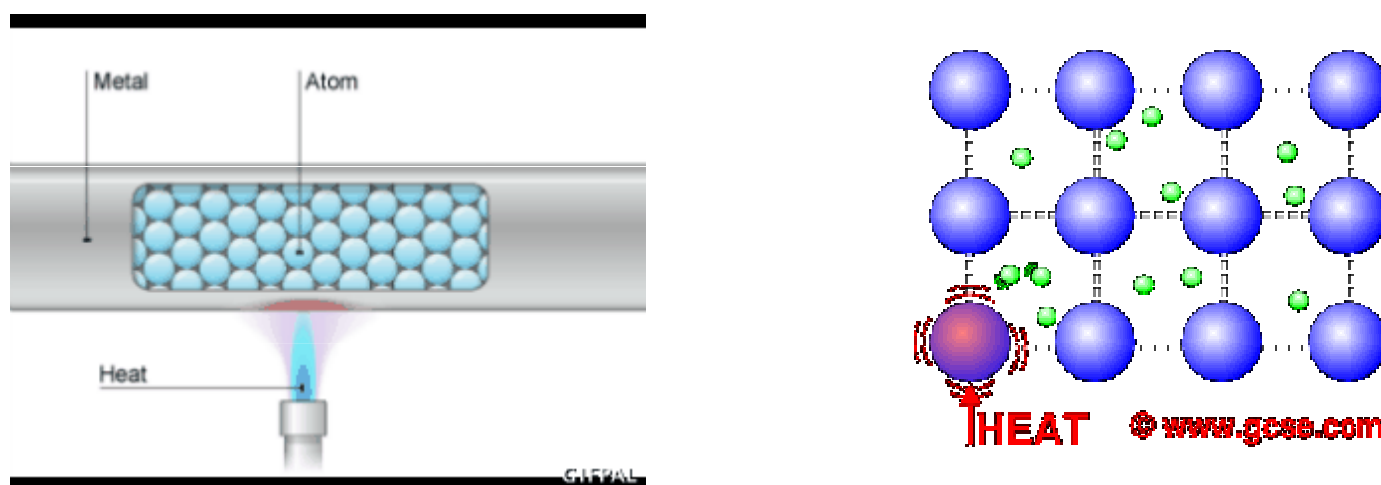


$$\begin{aligned} \text{atoms} &\rightarrow 2 \quad \frac{4}{3}\pi(\sqrt{3}a/4)^3 \quad \text{volume} \\ \text{unit cell} &\quad \text{atom} \\ \text{APF} = & \frac{2 \cdot \frac{4}{3}\pi(\sqrt{3}a/4)^3}{a^3} \quad \text{volume} \\ &\quad \text{unit cell} \end{aligned}$$



Tepelná a elektrická vodivost

Je ovlivněna elektronovým plynem který se nachází mezi uzlovými body mřížky. Například u hořčíku je počet valenčních elektronů 3s v tomto případě , dochází k překryvu vrstev 3s a 3p , takže ze všech molekulových orbitalů z valenční vrstvy vzniklého z vrstvy 3s a 3p o dané energii je jich zaplněna jen čtvrtina. Elektrony mohou v kovech snadno přecházet do volných molekulových orbitalů ve valenční vrstvě a způsobují tak dobrou elektrickou vodivost. Čím jsou uzlové body blíž u sebe tím elektrony hůře prochází. (vodivost je tak slabší)

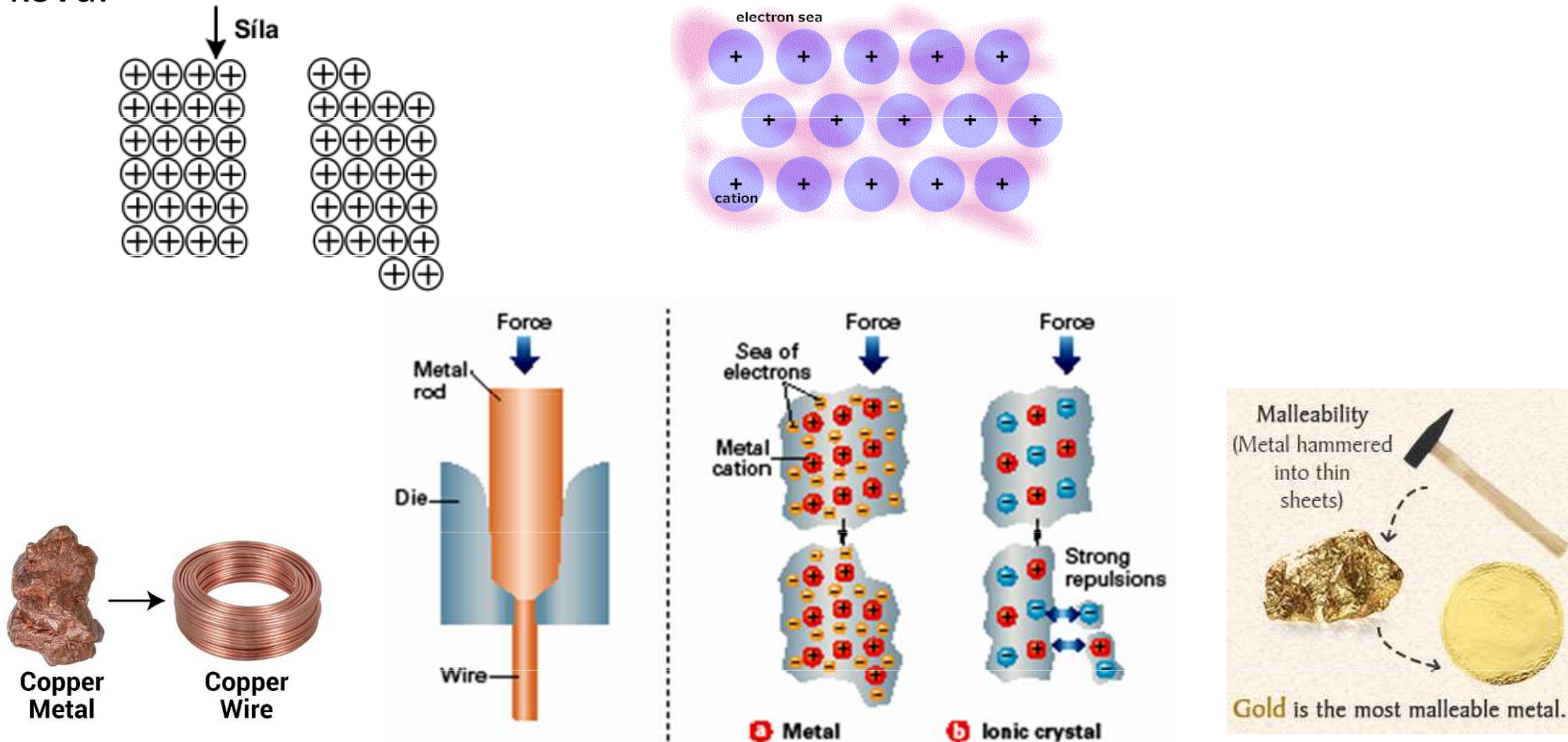


Electrical Conductivity of Various Metals

Silver	108	Iron	17
Copper	100	Steel	17
Aluminum	56	Nickel	15
Magnesium	38	Tin	15
Zinc	29	Lead	9

Kujnost

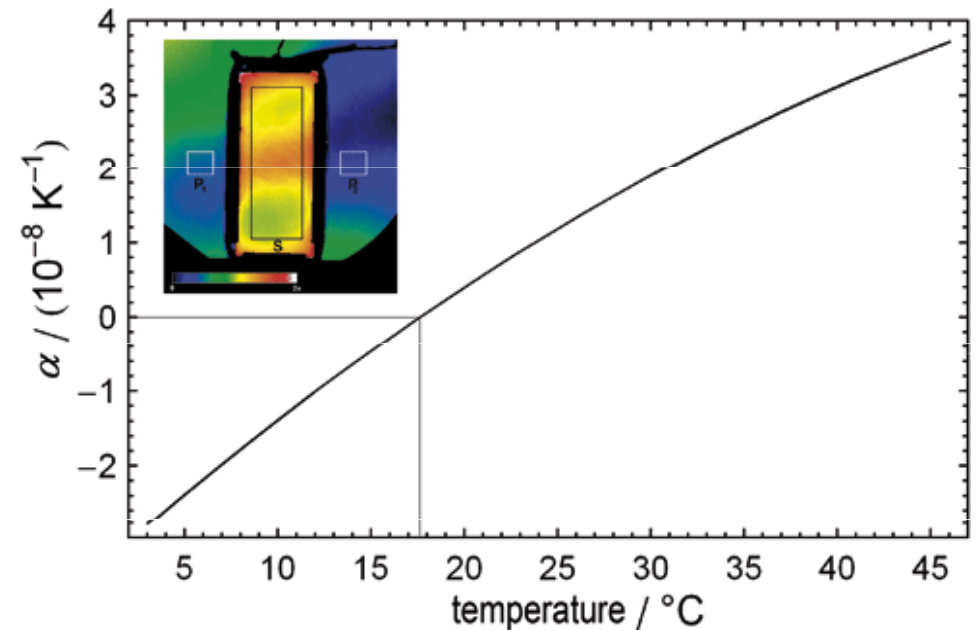
Při kování nebo tváření se díky delokalizaci vazebních elektronů jednotlivé vrstvy krystalové mřížky po sobě volně posouvají. Kujnost je ovlivněna vzdáleností uzlových bodů. Čím jsou uzlové body více u sebe tím je kov tvrdší, ale křehčí. V opačném případě je kov měkčí a snadno se upravuje. Podle Frenkelovy teorie lze tažnost a kujnost kovů vysvětlit pohybem dislokací v krystalové mřížce kovu.



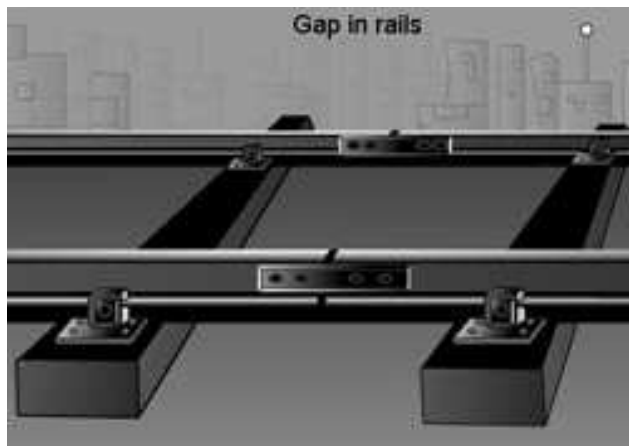
Tepelná roztažnost

Během zahřívání kovů se s teplotou zvětšuje jejich objem/délka.

$$L = L_0 \cdot (1 + \alpha \cdot \Delta T)$$



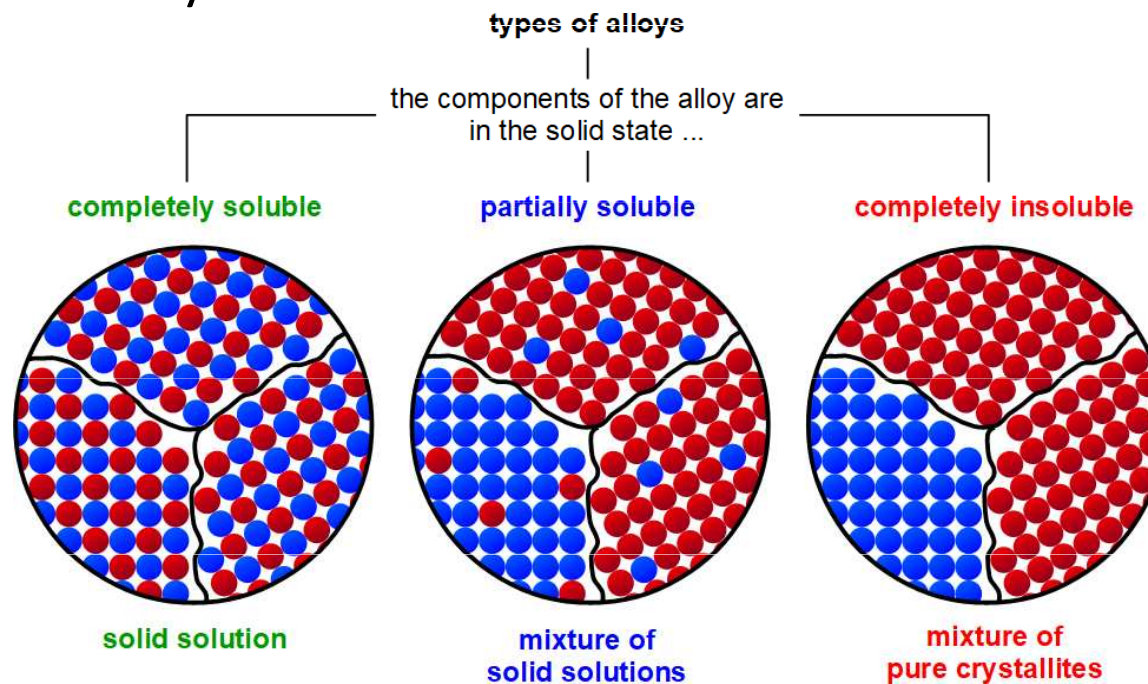
α je teplotní součinitel délkové roztažnosti



Mísitelnost roztavených kovů, slitiny

Roztavené kovy jsou běžně mísitelné. Po ochlazení se směs dvou kovů může chovat:

1. Každá z nich se oddělí v čistém stavu, tj. v pevné fázi jsou složky navzájem nerozpustné.
2. Vzniknou dva pevné roztoky díky částečné rozpustnosti v pevné fázi.
3. Mohou tvořit spojitou řadu pevných roztoků (substitučních nebo intersticiálních).
4. Mohou vznikat intermetalické fáze, v nichž je poměr atomů dvou rozdílných kovů zdánlivě stechiometrický.

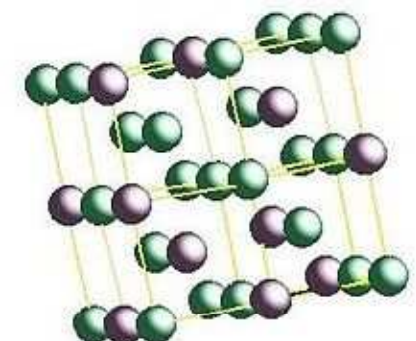


Tuhé roztoky

Tuhý roztok má atomovou mřížku základní složky, kterou může být čistý kov nebo chemická sloučenina. Atomy příměsových prvků jsou uloženy v atomové mřížce základního kovu. Podle toho kde tyto atomy jsou umístěny rozlišujeme dva základní typy tuhých roztoků.

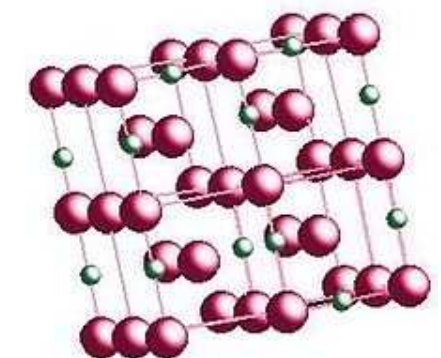
Tuhý roztok substituční

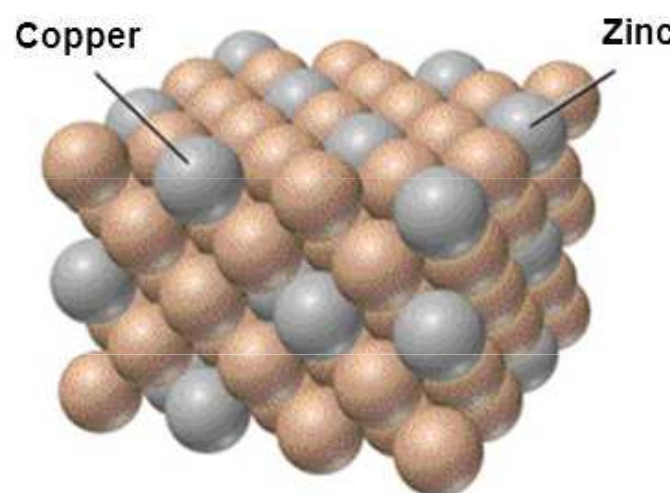
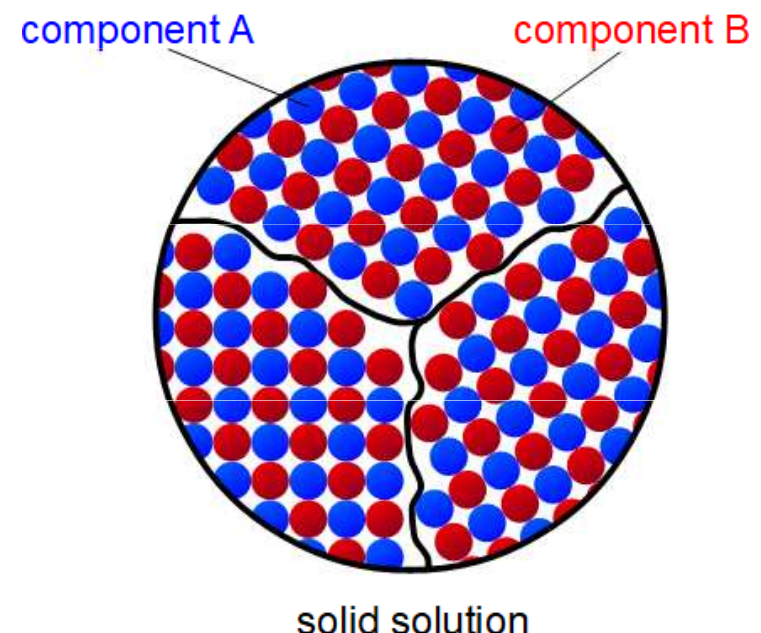
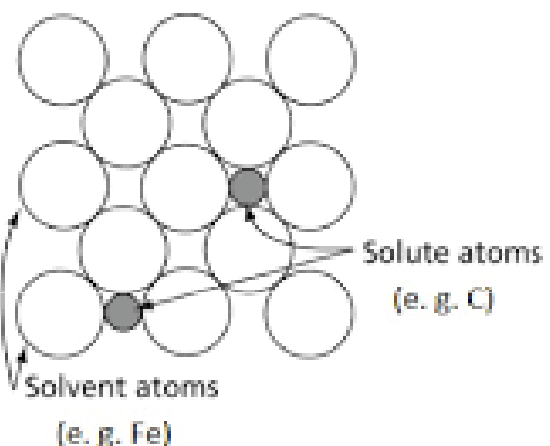
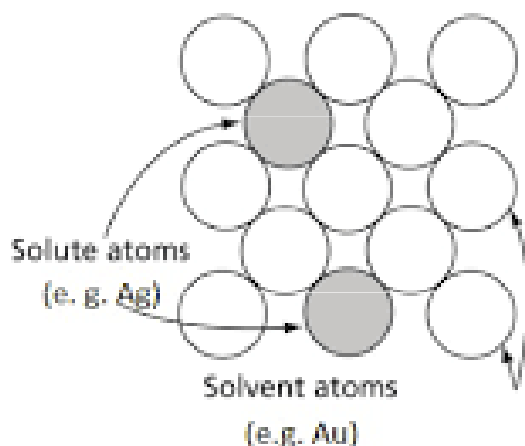
- velikosti a vlastnosti atomů legujících prvků a základního kovu jsou podobné. Atomy základního kovu a přídavného prvku se v atomové mřížce mohou vzájemně zastupovat. Substituční tuhé roztoky tvoří kupříkladu nikl, mangan, chrom, křemík se železem, nebo zlato se stříbrem, měď s niklem ap.



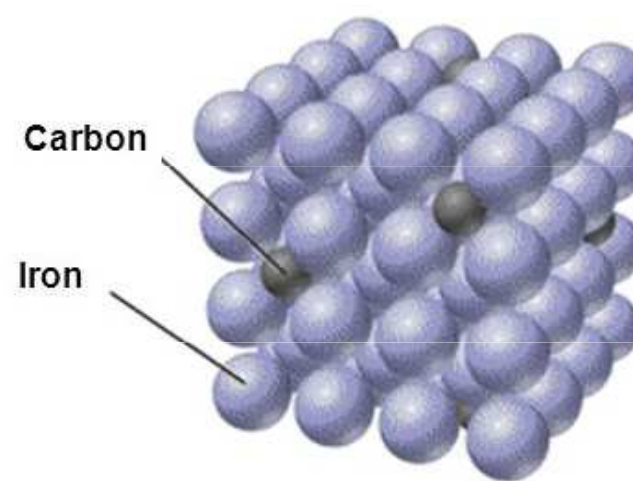
Tuhý roztok intersticiální

Intersticiální (mezerový) tuhý roztok se vytváří když se atomy přídavného prvku umisťují do prostoru krystalografické mřížky mezi atomy základního kovu. Toto je jen tehdy možné, když jsou atomy přídavného prvku výrazně menšího poloměru v poměru k atomům kovu základního. Se železem tvoří intersticiální tuhé roztoky uhlík, dusík, vodík a bor.





Brass
a substitutional alloy



Carbon steel
an interstitial alloy

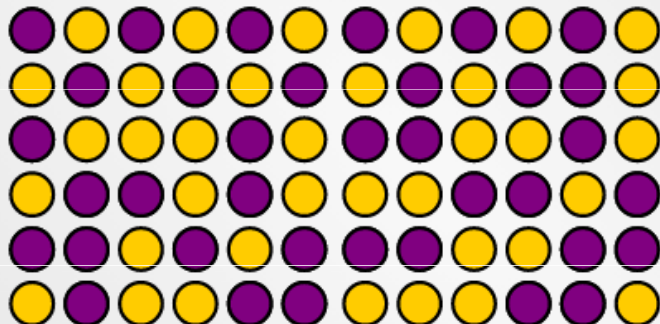
Substitutional Alloy

(solid solution)



like each other equally.

They can randomly replace each other.



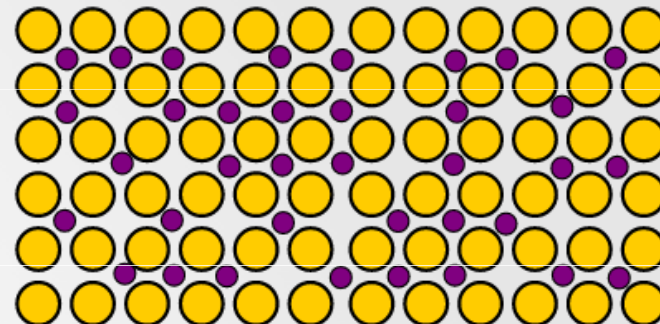
Interstitial Alloy

(solid solution)



like each other equally.

Small atoms randomly squeeze between big atoms.

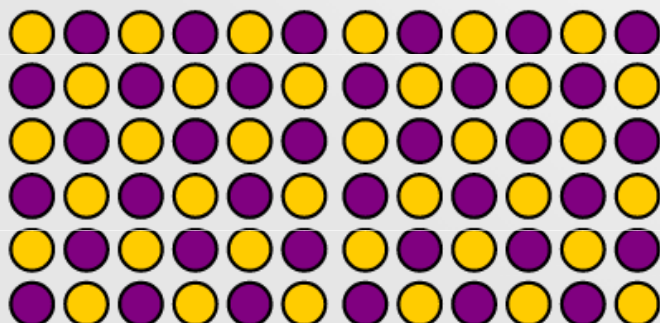


Intermetallic Compound



like each other more than themselves

They must be arranged in a specific order to maximize contact.

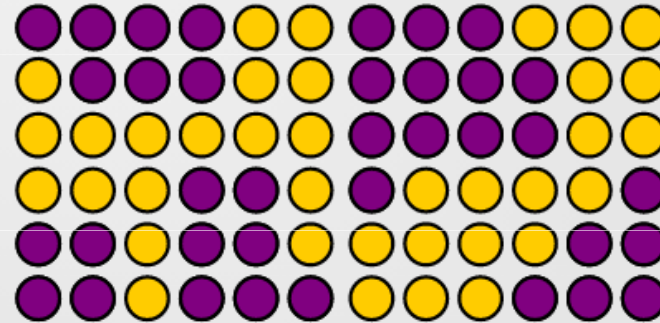


Two-Phase Alloy



like each other less than themselves

They stay in distinct phases to minimize contact



Hume-Rotheryho pravidla

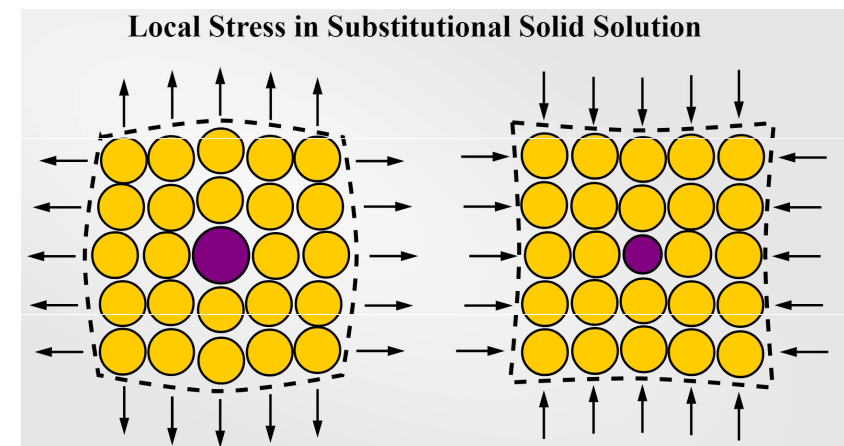
- popisují podmínky za kterých se prvek rozpouští v kovu za vzniku tuhého roztoku, existuje však řada výjimek.

Pravidla pro substituční tuhé roztoky

1. Atomové poloměry atomů základního a přídavného prvku se nesmí lišit o více než 15 %:

$$\% \text{ difference} = \left(\frac{r_{\text{solute}} - r_{\text{solvent}}}{r_{\text{solvent}}} \right) \times 100\% \leq 15\%.$$

2. Krystalová struktura základního a přídavného prvku musí být podobná.



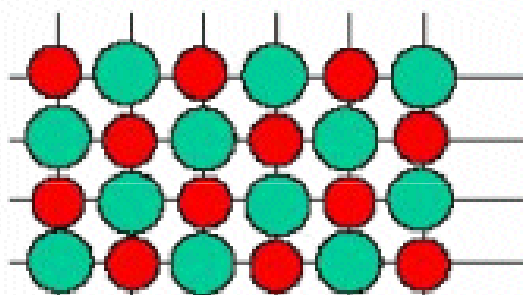
3. Úplná rozpustnost nastává když základní a přídavný prvek mají stejnou valenci. Přídavný prvek s nižší valencí se rozpustí spíše v základním prvku s vyšší valencí než naopak.

4. Základní a přídavný prvek by měly mít podobnou hodnotu elektronegativity. Pokud je rozdíl elektronegativit příliš velký, je tendence tvořit **intermetalické fáze** namísto tuhých roztoků.

Pravidla pro intersticiální tuhé roztoky

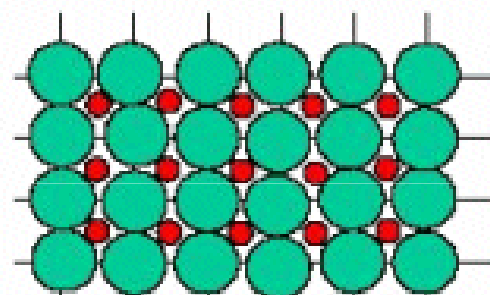
1. Atomy přídavného prvku by neměly mít poloměr větší než 15 % poloměru základního atomu.
2. Základní a přídavný prvek by měly mít podobnou hodnotu elektronegativity.
3. Intersticiální tuhé roztoky vykazují široké rozpětí pokud jde o složení.
4. Základní a přídavný prvek by měly mít stejnou valenci. Velký rozdíl v jejich valencích snižuje rozpustnost.

Substitutional
**'an element replaces host atoms
in an orderly arrangement'**



e.g., Ni₃Al (hi-T yield strength),
Al₃(Li,Zr) (strengthening)

Interstitial
**'an element goes into holes
in an orderly arrangement'**



e.g., small impurities, clays
ionic crystals, ceramics.

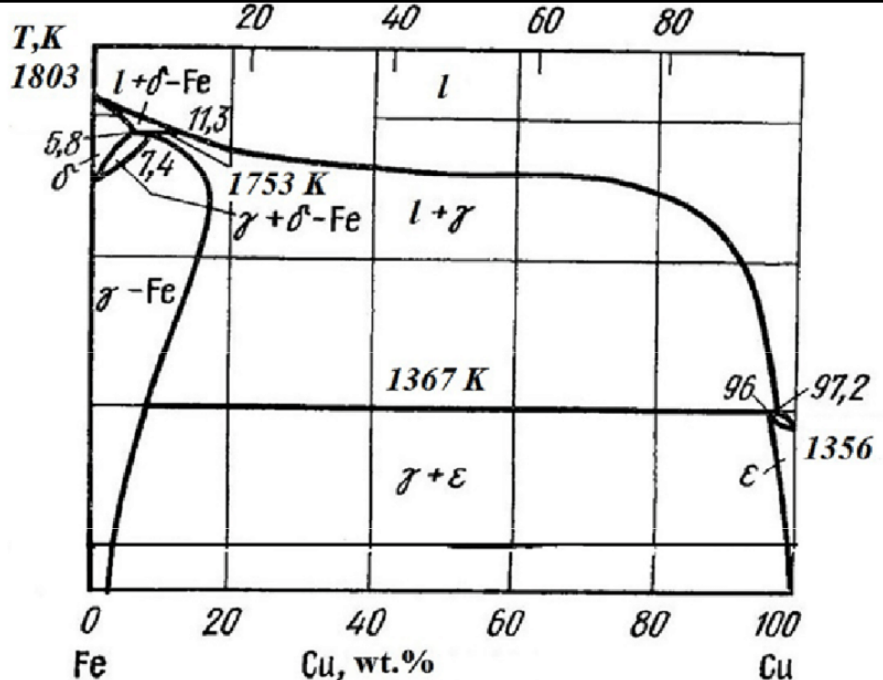
Příklad

Pomocí Hume-Rosseyho diagramu rozložíme kovy.

Fe a Cu

$$r_{Cu} = 0.128 \text{ nm}$$

Nebudou se různit vysoké teploty za vysoké teploty.



tyto kovy budou, či nebudou, různit vysoké teploty.



γ , budou se mírně rozpouštět

Ni a Cu

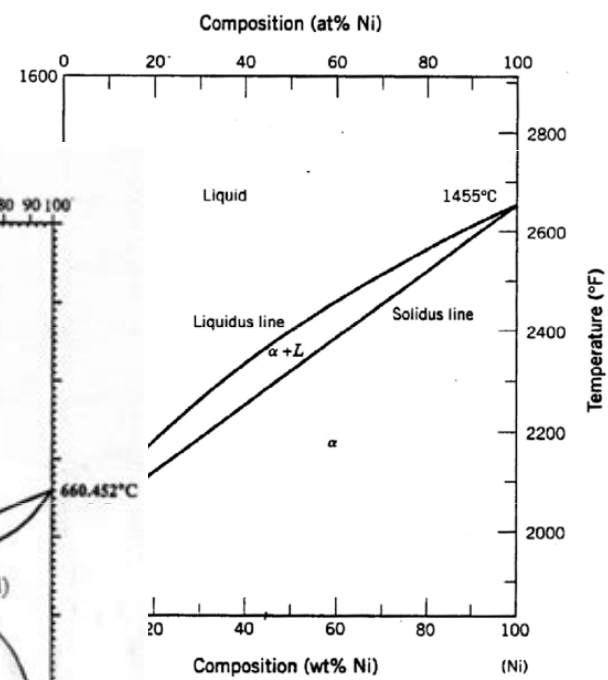
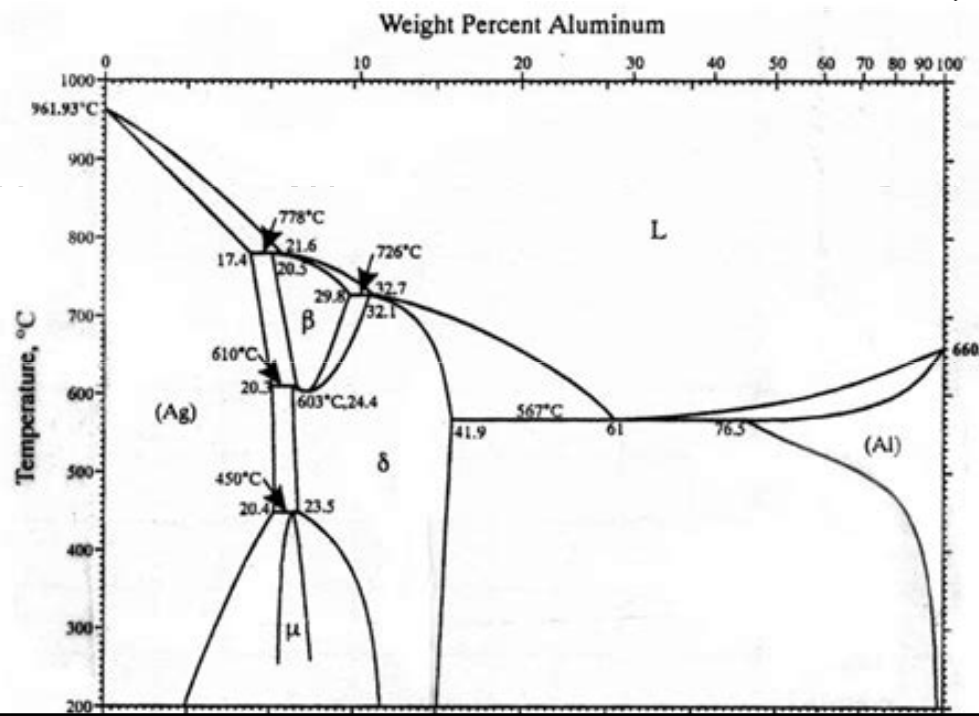
$$r_{Cu} = 0.128 \text{ nm}, r_{Ni} =$$

Neomezeně se navzájem rozpouštějí.

Al a Ag

$$r_{Al} = 0.143 \text{ nm}, r_{Ag} =$$

Al je rozpustný v Ag,



Darken-Gurryho mapa

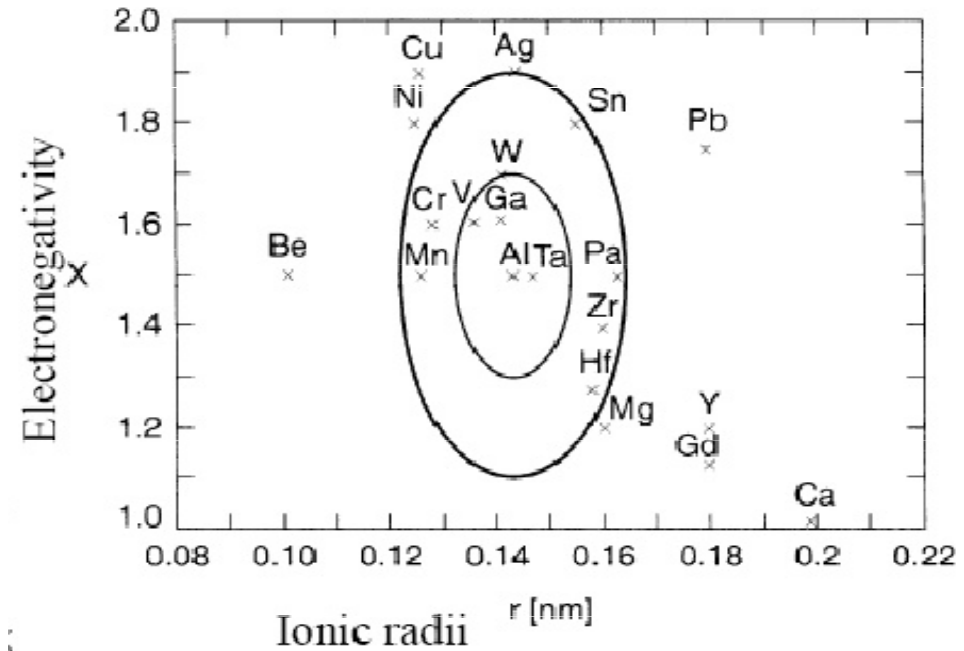
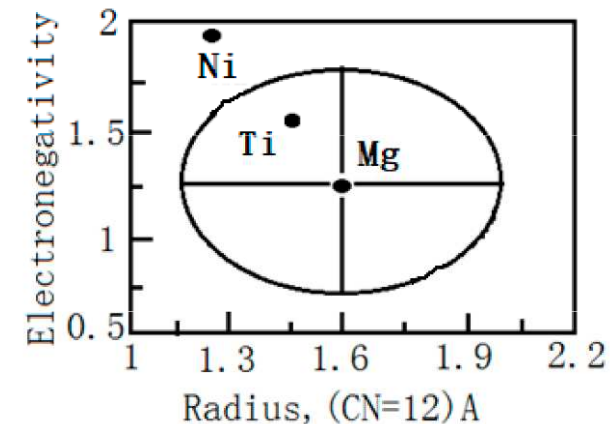
Velká rozpustnost se očekává v případě, že atom rozpouštěného prvku je ve vnitřní elipse (< 0.2 rozdíl ΔX a $< 7.5\%$ rozdíl Δr mezi rozpouštěným prvkem a rozpouštědlem).

$$\left(\frac{X - X_A}{0.2}\right)^2 + \left(\frac{r - r_A}{0.075r_A}\right)^2 = 1$$

Rozpustnost $> 5\%$ se očekává, pokud atom rozpouštěného prvku je uvnitř vnější elipsy (< 0.4 rozdíl ΔX a $< 15\%$ rozdíl Δr mezi rozpouštěným prvkem a rozpouštědlem).

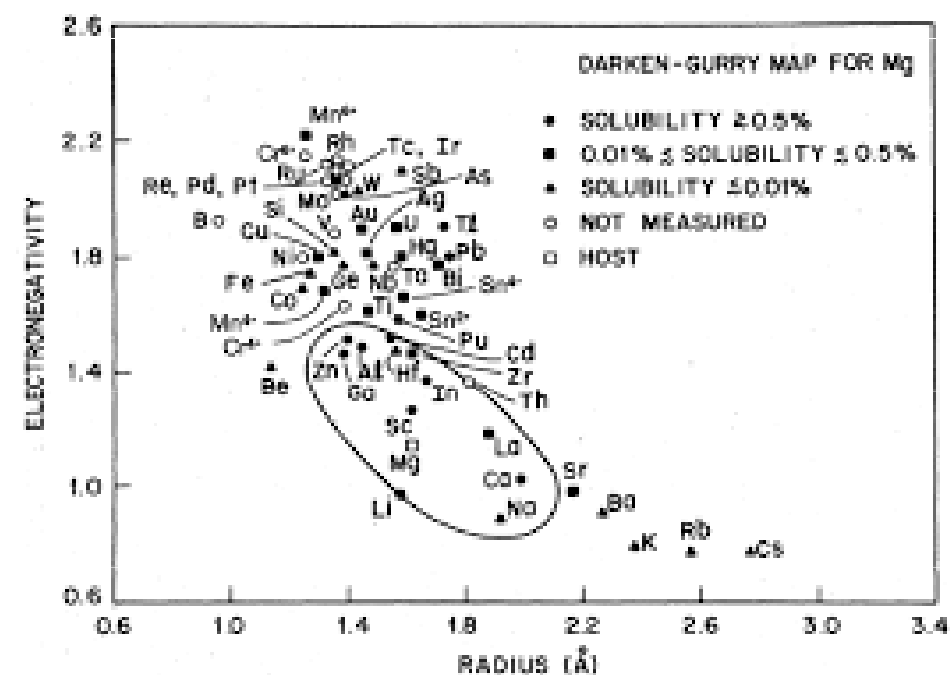
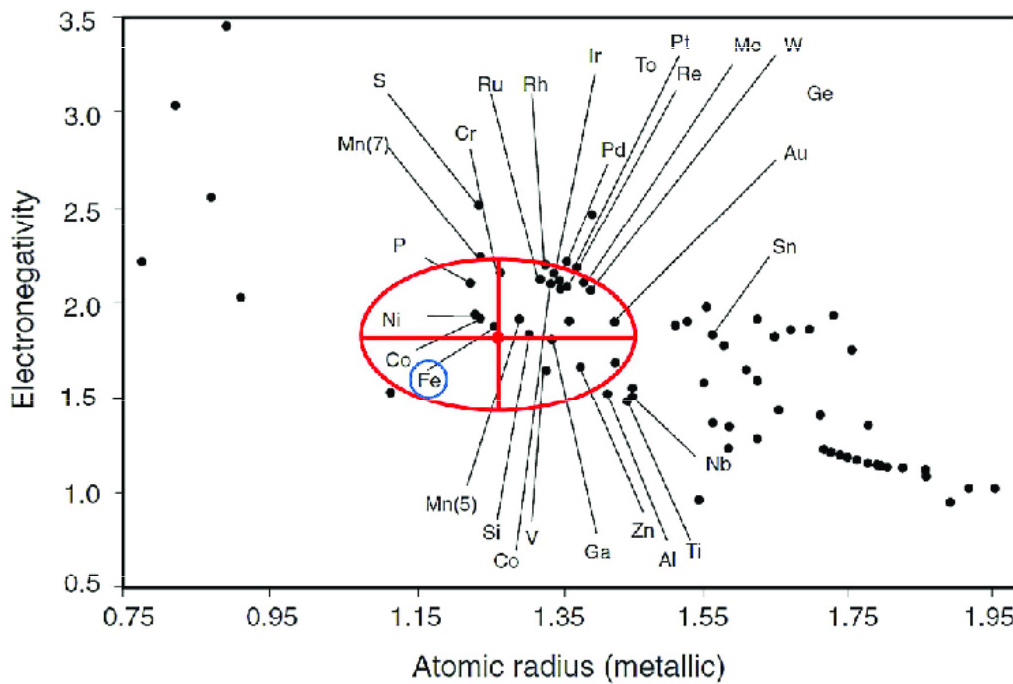
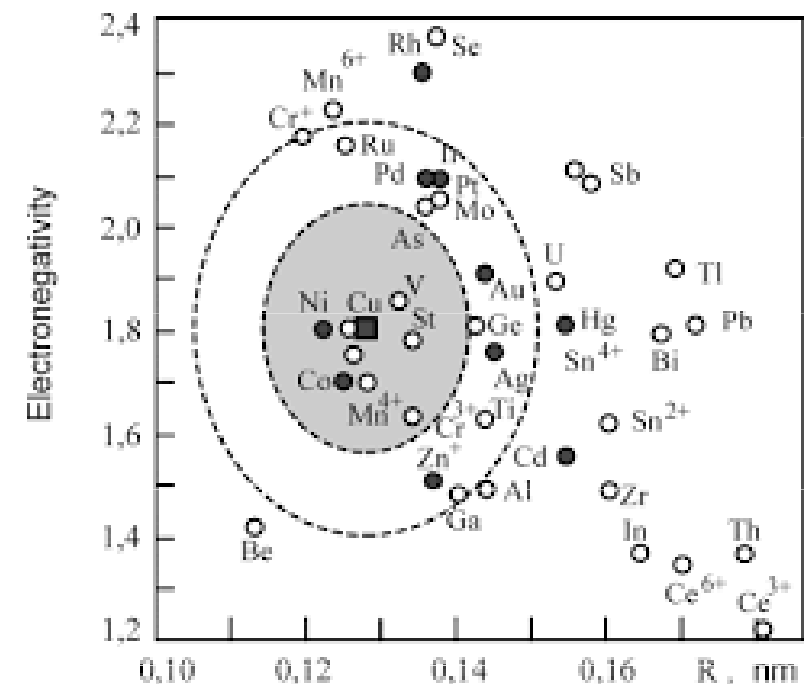
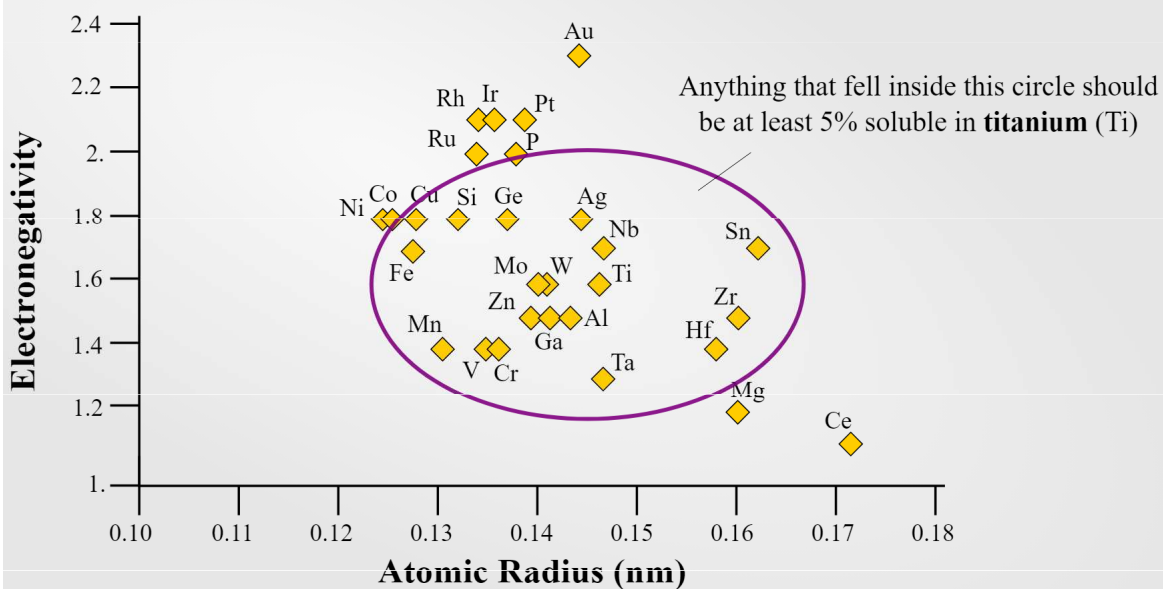
$$\left(\frac{X - X_A}{0.4}\right)^2 + \left(\frac{r - r_A}{0.15r_A}\right)^2 = 1$$

$$\begin{aligned} r_{\text{Ng}} &= 0.16 \text{ nm}, E_{\text{Ng}} = 1.31 \\ r_{\text{Ti}} &= 0.145 \text{ nm}, E_{\text{Ti}} = 1.54 \\ r_{\text{Mg}} &= 0.124 \text{ nm}, E_{\text{Mg}} = 1.92 \end{aligned}$$



Darken-Gurryho mapa pro Al

Darken-Gurry Map for Titanium



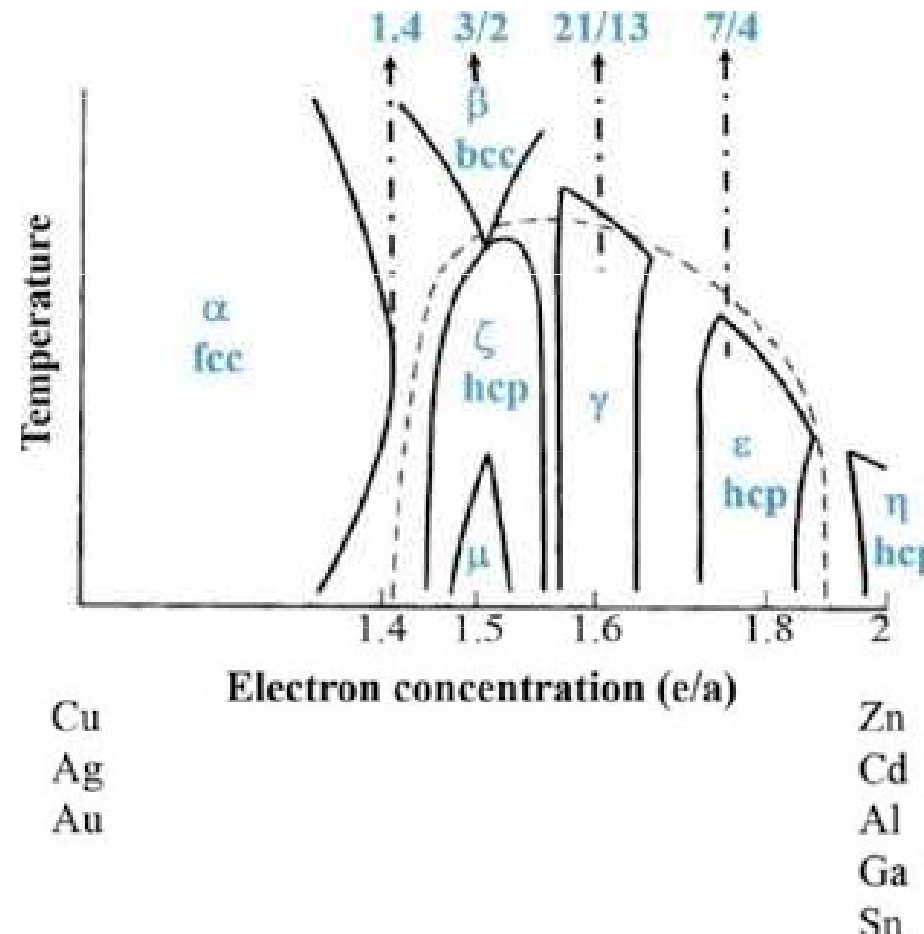
Intermetalické fáze

Pro danou krystalovou strukturu je poměr celkového počtu valenčních elektronů k počtu atomů (e/a) prakticky konstantní.

$$e/a = (v_1 m_1 + v_2 m_2 + \dots + v_n m_n) / 100$$

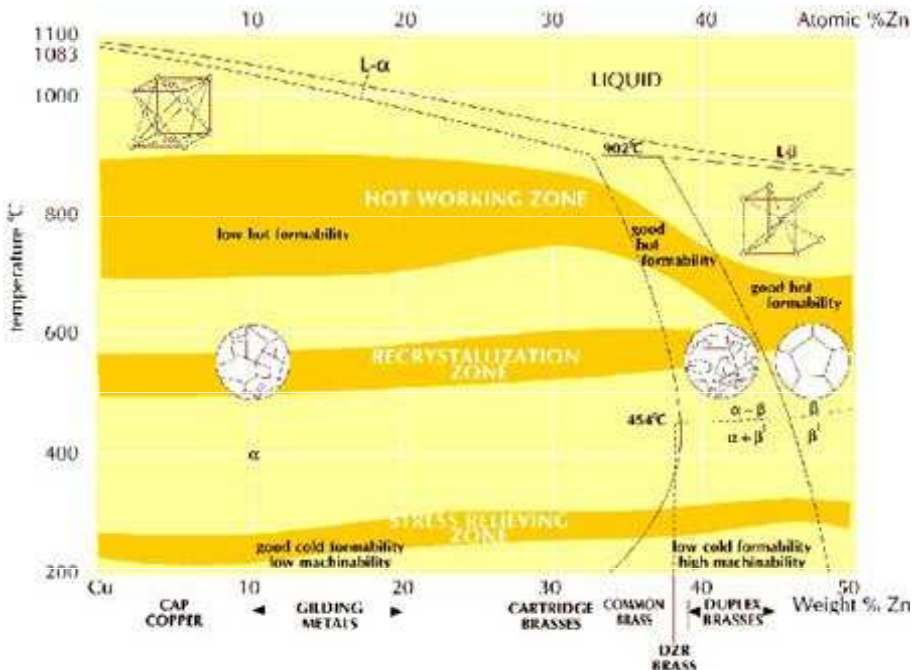
v_n = celkový počet valenčních elektronů ve valenční sféře n-tého prvku.

m_n = molární % n-tého prvku.



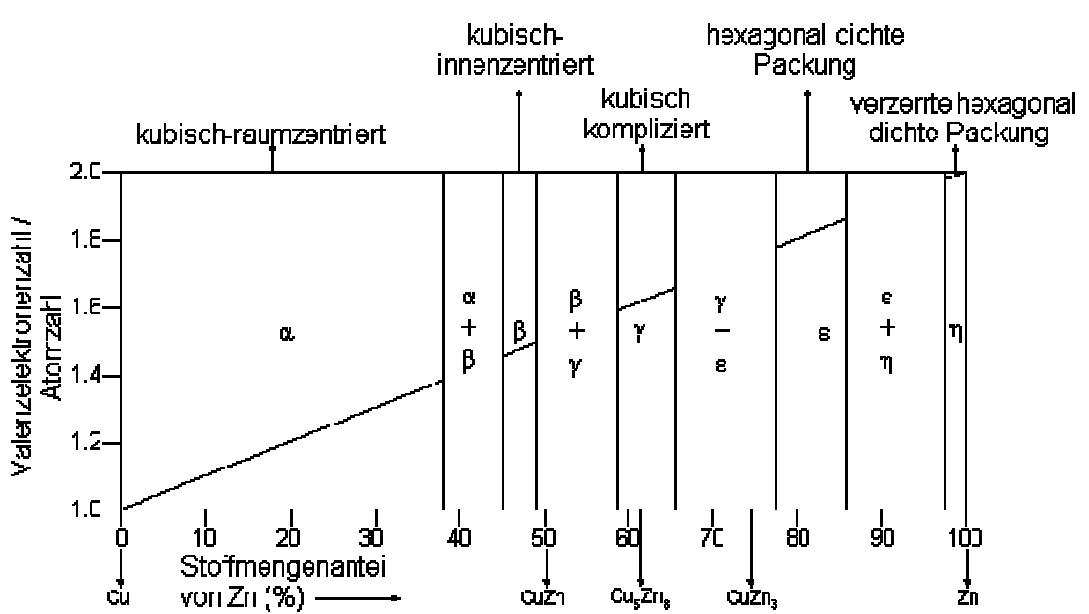
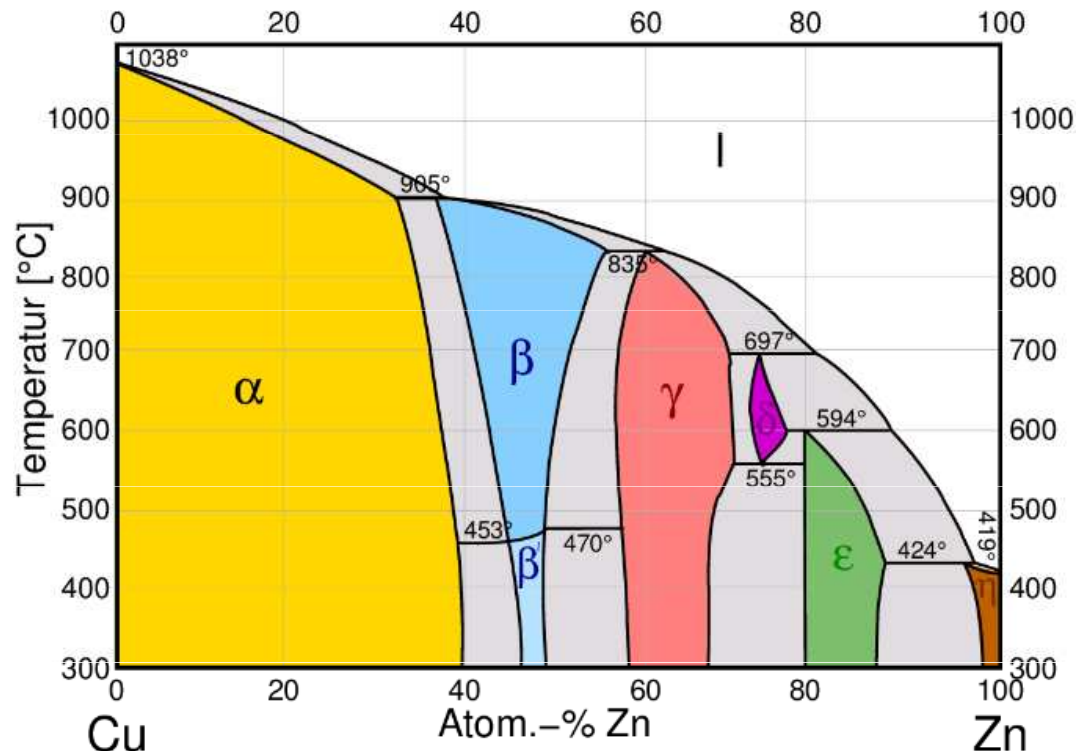
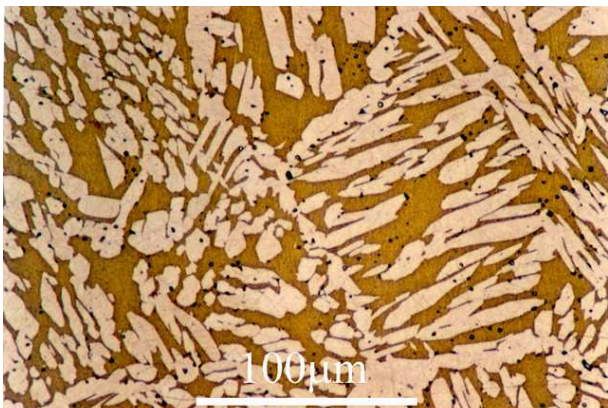
Intermetalické fáze

mosaz (Cu + Zn)



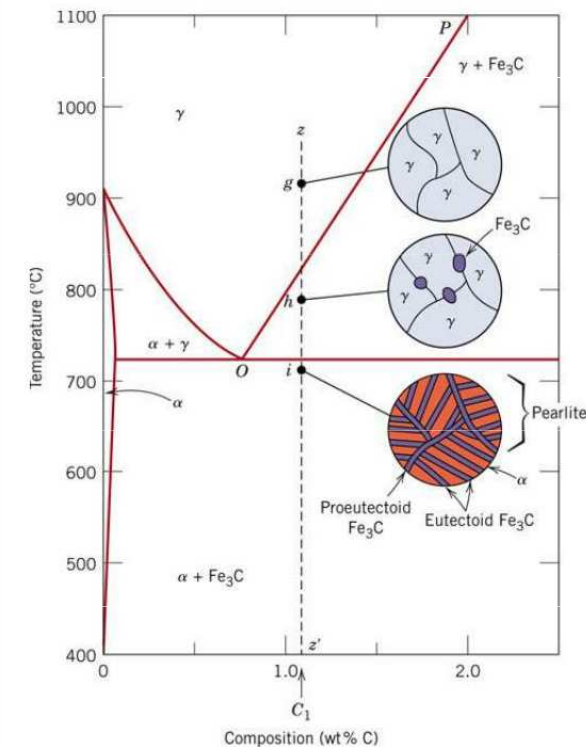
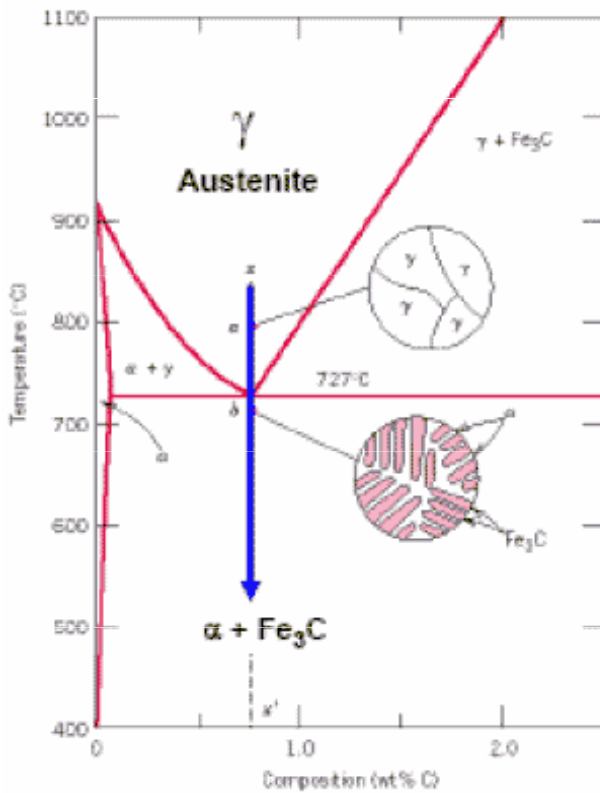
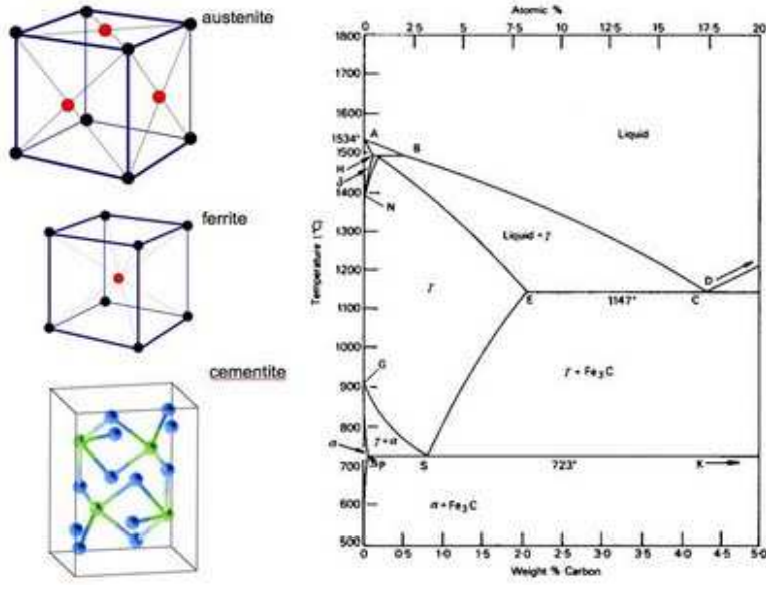
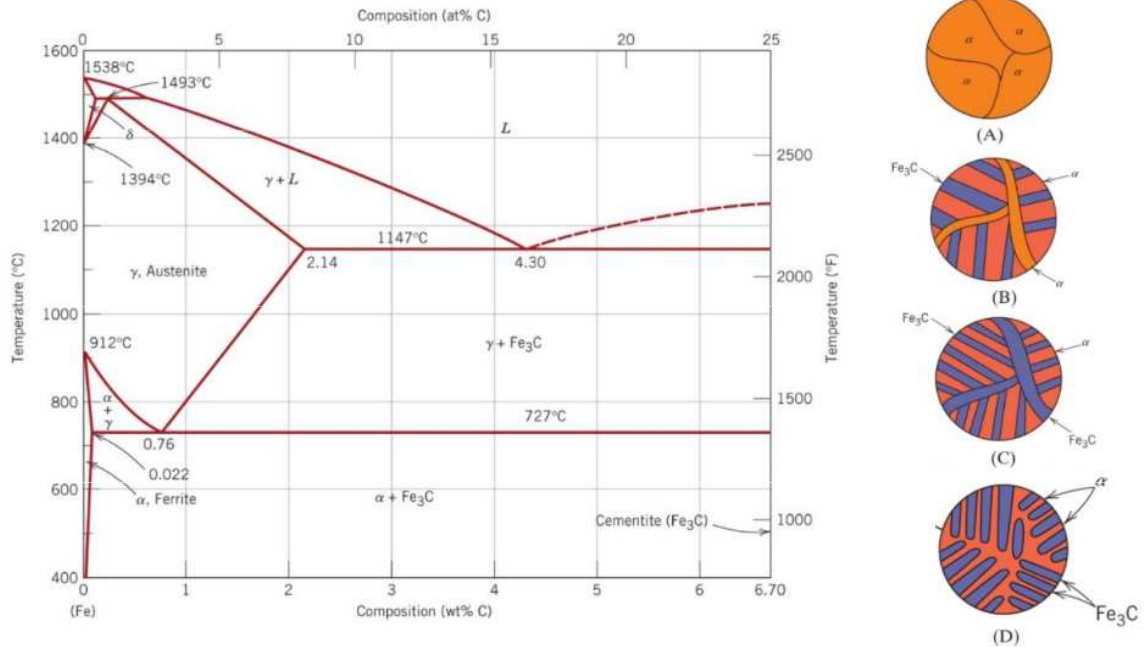
Cu 60 wt% + Zn 40 wt%

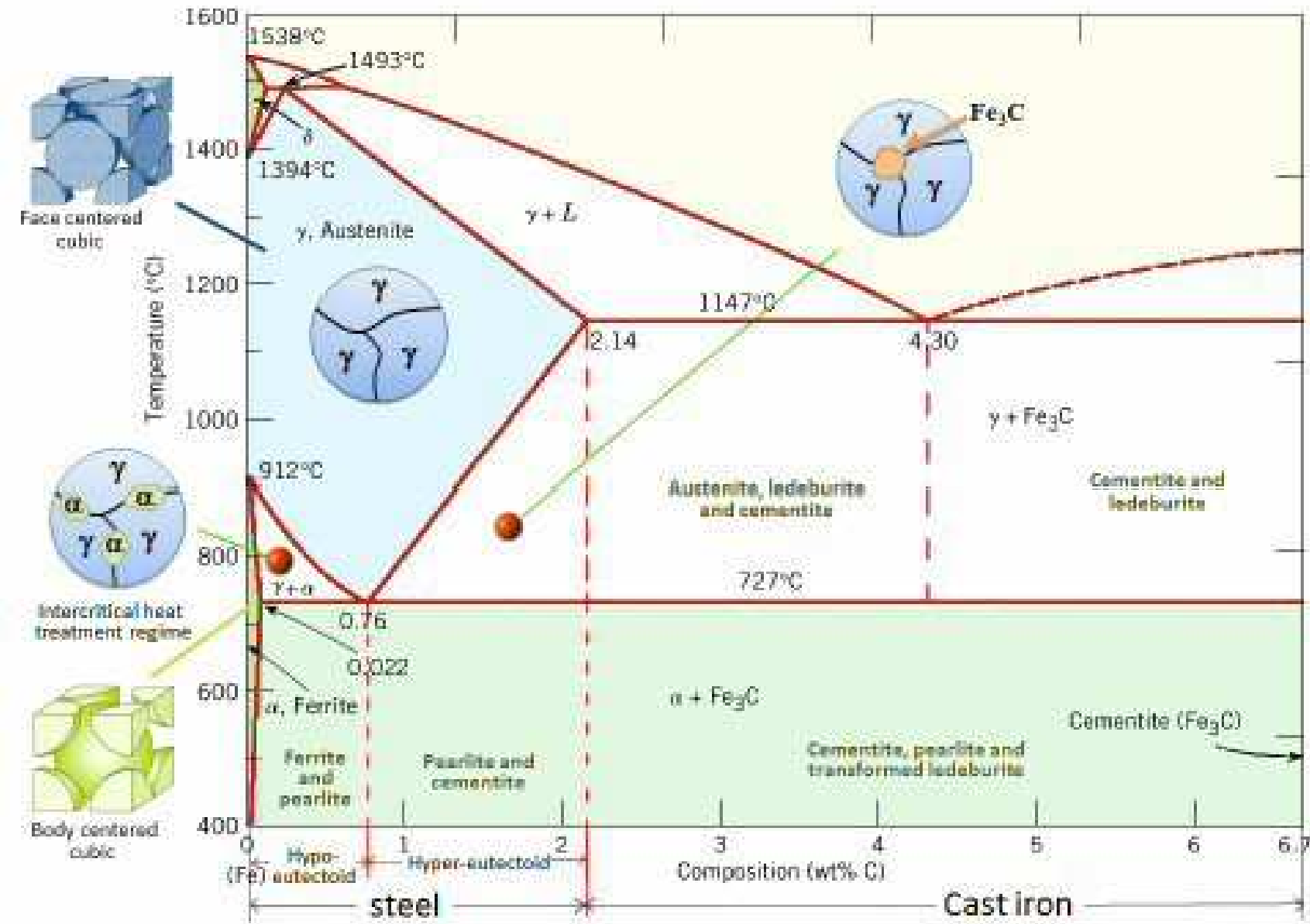
Widmanstättenova microstruktura



Intermetalické fáze

ocel a litina ($\text{Fe} + \text{C}$)





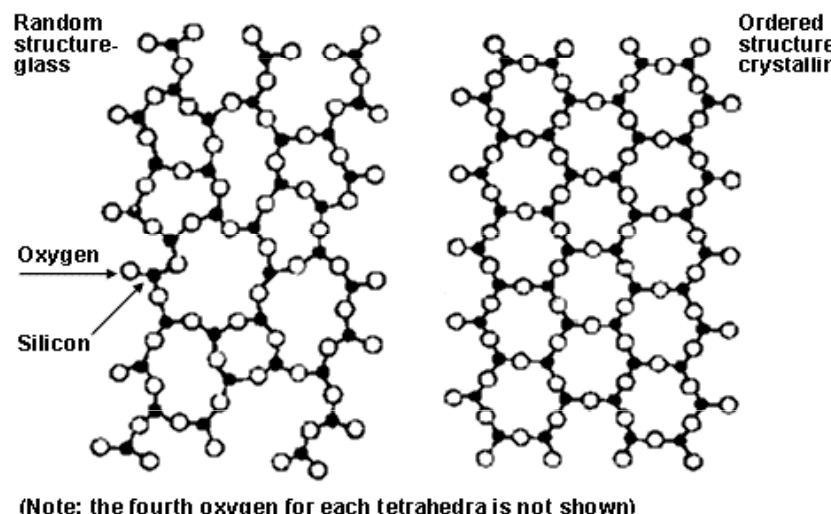
- A_L : Eutectoid temperature, minimum temperature of austenite
- A_3 : Lower-temperature border of austenite region at low carbon contents; i.e. gamma / gamma + ferrite border
- Ac_1 : Temperature at which austenite begins to form during heating
- Ac_3 : Temperature at which transformation of ferrite to austenite is completed during heating
- Ar_1 : Temperature at which transformation of austenite to ferrite or to ferrite plus cementite is completed during cooling
- Ar_3 : Temperature at which austenite begins to transform to ferrite during cooling

Sklo

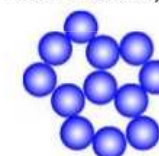
Podchlazená, extrémně viskózní kapalina, s malou ochotou krystalizovat (= metastabilní agregátní stav).

1. Při nižší teplotě (většinou již pokojové) tvoří souvislou, mechanicky pevnou látku.
2. Jsou izotropní (na rozdíl od krystalických látek).
3. Netají ostře při určité teplotě, zahříváním nejprve měknou.
4. Vnitřní struktura skla odpovídá chaotickému uspořádání kapaliny.

Technicky nejvýznamnější skla tvoří oxidy (SiO_2 , B_2O_3 , v menší míře i oxidy prvků z 3., 4. a 5. skupiny) a některé oxo- soli (křemičitany, boritany a fosforečnany alkalických kovů, kovů alkalických zemin, olova a často též hliníku). V polovodičové technice se uplatňují skla ze sloučenin chalkogenů, arsenu, antimonu, germania, aj.



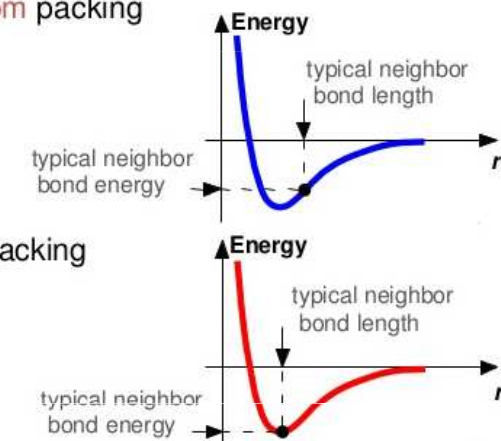
• Non dense, **random** packing



• Dense, **ordered** packing



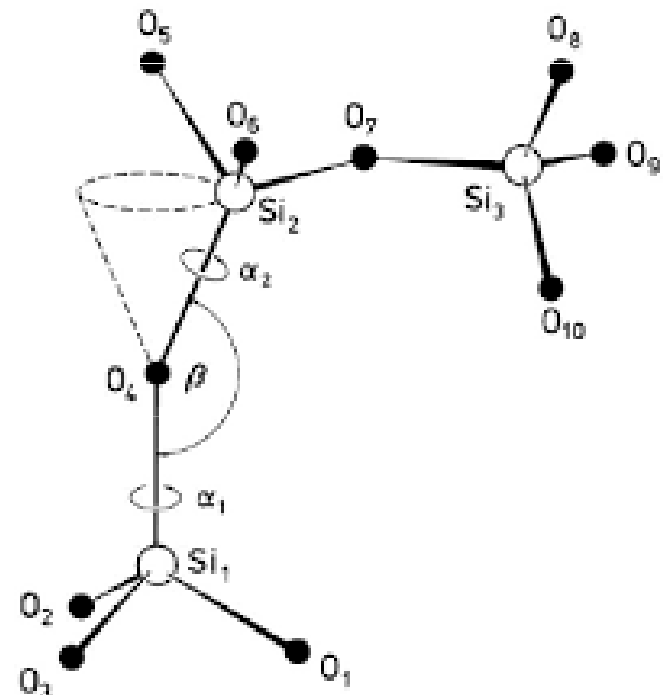
Dense, ordered packed structures tend to have lower energies.



Zachariassenova pravidla

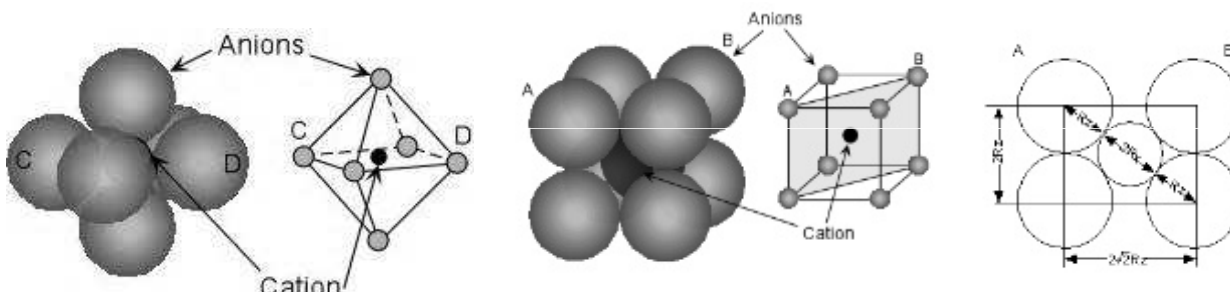
Zachariassenova pravidla tvorby skel (na základě empirických pozorování oxidů):

1. Žádný atom kyslíku není spojen s více než dvěma kationty.
2. Koordinační čísla kationtu jsou velmi malá: 3 nebo 4.
3. Koordinační polyedry tvořené atomy kyslíku se navzájem spojují pouze vrcholy, nikoli hranami nebo plochami.
4. V trojrozměrné struktuře se navzájem spojují nejméně tři vrcholy.

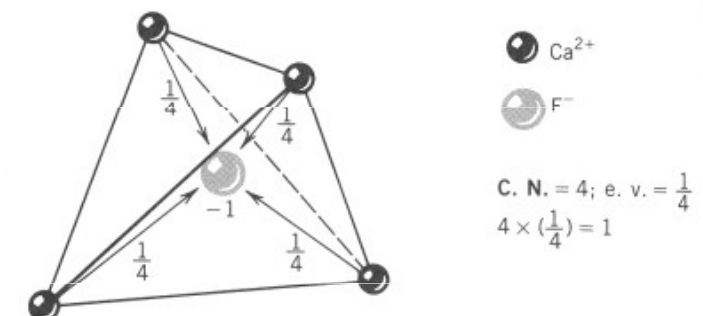
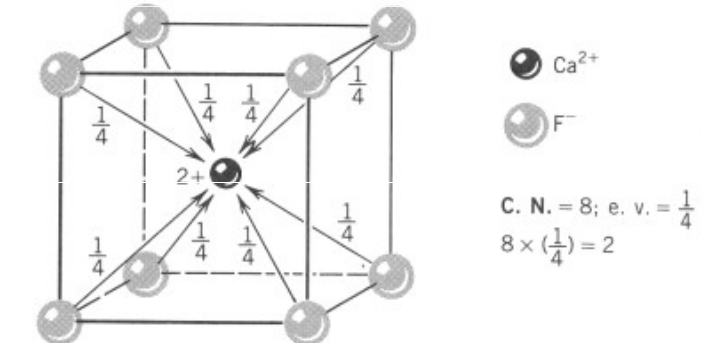
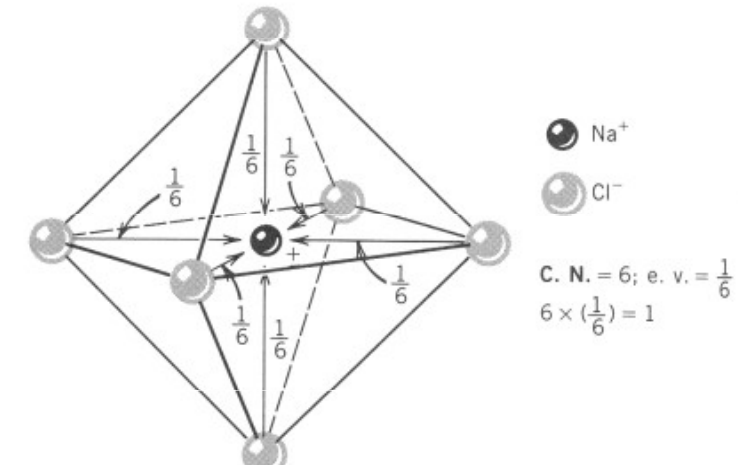


Paulingova pravidla

1. Kolem kationtu se tvoří koordinační polyedr aniontů, vzdálenost aniont - kationt je určena součtem iontových poloměrů a **koordinační číslo kationtu** poměrem poloměrů kationt - aniont.

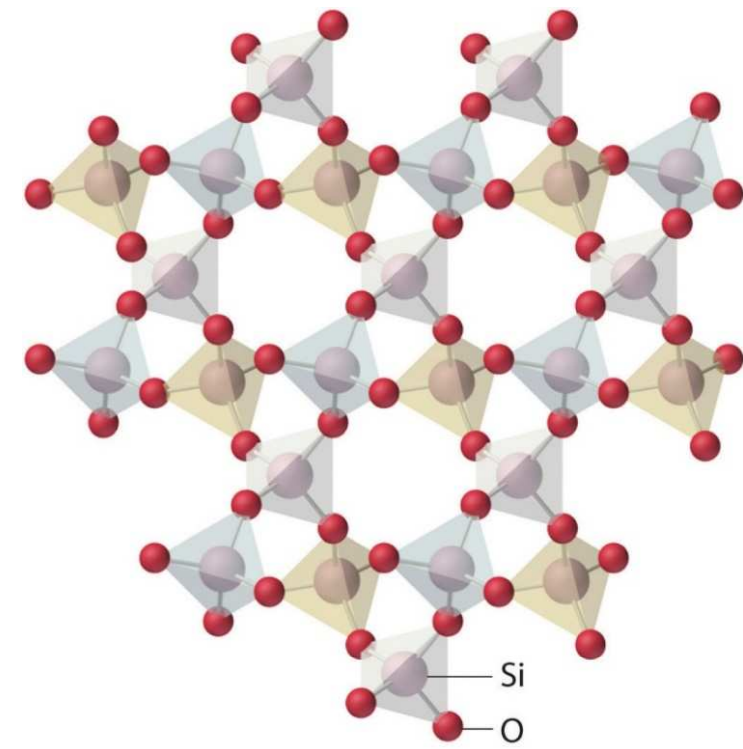
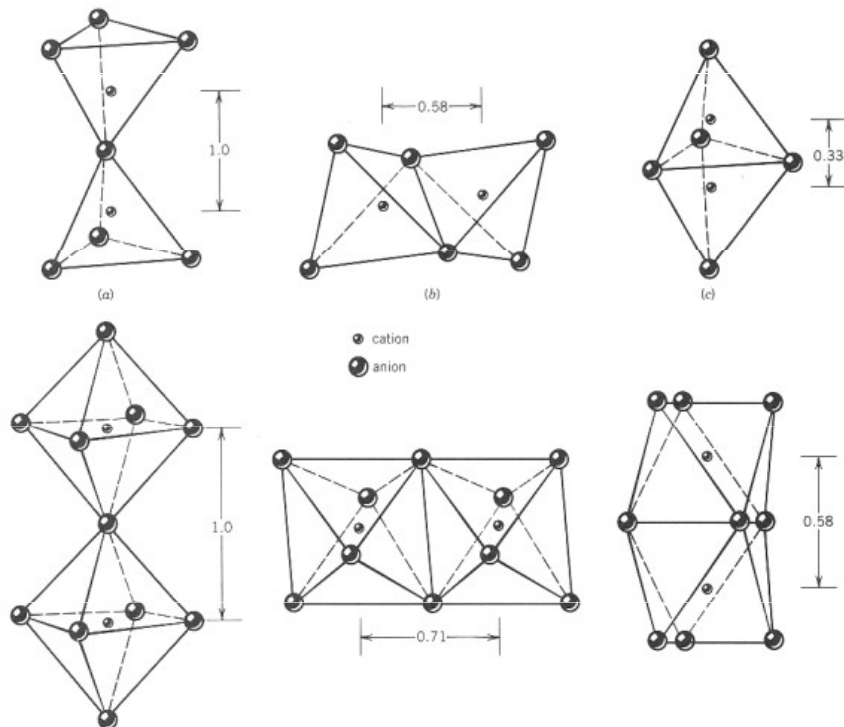


2. *Princip elektrostatické valence.* Ve stabilních krystalových strukturách je celková pevnost valenčních vazeb, které sahají k okolním aniontům, rovna náboji aniontu. Pevnost elektrostatické vazby lze definovat jako náboj iontu dělený koordinačním číslem (elektrostatická valence). Krystaly, ve kterých mají všechny vazby stejnou pevnost, se označují jako izodesmické.



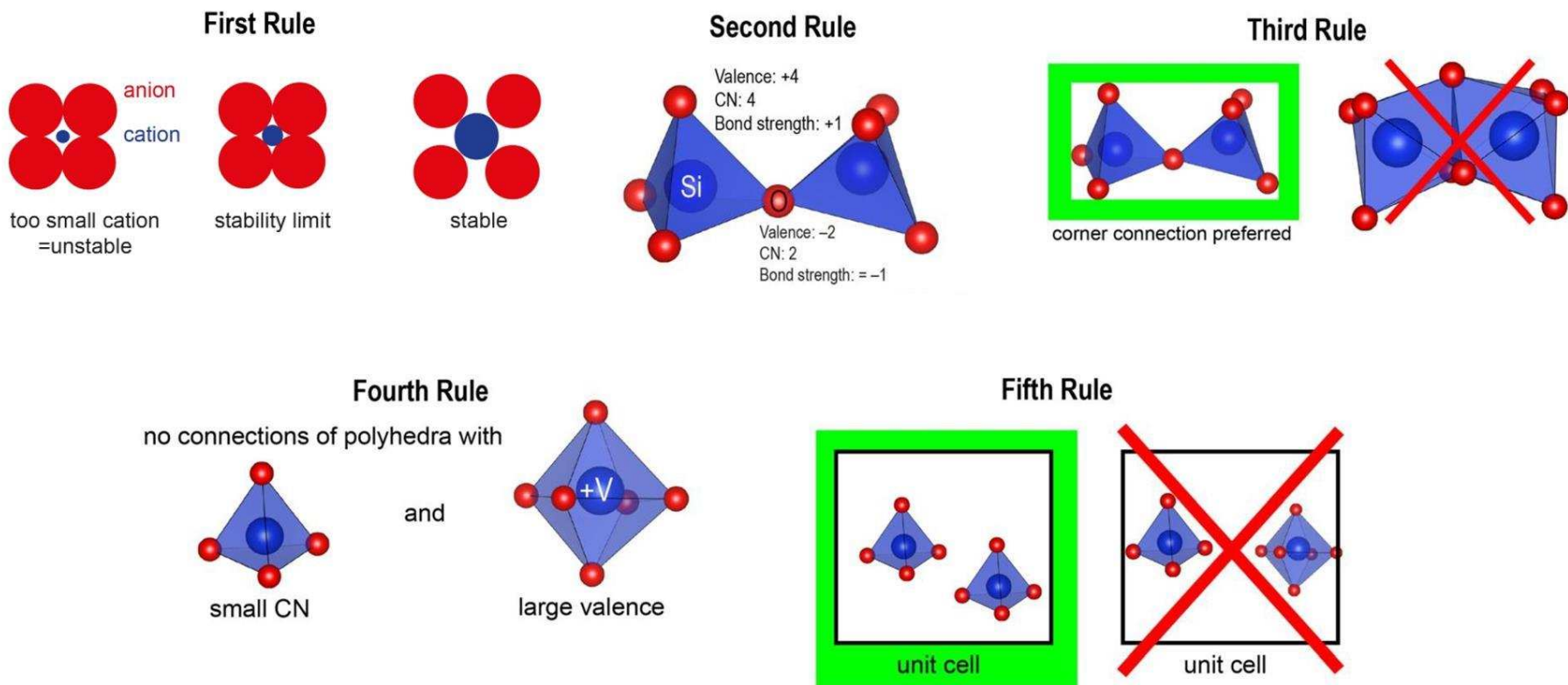
Paulingova pravidla krystalové struktury

3. Existence společných hran a nebo stěn dvou polyedrů snižuje celkovou stabilitu struktury. Tento efekt je větší pro velké kationty s vysokou valencí a nízkým koordinačním číslem a také v případech, kdy se poměr iontů blíží dolnímu limitu stability koordinačních polyedrů.
4. V krystalech s různými kationty, které mají vysokou valenci a nízké koordinační číslo, je tendence nesdílet navzájem prvky polyedrů. Pokud k tomu dojde, sdílené hrany se smršťují a kationty jsou vychýleny ze svých centrálních poloh v polyedru, dále od sdílené hrany nebo plochy.



Paulingova pravidla

5. Princip „šetrnosti“. Počet druhů základních stavebních jednotek v krystalu bývá co nejmenší, obvykle jen několik rozdílných typů kationtových a aniontových pozic. Neexistuje minerál, zahrnující větší množství různých prvků, proto většina hornin obsahuje různé minerály. Ve strukturách s komplikovaným složením však mohou různé ionty obsazovat stejné strukturní pozice (např. v amfibolu).



Příklady

Minimum Radius Ratio R_c / R_a	Coordination Number C. N.	Packing Geometry	
< 0.155	2	Linear	
0.155	3	Corners of an equilateral triangle (triangular coordination)	
0.225	4	Corners of a tetrahedron (tetrahedral coordination)	
0.414	6	Corners of an octahedron (octahedral coordination)	
0.732	8	Corners of a cube (cubic coordination)	
1.0	12	Corners of a cuboctahedron (close packing)	

Radius ratios for typical glass forming compounds (W. Vogel, Glass Chemistry, 1992, p41, Springer-Verlag).

Compound	Radius ratios (r_c/r_a)
SiO_2	$r_{\text{Si}}:r_{\text{O}} = 0.39 \text{ \AA}:1.4 \text{ \AA} \cong 0.28$
B_2O_3	$r_{\text{B}}:r_{\text{O}} = 0.20 \text{ \AA}:1.4 \text{ \AA} \cong 0.15$
P_2O_5	$r_{\text{P}}:r_{\text{O}} = 0.34 \text{ \AA}:1.4 \text{ \AA} \cong 0.25$
GeO_2	$r_{\text{Ge}}:r_{\text{O}} = 0.44 \text{ \AA}:1.4 \text{ \AA} \cong 0.31$
BeF_2	$r_{\text{Be}}:r_{\text{F}} = 0.34 \text{ \AA}:1.36 \text{ \AA} \cong 0.25$

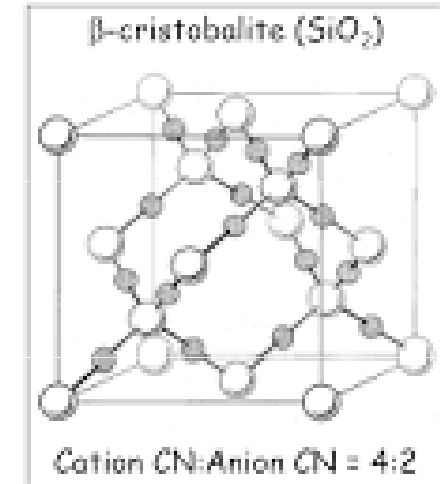
1. Consider Silica:

- covalent Si-O bond: sp^3 hybrid
- tetrahedral bonding
- Pauling's packing rule:

$$\frac{r(\text{Si}^{4+})}{r(\text{O}^{2-})} = \frac{0.40}{1.40} = 0.29$$
 prefers tetrahedral bonding
- satisfies Zachariasen's rule #2.

$$\frac{\text{charge}(\text{Si}^{4+})}{\text{CN}(\text{Si}^{4+})} = \frac{4}{4} = \frac{\text{charge}(\text{O}^{2-})}{\text{CN}(\text{O}^{2-})} = \frac{2}{2}$$
 CN(O^{2-}) is 2.
- satisfies Zachariasen's rule #1.

Crystal structure: sharing four corners:
All Rules are Satisfied: SiO_2 forms a glass.



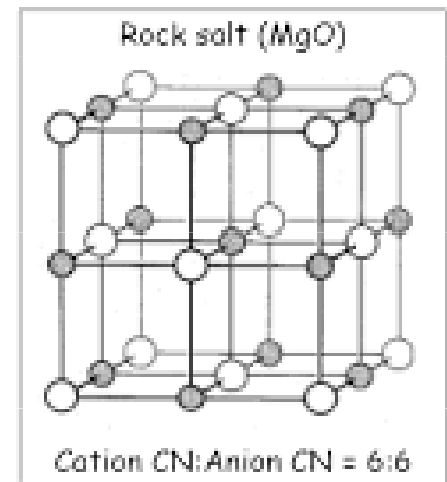
2. Consider Magnesia (MgO):

- ionic Mg-O bond
- Pauling's packing rule:

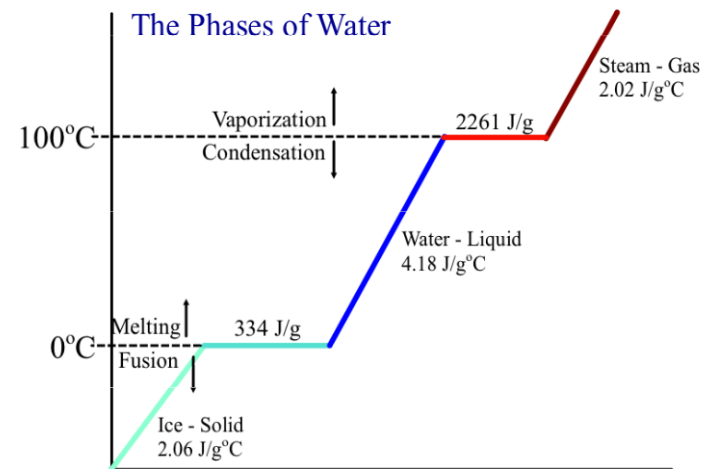
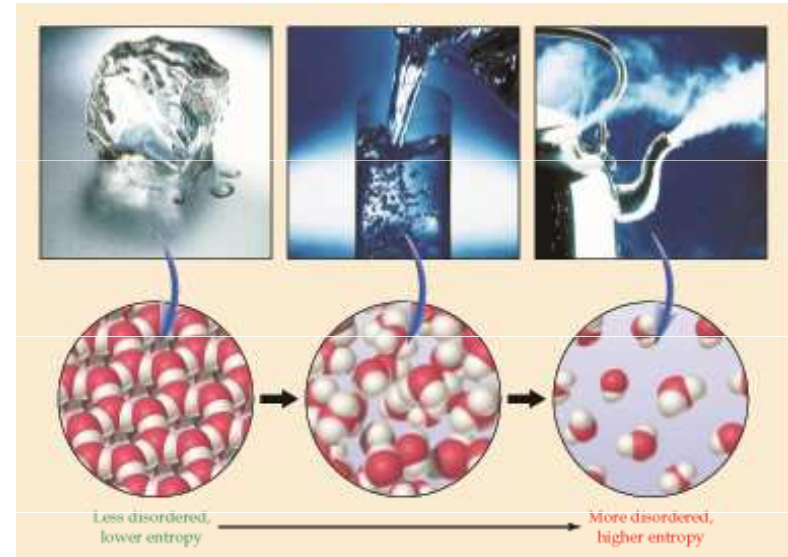
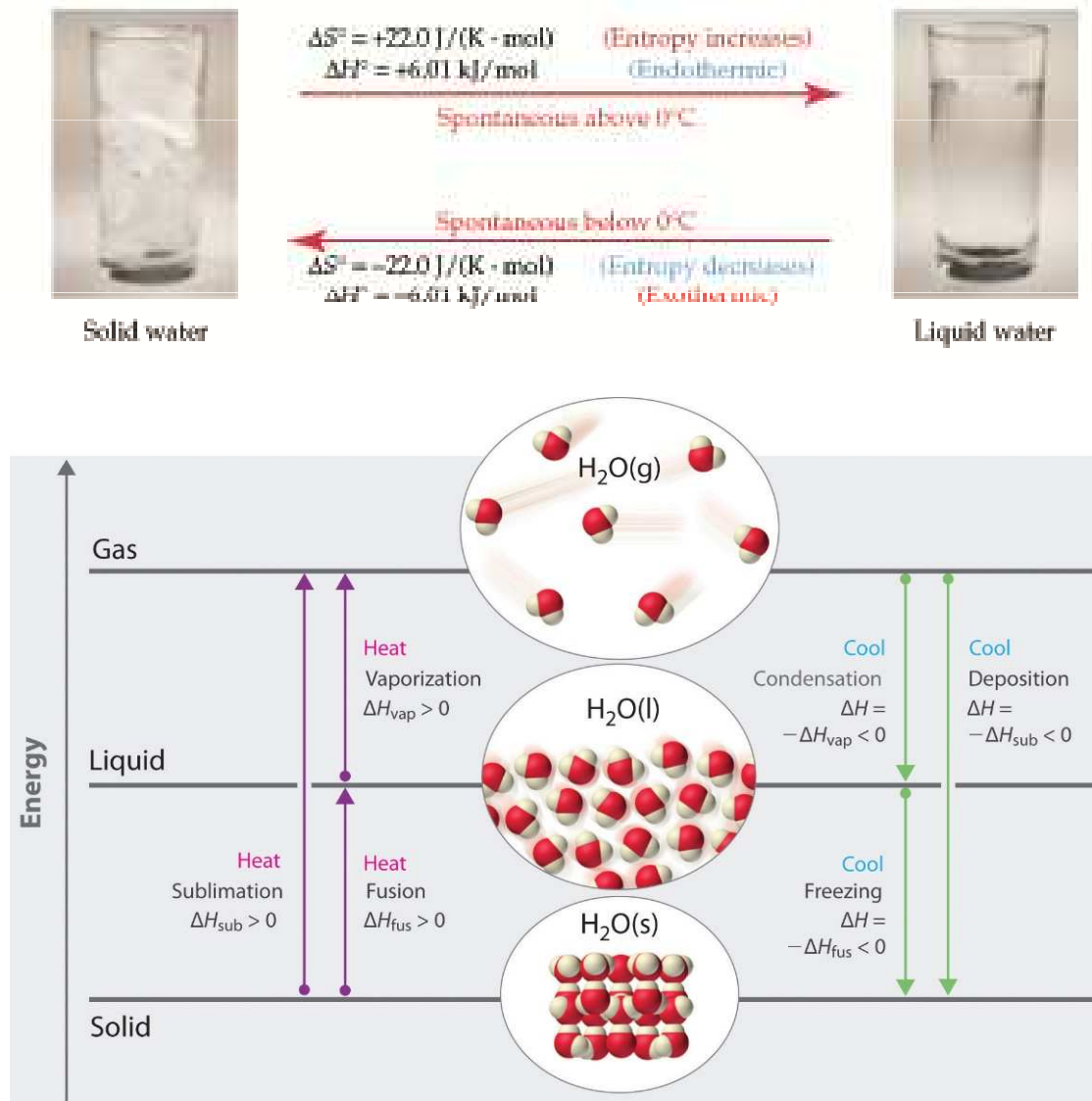
$$\frac{r(\text{Mg}^{2+})}{r(\text{O}^{2-})} = \frac{0.72}{1.40} = 0.51$$
 prefers octahedral bonding
- violates Zachariasen's rule #2.

$$\frac{\text{charge}(\text{Mg}^{2+})}{\text{CN}(\text{Mg}^{2+})} = \frac{2}{6} = \frac{\text{charge}(\text{O}^{2-})}{\text{CN}(\text{O}^{2-})} = \frac{2}{6}$$
 CN(O^{2-}) is 6.
- violates Zachariasen's rule #1.

Crystal structure: edge-sharing polyhedra;
Rules are Not Satisfied: MgO does not form a glass.

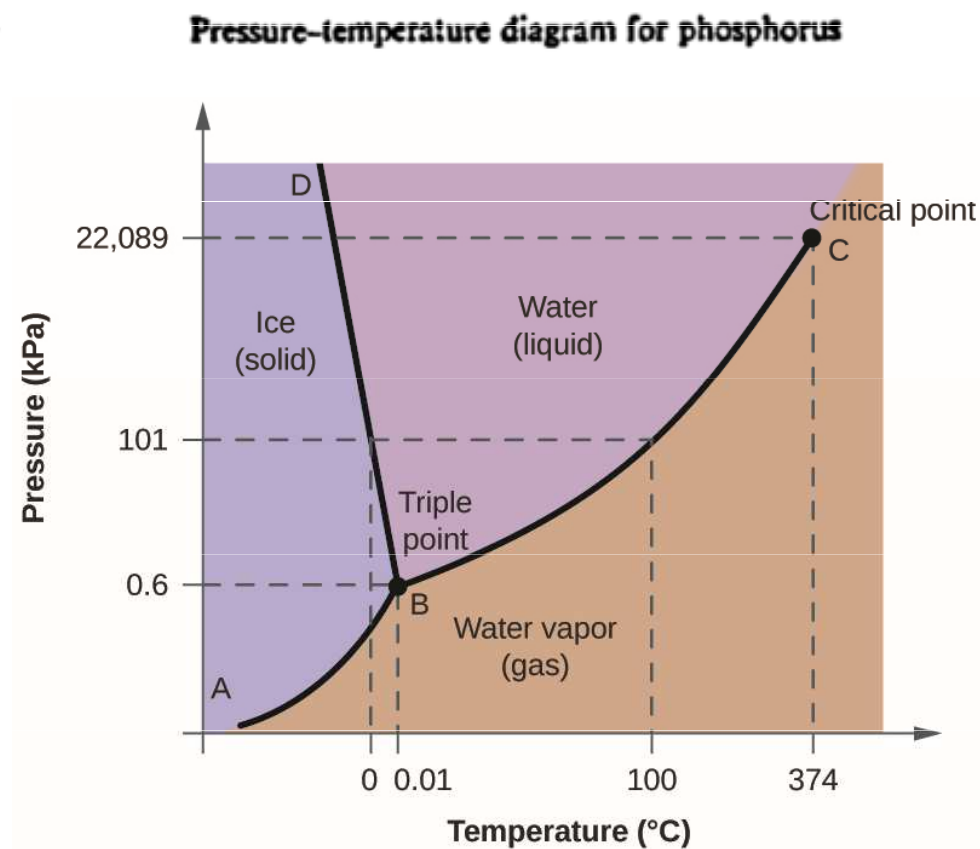
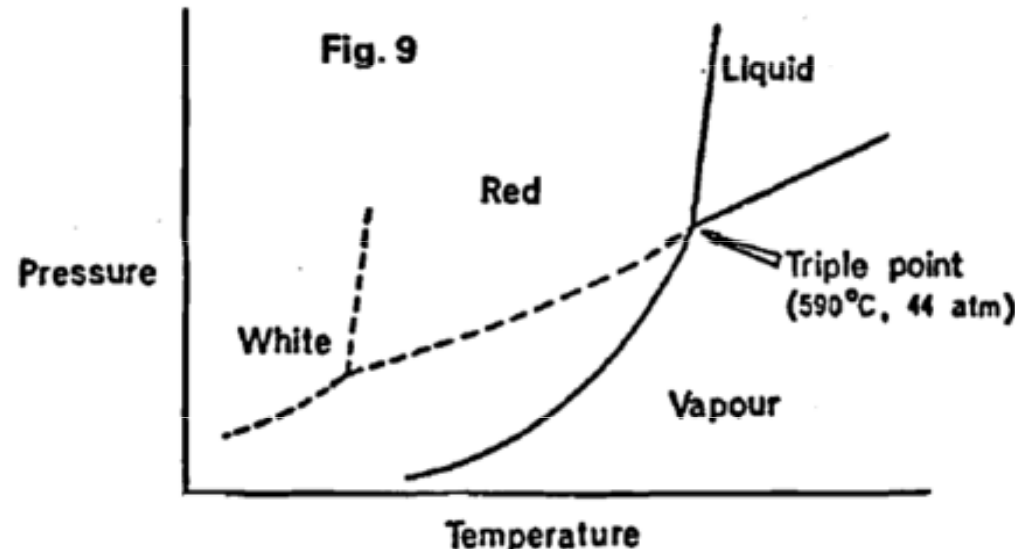
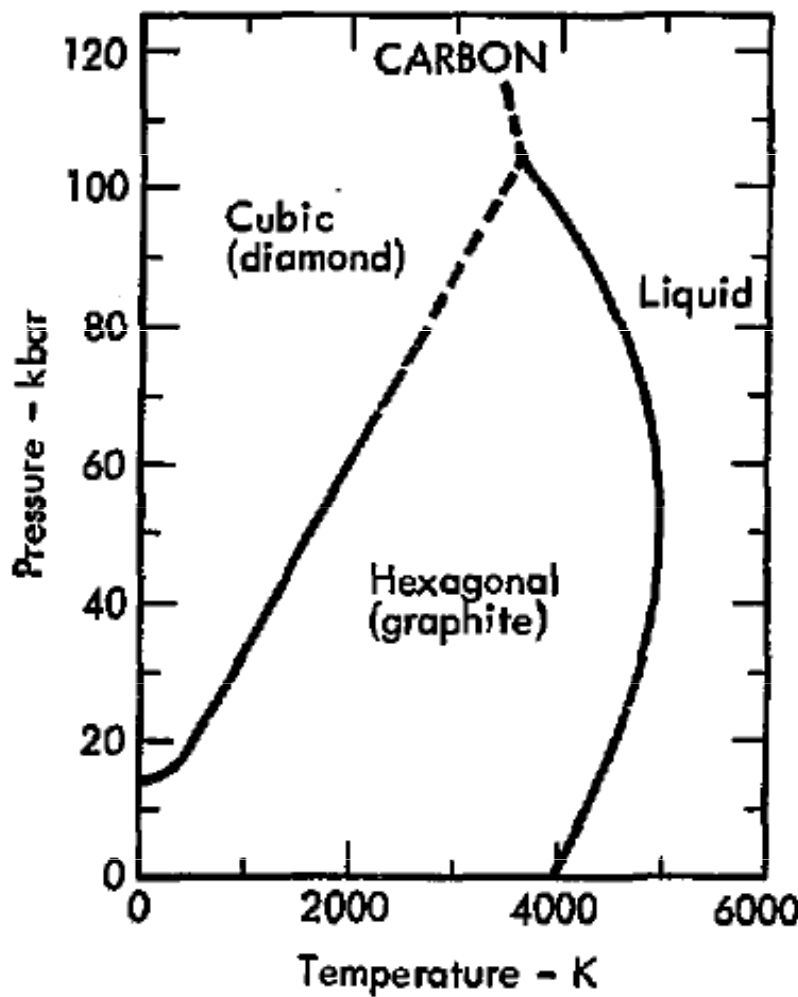


Fázová přeměna



Fázový diagram

Rovnovážné stavy dané látky mezi různými skupenstvími a modifikacemi lze znázornit v tzv. fázovém diagramu.



Allotropy cínu

Za běžných teplot se vyskytují 2 allotropické modifikace cínu:

Šedý cín (α -cín, diamantová) je stabilní při teplotách pod $13.2\text{ }^{\circ}\text{C}$. Při teplotách nad $13.2\text{ }^{\circ}\text{C}$ se šedý cín (koordinační číslo 4) pomalu mění na **bílý cín** (β -cín, tetragonální, koordinační číslo 8).

Při teplotě $161\text{ }^{\circ}\text{C}$ se bílý cín mění na γ -cín (koordinační číslo 12) s nejtěsnějším hexagonálním uspořádáním.



Šedé skvrny na povrchu bílého cínu bývají označovány jako **cínový mor**.

Color: White

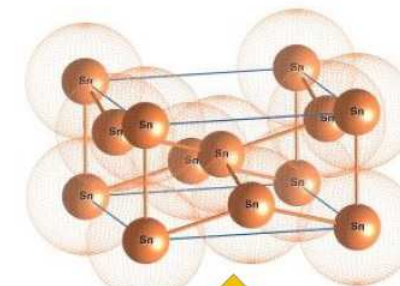
β -tin

(Body Centered Tetragonal)

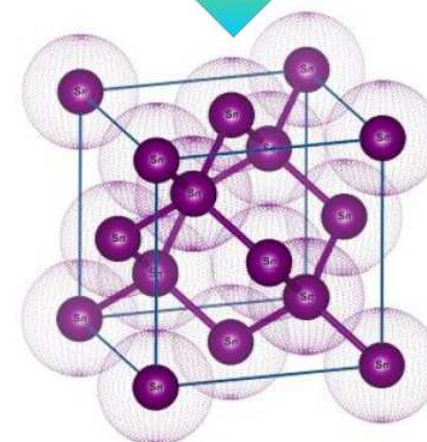
$a = 5.831\text{ \AA}$, $c = 3.181\text{ \AA}$

Density: 7.29 g/cm^3

at $15\text{ }^{\circ}\text{C}$



Allotropic transformation
(27% volume change)



Temperature

$231.9\text{ }^{\circ}\text{C}$

$13\text{ }^{\circ}\text{C}$

$-273\text{ }^{\circ}\text{C}$

Color: Grey

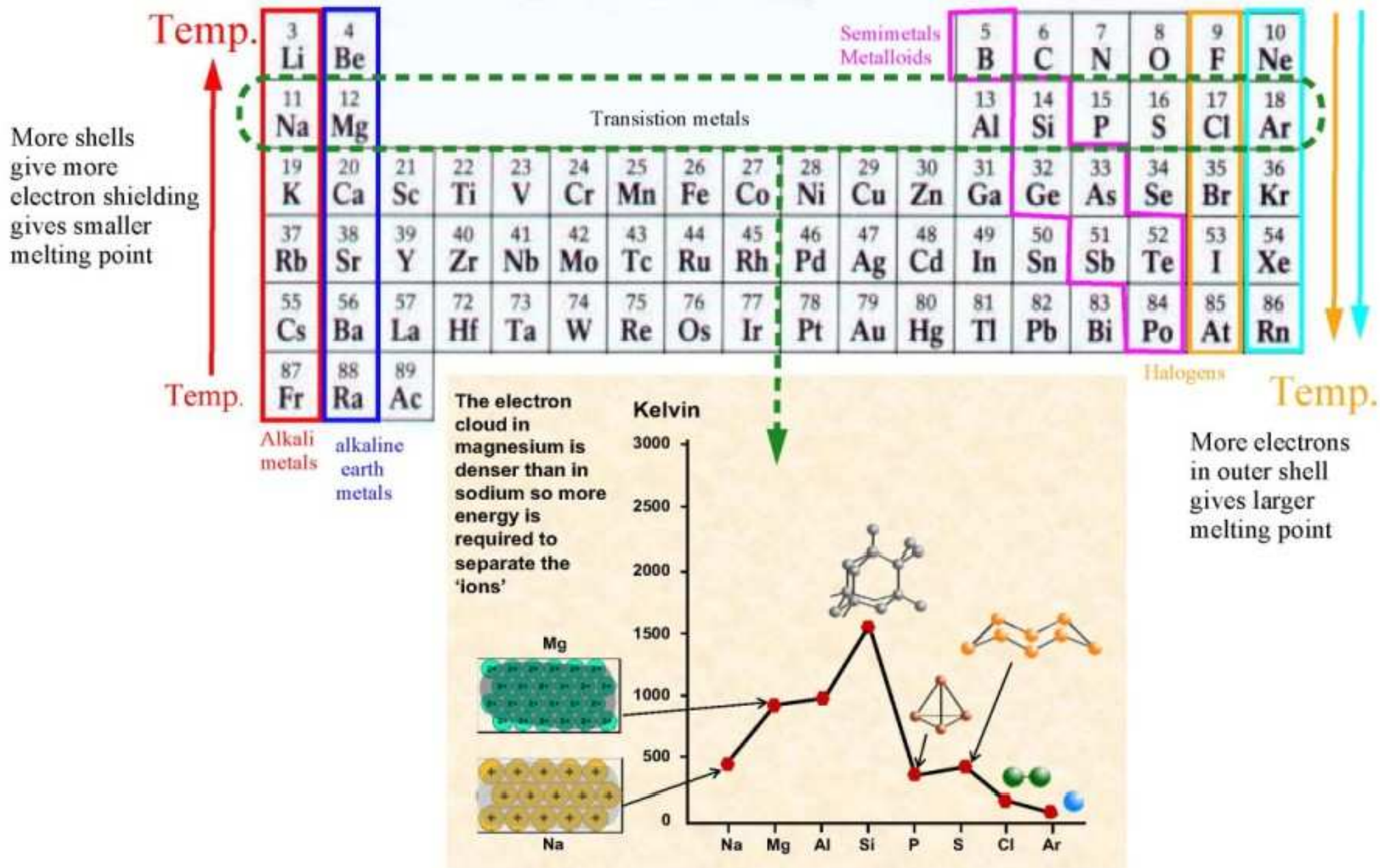
α -tin (Diamond cube)

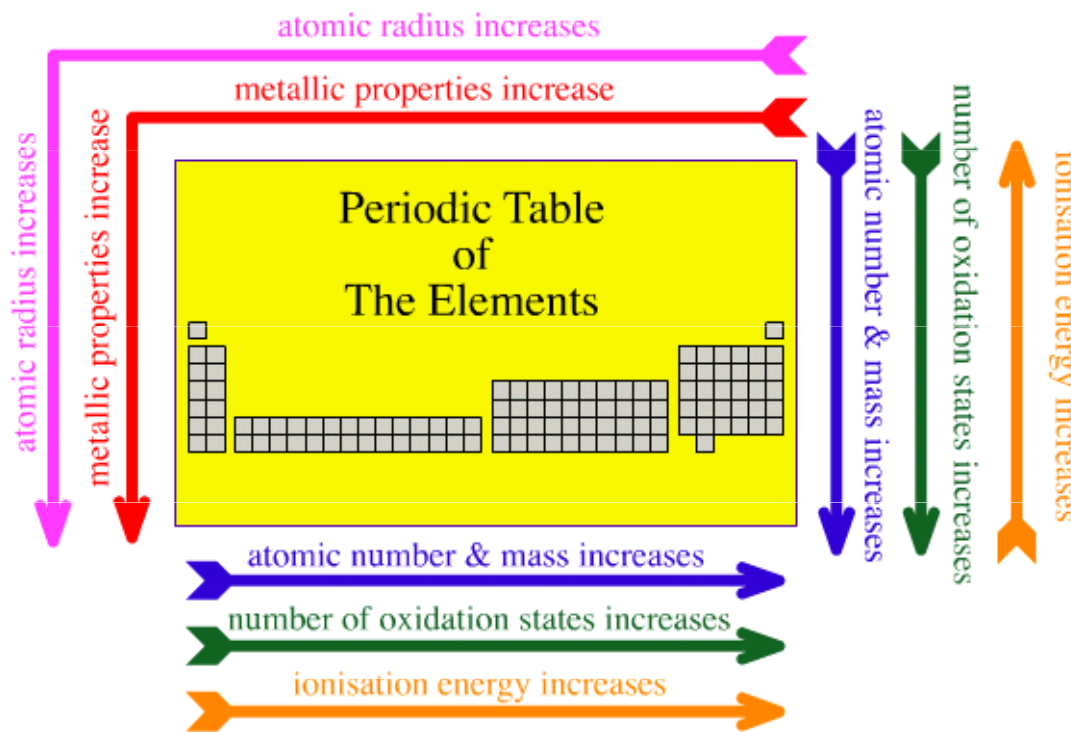
$a = 6.489\text{ \AA}$

Density: 5.77 g/cm^3

at $13\text{ }^{\circ}\text{C}$

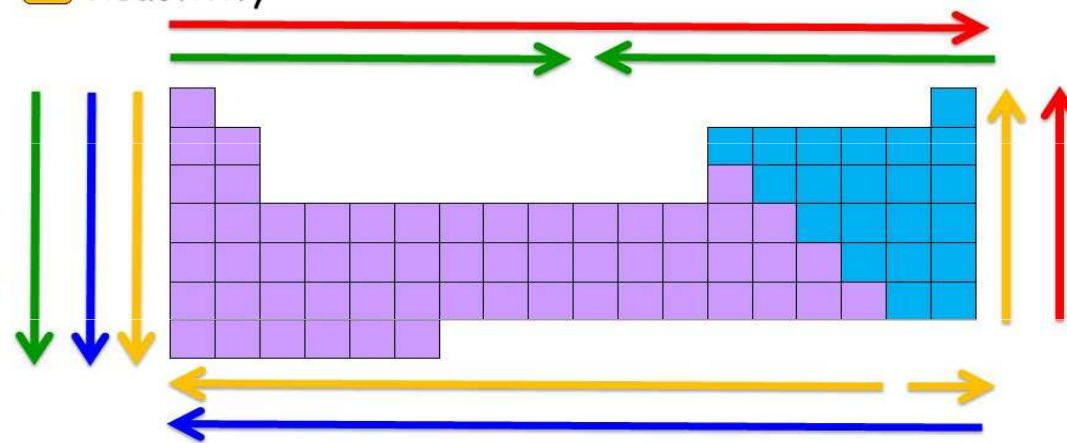
Melting/Boiling point





Periodic Trends: All Arrows point to increases

- █ Electronegativity, Ionization Energy, Electron Affinity
- █ Atomic Radius, Ionic Radius, Metallic Character
- █ Melting & Boiling Point
- █ Reactivity



Změna Gibbsovy energie

$$\Delta G = \Delta H - T\Delta S$$

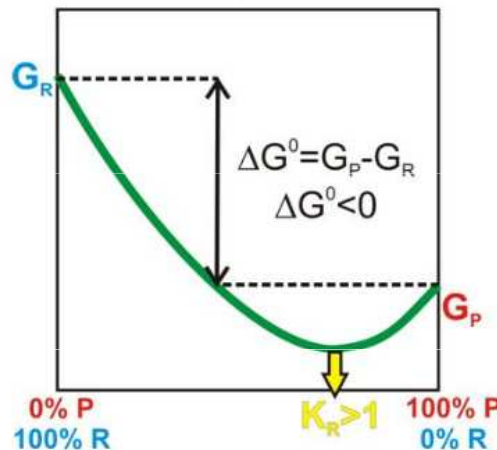
H = enthalpie

T = termodynamická teplota

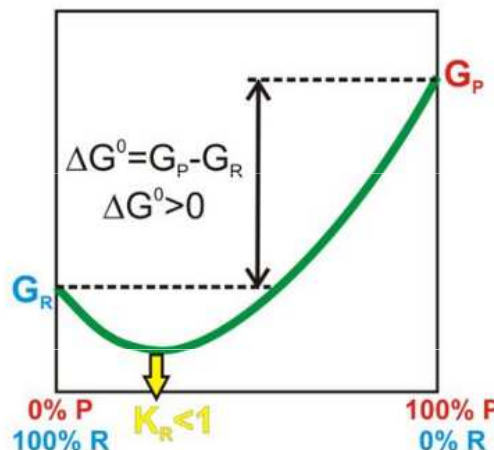
S = entropie

Úbytek Gibbsovy energie ΔG systému za konstantního tlaku a teploty, je roven maximální práci, kterou může systém vykonat (odevzdat do okolí).

**exergonická reakce →
rovnováha posunuta na
stranu produktů**



**endergonická reakce →
rovnováha posunuta na
stranu reaktantů**



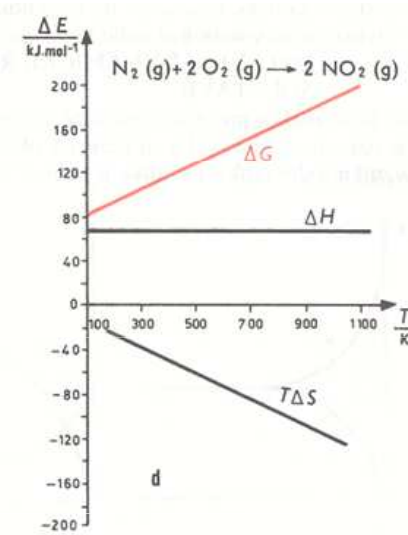
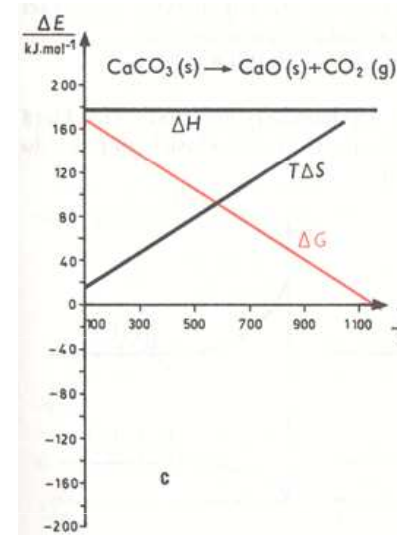
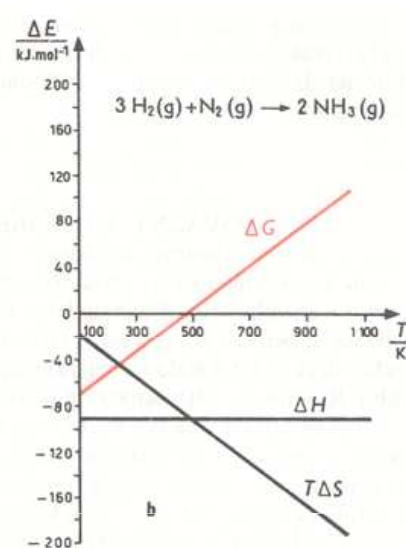
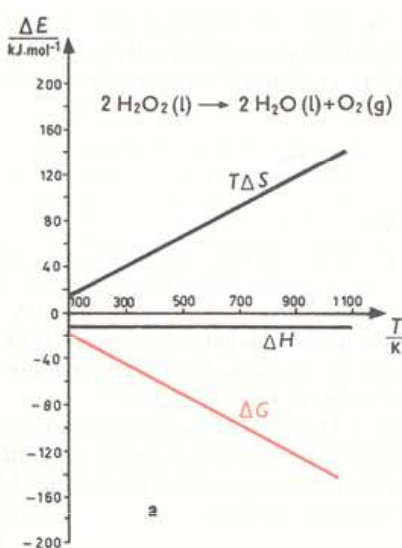
Změna Gibbsovy energie je mírou vychýlení se od rovnovážného stavu.

Chemická reakce může být poháněna (tzn. dosáhnout negativní ΔG) buď vhodnou (tedy negativní) změnou entalpie nebo dostatečným nárůstem entropie či oběma současně.

$$\Delta G = \Delta H - T\Delta S$$

ΔH	ΔS	ΔG	průběh reakce / děje
+	-	+	vždy nesamovolný
-	+	-	samovolný
+	+	+ nebo -	samovolný pouze za podmínky: $\Delta H < T\Delta S$
-	-	+ nebo -	samovolný pouze za podmínky: $ \Delta H > T\Delta S $
$\Delta H = T\Delta S$		$\Delta G = 0$	systém je v rovnováze

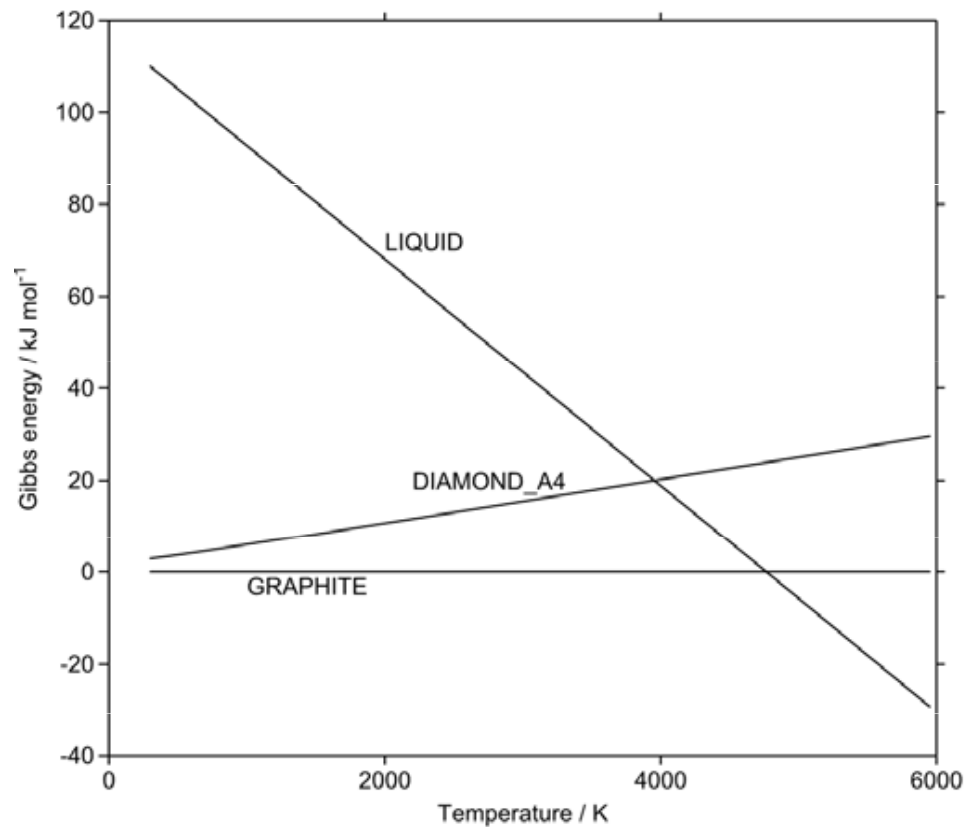
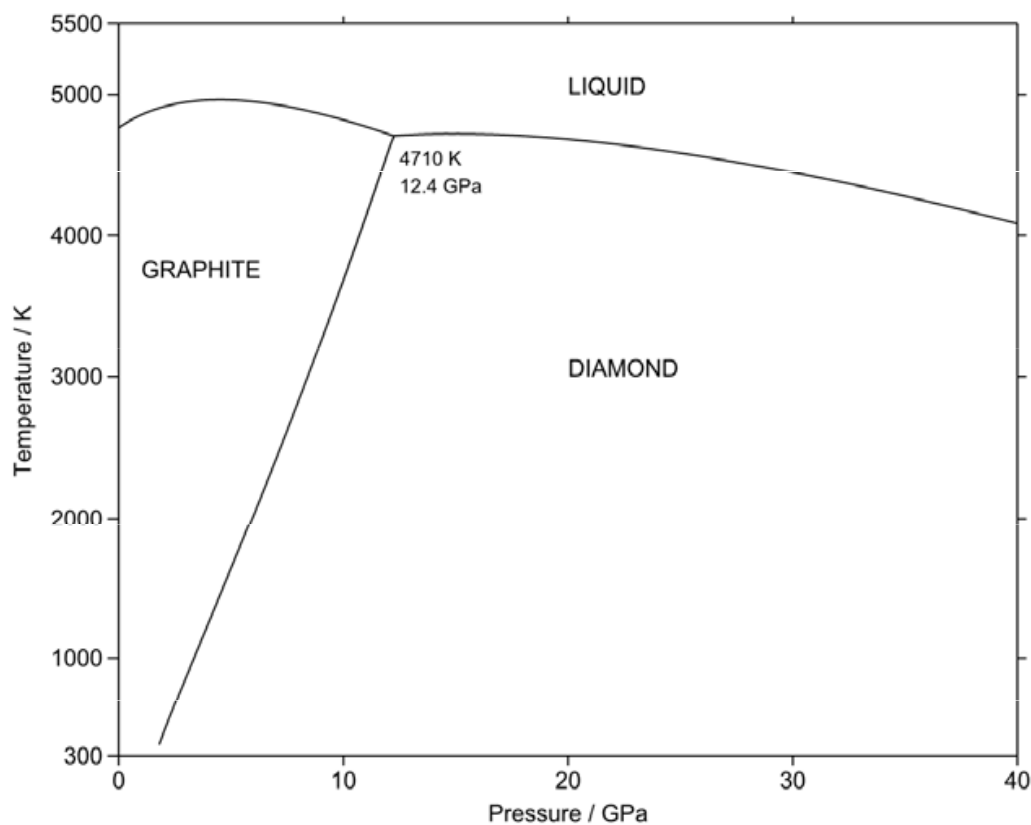
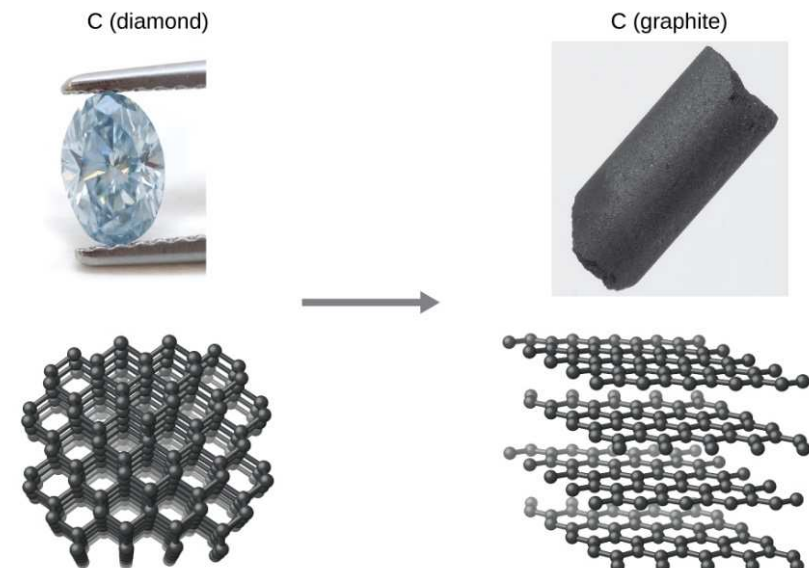
ΔH	ΔS	Thermodynamic Favorability
-	+	spontaneous at all temperatures
+	-	non-spontaneous at all temperatures
-	-	spontaneous at low temperatures non-spontaneous at high temperatures
+	+	spontaneous at high temperatures non-spontaneous at low temperatures



- a) Exotermický rozklad, b) Exotemické slučování, c) Endotermický rozklad, d) Endotemické slučování

Allotropy uhlíku

	Graphite	Diamond
$\Delta_f G^\circ / (\text{kJ mol}^{-1})$	0	+2.8678
$V_c / (\text{cm}^3 \text{ g}^{-1})$	0.444	0.284
K_T / kPa	3.04×10^{-4}	0.187×10^{-4}



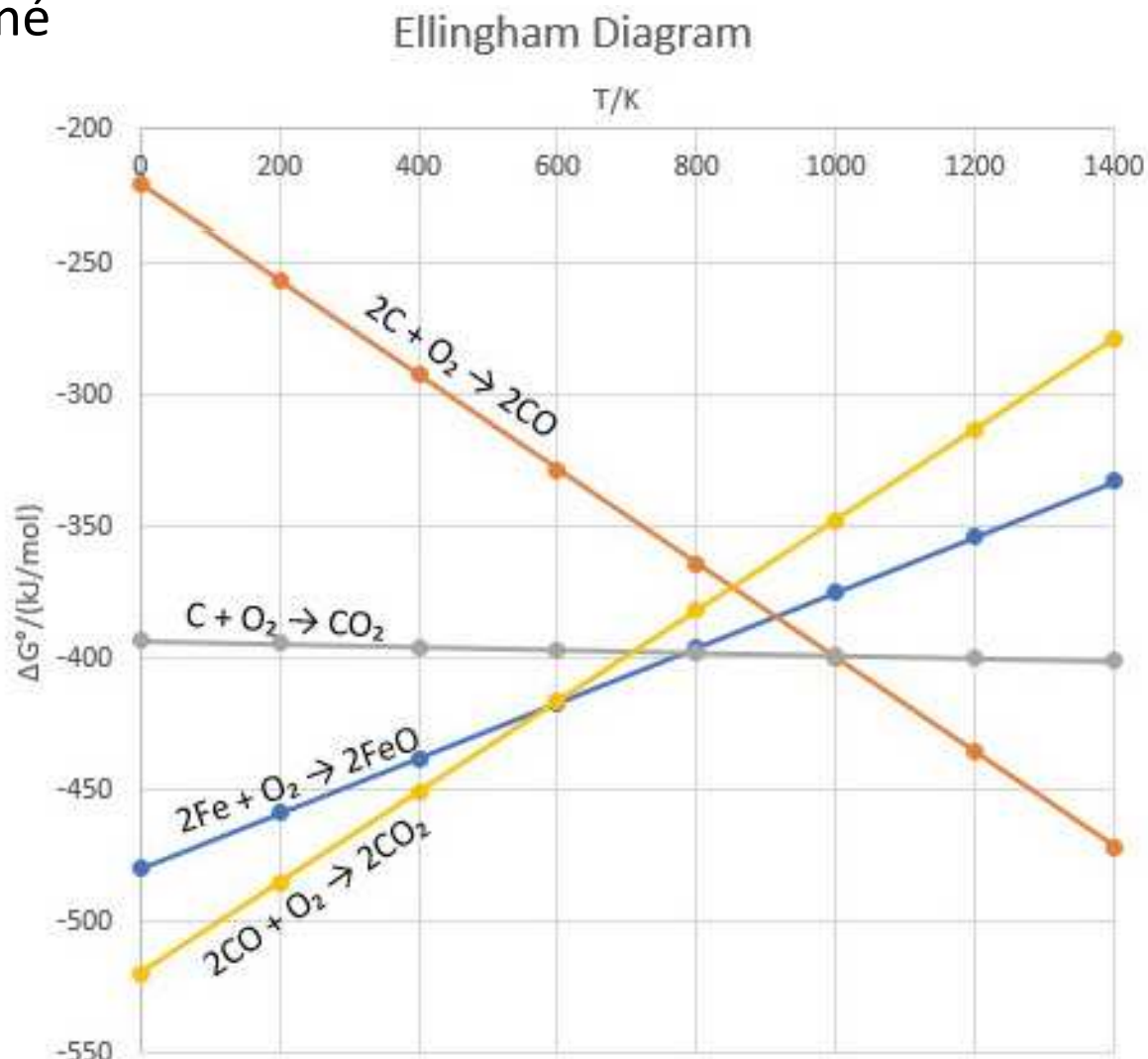
Ellinghamovy diagramy

$$\Delta G = \Delta H - T\Delta S$$

V průsečíku přímek mají příslušné reakce stejně ΔG .

Reakce reprezentovaná dolní přímkou (s nižší hodnotou ΔG) bude v daném směru samovolná, zatímco reakce reprezentovaná horní přímkou bude samovolná v opačném směru.

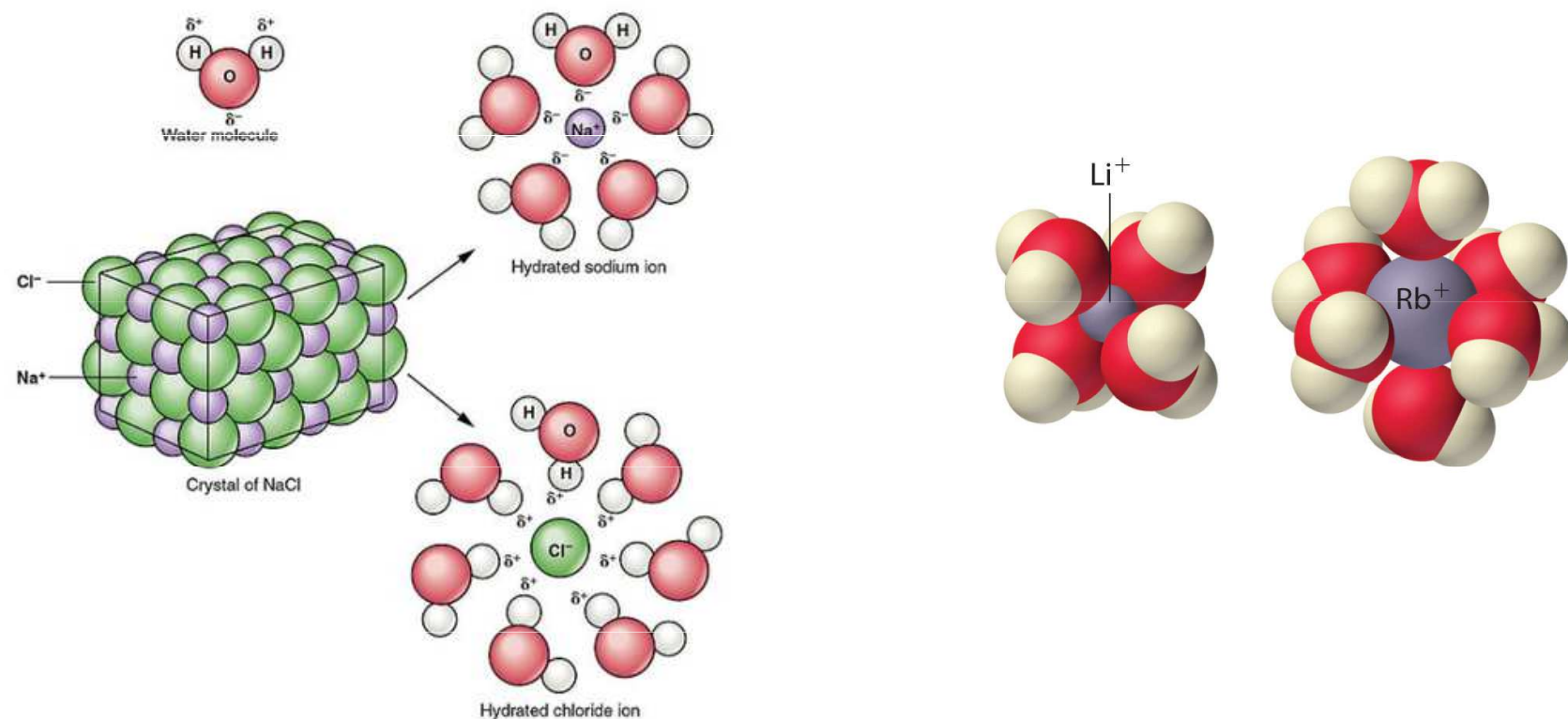
Pro redukci FeO, je pro $T < 600$ K lepším redukovadlem CO, C je lepším redukovadlem pro $T > 800$ K.



Rozpouštění a hydratace iontů

Rozpouštění solutu (rozpouštěná látka) :

1. Částice solutu se navzájem oddělí.
2. Částice rozpouštědla se navzájem oddělí, aby umožnily částicím solutu proniknout mezi ně.
3. Částice solutu a rozpouštědla spolu navzájem interagují (dipól – dipólová interakce) a vytvářejí roztok. Pokud je rozpouštědlem voda, mluvíme o hydrataci



Hydratační enthalpie iontu

Hydratační enthalpie iontu: energie uvolněná rozpuštěním 1 molu iontů v plynném stavu ve velkém množství vody.

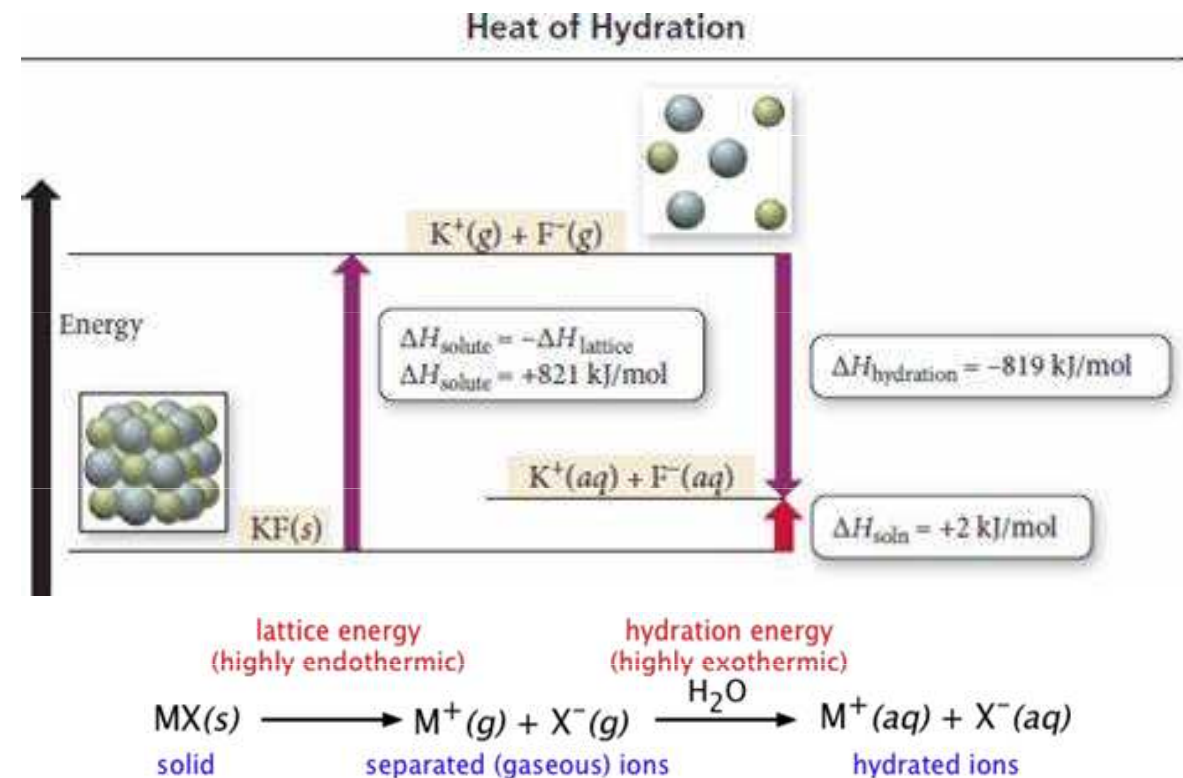


where M^{x+} (aq) reprezentuje ionty obklopené molekulami vody a rozptýlené v roztoku.

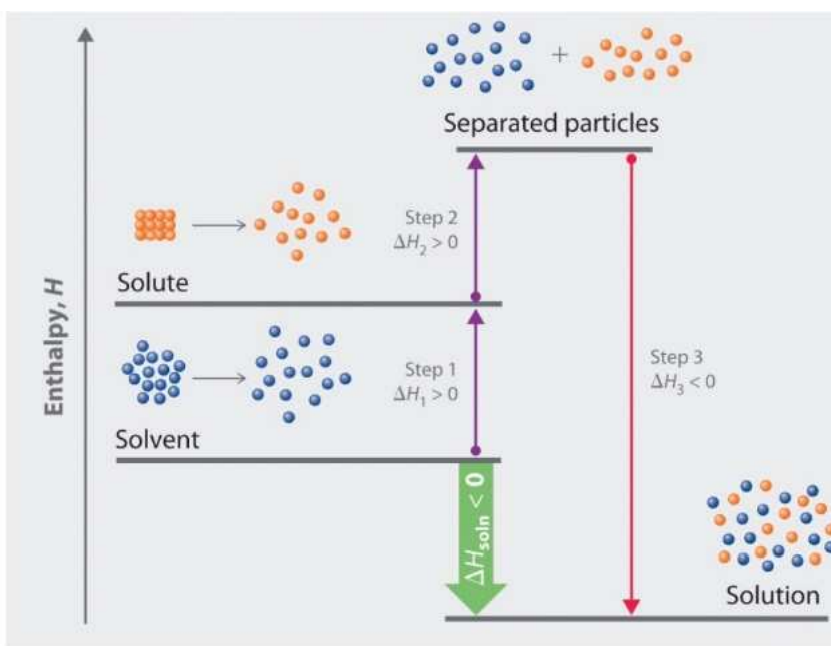
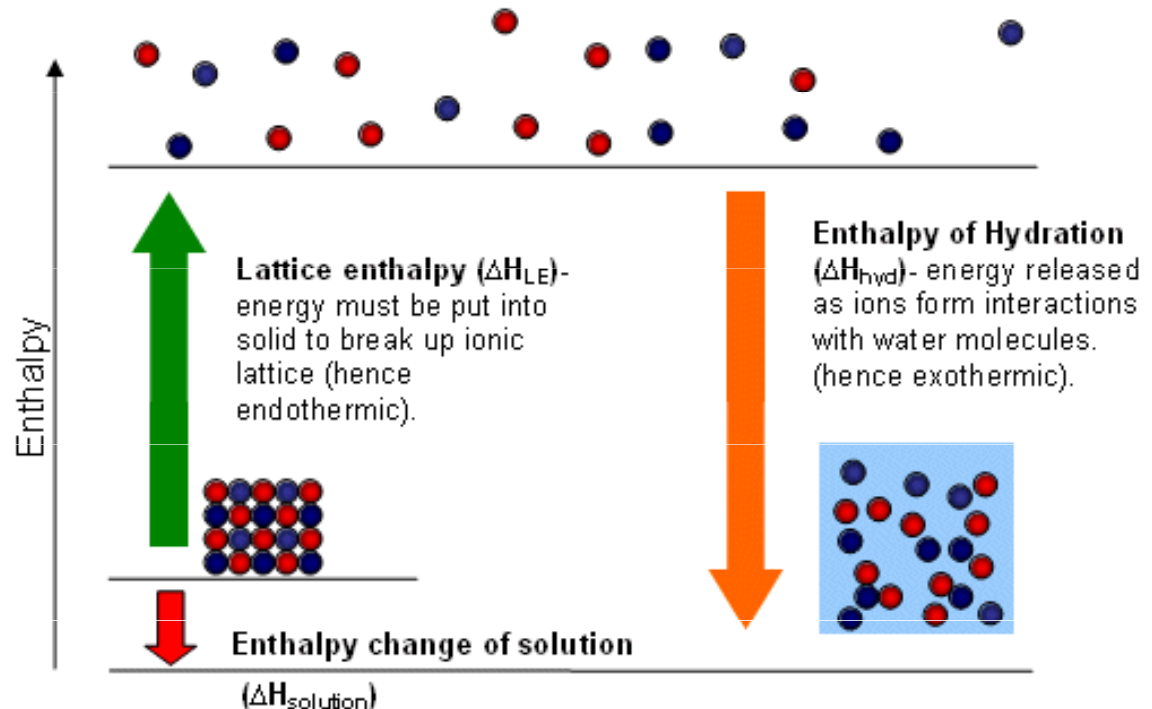
S klesajícím atomovým poloměrem kationtu hydratační enthalpie roste, protože interakce mezi iontem a vodou je silnější a při hydrataci se proto uvolňuje více energie.

S rostoucím nábojem kationtu hydratační enthalpie roste, protože s rostoucím nábojem iontu klesá jeho atomový poloměr.

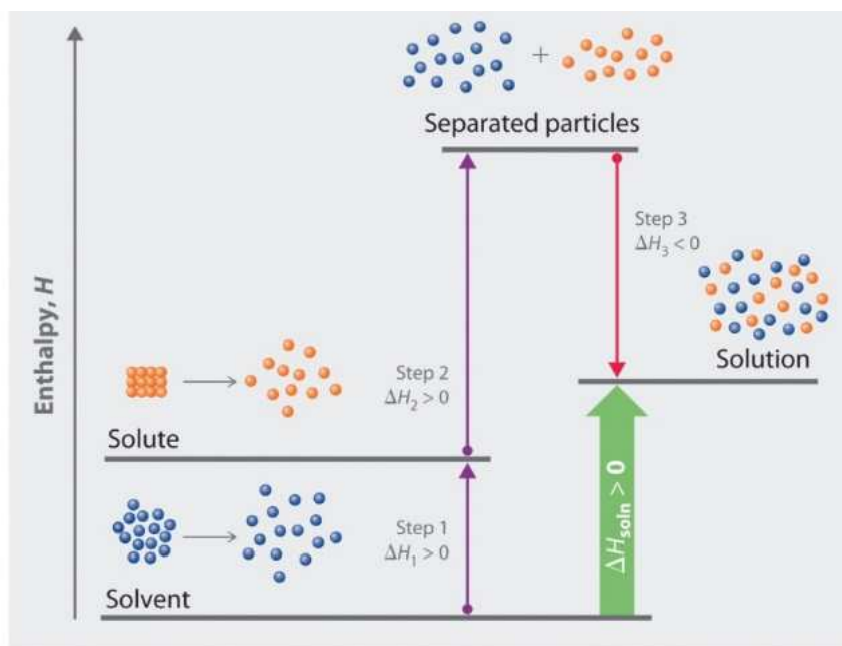
Podle Coloumbova zákona je $E \approx 1/r$



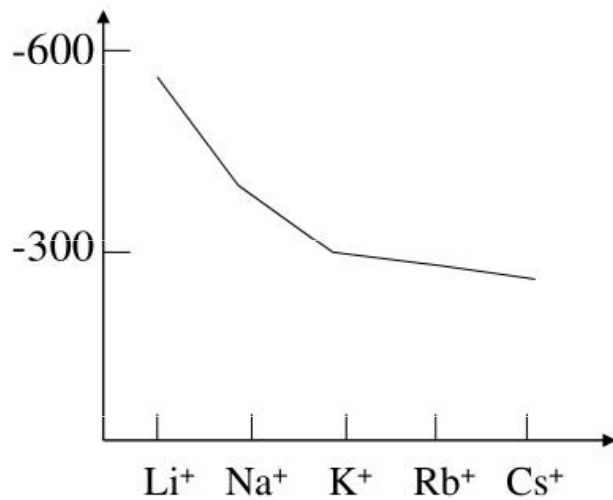
Hydratační enthalpie iontu



(a) Exothermic solution formation



(b) Endothermic solution formation



Group 1 cations

Li^+	-519
Na^+	-404
K^+	-321
Rb^+	-296
Cs^+	-271

Group 2 cations

Mg^{2+}	-1931
Ca^{2+}	-1586
Sr^{2+}	-1456
Ba^{2+}	-1316

Halide anions

F^-	-504
Cl^-	-361
Br^-	-330
I^-	-285

Increasing electronegativity

Decreasing enthalpy of hydration

21	22	23	24	25	26	27	28	29	30
Sc	Ti	V	Cr	Mn	Fe	Co	Ni	Cu	Zn
39	40	41	42	43	44	45	46	47	48
Y	Zr	Nb	Mo	Tc	Ru	Rh	Pd	Ag	Cd

57	72	73	74	75	76	77	78	79	80
La	Hf	Ta	W	Re	Os	Ir	Pt	Au	Hg

Increasing electronegativity

Decreasing enthalpy of hydration of cation

Příklad: Určete tepelnou změnu při rozpuštění 4.00 g KCl ve 100 g vody. Tepelná kapacita roztoku je 4.18 J/K.g, rozpouštěcí enthalpie jsou uvedeny v tabulce.

$$\Delta H_{\text{soln}} / M_{\text{KCl}} = (C \cdot (m_{\text{KCl}} + m_w) \cdot \Delta T$$

$$\Delta T = \Delta H_{\text{soln}} / (M_{\text{KCl}} \cdot C \cdot (m_{\text{KCl}} + m_w)) = 17200 / (74.56 \cdot 4.18 \cdot (4 + 100)) = 0.54 \text{ K}$$

TABLE 5D.3 Limiting Enthalpies of Solution, ΔH_{sol} /(kJ·mol⁻¹), at 25 °C*

Cation	Anion							
	fluoride	chloride	bromide	iodide	hydroxide	carbonate	sulfate	nitrate
lithium	+4.9	-37.0	-48.8	-63.3	-23.6	-18.2	-2.7	-29.8
sodium	+1.9	+3.9	-0.6	-7.5	-44.5	-26.7	+20.4	-2.4
potassium	-17.7	+17.2	+19.9	+20.3	-57.1	-30.9	+34.9	-23.8
ammonium	-1.2	+14.8	+16.0	+13.7	-	-	+25.7	+6.6
silver	-22.5	+65.5	+84.4	+112.2	-	+41.8	+22.6	+17.8
magnesium	-12.6	-160.0	-185.6	-213.2	+2.3	-25.3	-90.9	-91.2
calcium	+11.5	-81.3	-103.1	-119.7	-16.7	-13.1	-19.2	-18.0
aluminum	-27	-329	-368	-385	-	-	-	-350

Hydráty a aquakomplexy

Hydráty jsou soli, v jejichž krystalech jsou zabudovány molekuly vody. Vlastnosti hydrátů solí se liší od jejich bezvodých solí.

Aquakomplexy jsou koordinační sloučeniny obsahující ion přechodného kovu pouze s vodou jako ligandem.

Table 7.6 Examples of crystal hydrates.

Salt hydrate	Formula
Cobalt(II) chloride hexahydrate	$\text{CoCl}_2 \cdot 6\text{H}_2\text{O}$
Copper(II) sulphate pentahydrate	$\text{CuSO}_4 \cdot 5\text{H}_2\text{O}$
Iron(II) sulphate heptahydrate	$\text{FeSO}_4 \cdot 7\text{H}_2\text{O}$
Magnesium sulphate heptahydrate	$\text{MgSO}_4 \cdot 7\text{H}_2\text{O}$
Sodium carbonate decahydrate	$\text{Na}_2\text{CO}_3 \cdot 10\text{H}_2\text{O}$
Sodium hydrogensulphate monohydrate	$\text{NaHSO}_4 \cdot \text{H}_2\text{O}$
Sodium sulphate decahydrate	$\text{Na}_2\text{SO}_4 \cdot 10\text{H}_2\text{O}$

Compound	Formula
magnesium ammonium phosphate hexahydrate	$\text{MgNH}_4\text{PO}_4 \cdot 6\text{H}_2\text{O}$
copper (II) nitrate hexahydrate	$\text{Cu}(\text{NO}_3)_2 \cdot 6\text{H}_2\text{O}$
copper (II) sulfate pentahydrate	$\text{CuSO}_4 \cdot 5\text{H}_2\text{O}$
mercury (II) nitrate hydrate	$\text{Hg}(\text{NO}_3)_2 \cdot \text{H}_2\text{O}$
lithium chromate dihydrate	$\text{Li}_2\text{CrO}_4 \cdot 2\text{H}_2\text{O}$
iron (II) acetate tetrahydrate	$\text{Fe}(\text{CH}_3\text{COO})_2 \cdot 4\text{H}_2\text{O}$
copper (II) nitrate trihydrate	$\text{Cu}(\text{NO}_3)_2 \cdot 3\text{H}_2\text{O}$
magnesium sulfate heptahydrate	$\text{MgSO}_4 \cdot 7\text{H}_2\text{O}$
iron (III) oxide trihydrate	$\text{Fe}_2\text{O}_3 \cdot 3\text{H}_2\text{O}$
zinc sulfate hexahydrate	$\text{ZnSO}_4 \cdot 7\text{H}_2\text{O}$
lithium sulfate hydrate	$\text{LiSO}_4 \cdot \text{H}_2\text{O}$
sodium phosphate pentahydrate	$\text{NaH}_2\text{PO}_4 \cdot 5\text{H}_2\text{O}$
iron (II) sulfate heptahydrate	$\text{FeSO}_4 \cdot 7\text{H}_2\text{O}$
sodium chromate tetrahydrate	$\text{Na}_2\text{CrO}_4 \cdot 4\text{H}_2\text{O}$
manganese (II) chloride tetrahydrate	$\text{MnCl}_2 \cdot 4\text{H}_2\text{O}$
iron (III) chloride hexahydrate	$\text{FeCl}_3 \cdot 6\text{H}_2\text{O}$
sodium sulfate pentahydrate	$\text{Na}_2\text{SO}_4 \cdot 10\text{H}_2\text{O}$
calcium sulfate dihydrate	$\text{CaSO}_4 \cdot 2\text{H}_2\text{O}$
iron (III) nitrate nonahydrate	$\text{Fe}(\text{NO}_3)_3 \cdot 9\text{H}_2\text{O}$
calcium nitrate tetrahydrate	$\text{Ca}(\text{NO}_3)_2 \cdot 4\text{H}_2\text{O}$
zinc nitrate hexahydrate	$\text{Zn}(\text{NO}_3)_2 \cdot 6\text{H}_2\text{O}$
manganese (II) sulfate hydrate	$\text{MnSO}_4 \cdot \text{H}_2\text{O}$
beryllium sulfite tetrahydrate	$\text{BeSO}_3 \cdot 4\text{H}_2\text{O}$
bismuth (III) nitrate pentahydrate	$\text{Bi}(\text{NO}_3)_3 \cdot 5\text{H}_2\text{O}$
tin (IV) chloride pentahydrate	$\text{SnCl}_4 \cdot 5\text{H}_2\text{O}$
nickel (II) nitrate hexahydrate	$\text{Ni}(\text{NO}_3)_2 \cdot 6\text{H}_2\text{O}$
sodium sulfate pentahydrate	$\text{Na}_2\text{SO}_4 \cdot 5\text{H}_2\text{O}$
magnesium chloride hexahydrate	$\text{MgCl}_2 \cdot 6\text{H}_2\text{O}$
manganese (II) bromide tetrahydrate	$\text{MnBr}_2 \cdot 4\text{H}_2\text{O}$
nickel (II) bromide hexahydrate	$\text{NiBr}_2 \cdot 6\text{H}_2\text{O}$
sodium thiosulfate pentahydrate	$\text{Na}_2\text{S}_2\text{O}_3 \cdot 5\text{H}_2\text{O}$

Počet molekul krystalové vody v chloridech, dusičnanech a síranech kovů skupiny II.A

	Mg	Ca	Sr	Ba
chlorid	12, 8, 6, 4	6, 4, 2, 1	6, 2, 1	2
dusičnan	9, 6, 2	4, 3, 2	4	0
síran	12, 7, 6, 1	2, 1/2	0	0

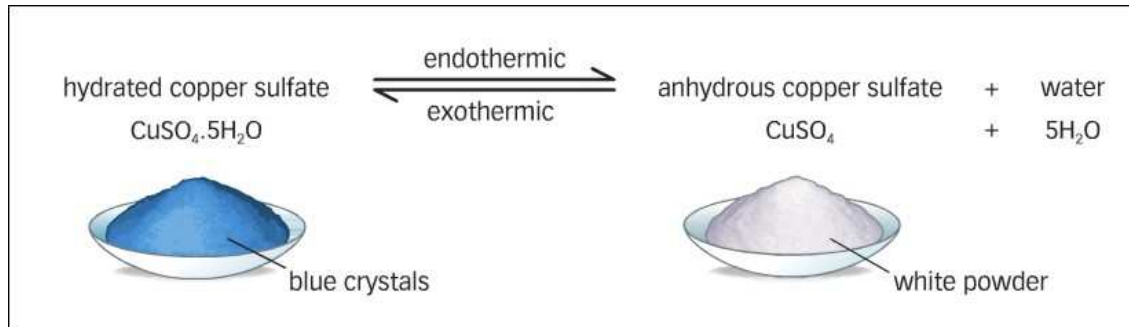
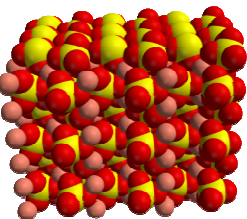
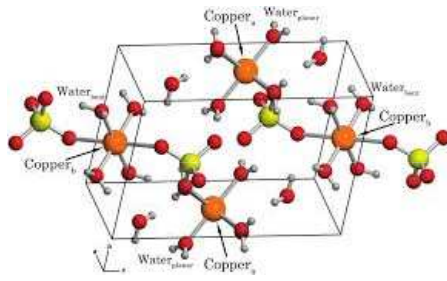
Klesající počet molekul krystalové vody v některých solích kovů ukazuje, že menší ionty jsou snadněji hydratovány a jejich soli tvoří větší počet hydrátů s vyšším stupněm hydratace.

Table..... Hydration energies and Ionic radii

Cation	Ionic radius / pm (Six-coordinate)	Enthalpy of hydration / kJ mol ⁻¹
Be ²⁺	31	- 2494
Mg ²⁺	72	- 1921
Ca ²⁺	100	- 1577
Sr ²⁺	118	- 1443
Ba ²⁺	135	- 1305

Hydráty kovů alkalických zemin obsahují více molekul vody než odpovídající soli alkalických kovů, protože velikost iontů kovů alkalických zemin je menší než velikost iontů alkalických kovů a tím je větší i jejich hydratační energie.

Cation	Ion Radius pm	Enthalpy of Hydration kJ
Li ⁺	90	-515
Na ⁺	116	-405
K ⁺	152	-312
Rb ⁺	166	-296
Cs ⁺	181	-263



HYDROUS VERSUS ANHYDROUS

Hydrous is a term used to explain a substance that contains water as a constituent

Composed of water molecules

Known as hydrates

Hygroscopic compounds can form hydrous compounds by absorption of water from the air

Can release water vapor upon heating

Anhydrous is a term used to explain a substance that does not contain water as a constituent

Not composed of water molecules

Known as anhydrides

Anhydrous compounds can absorb water from the air

Do not release water vapor upon heating

Visit www.pedia.com

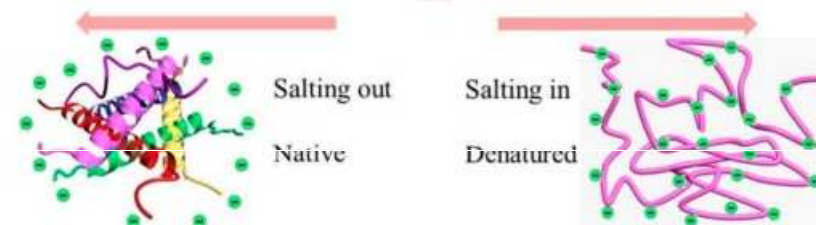
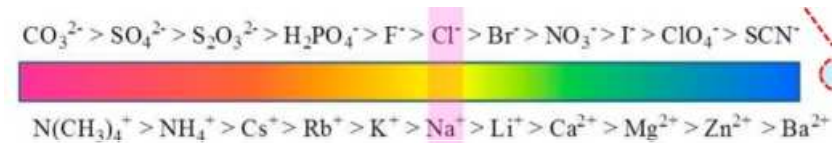
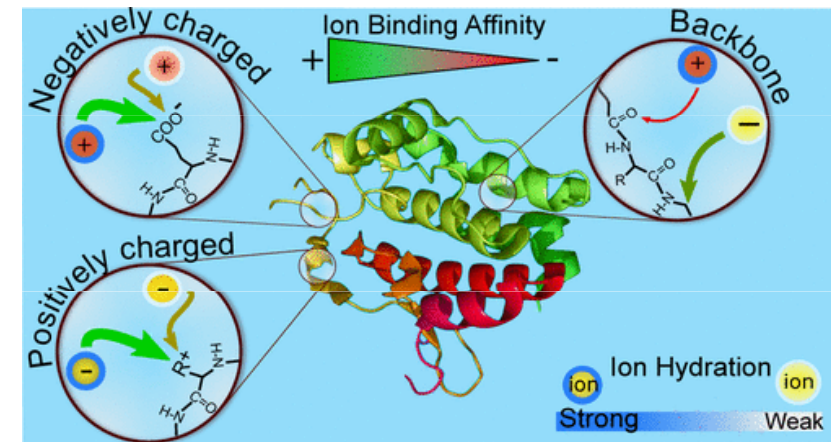
Příklad

NaCl dokáže přitahovat vlhkost ze vzduchu. Necháme-li slané pečivo, například rohlíky s krystalky soli, nějakou dobu v uzavřeném neprodyšném sáčku nebo ve vlhčím prostředí, zanedlouho budou mít na povrchu mokrou kůru, někdy i s kapkami vody.



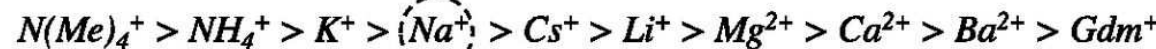
Hofmeisterovy (lyotropní) řady

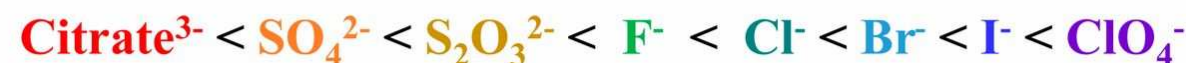
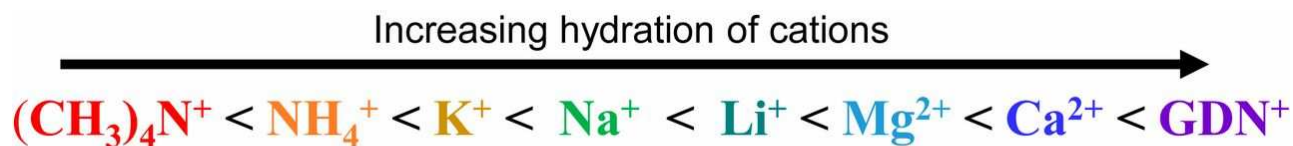
Tzv. lyotropní (Hofmeisterova) řady iontů solí (kationtů a aniontů) byly vytvořeny podle schopnosti iontů vysolovat vaječné bílkoviny z vodného roztoku. Hofmeisterova řada je používána k vysvětlení celé řady dalších efektů solí na biomolekuly, včetně denaturace bílkovin a změn enzymatické aktivity.



- Increase protein stability
- Less denaturing
- Salting out (aggregates)
- Kosmotropic

- Decrease protein stability
- More denaturing
- Salting in (solubilizes)
- Chaotropic

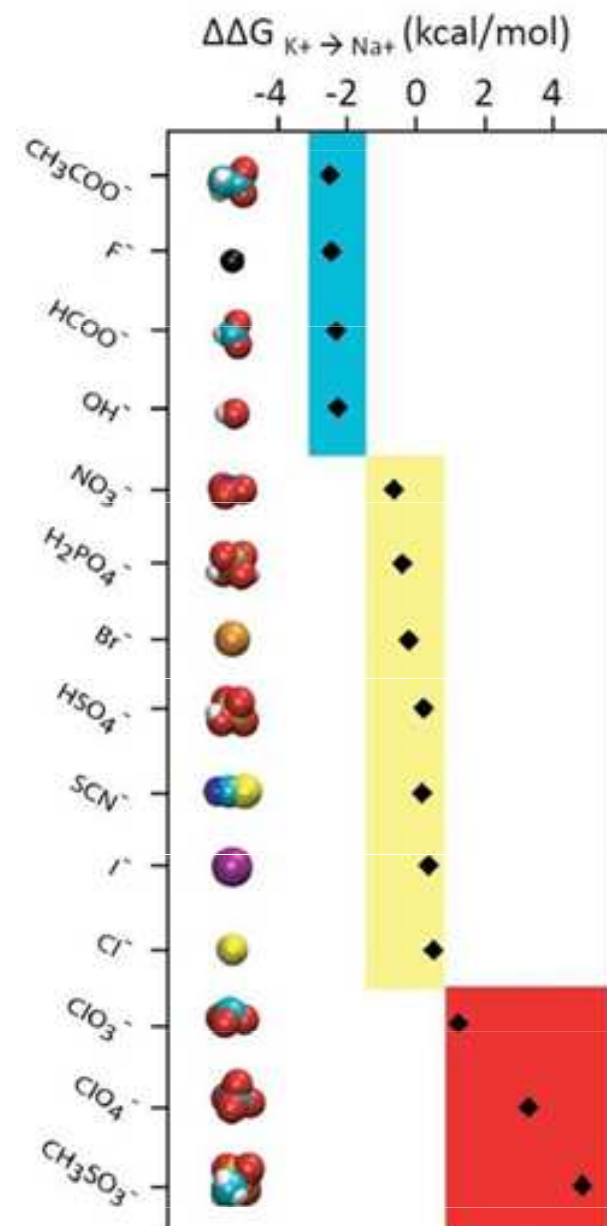




Ordering of both series with respect to several phenomena:

- ↑ Surface tension
- ↓ Hydrocarbon solubility
- ↓ Protein denaturation
- ↑ Chemical and thermal protein stability
- ↓ Protein backbone interaction
- ↑ Anion – sidechain interaction
- (R, K, H)

- ↓ Surface tension
- ↑ Hydrocarbon solubility
- ↑ Protein denaturation
- ↓ Chemical and thermal protein stability
- ↑ Protein backbone interaction
- ↑ Cation – sidechain interaction
- (D, E)



Obr. 2 (barevně): Změny volné energie související s nahrazením drasliku sodíkem v kontaktním iontovém páru s Hofmeisterovou řadou aniontů. Data vyznačená modře (popř. červeně) reprezentují anionty preferující sodík (popř. draslik); žlutě pak jsou anionty bez výraznější preference.

Rozpustnost iontových látok ve vodě

SOLUBLE IONIC COMPOUNDS	INSOLUBLE IONIC COMPOUNDS
1. Group 1A ions (Li^+ , Na^+ , K^+ , etc.) and ammonium ion (NH_4^+) are soluble.	1. (Hydroxides) OH^- and (Sulfides) S^{2-} are insoluble except when with Group 1A ions (Li^+ , Na^+ , K^+ , etc.), ammonium ion (NH_4^+) and Ca^{2+} , Sr^{2+} , Ba^{2+} .
2. (Nitrates) NO_3^- , (acetates) CH_3COO^- or $\text{C}_2\text{H}_3\text{O}_2^-$, and most perchlorates (ClO_4^-) are soluble.	2. (Carbonates) CO_3^{2-} and (Phosphates) PO_4^{3-} are insoluble except when with Group 1A ions (Li^+ , Na^+ , K^+ , etc.), ammonium ion (NH_4^+).
3. Cl^- , Br^- , and I^- are soluble, except when paired with Ag^+ , Pb^{2+} , Cu^+ and Hg_2^{2+} .	
4. (Sulfates) SO_4^{2-} are soluble, except those of Ca^{2+} , Sr^{2+} , Ba^{2+} , Ag^+ , and Pb^{2+} .	

Solubility Table

Common Ionic Compounds

	Group 1				Group 2				Transition Metals				
	NH ₄ ⁺	Li ⁺	Na ⁺	K ⁺	Mg ²⁺	Ca ²⁺	Ba ²⁺	Al ³⁺	Fe ³⁺	Cu ²⁺	Ag ⁺	Zn ²⁺	Pb ²⁺
F ⁻	sol	sol	sol	sol	insol	insol	sl sol	sol	sl sol	sol	sol	sol	insol
Cl ⁻	sol	sol	sol	sol	sol	sol	sol	sol	sol	sol	insol	sol	sol
Br ⁻	sol	sol	sol	sol	sol	sol	sol	sol	sol	sol	insol	sol	sl sol
I ⁻	sol	sol	sol	sol	sol	sol	sol	sol			insol	sol	insol
OH ⁻	sol	sol	sol	sol	insol	sl sol	sol	insol	insol	insol		insol	insol
S ²⁻	sol	sol	sol	sol		sl sol	sol		insol	insol	insol	insol	insol
SO ₄ ²⁻	sol	sol	sol	sol	sol	sl sol	insol	sol	sol	sol	sl sol	sol	insol
CO ₃ ²⁻	sol	sol	sol	sol	insol	insol	insol			sl sol	insol	insol	insol
NO ₃ ⁻	sol	sol	sol	sol	sol	sol	sol	sol	sol	sol	sol	sol	sol
PO ₄ ³⁻	sol	insol	sol	sol	insol	insol	insol	insol	insol	insol	insol	insol	insol
CrO ₄ ²⁻	sol	sol	sol	sol	sol	sol	insol		insol	insol	insol	insol	insol
CH ₃ CO ₂ ⁻	sol	sol	sol	sol	sol	sol	sol	sl sol	sol	sol	sol	sol	sol

sol — soluble >1g/100 mL

insol — insoluble <0.1g/100 mL

sl sol — slightly soluble (0.1 to 1) g/100 mL

(blank) — not enough solubility data available to be determined

FLINN
SCIENTIFIC

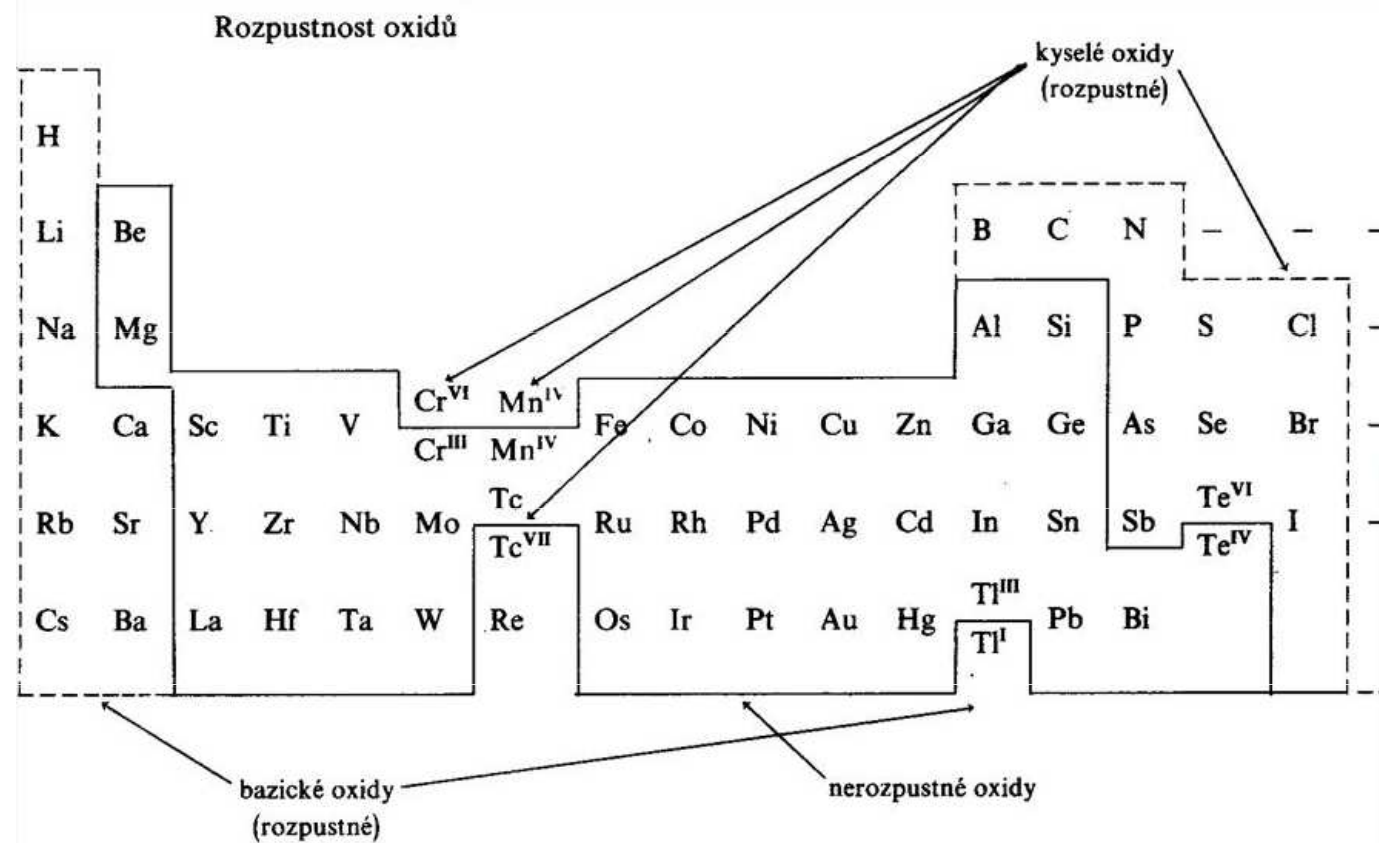
"Your Safer Source for Science"

© 2016 Flinn Scientific, Inc. All Rights Reserved.
AP6901

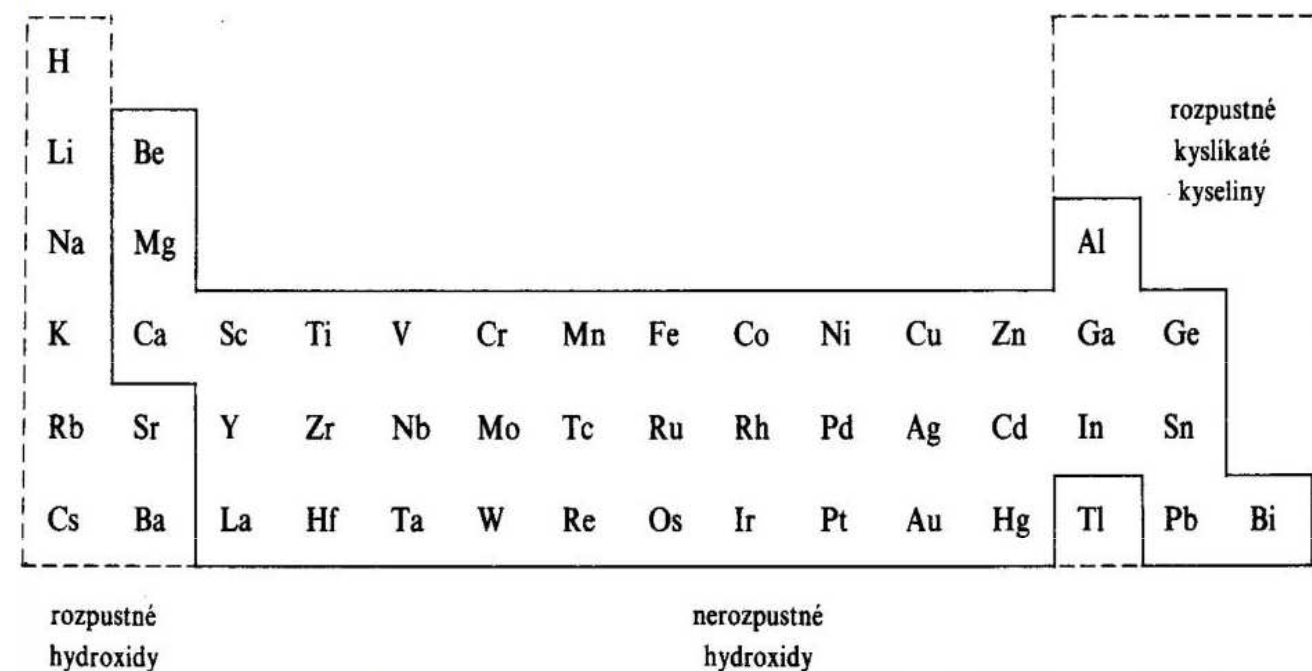
Na ⁺ , K ⁺ , NH ₄ ⁺ salts	All soluble
Nitrates – NO ₃ ⁻	All soluble
Chlorides, bromides, iodides – Cl ⁻ , Br ⁻ , I ⁻	All soluble, except for Pb ²⁺ and Ag ⁺
Sulfates – SO ₄ ²⁻	All soluble, except for Pb ²⁺ , Ba ²⁺ , and Ca ²⁺
Carbonates – CO ₃ ²⁻	All insoluble, except for Na ⁺ , K ⁺ , and NH ₄ ⁺
Hydroxides – OH ⁻	All insoluble, except for Na ⁺ , K ⁺ , and NH ₄ ⁺

		Group I Alkali Metals				Group II Alkaline Earth Metals			Transition Metals						Post-transition Metals	
		Ammonium NH ₄ ⁺	Lithium Li ⁺	Sodium Na ⁺	Potassium K ⁺	Magnesium Mg ²⁺	Calcium Ca ²⁺	Barium Ba ²⁺	Iron (II) Fe ²⁺	Iron (III) Fe ³⁺	Copper (II) Cu ²⁺	Silver Ag ⁺	Zinc Zn ²⁺	Lead (II) Pb ²⁺	Aluminum Al ³⁺	
Fluoride F ⁻	soluble	slightly soluble	soluble	soluble	insoluble	insoluble	slightly soluble	slightly soluble	slightly soluble	soluble	soluble	soluble	soluble	insoluble	slightly soluble	Fluoride F ⁻
Chloride Cl ⁻	soluble	soluble	soluble	soluble	soluble	soluble	soluble	soluble	soluble	soluble	insoluble	soluble	soluble	insoluble	soluble	Chloride Cl ⁻
Bromide Br ⁻	soluble	soluble	soluble	soluble	soluble	soluble	soluble	soluble	soluble	soluble	soluble	insoluble	soluble	slightly soluble	soluble	Bromide Br ⁻
Iodide I ⁻	soluble	soluble	soluble	soluble	soluble	soluble	soluble	soluble	soluble	soluble	soluble	insoluble	soluble	insoluble	soluble	Iodide I ⁻
Chlorate ClO ₃ ⁻	soluble	soluble	soluble	soluble	soluble	soluble	soluble	soluble	soluble	soluble	soluble	soluble	soluble	soluble	soluble	Chlorate ClO ₃ ⁻
Hydroxide OH ⁻	--	soluble	soluble	soluble	insoluble	slightly soluble	soluble	insoluble	insoluble	insoluble	insoluble	slightly soluble	insoluble	insoluble	insoluble	Hydroxide OH ⁻
Sulfite SO ₃ ²⁻	soluble	soluble	soluble	soluble	soluble	insoluble	insoluble	insoluble	insoluble	insoluble	insoluble	insoluble	insoluble	insoluble	insoluble	Sulfite SO ₃ ²⁻
Sulfate SO ₄ ²⁻	soluble	soluble	soluble	soluble	soluble	slightly soluble	insoluble	soluble	soluble	soluble	slightly soluble	soluble	insoluble	insoluble	soluble	Sulfate SO ₄ ²⁻
Carbonate CO ₃ ²⁻	soluble	soluble	soluble	soluble	insoluble	insoluble	insoluble	insoluble	insoluble	insoluble	insoluble	insoluble	insoluble	insoluble	insoluble	Carbonate CO ₃ ²⁻
Nitrite NO ₂ ⁻	soluble	soluble	soluble	soluble	soluble	soluble	soluble	soluble	soluble	soluble	insoluble	soluble	soluble	soluble	soluble	Nitrite NO ₂ ⁻
Nitrate NO ₃ ⁻	soluble	soluble	soluble	soluble	soluble	soluble	soluble	soluble	soluble	soluble	soluble	soluble	soluble	soluble	soluble	Nitrate NO ₃ ⁻
Phosphate PO ₄ ³⁻	soluble	insoluble	soluble	soluble	insoluble	insoluble	insoluble	insoluble	insoluble	insoluble	insoluble	insoluble	insoluble	insoluble	insoluble	Phosphate PO ₄ ³⁻

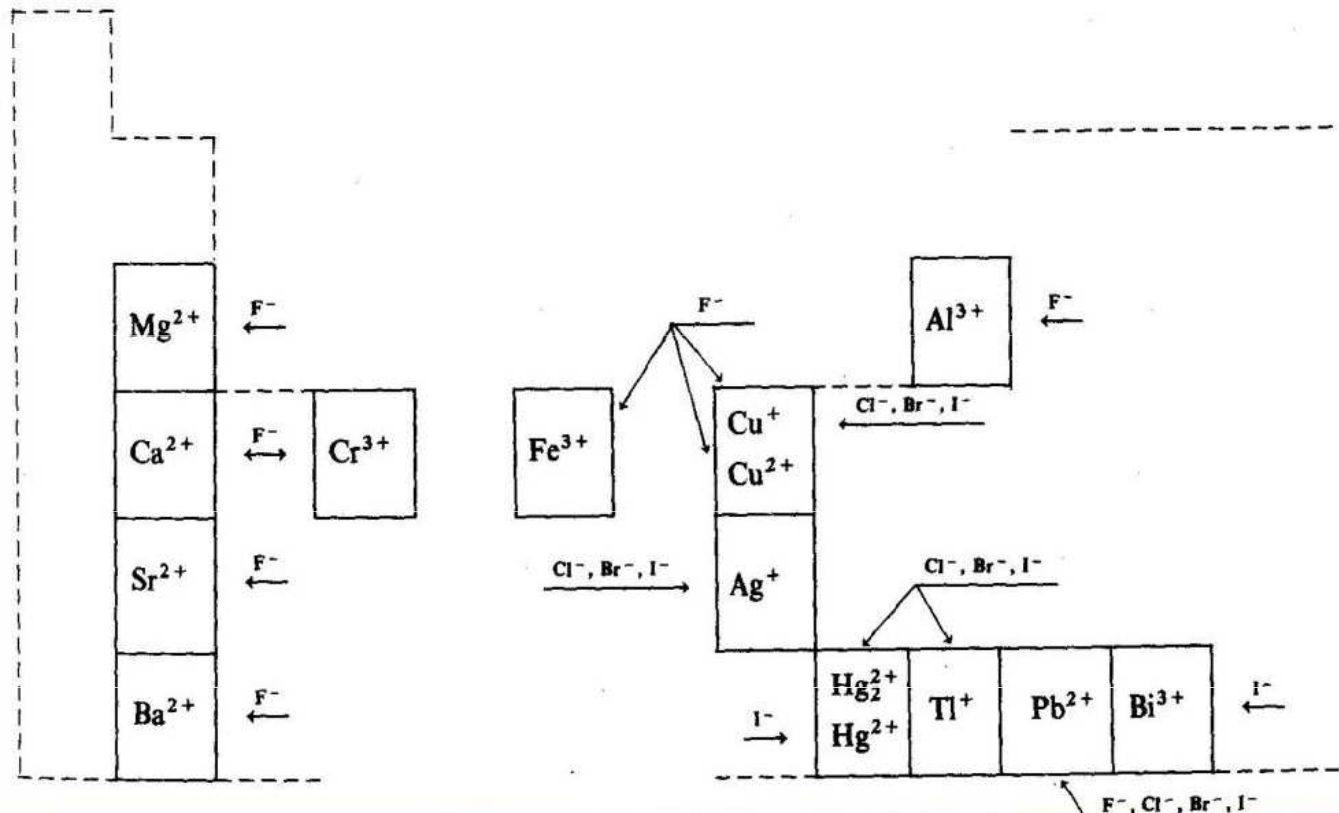
Rozpustnosť oxidu



Rozpustnosť hydroxidů

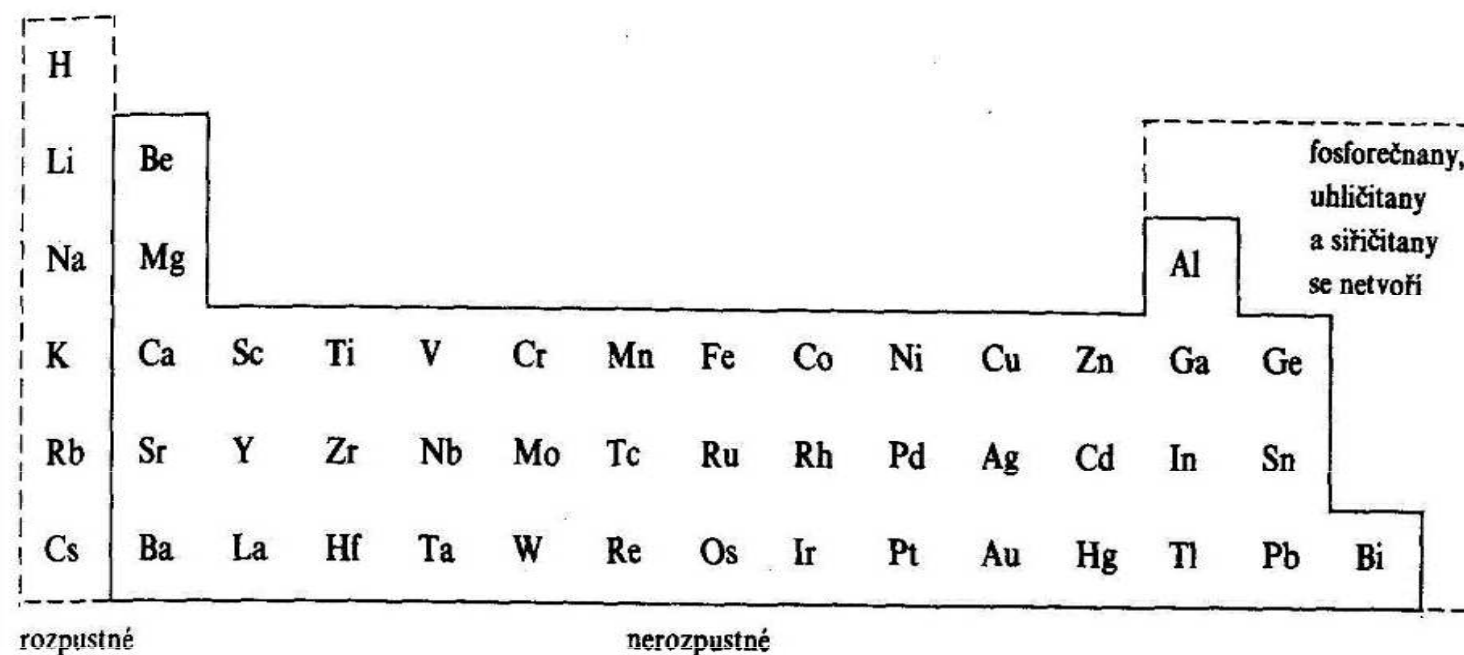


Rozpustnosť halogenidů

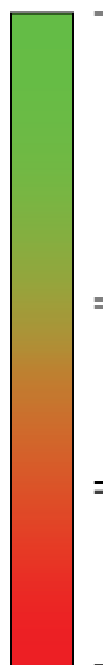
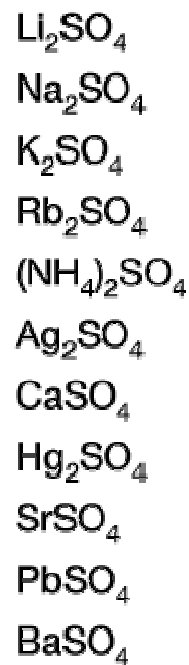


Rozpustnosť sulfidů

Rozpustnosť fosforečnanov, uhličitanov a siřičitanov



Rozpustnosť síranov



Soluble

Somewhat
soluble

Insoluble

Solubility Rules for Ionic Compounds

Soluble Ionic Compounds	Important Exceptions
Compounds containing	
NO_3^- and CH_3COO^- (acetate)	None
Cl^- , Br^- , I^-	Ag^+ , Hg_2^{2+} , Pb^{2+}
SO_4^{2-}	Sr^{2+} , Ba^{2+} , Hg_2^{2+} , Pb^{2+}

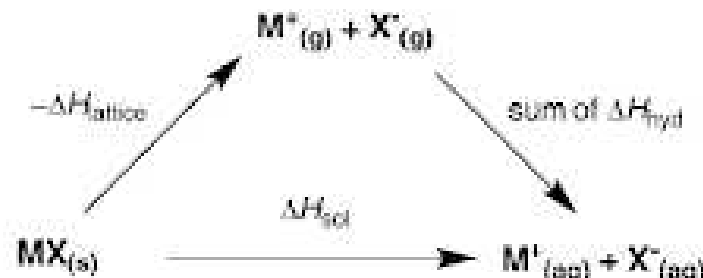
Insoluble Ionic Compounds	Important Exceptions
Compounds containing	
S^{2-}	NH_4^+ , Li^+ , Na^+ , K^+ , Rb^+ , Cs^+ , Ca^{2+} , Sr^{2+} , Ba^{2+}
CO_3^{2-}	NH_4^+ , Li^+ , Na^+ , K^+ , Rb^+ , Cs^+
PO_4^{3-}	NH_4^+ , Li^+ , Na^+ , K^+ , Rb^+ , Cs^+
OH^-	NH_4^+ , Li^+ , Na^+ , K^+ , Rb^+ , Cs^+ , Ca^{2+} , Sr^{2+} , Ba^{2+}

Rozpustnosť ionových látiek

Rozpustnosť ionových sloučenín môže byť odhadnuta pomocí Hessova zákona z mřížkové energie (enthalpie, $\Delta H_{lattice}$) a hydratačných enthalpií kationu a aniontu (ΔH_{hyd}).

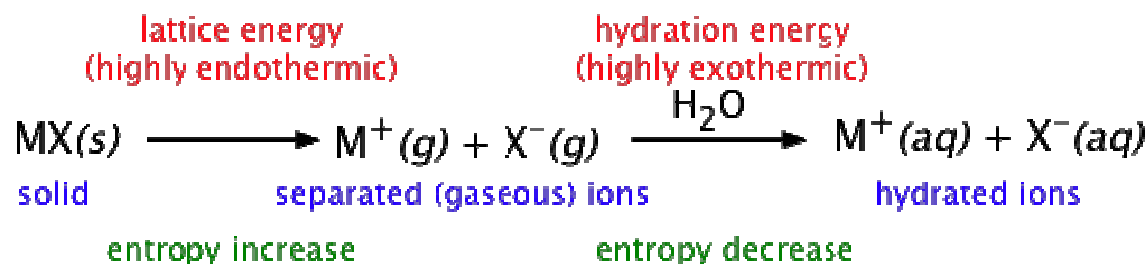
Soli tvořené iony velmi rozdílné velikosti mají sklon být maximálne rozpustné, zatímco soli s iony podobné velikosti budou mít tendenci k mnohem menšej rozpustnosti.

Příklad: Rozpustnosť CsF a CsI. Větší hydratační enthalpie CsF (F⁻ je anion s menším poloměrem) indikuje, že CsF je rozpustnější než CsI, přestože CsF má větší mřížkovou enthalpii.

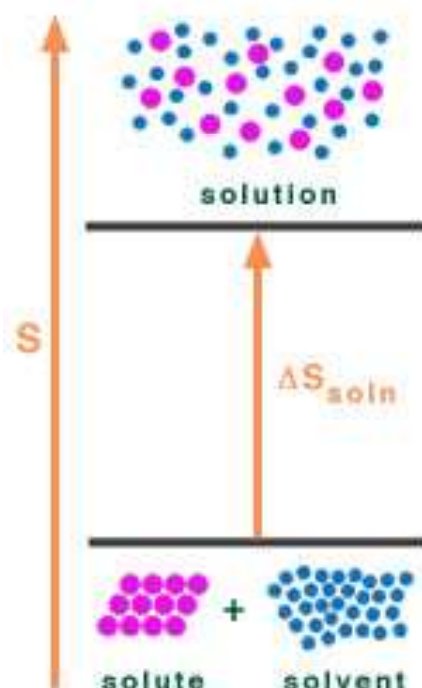


	$-\Delta H_{lattice}$	$\Delta H_{hyd}(M^+)$	$\Delta H_{hyd}(X^-)$	ΔH_{sol}	Solubility per 100g H ₂ O
CsF	740	-271	-504	-35	367 g
CsI	604	-271	-288	+45	74 g

Gibbsova energie a rozpouštění iontových solí



$$\Delta G = \Delta H - T\Delta S$$



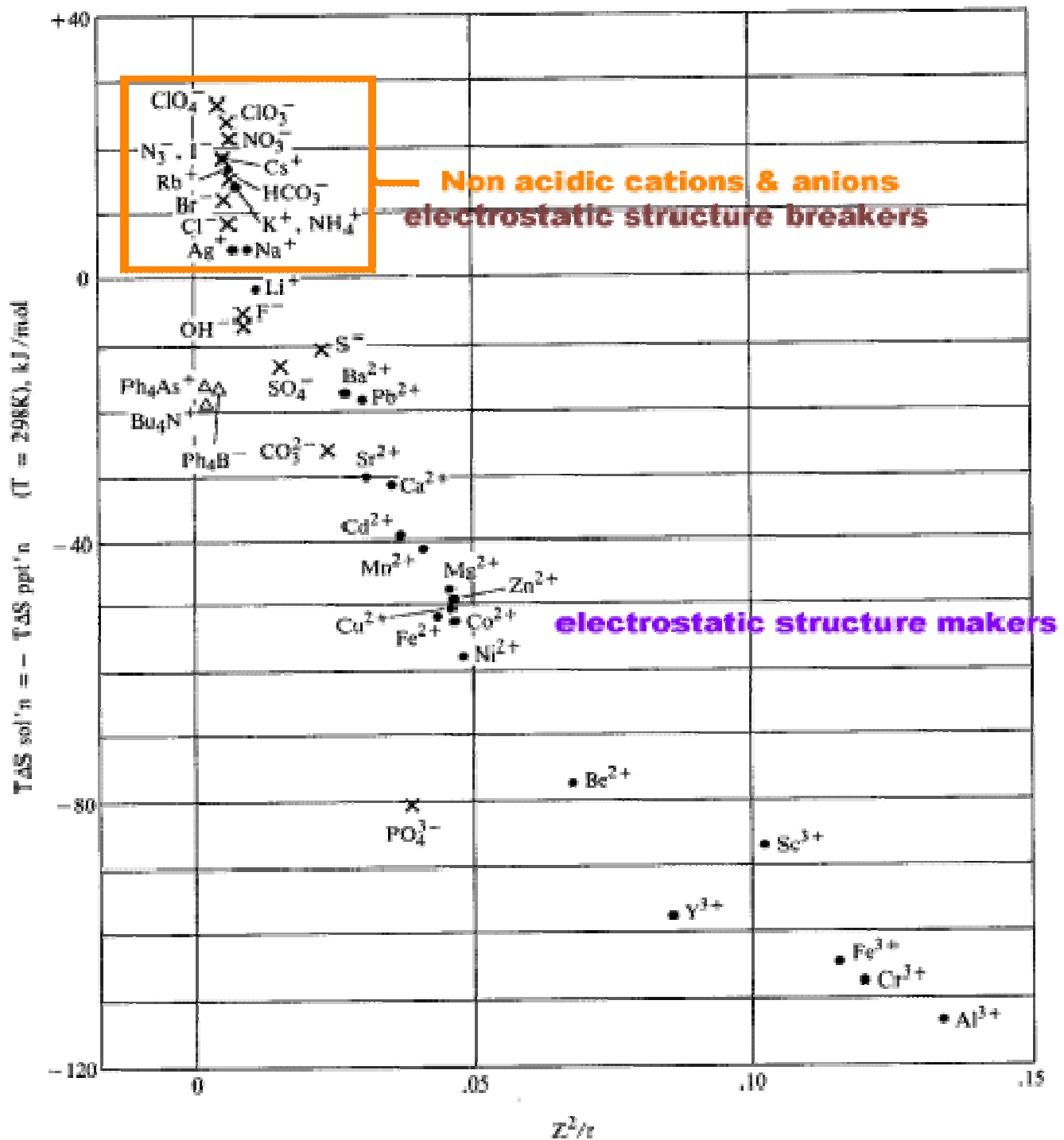
Vznik sraženin

Kombinace nestabilního kationtu a aniontu. Dochází ke spontánnímu vzniku sraženin, v důsledku nerozpustnosti výsledných sloučenin. ΔH může být kladná i záporná (exotermní i endotermní), reakce je řízena dominantním entropickým členem $-T\Delta S$.

Kombinace nestabilního kationtu a stabilního aniontu, resp. stabilního kationtu a nestabilního aniontu. Obvykle nedochází ke srážení, reakce je endotermní s neutrálním nebo mírně negativním entropickým členem $-T\Delta S$.

Kombinace stabilního kationtu a aniontu. Obvykle nedochází ke srážení, ΔH je záporné (jsou obvykle exotermní), ale bývá kompenzováno entropickým členem $-T\Delta S$ k téměř nulové ΔG . Ke srážení dochází pouze v případě výrazně záporných hodnot ΔG .

Entropický člen v rovnici pro Gibbsovou energii krystalizace závisí na poměru Z^2/r



<i>Salt</i>	ΔG°	ΔH°	$-T\Delta S^\circ, 298 \text{ K}$	Solubility (mol/kg H₂O)
-------------	------------------	------------------	-----------------------------------	---

I. Acidic Cations + Basic Anions

Be(OH) ₂	-121	-31	-90	0.000008
Mg(OH) ₂	-63	-3	-61	0.0002
Ca(OH) ₂	-28	16	-44	0.025
Li ₂ CO ₃	-17	18	-34	0.18
MgCO ₃	-45	28	-74	0.0093
CaCO ₃	-48	10	-57	0.0002
SrCO ₃	-52	3	-56	0.00007
BaCO ₃	-47	-4	-43	0.00011
FePO ₄	-102	78	-180	slight

Oxide	Solubility in H ₂ O (mol _{metal} ·L ⁻¹)	$\Delta G^\circ_{\text{Hydration}}$ (kJ·mol _{metal} ⁻¹)
Amorphous SiO ₂	1.6E-03	-8.0
γ -Al ₂ O ₃	1.6E-08	-18
MgO	1.8E-04	-27
Nb ₂ O ₅	2.5E-08	52
TiO ₂	1.0E-09	46
Ti ₂ O ₃	—	16
TiO	—	34
ZrO ₂	2.5E-12	30
CeO ₂	—	110
Ce ₂ O ₃	1.6E-06	-59
CuO	2.0E-10	13
Cu ₂ O	—	-63
Fe ₂ O ₃	4.0E-12	12
FeO	3.2E-10	-6.6

Reakce iontových sloučenin

1. Největší stabilita je dána nejtěsnějším uspořádáním iontů => molární objemy (Mr/hustota) produktů budou celkově menší než molární objemy výchozích látek.

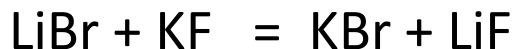
Příklad:



KMgF_3 krystaluje v perovskitové struktuře (prostorově úsporná).

2. Při podvojném rozkladu alkalických halogenidů ve vodných roztocích musí vzniknout dvojice látek, v nichž jsou navzájem vázány největší a nejmenší ionty.

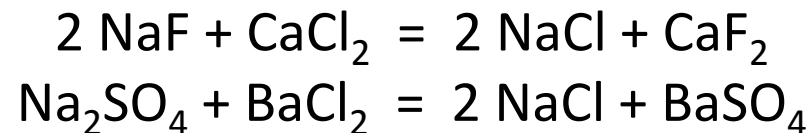
Příklad:



(souvislost s hodnotami mřížkových energií)

3. Ze dvou iontových párů se sloučí na iontový krystal oba ionty s nejvyšším a oba s nejnižším nábojem (mezi ionty bude největší elektrostatická přitažlivost).

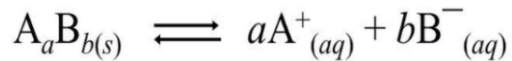
Příklad:



U kationtů s *vysoce obsazenými d-slupkami* (Cu^+ , Ag^+ , Au^+ , Tl^+ , Zn^{2+} , Cd^{2+} , Hg^{2+} , Pt^{2+}) klesá rozpustnost s *polarizovatelností koordinačního partnera* ($\text{F}^- < \text{Cl}^- < \text{Br}^- < \text{I}^-$), patrně v důsledku výrazného podílu polarizačních a disperzních sil na mřížkovou, resp. vazebnou energii.

Malou rozpustnost halogenidů a sulfidů kationtů s vysoce obsazenými d-slupkami působí disperzní síly velké u snadno polarizovatelných aniontů (Cl^- , Br^- , I^- , S^{2-}), ale relativně malé u molekul vody odolných vůči polarizaci (viz. sirovodíkový způsob dělení kationtů v kvalitativní analýze).

Součin rozpustnosti



$$K_c = \frac{[A^+]^a [B^-]^b}{[A_a B_b]}$$

$$K_{sp} = [A^+]^a [B^-]^b$$



Table 5-7

Solubility-Product Constants, K_{sp} , at 25 °C

Fluorides	Chromates (cont.)		Hydroxides (cont.)		
BaF_2	2.4×10^{-5}	Ag_2CrO_4	1.9×10^{-12}	$Ni(OH)_2$	1.6×10^{-16}
MgF_2	8×10^{-8}	$PbCrO_4$	2×10^{-16}	$Zn(OH)_2$	4.5×10^{-17}
PbF_2	4×10^{-8}			$Cu(OH)_2$	1.6×10^{-19}
SrF_2	7.9×10^{-10}	$NiCO_3$	1.4×10^{-7}	$Hg(OH)_2$	3×10^{-26}
CaF_2	3.9×10^{-11}	$CaCO_3$	4.7×10^{-9}	$Sn(OH)_2$	3×10^{-27}
Chlorides	Carbonates		Chromates (cont.)		
$PbCl_2$	1.6×10^{-5}	$BaCO_3$	1.6×10^{-9}	$Cr(OH)_3$	6.7×10^{-31}
$AgCl$	1.7×10^{-10}	$SrCO_3$	7×10^{-10}	$Al(OH)_3$	5×10^{-33}
$Hg_2Cl_2^*$	1.1×10^{-16}	$CuCO_3$	2.5×10^{-10}	$Fe(OH)_3$	6×10^{-38}
Bromides	$ZnCO_3$		Hydroxides (cont.)		
$PbBr_2$	4.6×10^{-6}	$MnCO_3$	8.8×10^{-11}	$Co(OH)_3$	2.5×10^{-43}
$AgBr$	5.0×10^{-13}	$FeCO_3$	2.1×10^{-11}	$Sulfides$	
$Hg_2Br_2^*$	1.3×10^{-22}	Ag_2CO_3	8.2×10^{-12}	MnS	7×10^{-16}
Iodides		$CdCO_3$	5.2×10^{-12}	FeS	4×10^{-19}
PbI_2	8.3×10^{-9}	$PbCO_3$	1.5×10^{-15}	NiS	3×10^{-21}
AgI	8.5×10^{-17}	$MgCO_3$	1×10^{-15}	CoS	5×10^{-22}
$Hg_2I_2^*$	4.5×10^{-29}	$Hg_2CO_3^*$	9.0×10^{-15}	ZnS	2.5×10^{-22}
Sulfates	Hydroxides				
$CaSO_4$	2.4×10^{-5}	$Ba(OH)_2$	5.0×10^{-3}	SnS	1×10^{-26}
Ag_2SO_4	1.2×10^{-5}	$Sr(OH)_2$	3.2×10^{-4}	CdS	1.0×10^{-28}
$SrSO_4$	7.6×10^{-7}	$Ca(OH)_2$	1.3×10^{-6}	PbS	7×10^{-29}
$PbSO_4$	1.3×10^{-8}	$AgOH$	2.0×10^{-8}	CuS	8×10^{-37}
$BaSO_4$	1.5×10^{-9}	$Mg(OH)_2$	8.9×10^{-12}	Ag_2S	5.5×10^{-51}
Chromates		$Mn(OH)_2$	2×10^{-13}	HgS	1.6×10^{-54}
$SrCrO_4$	3.6×10^{-6}	$Cd(OH)_2$	2.0×10^{-14}	Bi_2S_3	1.6×10^{-72}
$Hg_2CrO_4^*$	2×10^{-9}	$Pb(OH)_2$	4.2×10^{-15}	$Phosphates$	
$BaCrO_4$	8.5×10^{-11}	$Fe(OH)_2$	1.8×10^{-15}	Ag_3PO_4	1.8×10^{-18}
		$Co(OH)_2$	2.5×10^{-16}	$Sr_3(PO_4)_2$	1×10^{-31}

*As Hg_2^{2+} ion. $K_{sp} = [Hg_2^{2+}][X^-]^2$

Vliv polarizace na rozpustnost

Sulfidy

1. Kationty zakončené vnější skupinou 18 elektronů dávají se sirovodíkem nerozpustné sulfidy v kyselém prostředí (Zn^{2+} , Cd^{2+} , Hg^{2+} , Cu^+ , Ag^+ , Au^+). Vnější slupka je zaplněna 18 elektronami také u Ga^{3+} , In^{3+} , Ge^{IV} , Sn^{IV} , Sb^V , As^V , které se rovněž srážejí sirovodíkem.

Sulfidy této skupiny jsou pro nižší hodnoty Z/r nerozpustné v sulfidu amonném, od $Z/r = 4.9$ jsou již rozpustné.

2. Kationty s neúplnou vnější elektronovou slupkou mezi 8 – 18 elektronami tvoří rovněž nerozpustné sulfidy, při menší polarizovatelnosti v neutrálním nebo alkalickém prostředí, při větší polarizovatelnosti objemnějších elektronových obalů i z kyselého prostředí.

3. Kationty s vnější slupkou 2 nebo 8 elektronů nedávají nerozpustné sulfidy ani v kyselém, ani v zásaditém prostředí (Li^+ , Be^{2+} , Na^+ , K^+ , Ca^{2+} , Zr^{4+}).

Uhličitany

Ionty zakončené skupinou 2 nebo 8 elektronů tvoří rozpustné uhličitany při $Z/r = 0.6 - 1.3$ (Cs^+ , Rb^+ , NH_4^+ , K^+ , Na^+ , Li^+).

Při $Z/r \geq 1.3$ tvoří nerozpustné uhličitany (Ra^{2+} , Ba^{2+} , Sr^{2+} , Ca^{2+}).

Hydroxidy

Při $Z/r \geq 2.5$ ionty tvoří nerozpustné hydroxidy (La^{2+} , Ce^{3+} , Mg^{2+} , Y^{3+} , Sc^{3+} , Zr^{4+} , Hf^{4+} , Al^{3+} , Be^{2+} , Ti^{4+}).

Vliv polarizace na rozpustnost

Uhličitany	Rozpustnost ve vodě
Li	špatně rozpustný
Na	dobře rozpustný
K	dobře rozpustný

Soli Ca	Rozpustnost ve vodě
F^-	nerozpustný
Cl^-	rozpustný
Br^-	rozpustný

Vliv polarizace na rozpustnosť

	F ⁻	Cl ⁻	Br ⁻	I ⁻
Ag ⁺	rozpustný	1.7×10^{-10}	4.1×10^{-13}	1.5×10^{-16}
Tl ⁺	rozpustný	1.86×10^{-4}	3.71×10^{-6}	5.54×10^{-8}
Hg ₂ ²⁺	3.10×10^{-6}	1.43×10^{-18}	6.40×10^{-23}	5.2×10^{-29}
Hg ²⁺	-	rozpustný	6.2×10^{-20}	2.9×10^{-29}
Pb ²⁺	3.3×10^{-8}	6.60×10^{-6}	8.9×10^{-6}	9.8×10^{-9}
Mg ²⁺	5.16×10^{-11}	rozpustný	rozpustný	rozpustný
Ca ²⁺	3.45×10^{-11}	rozpustný	rozpustný	rozpustný

	Be ²⁺	Mg ²⁺	Ca ²⁺	Sr ²⁺	Ba ²⁺
OH ⁻	6.92×10^{-22}	5.61×10^{-12}	5.02×10^{-6}	rozpustný	rozpustný
F ⁻	rozpustný	5.16×10^{-11}	3.45×10^{-11}	4.33×10^{-9}	1.84×10^{-7}
CO ₃ ²⁻		6.82×10^{-6}	3.36×10^{-9}	5.60×10^{-10}	2.58×10^{-9}
SO ₄ ²⁻		rozpustný	4.93×10^{-5}	3.44×10^{-7}	1.08×10^{-10}

Vliv polarizace na rozpustnost

	LiF	NaF	KF	CaF ₂	SrF ₂	BaF ₂
Rozpustnost	0,10	1,0	11,6	1,9.10 ⁻⁴	9,3.10 ⁻⁴	9,1.10 ⁻³

	LiCl	NaCl	KCl	CaCl ₂ . 6H ₂ O	SrCl ₂ . 6H ₂ O	BaCl ₂ . 2H ₂ O
Rozpustnost	13,9	5,4	4,0	5,5	3,1	1,6

	KCl	RbCl	CsCl
Rozpustnost	4,0	5,7	7,5

	Li ₂ CO ₃	Na ₂ CO ₃ . 10H ₂ O	K ₂ CO ₃ . 1,5H ₂ O
Rozpustnost	0,18	2,0	6,0

	Li ₂ SO ₄ . H ₂ O	Na ₂ SO ₄ . 10H ₂ O	K ₂ SO ₄	CaSO ₄ . 2H ₂ O	SrSO ₄	BaSO ₄
Rozpustnost	2,9	1,3	0,63	1,5.10 ⁻²	6,2.10 ⁻⁴	1,0.10 ⁻⁵

Vliv polarizace na zbarvení

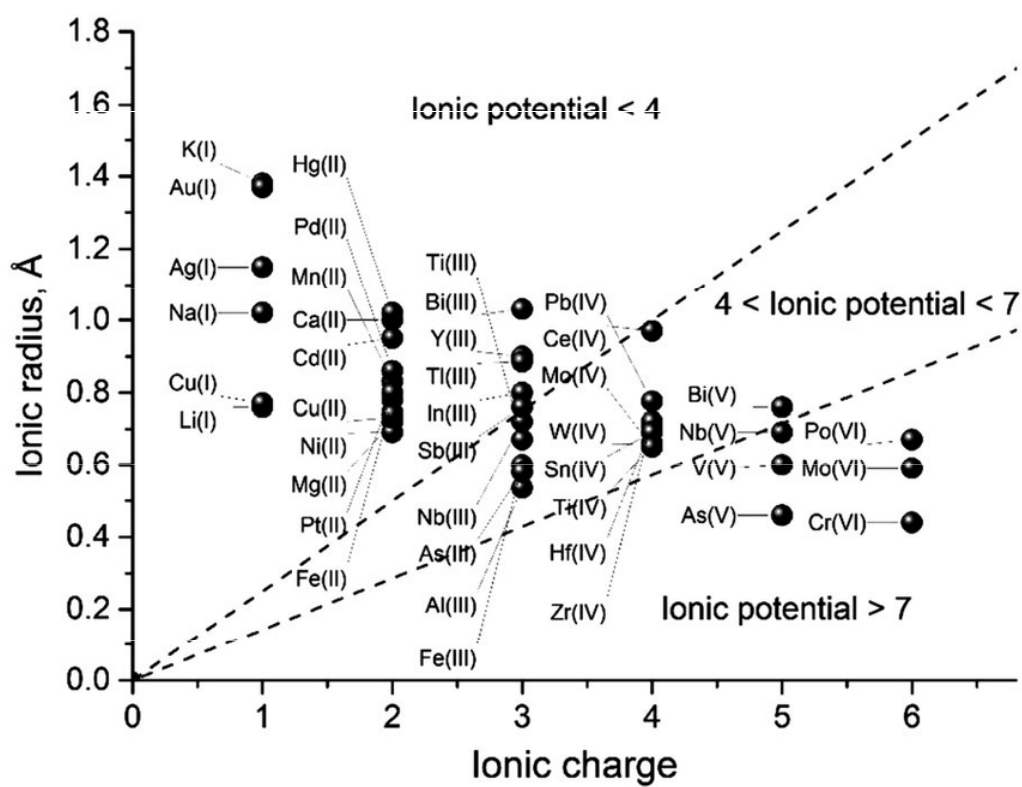
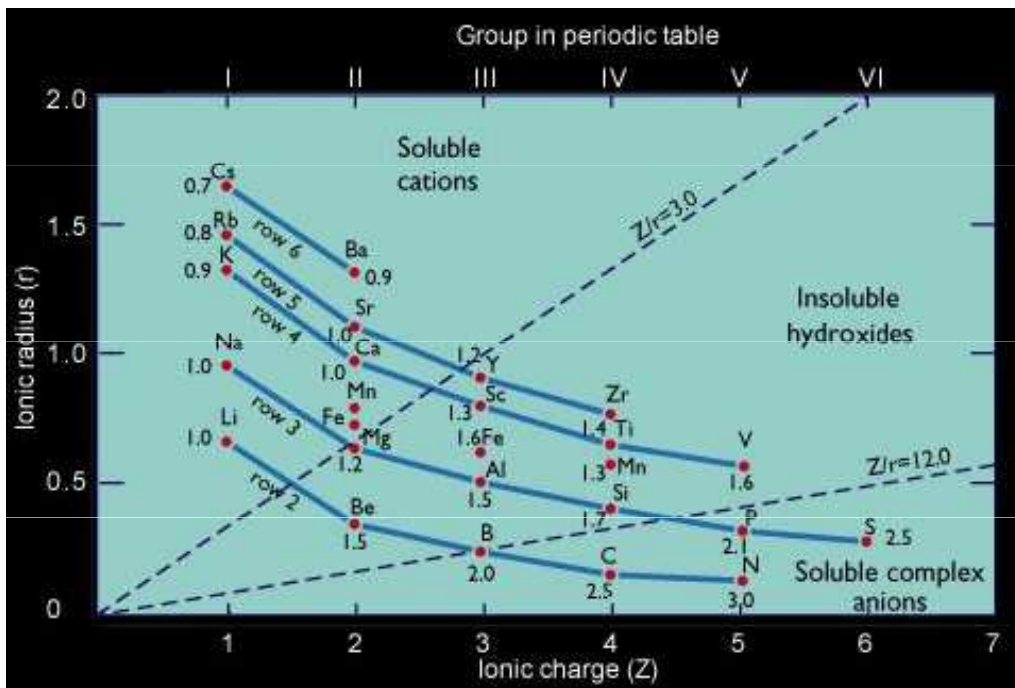
	F^-	Cl^-	Br^-	I^-
Ag^+	-	bílá	nažloutlá	žlutá
Tl^+	-	bílá	nažloutlá	žlutá
Hg_2^{2+}	-	bílá	bílá	žlutá
Hg^{2+}	bílá	bílá	bílá	oranžovo-červená
Pb^{2+}	bílá	bílá	bílá	žlutá

	O^{2-}	S^{2-}	Se^{2+}	Te^{2+}
Zn^{2+}	bílá	bílá	žlutá	červená
Ga^{3+}	bílá	žlutá	červená	černá
As^{3+}	bílá	oranžová	hnědočerná	černá

Vliv polarizace na zbarvení

	AgCl	AgBr	Agl
Rozpustnost	$1,4 \cdot 10^{-5}$	$8,1 \cdot 10^{-7}$	$1,1 \cdot 10^{-8}$
barva	bílá	světle žlutá	žlutá

	ZnS	CdS	HgS
Rozpustnost	$7,1 \cdot 10^{-5}$	$9,0 \cdot 10^{-6}$	$5,4 \cdot 10^{-8}$
barva	bílá	žlutá	černá



Acidobazické chování

Arrheniova teorie



Kyseliny = látky schopné odštěpit proton.
Teorie nebrala v úvahu funkci rozpouštědla.

Brønstedova–Lowryho teorie



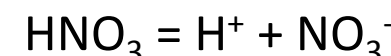
Látky se chovají jako kyseliny jen v přítomnosti zásady a naopak.

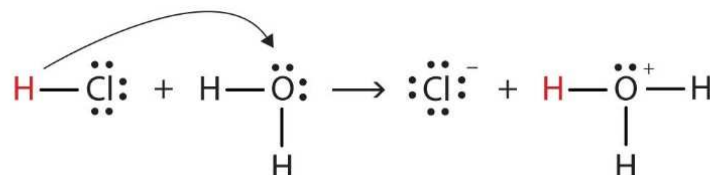
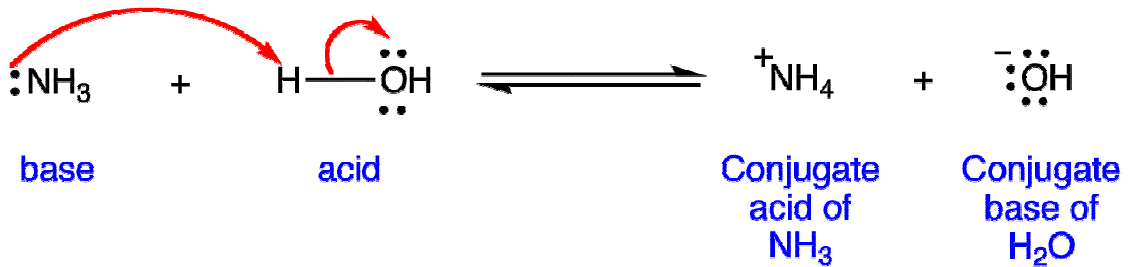
Teorie se týkala pouze protických rozpouštědel, předpokládala solvataci uvolněných protonů molekulami rozpouštědla.

kyseliny = donory protonu

zásady = akceptory protonu

Stronger Brønsted base			
H_3C^-	H_2N^-	HO^-	F^-
H_3Si^-	H_2P^-	HS^-	Cl^-
H_3Ge^-	H_2As^-	HSe^-	Br^-
H_3Sn^-	H_2Sb^-	HTe^-	I^-



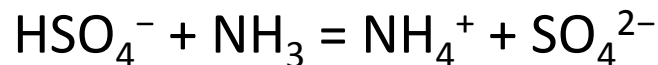


Solvoteorie

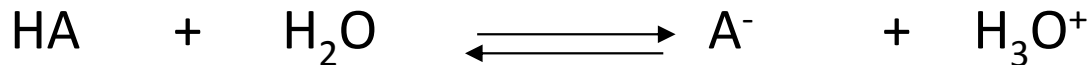
rozšíření Brønstedovy teorie pro aprotická rozpouštědla, požadavkem této teorie je autoionizace rozpouštědla.

kyseliny = látky, které při interakci s rozpouštědlem zvyšují koncentraci kationů produkovaných autoionizací rozpouštědla.

Např. roztok hydrogensíranu v kapalném amoniaku se chová jako kyselina:



Disociace kyselin ve vodě a pKa



Rovnovážná konstanta : $K = \frac{[\text{H}_3\text{O}^+] \cdot [\text{A}^-]}{[\text{HA}] [\text{H}_2\text{O}]}$

Pokud roztok není příliš koncentrovaný, je voda v nadbytku, její koncentraci můžeme považovat za konstantní a zahrnout ji do konstanty, dostaváme tzv. **disociační konstantu K_A** :

$$K \cdot [\text{H}_2\text{O}] = \frac{[\text{H}_3\text{O}^+] \cdot [\text{A}^-]}{[\text{HA}]}$$

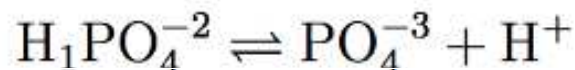
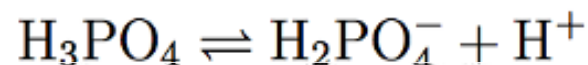
$$K_A = \frac{[\text{H}_3\text{O}^+] \cdot [\text{A}^-]}{[\text{HA}]}$$

Disociace vícesytných kyselin probíhá jako postupné odštěpování protonů z molekuly kyseliny, o rovnovážných koncentracích rozhoduje disociace kyseliny do 1. stupně, platí:

$$\text{pKa} = -\log(K_A)$$

$$K_{A1} \gg K_{A2} \gg K_{A3}$$

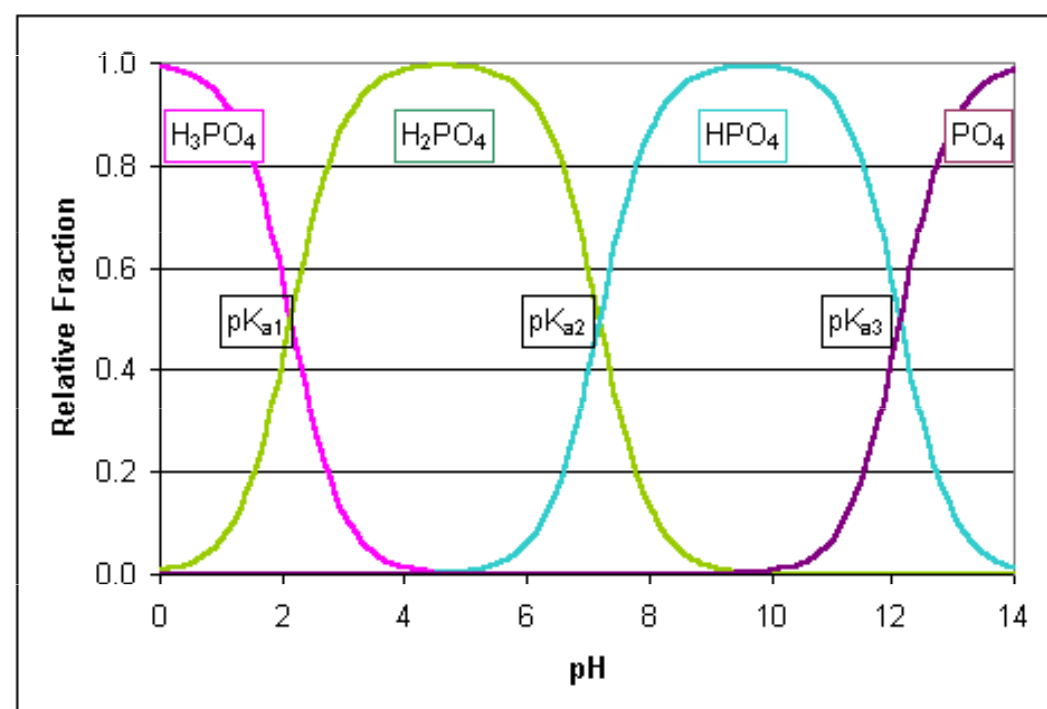
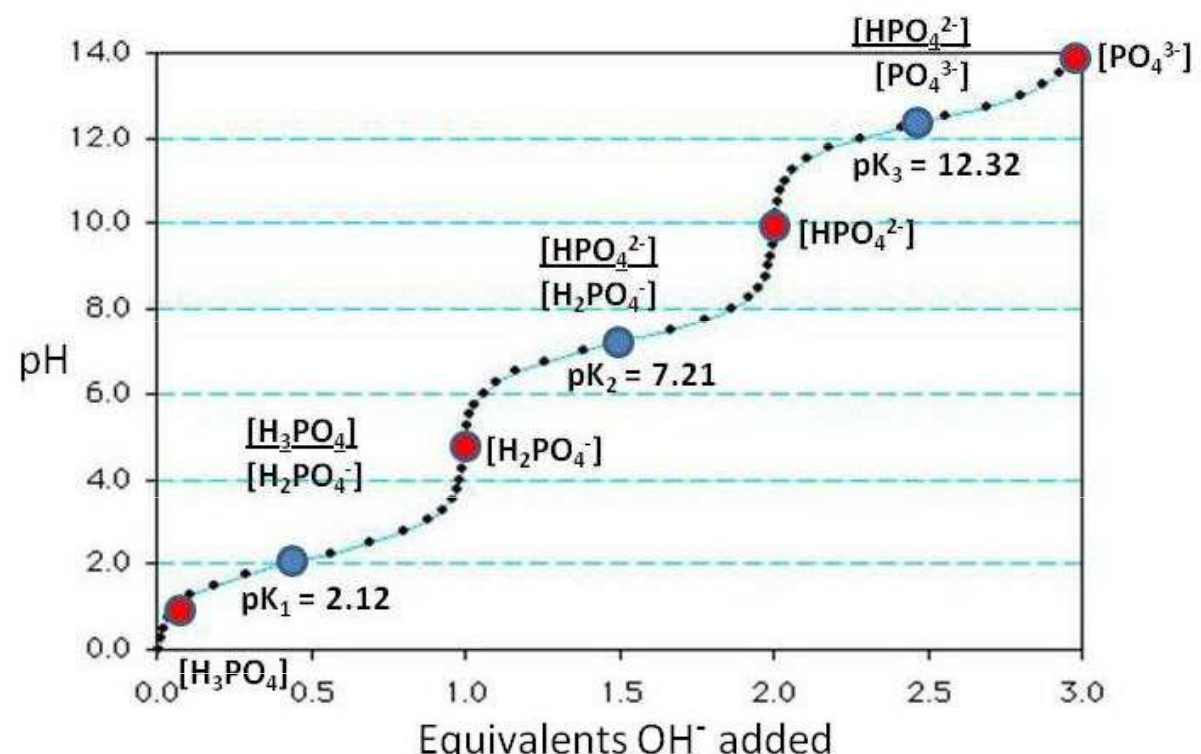
Nižší pK_a u vyšších stupňů souvisí s tím, že k uvolnění protonu ze záporně nabité částice je třeba více energie.



$$pK_a = 2.12$$

$$pK_a = 7.21$$

$$pK_a = 12.3$$



silné kyseliny: $K_A > 10^{-2}$

ve vodě jsou úplně disociovány na oxoniové ionty a příslušné anionty

příklady: HClO_4 , HCl , H_2SO_4 , HNO_3 , HI , HBr

středně silné kyseliny: $K_A = 10^{-4} - 10^{-2}$

ve vodných roztocích jsou koncentrace nedisociovaných molekul a disociací vzniklých iontů srovnatelné

příklady: HF , H_3PO_4 , HNO_2

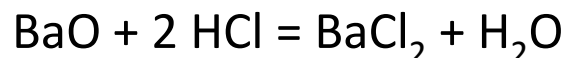
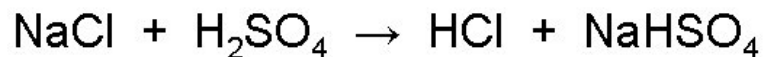
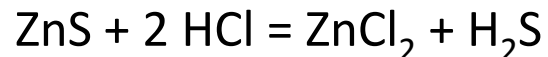
slabé kyseliny: $K_A < 10^{-4}$

ve vodě jsou disociovány velmi málo, převažují nedisociované molekuly

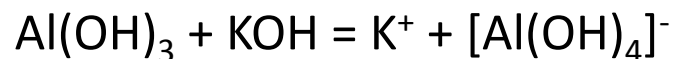
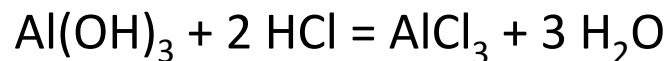
příklady: H_2CO_3 , H_2S , HCN , HOCl , H_3BO_3

Síla kyselin a reaktivita

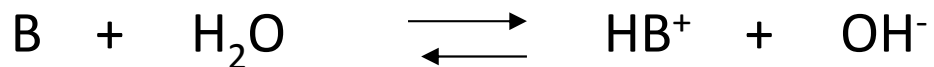
1. Silnější kyselina má schopnost vytěsnit slabší kyselinu (tedy její anion) z její soli.



2. Přednostně probíhají reakce, při nichž vzniká slabší konjugovaná báze i slabší konjugovaná kyselina.



Disociace zásad ve vodě a pK_b



Disociační konstanta K_B : obdobně jako pro kyseliny

$$K_B = \frac{[HB^+] \cdot [OH^-]}{[B]}$$

$$pK_a + pK_b = 14$$

silné zásady $K_B > 10^{-2}$ ve vodě jsou úplně disociovány příklady: hydroxidy, oxidy, sulfidy a hydridy alkalických kovů a kovů alkalických zemin

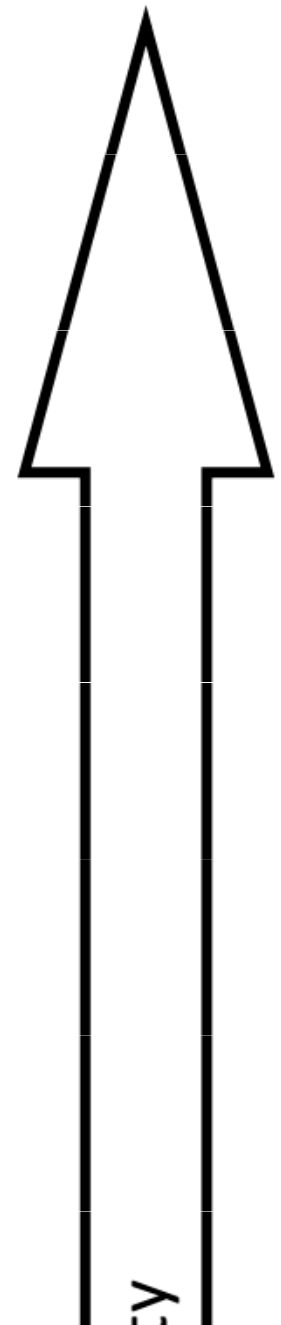
středně silné zásady $K_B = 10^{-4} - 10^{-2}$ ve vodě jsou částečně disociovány
příklady: fosforečnany a uhličitany alkalických kovů

slabé zásady $K_B < 10^{-4}$ ve vodě jsou nepatrně disociovány
příklady: NH_3 , siřičitany, hydrogenuhličitany, hydrogensulfidy

Acid		Base	
perchloric acid	HClO_4	ClO_4^-	perchlorate ion
sulfuric acid	H_2SO_4	HSO_4^-	hydrogen sulfate ion
hydrogen iodide	HI	I^-	iodide ion
hydrogen bromide	HBr	Br^-	bromide ion
hydrogen chloride	HCl	Cl^-	chloride ion
nitric acid	HNO_3	NO_3^-	nitrate ion
hydronium ion	H_3O^+	H_2O	water
hydrogen sulfate ion	HSO_4^-	SO_4^{2-}	sulfate ion
phosphoric acid	H_3PO_4	H_2PO_4^-	dihydrogen phosphate ion
hydrogen fluoride	HF	F^-	fluoride ion
nitrous acid	HNO_2	NO_2^-	nitrite ion
acetic acid	$\text{CH}_3\text{CO}_2\text{H}$	CH_3CO_2^-	acetate ion
carbonic acid	H_2CO_3	HCO_3^-	hydrogen carbonate ion
hydrogen sulfide	H_2S	HS^-	hydrogen sulfide ion
ammonium ion	NH_4^+	HN_3	ammonia
hydrogen cyanide	HCN	CN^-	cyanide ion
hydrogen carbonate ion	HCO_3^-	CO_3^{2-}	carbonate ion
water	H_2O	OH^-	hydroxide ion
hydrogen sulfide ion	HS^-	S^{2-}	sulfide ion
ethanol	$\text{C}_2\text{H}_5\text{OH}$	$\text{C}_2\text{H}_5\text{O}^-$	ethoxide ion
ammonia	NH_3	NH_2^-	amide ion
hydrogen	H_2	H^-	hydride ion
methane	CH_4	CH_3^-	methide ion

Increasing acid strength

Increasing base strength



pKa	Chemical Formula	Name
-10	HClO ₄	Perchloric acid
-7	HCl	Hydrochloric acid
-3.0	H ₂ SO ₄	Sulfuric acid
-1.74	H ₃ O ⁺	Hydronium
-1.37	HNO ₃	Nitric acid
+1.96	HSO ₄ ⁻	Bisulfate ion
+1.90	H ₂ SO ₃	Sulfurous acid
+2.16	H ₃ PO ₄	Phosphoric acid
+2.46	[Fe(H ₂ O) ₆] ³⁺	—
+3.18	HF	Hydrofluoric acid
+4.75	CH ₃ COOH	Acetic acid
+4.97	[Al(H ₂ O) ₆] ³⁺	—
+6.35	H ₂ CO ₃	Carbonic acid
+6.74	[Fe(H ₂ O) ₆] ²⁺	—
+6.99	H ₂ S	Dihydrogen sulfide
+7.20	HSO ₃ ⁻	Sulfurous acid
+7.21	H ₂ PO ₄ ⁻	Dihydrogen phosphate
+8.96	[Zn(H ₂ O) ₆] ²⁺	—
+9.21	HCN	Hydrogen cyanide
+9.25	NH ₄ ⁺	Ammonium
+10.33	HCO ₃ ⁻	Bicarbonate

Hammettova kyselostní funkce

Hammettova funkce kyselosti (H_0) je míra kyselosti, která se používá pro velmi koncentrované roztoky silných kyselin (včetně tzv. superkyselin), nevodná či směsná prostředí (včetně organických rozpouštědel) nebo pro pevné látky (např. zeolity, pevné kyselé katalyzátory, apod.). Je zobecněním klasické Brønsted – Lowryho stupnice pH vhodné pouze pro zředěný vodný roztoky.

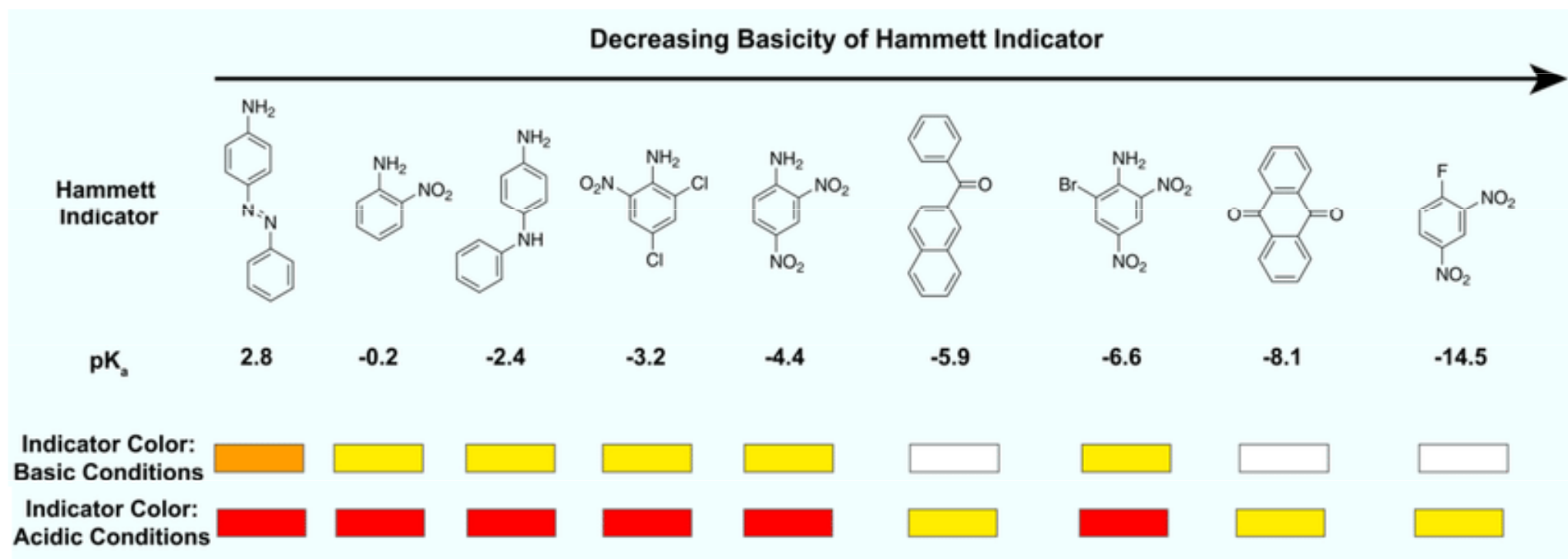
$$H_0 = pK_A(\text{InH}^+) + \log \frac{[\text{In}]}{[\text{InH}^+]} = -\log a_{H_3O^+} - \log \frac{\gamma_{\text{In}}}{\gamma_{\text{InH}^+}}$$

In je slabě bázický indikátor, např. trinitroanilin , InH^+ je jeho protonizovaná forma, H_0 – udává hodnotu pK_A , kterou by měl mít indikátor, aby v daném prostředí byl poměr obou jeho forem jednotkový.

Indicator	Basic color	Acid color	pK_a	Acid strength/ wt% H_2SO_4
Natural red	Yellow	Red	+3.3	8×10^{-8}
Phenylazonaphthylamine	Yellow	Red	+4.0	5×10^{-5}
Butter yellow	Yellow	Red	+3.3	3×10^{-4}
4-Benzeneazodiphenylamine	Yellow	Purple	+1.5	2×10^{-2}
Dicinnamalacetone	Yellow	Red	-3.0	48
Benzalacetophenone	Colorless	Yellow	-5.6	71
Anthraquinone	Colorless	Yellow	-8.2	9

Ve zředěných vodných roztocích, kde se aktivitní koeficient blíží 1 přechází tato funkce na klasickou stupnici pH.

Hammettova kyselostní funkce

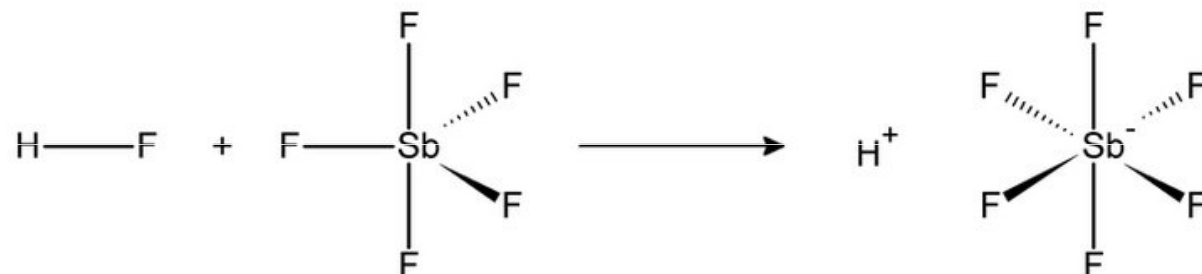


Indicator	Basic color	Acid color	pK_a	Acid strength/ wt% H_2SO_4
Natural red	Yellow	Red	+3.3	8×10^{-8}
Phenylazonaphthylamine	Yellow	Red	+4.0	5×10^{-5}
Butter yellow	Yellow	Red	+3.3	3×10^{-4}
4-Benzeneazodiphenylamine	Yellow	Purple	+1.5	2×10^{-2}
Dicinnamalacetone	Yellow	Red	-3.0	48
Benzalacetophenone	Colorless	Yellow	-5.6	71
Anthraquinone	Colorless	Yellow	-8.2	9

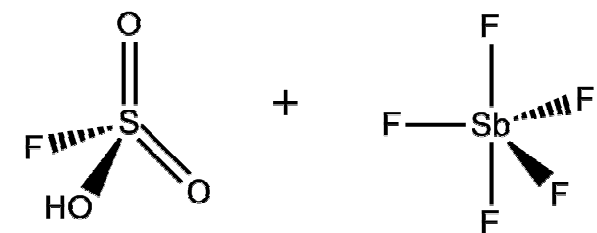
Superkyseliny

Superkyseliny jsou látky, které jsou kyselejší než 98% kyselina sírová. Mají nižší hodnotu Hammettovy kyselostní funkce než -12. Patří mezi ně:

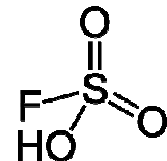
Kyselina fluoroantimoničná (nejsilnější) ($H_0 = -31,3$)



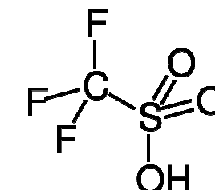
Magická kyselina (směs kyseliny fluorsírové a fluoridu antimoničného, molární poměr 1:1) ($H_0 = -19,2$)



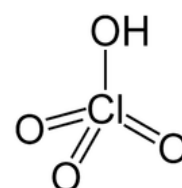
Kyselina fluorosírová ($H_0 = -15,1$)



Kyselina trifluormethansulfonová (triflic acid) ($H_0 = -14,9$)

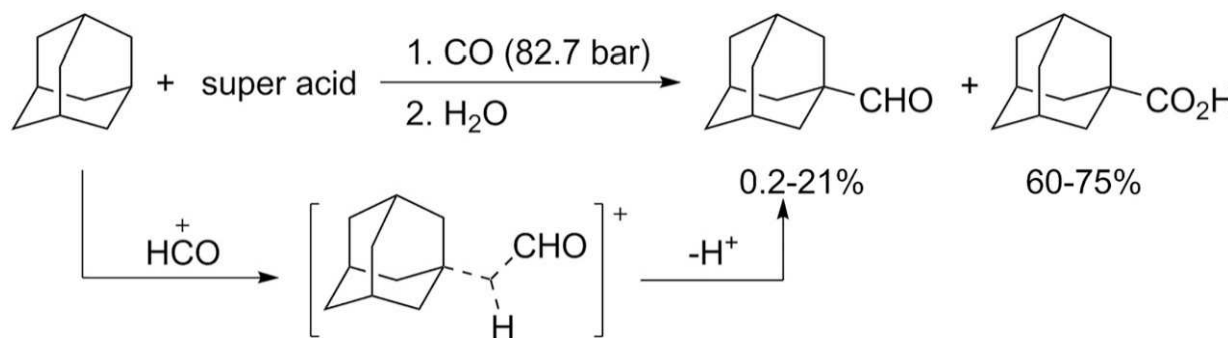
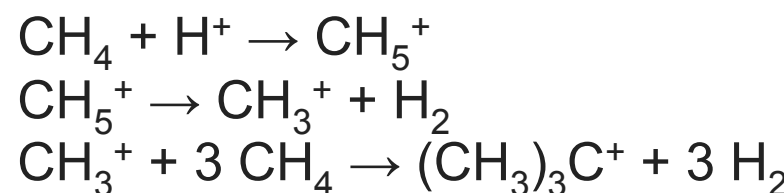
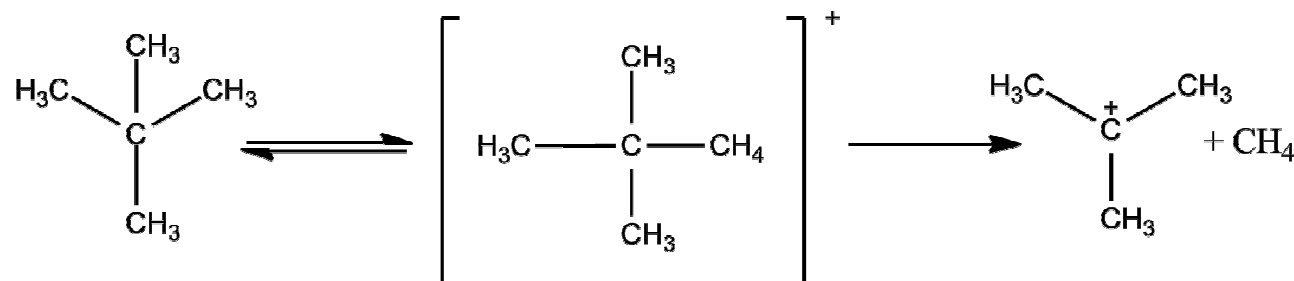


Kyselina chloristá ($H_0 = -13,0$)



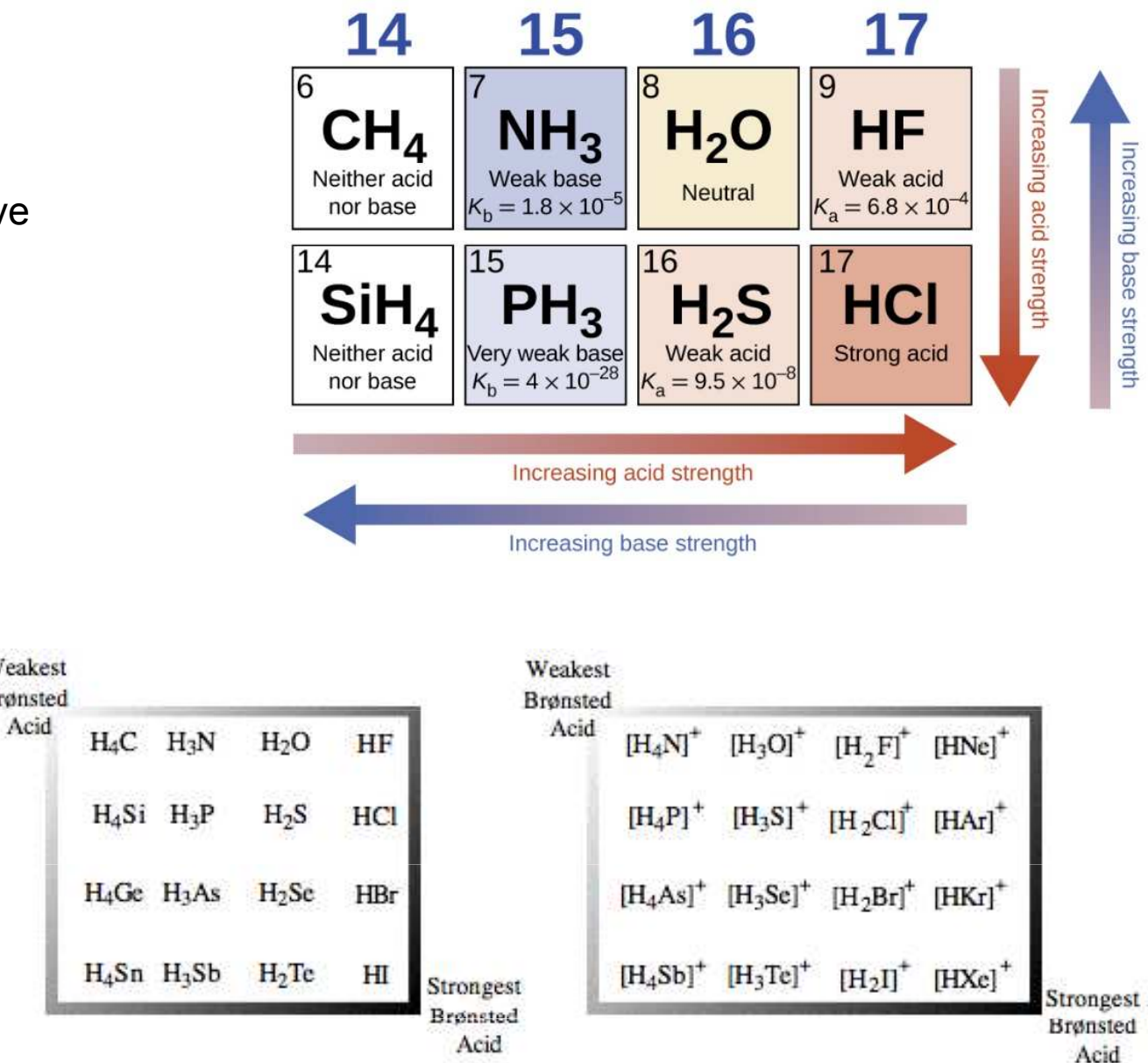
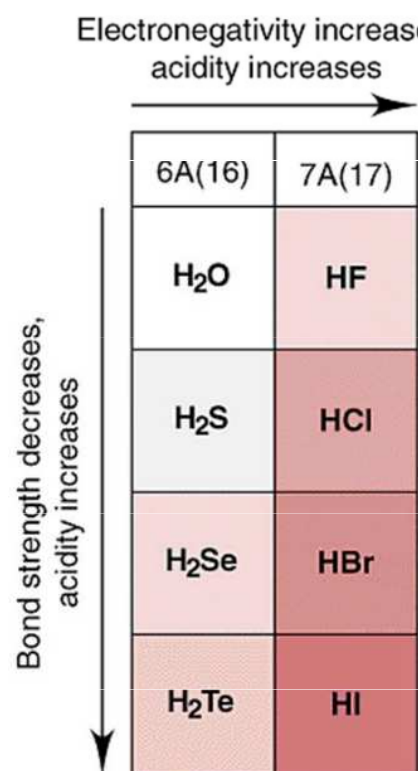
Superkyseliny

Superkyseliny jsou schopny esterifikace a mohou protonovat i neutrální molekuly (zejm. alkany):



Acidobazické chování hydridů

s atomovým číslem vzrůstá ve skupinách i periodách kyselý charakter hydridů



Acidity increases within a given row
(electronegativity effect)

	C	N	O	F
Hydride	(H ₃ C—H)	(H ₂ N—H)	(HO—H)	(F—H)
pK _a	48	38	15.7	3.2
	S	Cl		
	(HS—H)	(Cl—H)		
	7.0	-7		
	Se	Br		
	(HSe—H)	(Br—H)		
	3.9	-9		
	I			
	(I—H)			
	-10			

Acidity increases within a given column
(bond strength effect)

Ch. 3 - 46

Short pKa table

Functional group	Example	pKa
Alkane	CH ₄	~50
Amine	:NH ₃	~35
Alkyne	R—C≡H	25
Water	HO—H	16
Protonated amines	NH ₄ ⁺ Cl ⁻	10
Carboxylic acids	H ₃ C—COOH	5
Hydrochloric acid	HCl	-8

Weaker acid

Stronger acid

	K _a
H ₂ O	1 × 10 ⁻¹⁴
H ₂ S	1 × 10 ⁻⁷
H ₂ Se	2 × 10 ⁻⁴
H ₂ Te	2 × 10 ⁻³

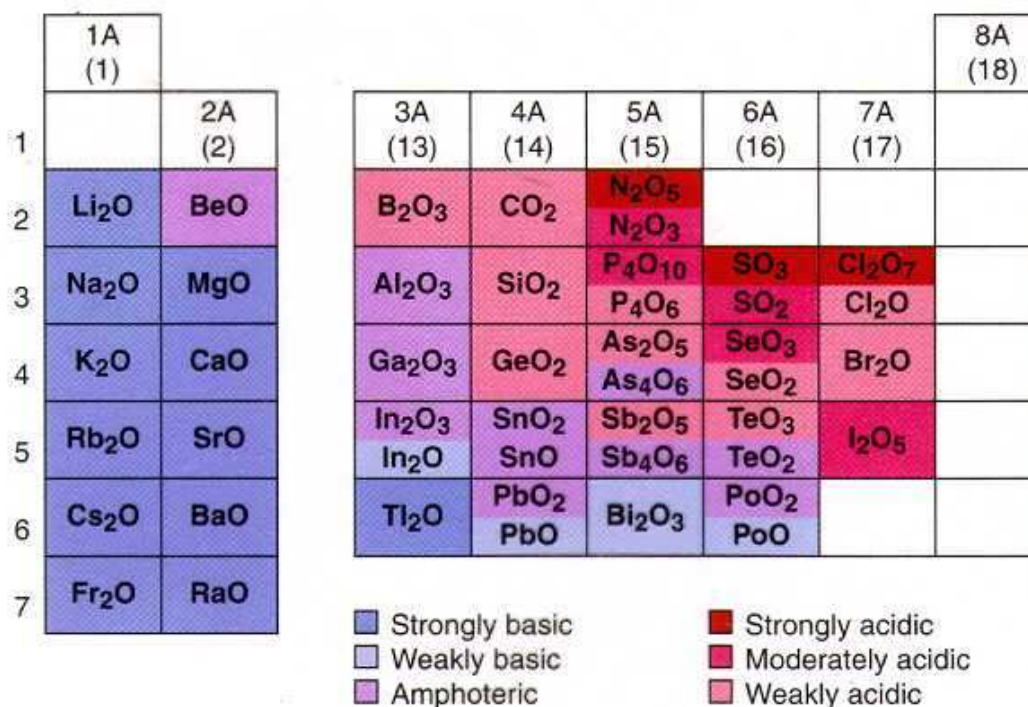
	K _a	pKa
HF	6.3 × 10 ⁻⁴	3.1
HCl	1.3 × 10 ⁶	-7
HBr	1.0 × 10 ⁹	-9
HI	3.2 × 10 ⁹	-10

Acidobazické chování oxidů

S atomovým číslem vzrůstá ve skupinách zásadotvorný/zásaditý charakter oxidů, hydroxidů, oxokyselin a klesá v periodách.

basicity increases	Li_2O	BeO	B_2O_3	CO_2	N_2O_5		F_2O
	Na_2O	MgO	Al_2O_3	SiO_2	P_4O_{10}	SO_3	Cl_2O_7
	K_2O	CaO	Ga_2O_3	GeO_2	As_2O_5	SeO_3	Br_2O
	Rb_2O	SrO	In_2O_3	SnO_2	Sb_2O_3	TeO_3	I_2O_5
	Cs_2O	BaO	Tl_2O_3	PbO_2	Bi_2O_3		

acidity increases \rightarrow



Acidobazické chování oxokyselin

Čím slabší je O-H vazba, tím silnější je kyselina. O-H vazba je oslabována rostoucí elektronegativitou centrálního atomu.

Zvýšení počtu atomu kyslíku vede ke zvýšení oxidačního čísla centrálního atomu. Vyšší oxidační číslo na centrálním atomu reprezentuje pozitivní náboj na atomu.

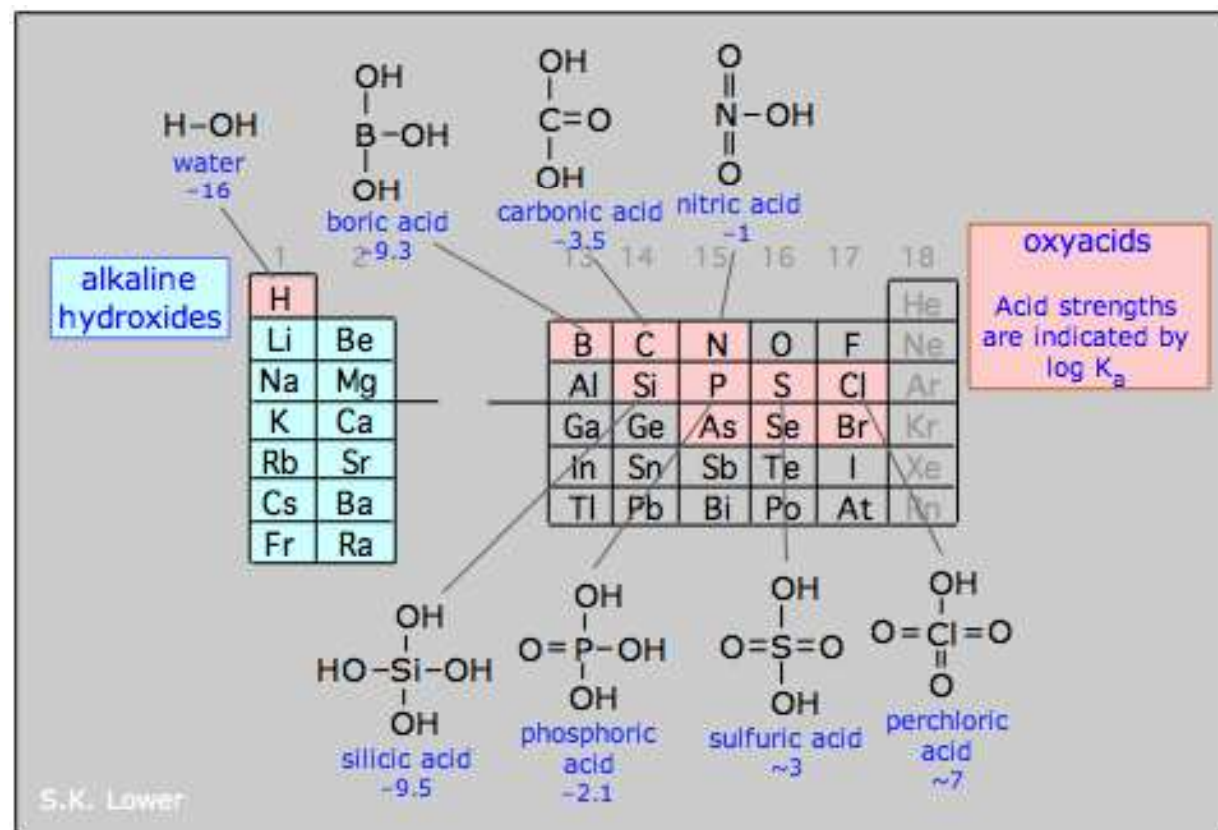
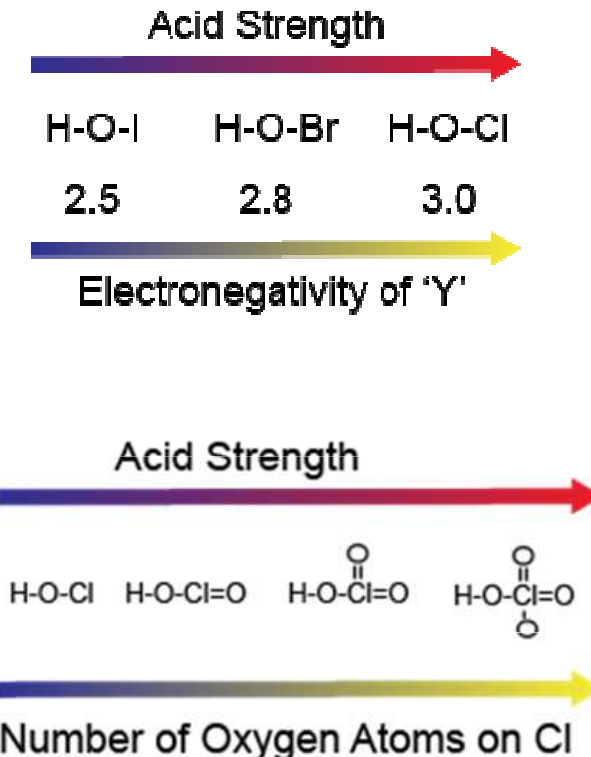
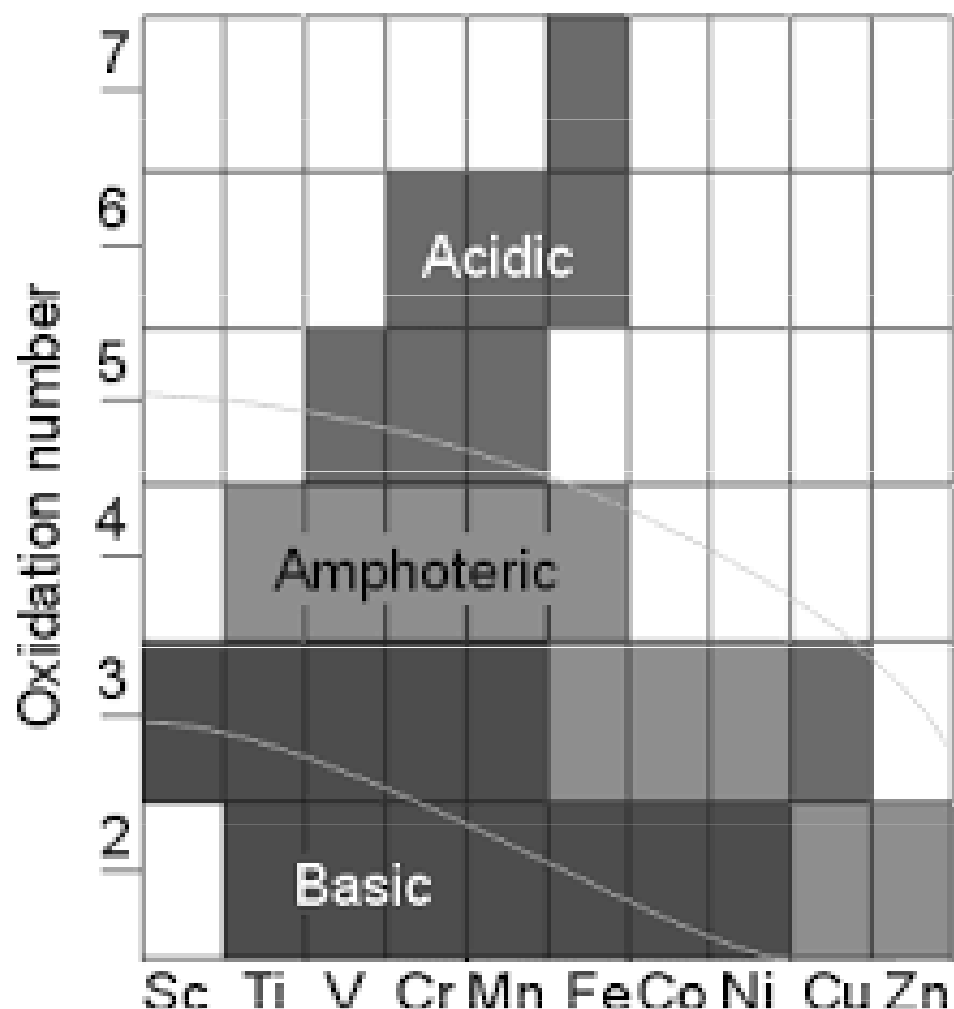


TABLE 16.6 Electronegativity Values (EN) of Y and Acid-Dissociation Constants (K_a) of the Hypohalous Acids, H—O—Y

Acid	EN of Y	K_a
HClO	3.0	3.0×10^{-8}
HBrO	2.8	2.5×10^{-9}
HIO	2.5	2.3×10^{-11}

Acid	Formula	Chlorine oxidation state	pK _a
Hypochlorous acid	HClO	+1	+7.5
Chlorous acid	HClO ₂	+3	+2.0
Chloric acid	HClO ₃	+5	-1.0
Perchloric acid	HClO ₄	+7	-10

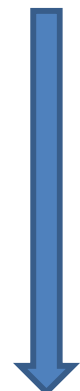


Pravidla pro predikci síly oxokyselin

Oxo skupiny zvyšují aciditu v důsledku delokalizace náboje na aniontu rezonancí.

Síla kyseliny roste s vyšším poměrem kyslíků vzhledem k vodíkům:

- HClO nejslabší
- HNO₂
- H₂CO₃
- H₂SO₄
- HNO₃
- HMnO₄ nejsilnější

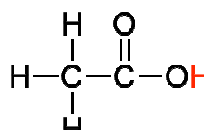


Oxoacids that have different central atoms which are from the same Group of the periodic table have increasing acid strength with **increasing electronegativity** of the central atom.

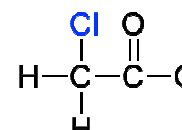
IV	V	VI	VII	VIII	
C	N	O	F	Ne	
Si	P	S			
Ge	As	Se			
Sn	Sb	Te			
Pb	Bi	Po			



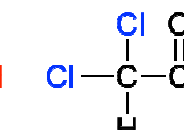
Vliv substituentu



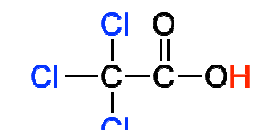
$$pK_a = 4.8$$



$$pK_a = 2.8$$



$$pK_a = 1.3$$



$$pK_a = 0.64$$

Vazebný řád vazeb v oxokyselinách

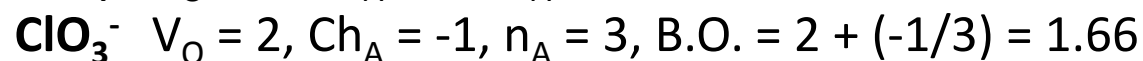
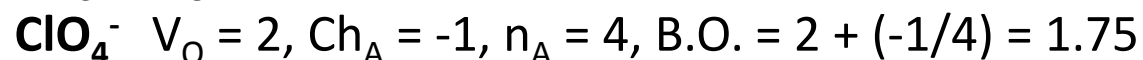
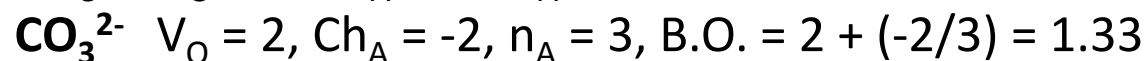
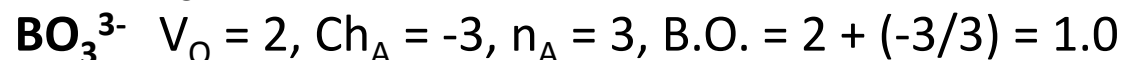
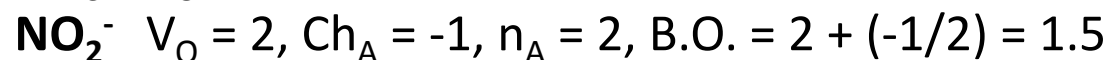
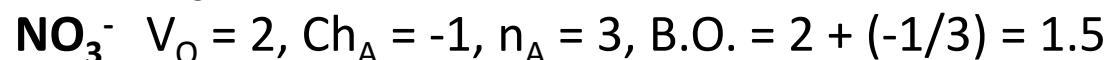
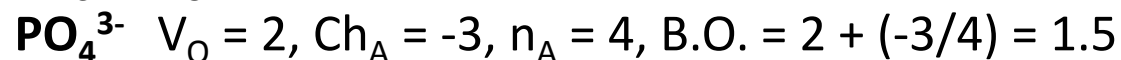
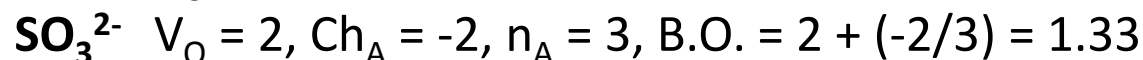
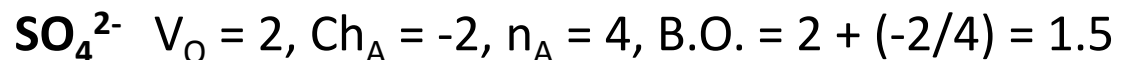
$$B.O. = Vx + Ch_A/n_A$$

Vx = valence vybraného periferního atomu



Ch_A = náboj aniontu

n_A = celkový počet periferních atomů



Pravidla pro odhad hodnot pK_a

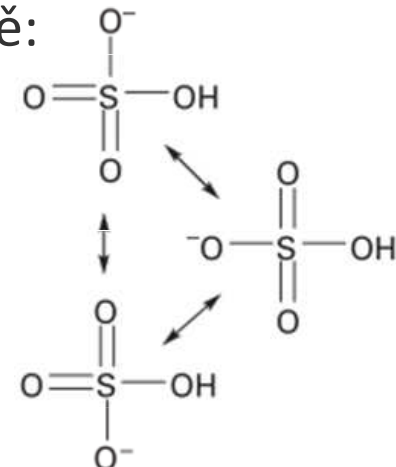
Paulingova pravidla

1. Pro oxokyseliny $O_pE(OH)_q$ hodnota $pK_a \approx 8 - 5p$
2. Pro každý následující stupeň disociace polyprotických kyselin (pro $q > 1$) se hodnota pK_a zvýší o 5 jednotek.

To dovoluje vysvětlit pokles acidity oxokyselin chloru v řadě:



Obdobně platí: $H_2SO_4 > H_2SO_3$ a $HNO_3 > HNO_2$.



Příklad



1. vzorec kyseliny: $O_2Se(OH)_2$
2. pK_a do prvního stupně (disociován jeden proton) podle Paulingových pravidel:

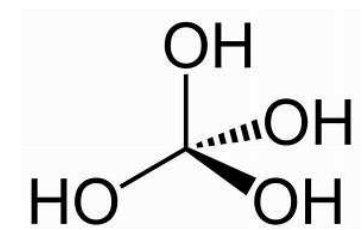
$$pK_a = 8 - 5*2 = -2 \text{ (experimentální hodnota: -3)}$$

3. pK_a do druhého stupně (disociovány oba protony) je tedy $-2 + 5 = 3$ (experimentální hodnota: 1.9).

Mnoho oxidů nekovů a některé oxidy kovů po rozpuštění ve vodě nepřecházejí kompletně na kyselinu. Odchylky od Paulingových pravidel umožňují tyto skutečnosti odhalit.

Příklad

Rozpuštěním CO_2 ve vodě vzniká kyselina uhličitá, jejíž experimentální hodnota $\text{pK}_a = 6.4$, zatímco pravidla predikují hodnotu $\text{pK}_a = 3$. Chyba je v předpokladu, že veškerý CO_2 rozpuštěný ve vodě existuje jako kyselina uhličitá, ve skutečnosti je to pouze 1 - 2 %.



Ricciho pravidla



$$\text{pK}_a = 8 - 9m - 4n$$

$$n = a - b$$

kde m je formální náboj (oxidační číslo) centrálního atomu, n je počet ne-hydroxylových kyslíků ve vzorci kyseliny.



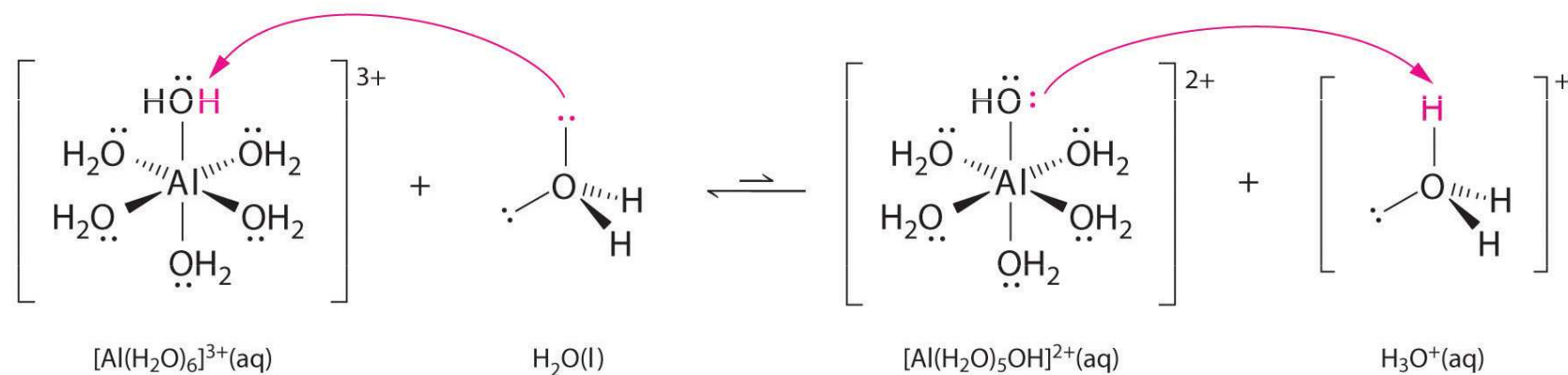
$$\text{pK}_a = 2.1 + 4.9(n - 1), \text{ kde } n = 1, 2, 3 \text{ pro } K_1, K_2, K_3$$

$X(OH)_m$	pKa	$XO(OH)_m$	pKa	$XO_2(OH)_m$	pKa	$XO_3(OH)_m$	pKa
ClOH	7,2	ClOOH	2	ClO ₂ OH	-1,0	ClO ₃ OH	-10
BrOH	8,7						
I OH	10	IO(OH) ₅	1,6	IO ₂ OH	0,8		
		SO(OH) ₂	1,9	SO ₂ (OH) ₂	-3		
		SeO(OH) ₂	2,6				
		TeO(OH) ₂	2,7				
		NOOH	3,3	NO ₂ OH	-1,4		
		PO(OH) ₃	2,1				
		AsO(OH) ₃	2,3				
Sb(OH) ₃	11						
		CO(OH) ₂	3,9				
Si(OH) ₄	10						
Ge(OH) ₄	8,6						
Ti(OH) ₄	8,8						
B(OH) ₃	9,2						
Al(OH) ₃	9,2						

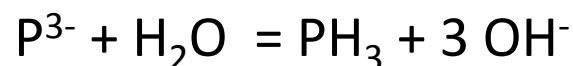
Polarizace iontů a acidobazické vlastnosti

S klesající stabilitou iontů, tj. se vzrůstající polarizační silou kationtu a polarizovatelností aniontu se zvyšuje kovalentní charakter (prvky s vysokým oxidačním číslem neexistují jako ionty, ale jsou součástí kovalentních molekul), roste míra hydratace a hydrolýzy, resp. tvorby komplexů (= snaha rozprostřít svůj náboj na větší povrch).

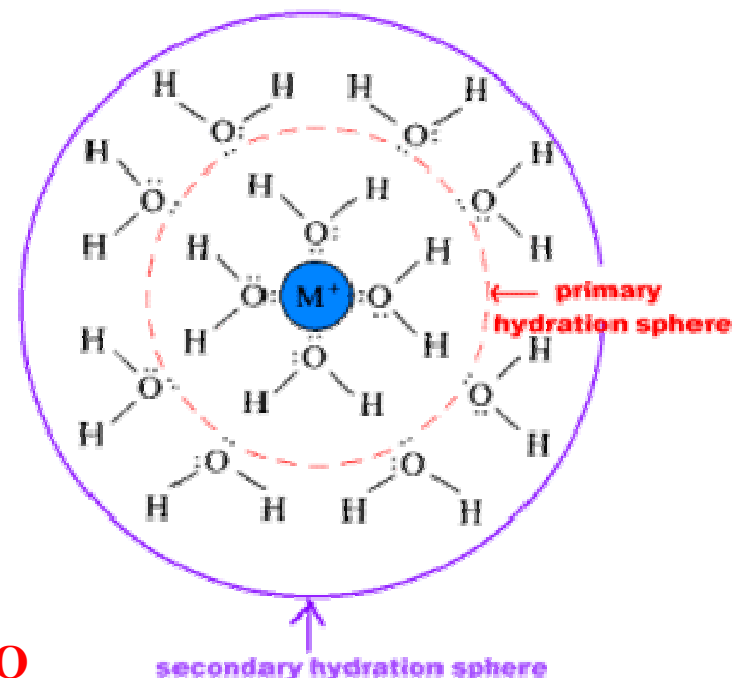
1) Nestabilní kationty vytvářejí ve vodném prostředí aquakationty, které reagují jako bronstedovské kyseliny



2) Nestabilní anionty budou vázat protony z molekul vody, vodné roztoky těchto aniontů proto budou reagovat zásaditě.



Kyselé a zásadité ionty přitahují silně molekuly vody v primární hydratační sféře, což vede k silnějšímu poutání molekul i vně této sféry a tvorbu sekundární, případně dalších hydratačních sfér.



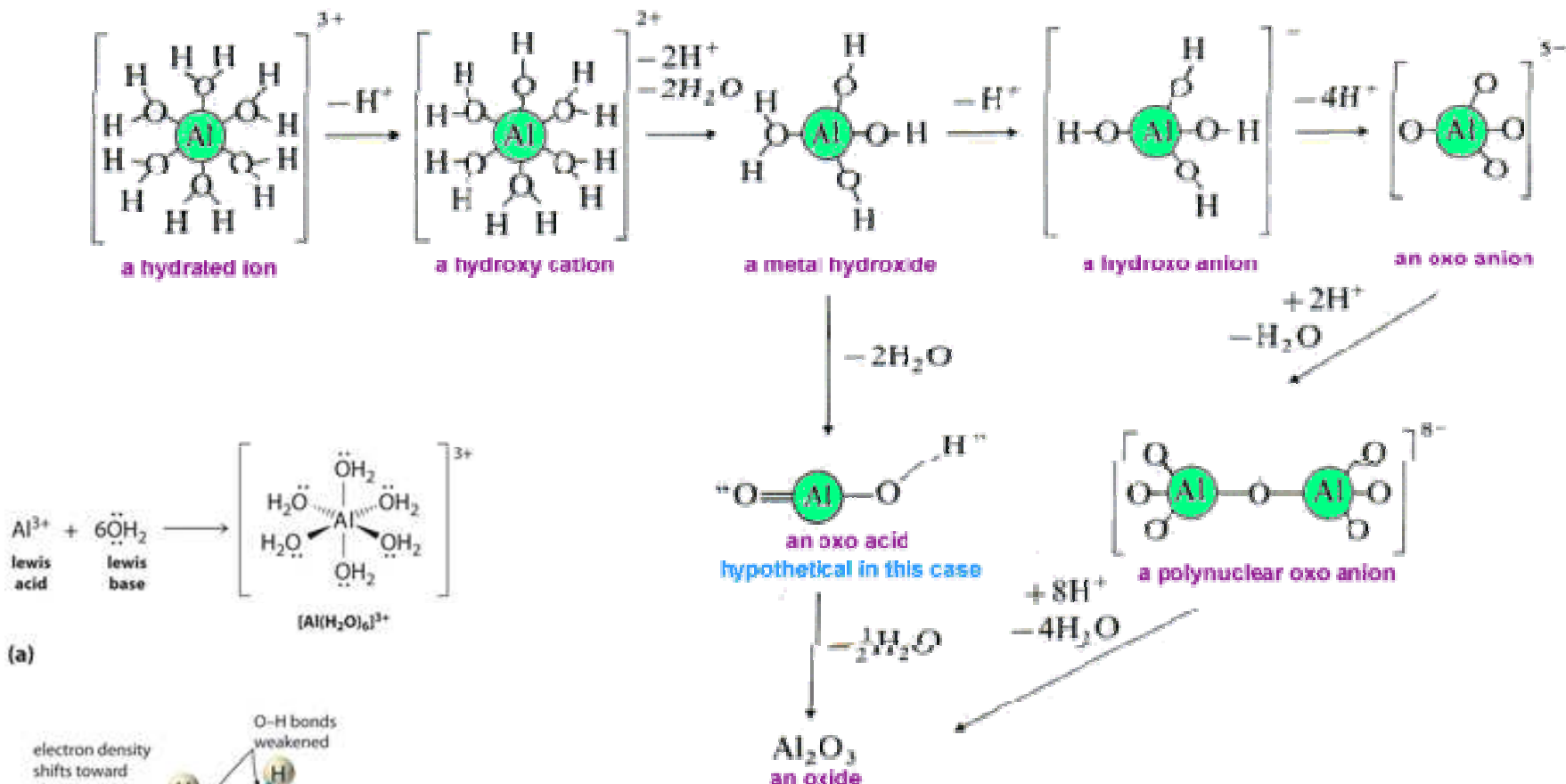
Hydration Numbers and Hydrated Radii of Some Hydrated Ions

Ion	Z^2/r	Hydration Number	Hydrated Radius (pm)
Cs^+	0.0055	6	228
K^+	0.0066	7	232
Na^+	0.0088	13	276
Li^+	0.0111	22	340
Ba^{2+}	0.0268	28	
Sr^{2+}	0.0303	29	
Ca^{2+}	0.0351	29	
Mg^{2+}	0.0465	36	
Cd^{2+}	0.0549	39	
Zn^{2+}	0.0599	44	

SOURCES: Hydration numbers from A. T. Rutgers and Y. Hendriks, *Trans. Faraday Soc.*, 58, 2184 (1962). Hydrated radii from R. P. Hanzlik, *Inorganic Aspects of Biological and Organic Chemistry*, Academic Press, New York, 1976, p. 31.

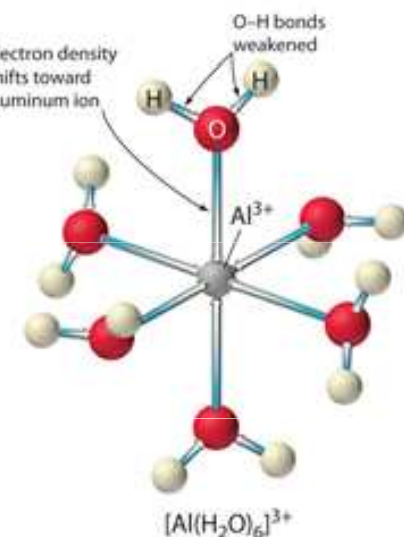
NOTE: Z^2/r ratios corrected for electronegativity using equation (2.11).

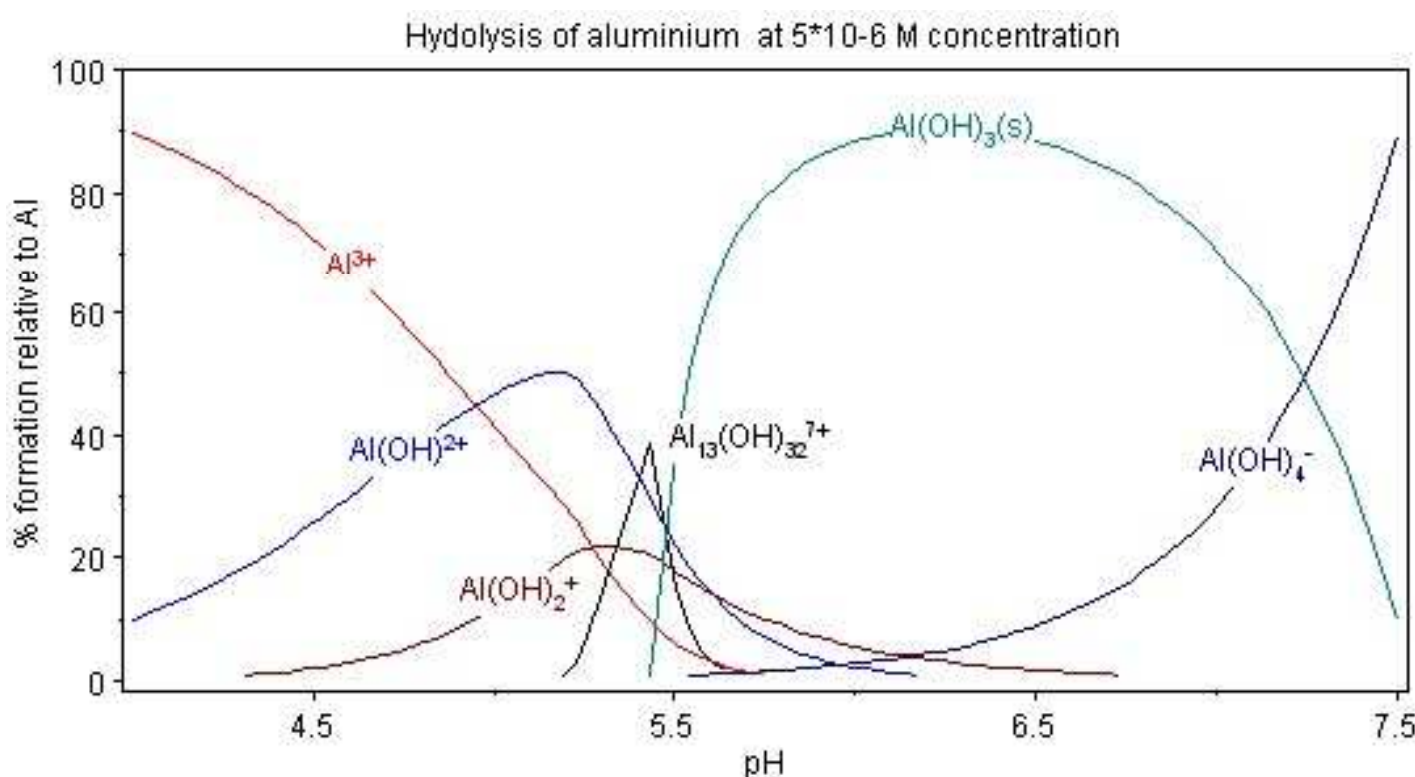
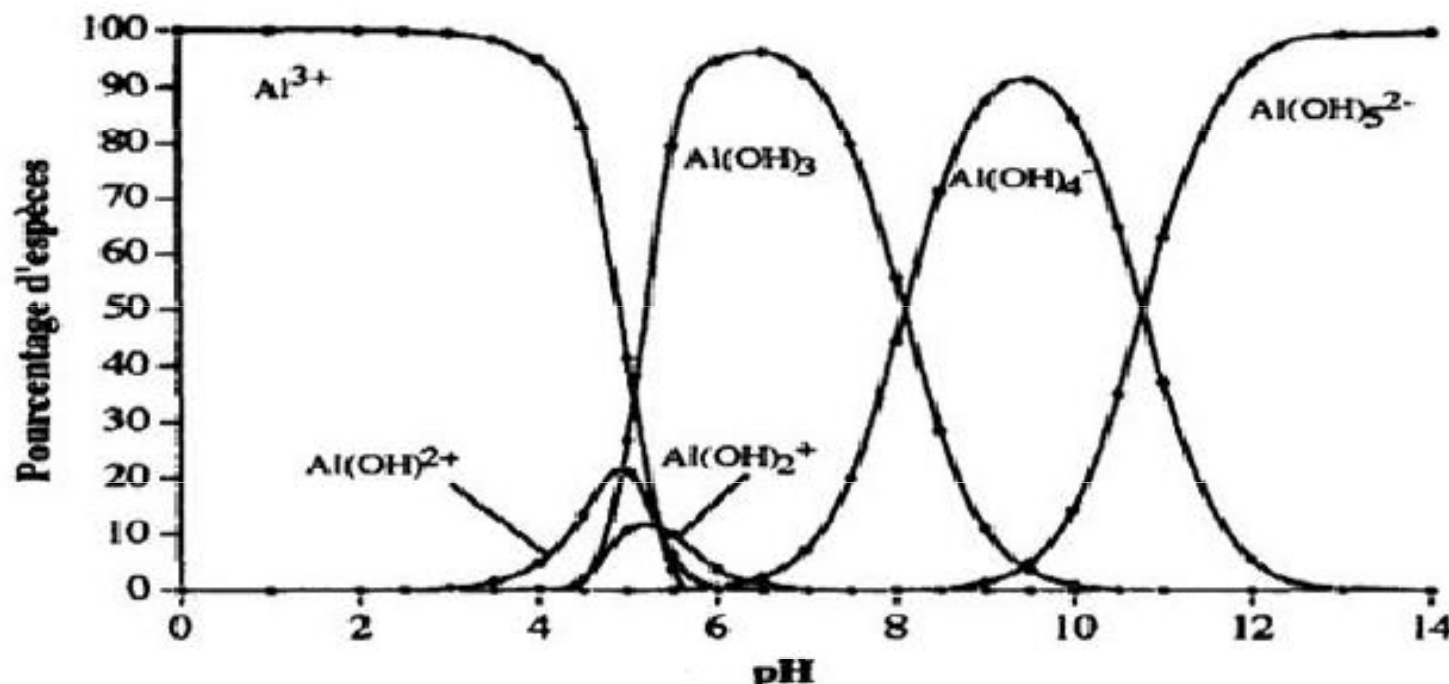
Higher pH (more basic solutions)
or, more acidic cations (at a given pH)

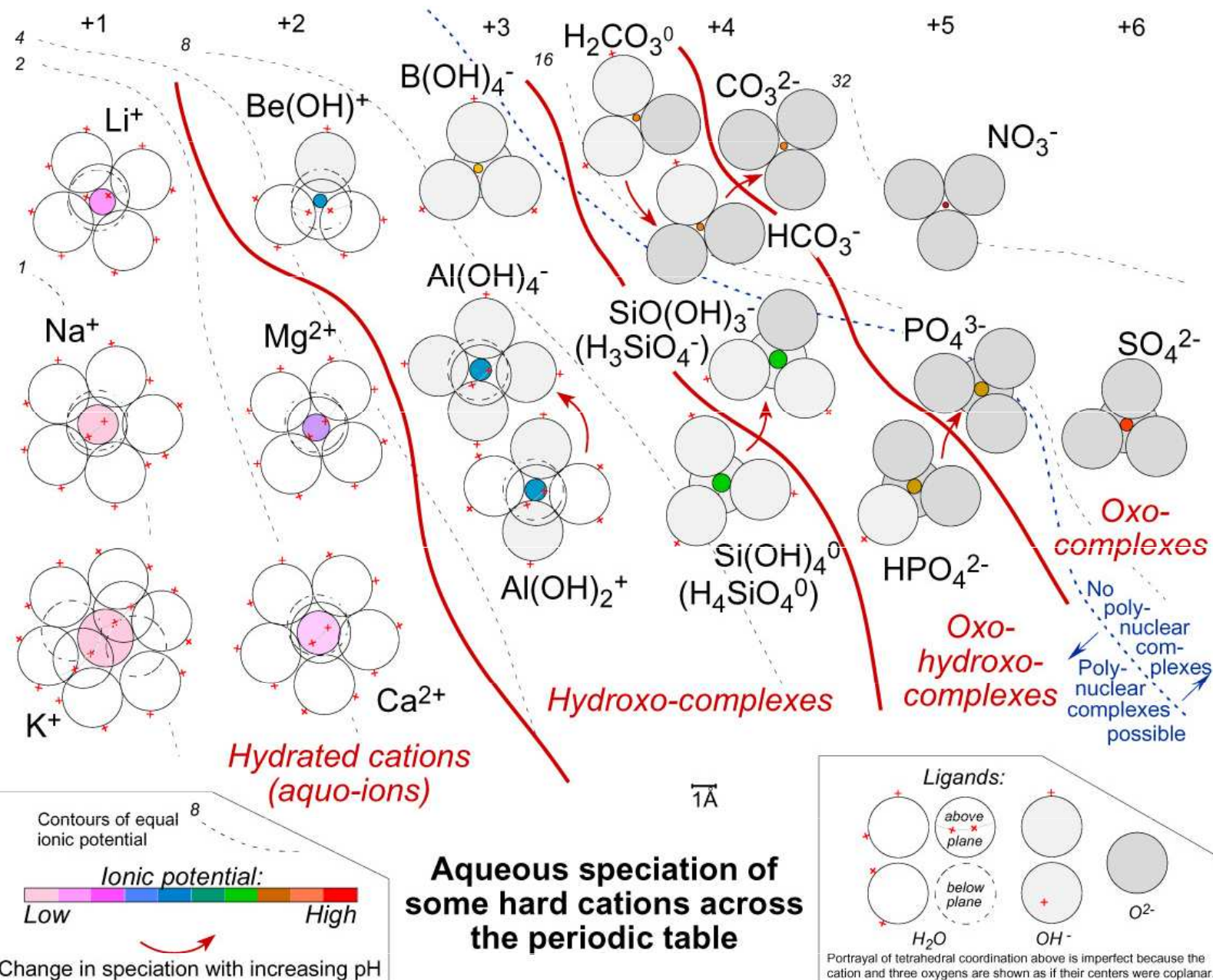


pH při kterém se sráží hydroxid:

$$pH = pK_a - \left(\frac{1}{z} \right) \log [M^{z+}] - \frac{5.6}{z}$$







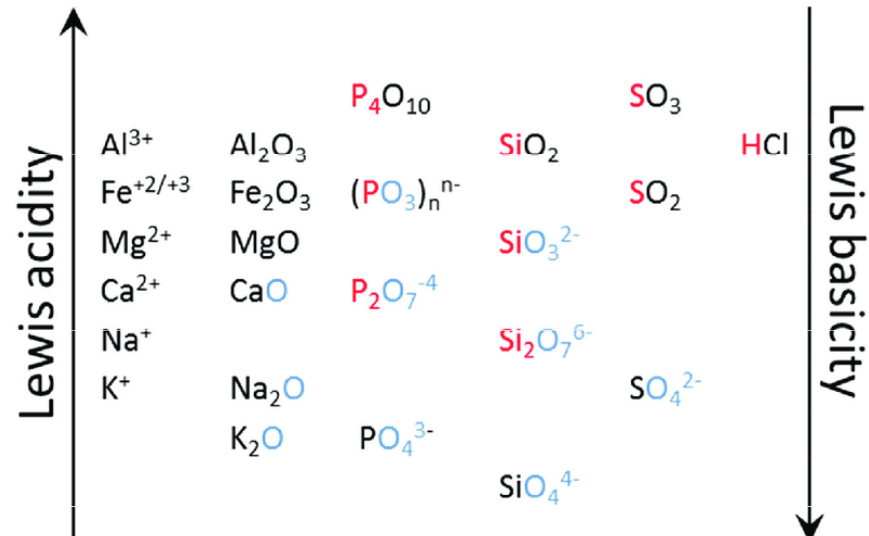
Nº	Type of salt is involved in hydrolysis	Mechanism of hydrolysis	Cations types	Anions types
1	A salt formed between a strong acid and a strong base is an neutral salt	No hydrolysis (pH=7)	Strong base cations Na ⁺ , K ⁺ , Rb ⁺ , Cs ⁺ , Ca ²⁺ , Sr ²⁺ , Ba ²⁺	Strong acid anions Cl ⁻ , Br ⁻ , I ⁻ , NO ₃ ⁻ , SO ₄ ²⁻ , ClO ₄ ⁻
2	A salt formed between a strong acid and a weak base is an acid salt	Cationic hydrolysis (pH<7)	Weak base cations Insoluble in water base cations: NH ₄ ⁺ , Ag ⁺ , Cu ²⁺ , Zn ²⁺ , Al ³⁺ , Cr ³⁺ and others	Strong acid anions Cl ⁻ , Br ⁻ , I ⁻ , NO ₃ ⁻ , SO ₄ ²⁻ , ClO ₄ ⁻
3	A salt formed between a weak acid and a strong base is a basic salt	Anionic hydrolysis (pH>7)	Strong base cations Na ⁺ , K ⁺ , Rb ⁺ , Cs ⁺ , Ca ²⁺ , Sr ²⁺ , Ba ²⁺	Weak acid anions F ⁻ , CH ₃ COO ⁻ , CN ⁻ , NO ₂ ⁻ , S ²⁻ , CO ₃ ²⁻ , SiO ₃ ²⁻ , SO ₃ ²⁻ , PO ₄ ³⁻
4	A salt formed between a weak acid and a weak base can be neutral, acidic, or basic depending on the relative strengths of the acid and base.	Cationic-anionic hydrolysis (pH≈7)	Weak base cations Insoluble in water base cations: NH ₄ ⁺ , Ag ⁺ , Cu ²⁺ , Zn ²⁺ , Al ³⁺ , Cr ³⁺ and others	Weak acid anions F ⁻ , CH ₃ COO ⁻ , CN ⁻ , NO ₂ ⁻ , S ²⁻ , CO ₃ ²⁻ , SiO ₃ ²⁻ , SO ₃ ²⁻ , PO ₄ ³⁻

The effect of the charge on the metal ion on acidity:

The higher the charge on metal ions of about the same size, the more acidic will the metal ion be:

Metal ion:	Na^+	Ca^{2+}	La^{3+}	Th^{4+}
Ionic radius (\AA):	1.02	1.00	1.03	0.94
pK_a :	14.1	12.7	8.5	3.2
$\log K_1(\text{OH}^-)$:	-0.1	1.3	5.5	10.6

increasing metal ion charge



increasing metal ion acidity

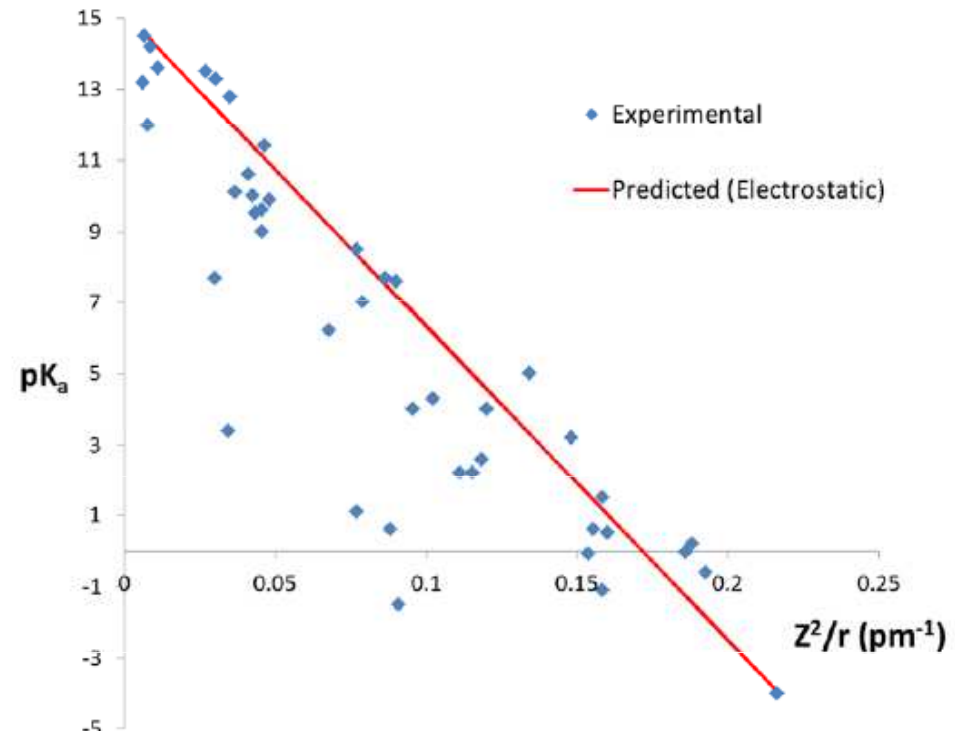
Metal ion	Ni^{2+}	Cu^{2+}	Zn^{2+}	Ag^+	Cd^{2+}	Ba^{2+}	Ce^{3+}	Hg^{2+}	Pb^{2+}	Bi^{3+}
$r / \text{\AA}$	0.69	0.72	0.74	1.26	0.97	1.34	1.034	1.10	1.32	0.96
ρ	1.45	1.28	1.18	0.12	0.52	0.20	0.65	0.36	0.21	0.81

Metal ion	Na^+	Mg^{2+}	Al^{3+}	K^+	Ca^{2+}	Cr^{3+}	Mn^{2+}	Fe^{3+}	Fe^{2+}	Co^{2+}
$r / \text{\AA}$	0.97	0.66	0.535	1.33	0.99	0.69	0.80	0.55	0.74	0.72
ρ	0.26	1.66	4.68	0.10	0.49	2.18	0.93	4.30	1.18	1.28

pK_a kovových iontů ve vodných roztocích

Wulfsbergův vzorec:

$$pK_a = 15.14 - 88.16(Z^2/r)$$



Relationship between Z^2/r Ratios and Acidity of Metal Ions

Z ² /r Ratio	χ_p	Category	pK _a Range	Examples
0.00–0.01	<1.8	Nonacidic cations	14–15	Most +1 ions of the s-block
0.00–0.01	>1.8	Feebly acidic cations	11.5–14	Tl ⁺
0.01–0.04	<1.8	Feebly acidic cations	11.5–14	Most +2 ions of the s- and f-block
0.01–0.04	>1.8	Weakly acidic cations	6–11.5	Most +2 ions of the d-block
0.04–0.10	<1.8	Weakly acidic cations	6–11.5	All +3 ions of the f-block
0.04–0.10	>1.8	Moderately acidic cations	1–6	Most +3 ions of the d-block
0.10–0.16	<1.8	Moderately acidic cations	1–6	Most +4 ions of the f-block
0.10–0.16	>1.8	Strongly acidic cations	(−4)–1	Most +4 ions of the d-block
0.16–0.22	<1.8	Strongly acidic cations	(−4)–1	
0.16 and up	>1.8	Very strongly acidic cations	<(−4)	
0.22 and up	<1.8	Very strongly acidic cations	<(−4)	

Note: The electronegativities of the p-block elements vary too greatly to allow their inclusion in one category of "cation."

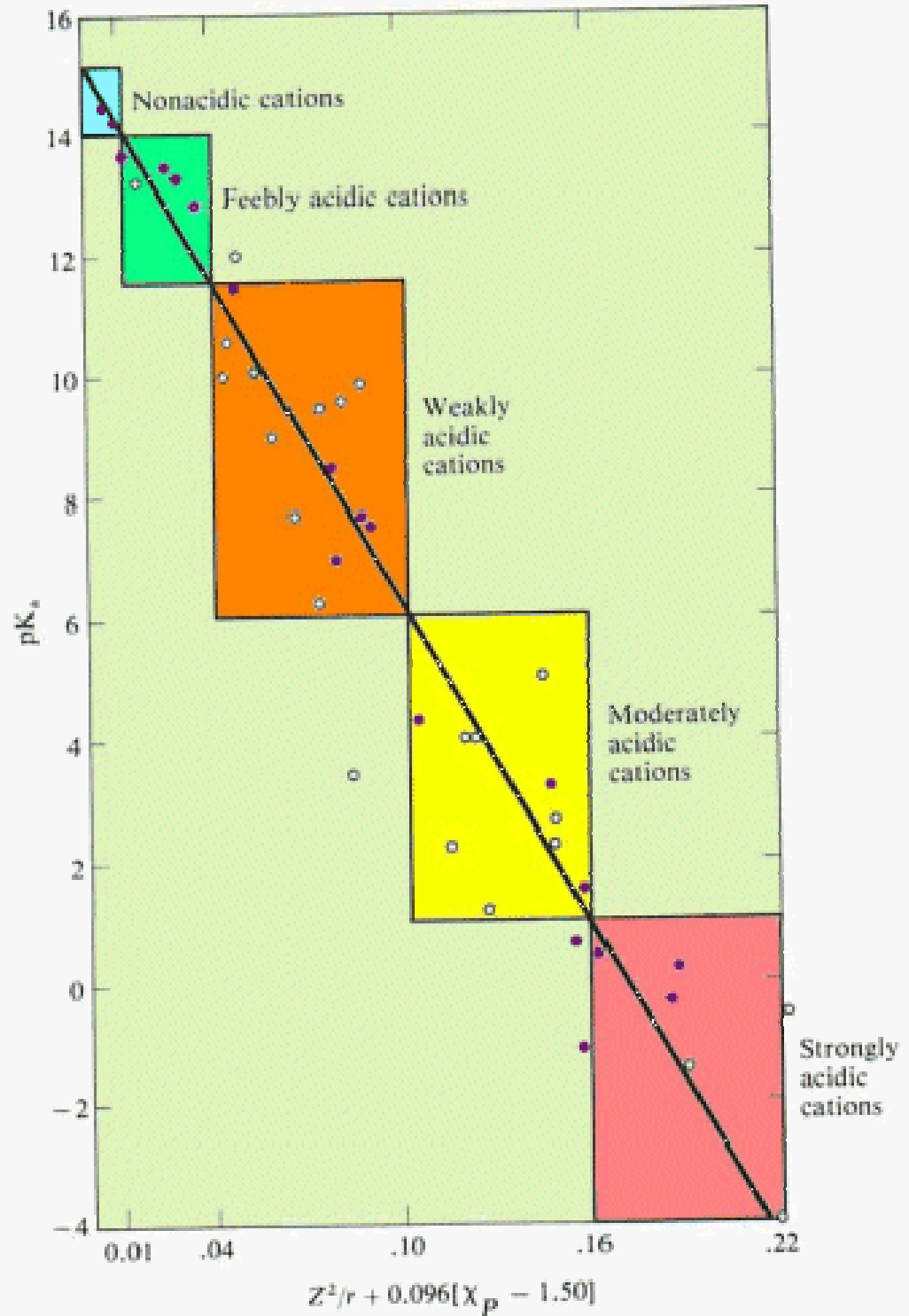
Vliv elektronegativity

Kationy prvků s elektronegativitami většími než 1.5 mají menší hodnoty pK_a (jsou více kyselé) než ionty ostatních prvků obdobného náboje a velikosti.

Wulfsbergův vzorec:

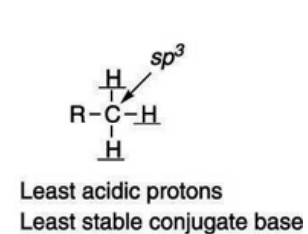
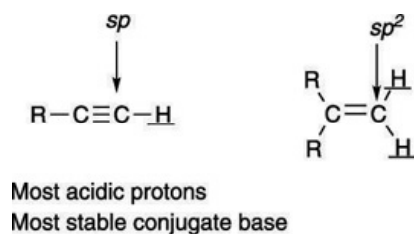
$$pK_a = 15.14 - 88.16[(Z^2/r) + 0.096(EN - 1.50)]$$

Platí jen pro prvky jejichž Paulingova elektronegativita je větší než 1,5



Hybridizace a acidobazické vlastnosti

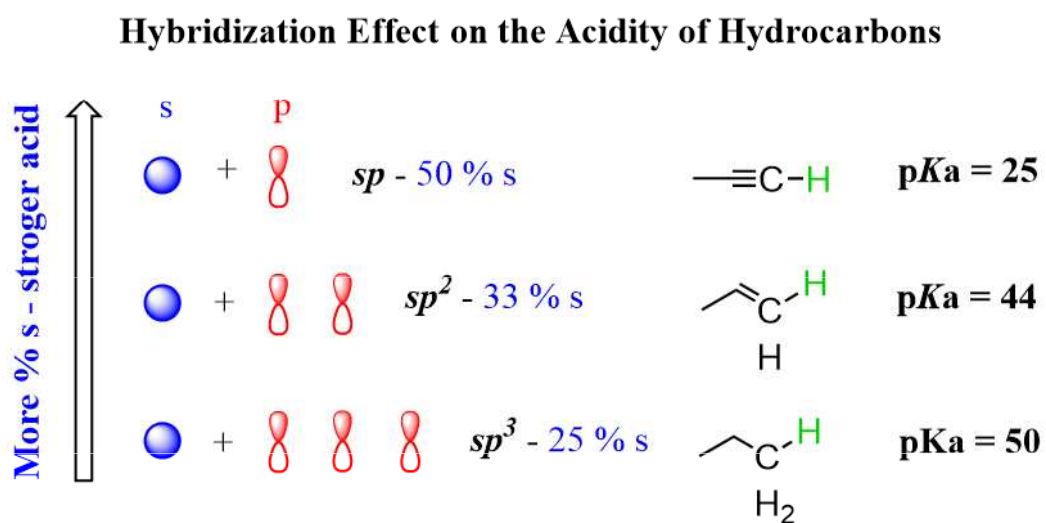
Se zvyšujícím se s-charakterem hybridního orbitalu uhlíku dochází u ke zvýšení kyselosti vodíkového atomu v příslušné C-H vazbě (zvyšuje se elektronegativita atomu C).



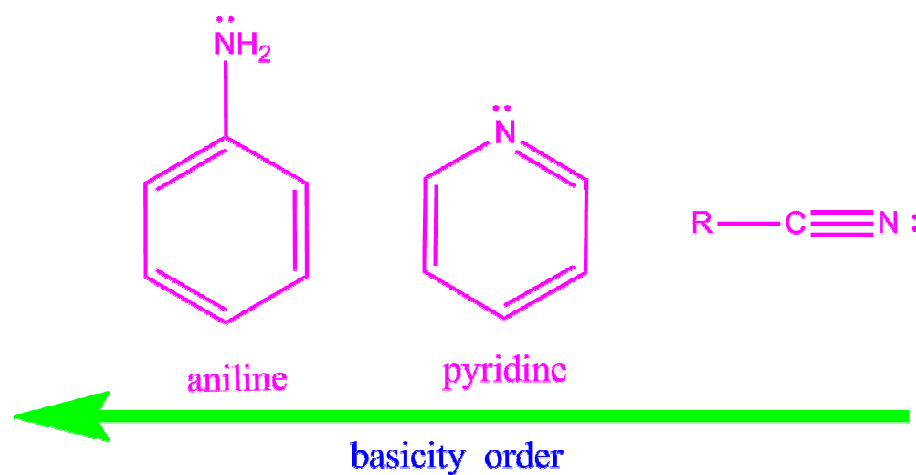
molecules	CH_4 methane	$\text{H}_2\text{C}=\text{CH}_2$ ethylene	$\text{HC}\equiv\text{CH}$ acetylene
hybrid orbitals of carbon	sp ³	sp ²	sp
% of s character	25%	33%	50%
electronegativity	2.48	2.75	3.29

$\text{CH}_4 < \text{C}_2\text{H}_4 < \text{C}_2\text{H}_2$

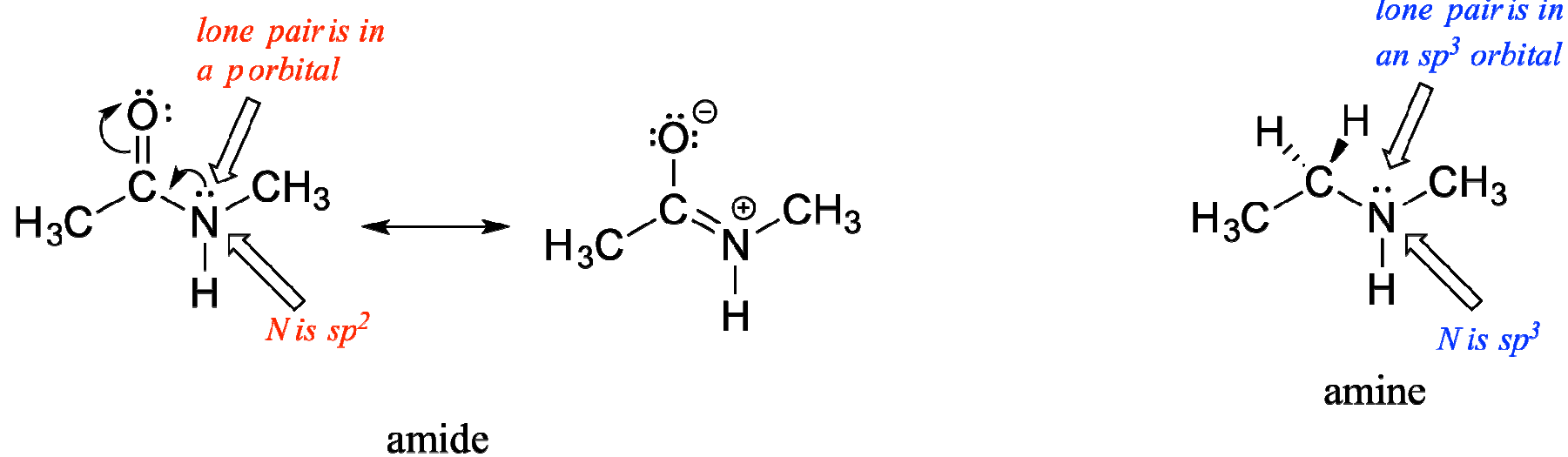
acidity order



Se zvyšujícím se p-charakterem hybridního orbitalu dusíku dochází u ke zvýšení bazicity v příslušné N-H vazbě.



hybridization of N-atom	sp ³	sp ²	sp
s character	25%	33%	50%



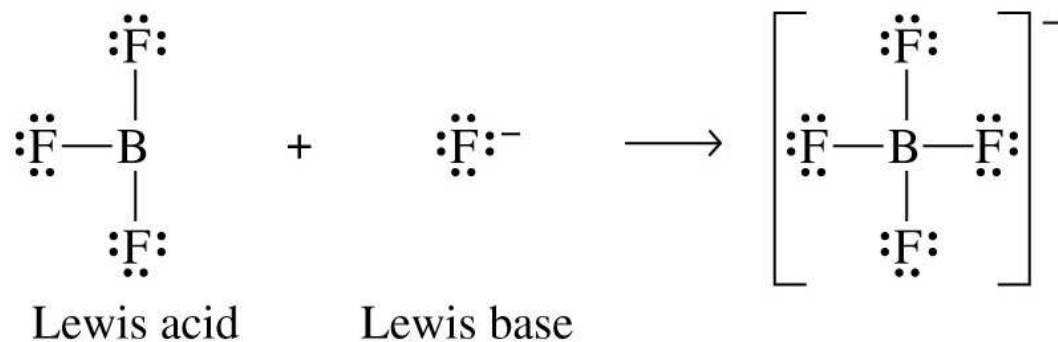
Lewisova teorie

Ize ji aplikovat i na sloučeniny, které neobsahují kyselý proton.

Kyselina = každá částice, která je akceptorem volného elektronového páru. Jako Lewisovy kyseliny lze chápat také kationty, včetně protonu.

Např. kationty, molekuly s násobnými vazbami na centrálním atomu, molekuly s volnými d-orbitaly na centrálním atomu nebo elektronově deficitní molekuly. Tyto částice jsou schopny přijmout volný elektronový pár jiné částice (báze), tím se vytvoří donor-akceptorní vazba.

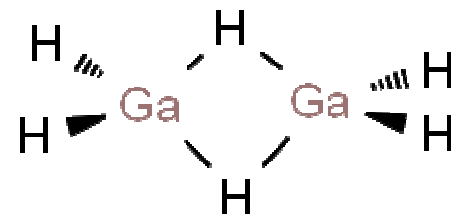
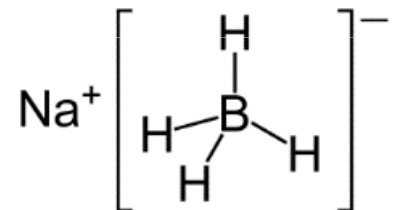
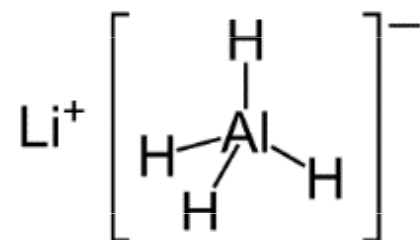
Báze (zásada) = každá částice, která je donorem volného elektronového páru. Jako Lewisovy báze lze chápat také anionty a neutrální ligandy.



Lewis acids	Lewis bases
Electron deficient molecules such as BF_3 , AlCl_3 , BeF_2 etc...	Molecules with one (or) more lone pairs of electrons. NH_3 , H_2O , R-O-H , R-O-R , R-NH_2
All metal ions Examples: Fe^{2+} , Fe^{3+} , Cr^{3+} , Cu^{2+} etc...	All anions F^- , Cl^- , CN^- , SCN^- , SO_4^{2-} etc...
Molecules that contain a polar double bond Examples : SO_2 , CO_2 , SO_3 etc...	Molecules that contain carbon – carbon multiple bond Examples: $\text{CH}_2=\text{CH}_2$, $\text{CH}\equiv\text{CH}$ etc...
Molecules in which the central atom can expand its octet due to the availability of empty d – orbitals Example: SiF_4 , SF_4 , FeCl_3 etc..	All metal oxides CaO , MgO , Na_2O etc...
Carbonium ion $(\text{CH}_3)_3\text{C}^+$	Carbanion CH_3^-

Lewisova teorie

		H ₂							He
		BH ₃	CH ₄	NH ₃	H ₂ O	HF	Ne		
		AlH ₃	SiH ₄	PH ₃	H ₂ S	HCl	Ar		
		GaH ₃	GeH ₄	AsH ₃	H ₂ Se	HBr	Kr		
		InH ₃	SnH ₄	SbH ₃	H ₂ Te	HI	Xe		
CsH		Lewis acid		Lewis base					
		Lewis acid/base complex							



Teorie Lewisových tvrdých a měkkých kyselin a zásad ("hard and soft (Lewis) acids and bases", HSAB)

Pearson 1963

„**Tvrdý**“ = daná částice je malá, má vysoký náboj (kritérium náboje se vztahuje zejména ke kyselinám, k zásadám jen v menší míře), a není, nebo je jen slabě, polarizovatelná.

„**Měkký**“ naopak znamená velký poloměr, malý náboj a velkou polarizovatelnost.

vlastnost	HA	SA	HB	SB
elektronegativita	0,7-1,6	1,9-2,5	2,1-3,0	3,4-4,0
iontový poloměr [pm]	< 90	> 90	> 170	~ 120
náboj	$\geq +3$	$\leq +2$		

Tvrdé Lewisovy kyseliny (HA) mají malý iontový poloměr, vysoký pozitivní náboj, bývají silně solvatovány, mají prázdné orbitaly ve valenční sféře (přechodné kovy z počátku 3d řady mají tendenci být silnými Lewisovými kyselinami) a vysokou energii nejnižšího neobsazeného molekulového orbitalu (LUMO).

Příklady: H^+ , kationty alkalických kovů (Li^+ , Na^+ , K^+ ad.), Be^{2+} , Mg^{2+} , Al^{3+} , Fe^{3+} , Cr^{3+} , Ta^{5+} , Cr^{6+} , Ti^{4+} , BF_3 , karbokation R_3C^+

Měkké Lewisovy kyseliny (SA) mají velké iontové poloměry, nízký pozitivní náboj, zaplněné atomové orbitaly (přechodné kovy z konce 4d a 5d série s téměř zaplněnými d-orbitaly, s náboji +1 nebo +2) s nízkou energií nejnižšího neobsazeného molekulového orbitalu (LUMO).

Příklady: Hg^{2+} , Hg_2^{2+} , Pt^{4+} , Pd^{2+} , Ag^+ , BH_3 , *p*-chloranil, ryzí kovy (v oxidačním stavu 0)

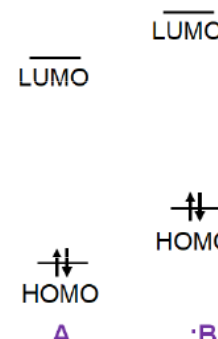
Tvrdé Lewisovy zásady (HB) mají malé iontové poloměry, bývají silně solvatovány, jsou vysoko elektronegativní, slabě polarizovatelné a mají vysokou energii nejvyššího obsazeného molekulového orbitalu (HOMO).

Příklady: kyslíkaté ionty (OH^- , O^{2-} , RO^-), malé halogenidové anionty (F^- , Cl^-), RCOO^- , CO_3^{2-} , hydrazin, azan,

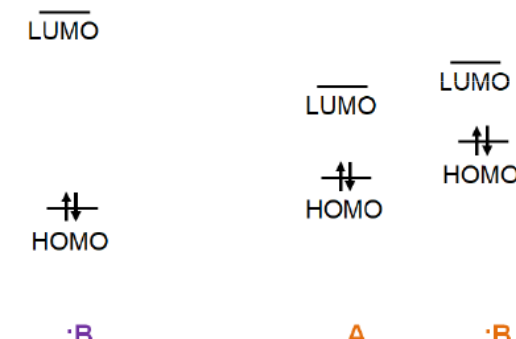
Měkké Lewisovy zásady (SB) mají velké atomové poloměry, středně velké hodnoty elektronegativity, jsou silně polarizovatelné a mají nízkou energii nejvyššího obsazeného molekulového orbitalu (HOMO).

Příklady: H^- , S^{2-} , Se^{2-} , I^- , PH_3 , CN^- , SCN^- , CO , benzen

Typical Frontier Orbitals for Hard Acids and Bases

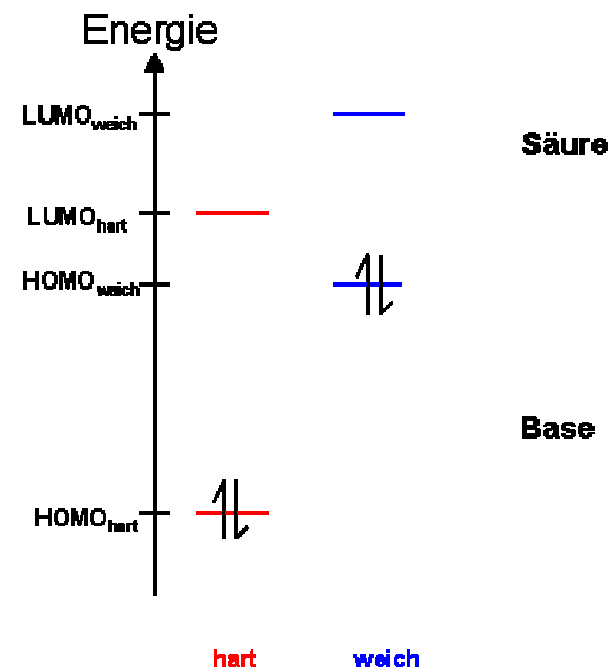


Typical Frontier Orbitals for Soft Acids and Bases



HARD-SOFT ACIDS & BASES CHARACTERISTICS & DIFFERENCES

HARD ACID	SOFT ACID
Small ionic radius High positive charge Low electronegativity High energy LUMO	Large ionic radius Low positive charge Intermediate electronegativity Low energy LUMO
HARD BASE	SOFT BASE
Small radius High electronegativity Weak polarizability High energy HOMO	Large radius Intermediate electronegativity High polarizability Low energy HOMO



Hard acid	Soft acid	Hard base	Soft base
Small size, high positive charge, not easily distorted, polarized $\text{H}^+, \text{Mg}^{2+}$	Large size, small or zero positive charge, several valence electrons-easily distorted $\text{Ag}^+, \text{Pd}^{2+}$	Valence electrons tightly held $\text{F}^- \text{ and } \text{CO}_3^{2-}$	Valence electrons easily distorted S^{2-}, CO

Hard acids	Hard bases
Harte Säuren (ger.) Acido duro (spa.)	Acide dur (fra.) Acidi duri (ita.)
трудно кислота (rus.) twarde kwasy (pol.)	трудно основание (rus.) twarde zasady (pol.)

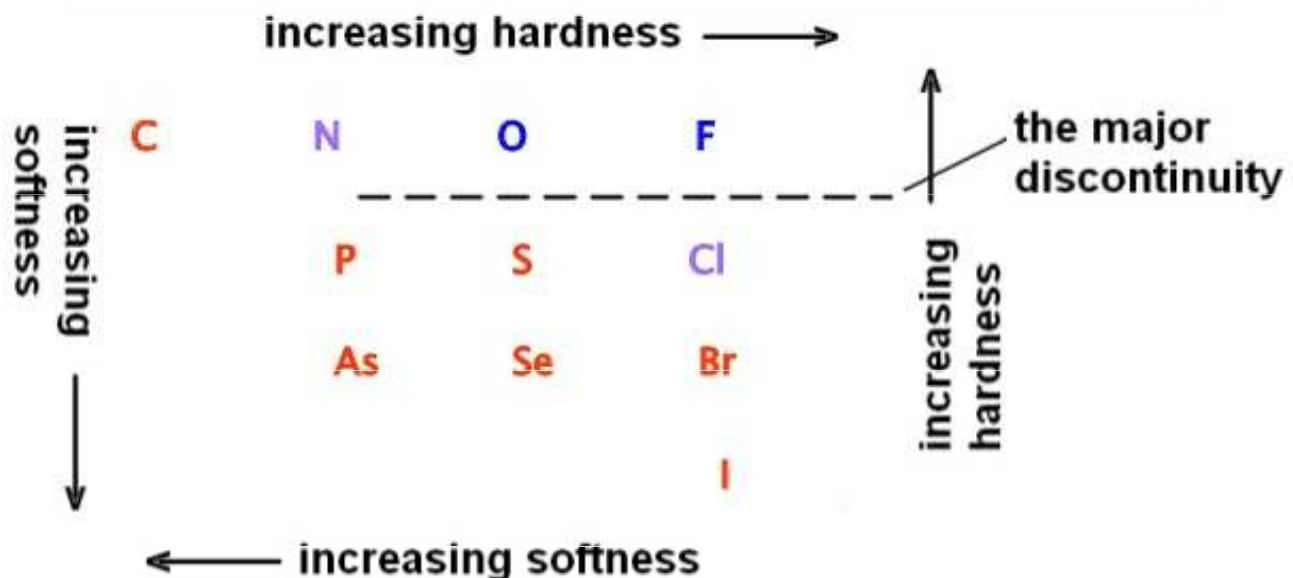
H^+ , Li^+ , Na^+ , K^+ , Rb^+ , Cs^+ , Be^{2+} , Me_2Be , Mg^{2+} ,
 Ca^{2+} , Sr^{2+} , Ba^{2+} , Sc^{3+} , La^{3+} , Ce^{4+} , Gd^{3+} , Lu^{3+} , Th^{4+} ,
 U^{4+} , $[\text{UO}_2]^{2+}$, Pu^{4+} , Ti^{4+} , Zr^{4+} , Hf^{4+} , $[\text{VO}]^{2+}$, Cr^{3+} ,
 Cr^{6+} , $[\text{MoO}]^{3+}$, $[\text{WO}]^{4+}$, Mn^{2+} , BF_3 , BCl_3 , B(OR)_3 ,
 BR_3 , Al^{3+} , Me_3Al , AlCl_3 , AlH_3 , AlR_3 , Ga^{3+} , In^{3+} ,
 CO_2 , $[\text{RCO}]^+$, $[\text{NC}]^+$, Si^{4+} , Sn^{4+} , $[\text{MeSn}]^{3+}$,
 $[\text{Me}_2\text{Sn}]^{2+}$, N^{3+} , $[\text{RPO}]^{2+}$, $[\text{ROPO}]^{2+}$, As^{3+} , Mn^{7+} ,
 Fe^{3+} , Co^{3+} , Cl^{3+} , Cl^{7+} , I^{5+} , I^{7+} , SO_3 , HX (H-Brücken
bildende Moleküle)

NH_3 , R-NH_2 , N_2H_4 , H_2O , OH^- , O^{2-} , ROH , $[\text{RO}]^-$,
 R_2O , $[\text{CH}_3\text{COO}]^-$, $[\text{CO}_3]^{2-}$, $[\text{NO}_3]^-$, $[\text{PO}_4]^{3-}$,
 $[\text{SO}_4]^{2-}$, $[\text{ClO}_4]^-$, F^- , $(\text{Cl})^-$.

Borderline acids	Borderline bases
Säuren im grenzbereich (ger.) Acido fronterizo (spa.) Acide à la limite (fra.)	Acidi di frontiera (ita.) пограничные кислоты (rus.) pograniczne kwasy (pol.)
Fe^{2+} , Co^{2+} , Ni^{2+} , Cu^{2+} , Zn^{2+} , Rh^{3+} , Ir^{3+} , Ru^{3+} , Os^{2+} , Me_3B , GaH_3 , $[\text{R}_3\text{C}]^+$, $[\text{C}_6\text{H}_5]^+$, Sn^{2+} , Pb^{2+} , $[\text{NO}]^+$, Sb^{3+} , Bi^{3+} , SO_2	Basen im grenzbereich (ger.) Base fronterizo (spa.) Base à la limite (fra.)
	$\text{C}_6\text{H}_5\text{NH}_2$, $\text{C}_5\text{H}_5\text{N}$, $[\text{N}_3]^-$, N_2 , $[\text{NO}_2]^-$, $[\text{SO}_3]^{2-}$, Br^-

Soft acids	Soft bases
Weiche Säuren (ger.) Acido blando (spa.)	Acide mou (fra.) Acidi moli (ita.)
мягкое кислота (rus.) miękkie kwasy (pol.)	мягкое Основание (rus.) miękkie zasady (pol.)
$[\text{Co}(\text{CN})_5]^{3-}$, Pd^{2+} , Pt^{2+} , Pt^{4+} , Cu^+ , Ag^+ , Au^+ , Cd^{2+} , Hg^+ , Hg^{2+} , $[\text{MeHg}]^+$, BH_3 , Me_3Ga , GaCl_3 , GaBr_3 , Gal_3 , Me_3Ti , CH_2 , Carbene, H_3C^+	H^- , R^- , C_2H_4 , C_6H_6 , $[\text{CN}]^-$, RNC , CO , $[\text{SCN}]^-$, R_3P , $(\text{RO})_3\text{P}$, R_3As , R_2S , RSH , $[\text{RS}]^-$, $[\text{S}_2\text{O}_3]^{2-}$, I^-

HSAB



Báze

H
Li Be

Kyseliny

hard intermediate soft

Li	Be
Na	Mg

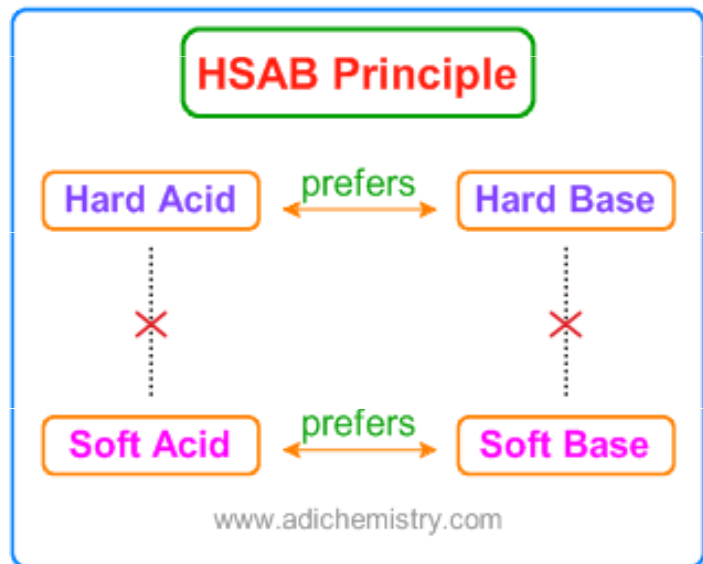
K	Ca	Sc	Ti	V	Cr	Mn	Fe	Co	Ni	Cu	Zn	Ga	Ge	As
Rb	Sr	Y	Zr	Nb	Mo	Tc	Ru	Rh	Pd	Ag	Cd	In	Sn	Sb

Cs	Ba	La	Hf	Ta	W	Re	Os	Ir	Pt	Au	Hg	Tl	Pb	Bi
----	----	----	----	----	---	----	----	----	----	----	----	----	----	----

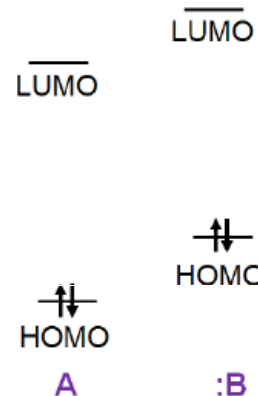
C	N	O	F
P	S	Cl	
As	Se	Br	

Sb	Te	I
----	----	---

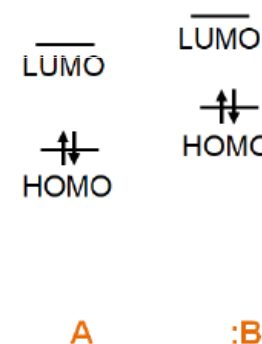
Podle HSAB tvrdé kyseliny (hard acids, HA) preferují vazbu s tvrdými bázemi (hard bases, HB) za vzniku iontových sloučenin, zatímco měkké kyseliny (soft acids, SA) preferují vazbu s měkkými bázemi (soft bases, SB) za vzniku kovalentních sloučenin.



Typical Frontier Orbitals for Hard Acids and Bases



Typical Frontier Orbitals for Soft Acids and Bases



Energetický rozdíl mezi HOMO/LUMO orbitalem je u komplexu složeného z SA a SB nižší, než u "tvrdých" analogů.

Absolutní tvrdost (absolute hardness) je definována jako

$$\text{hardness} = n = \frac{\text{Ionization energy (I)} - \text{Electron Affinity (EA)}}{2}$$

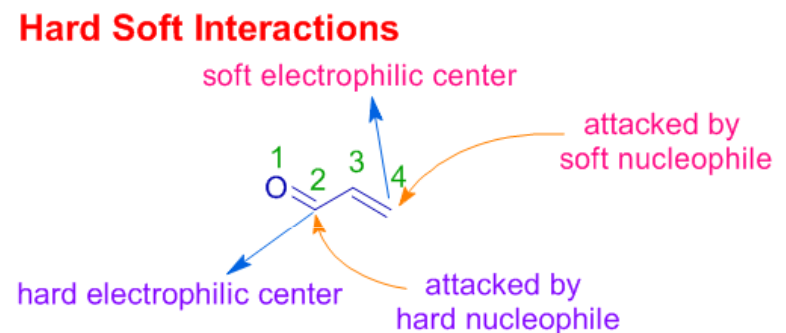
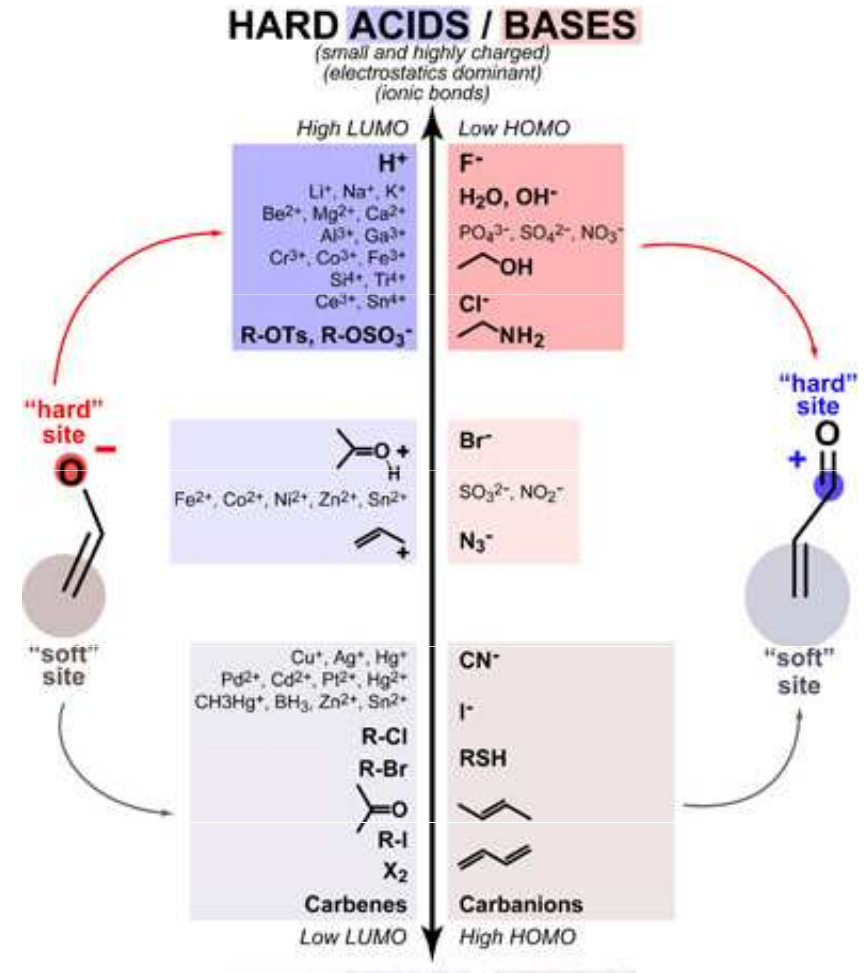
$$n = \frac{E_{\text{LUMO}} - E_{\text{HOMO}}}{2}$$

HSAB a regioselektivita

HSAB hraje roli i ve studiu regioselektivity u molekul s více než jedním centrem reaktivity, kde kyselina působí jako elektrofil a báze jako nukleofil.

Např. u enolů a enonů:

- tvrdé kyseliny reagují s kyslíkem **enolátu**.
- měkké kyseliny reagují s uhlíkem **enolátu**.
- tvrdé báze reagují s karbonylovým uhlíkem **enonu**.
- měkké báze reagují s β -uhlíkem **enonu**



HSAB a elektronegativita

Velké rozdíly elektronegativit mezi HA a HB dávají vznik silným iontovým vazbám.

Elektronegativity SA a SB jsou téměř stejné a proto mají vazby mezi nimi méně iontový charakter, tj. vazby mezi nimi jsou více kovalentní.

Interakce mezi HA – SB nebo SA – HB jsou většinou polárně kovalentní a mají tendenci být reaktivnější nebo méně stabilní. Polárně kovalentní sloučeniny snadno tvoří bud' více iontové nebo více kovalentní sloučeniny pokud spolu mohou reagovat (viz elektronegativita).

Klopman-Salemova rovnice

Kvantifikuje energetickou změnu při reakci Lewisových hard/soft kyselin.

$$\Delta E = \frac{Q_{acid} \cdot Q_{base}}{\epsilon R} + \frac{(C_{acid} \cdot C_{base} \cdot \beta)^2}{HOMO_{base} - LUMO_{acid}}$$

Diagram illustrating the Klopman-Salem equation components:

- hard term (electrostatics)**: $\frac{Q_{acid} \cdot Q_{base}}{\epsilon R}$. Labeled with **charges** and **size/polarizability**.
- soft term (orbital overlap)**: $\frac{(C_{acid} \cdot C_{base} \cdot \beta)^2}{HOMO_{base} - LUMO_{acid}}$. Labeled with **energy match**.

- **hard/hard interakce** maximalizují elektrostatický term (tj. více nabité molekuly se navzájem více přitahují)
- **soft/soft interakce** maximalizují term orbitalového překryvu (tj. molekuly s podobnou energií HOMO a LUMO orbitalů nejsnadněji tvoří kovalentní vazbu)

Sirovodíková srážecí metoda kvalitativní analýzy

= tradiční kvalitativní metoda analýzy kationtů je založena na rozpustnosti, resp. nerozpustnosti chloridů a sulfidů kovů a jejich následných reakcích.

1. vysrážení kationtů I. třídy roztokem kyseliny chlorovodíkové

Chloridový anion je tvrdší zásadou, než sulfidový anion (má menší poloměr) a vysráží proto tvrdší Lewisovy kyseliny (které by se srážely i se sulfanem; v prvním kroku je ale chceme oddělit, aby "nestínily" kationty II. třídy). Mezi tyto tvrdší kyseliny počítáme Ag^+ , Pb^{2+} a Hg_2^{2+} .

2. vysrážení kationtů II-IV. třídy sulfanovou vodou

Sulfidový anion je měkkou zásadou (SB) a sráží proto kationty měkčí, než kationty I. třídy. Jde o kationty Bi^{3+} , Cd^{2+} , Cu^{2+} , Hg^{2+} , As^{3+} , As^{5+} , Sb^{3+} , Sb^{5+} , Sn^{2+} , Sn^{4+} . Je zřejmé, že vyšší náboj znamená nižší tvrdost.

3. Od II. třídy tvrdost Lewisových kyselin stoupá, a to až k V. třídě kationtů, která zahrnuje Mg^{2+} , Li^+ , Na^+ , K^+ a NH_4^+ . Zvláště kationty alkalických kovů platí za tvrdé kyseliny (HA), které jsou velmi dobře solvatovány vodou (hydratovány) a jejich soli jsou proto dobře rozpustné. Tyto ionty se rozlišují plamennými zkouškami.

Qualitative Analysis Separation

	Group 1	Group 2	Group 3	Group 4	Group 5
HSAB acids	Soft	Borderline and soft	Borderline	Hard	Hard
Reagent	HCl	H ₂ S (acidic)	H ₂ S (basic)	(NH ₄) ₂ CO ₃	Soluble
Precipitates	AgCl	HgS	MnS	CaCO ₃	Na ⁺
	PbCl ₂	CdS	FeS	SrCO ₃	K ⁺
	Hg ₂ Cl ₂	CuS	CoS	BaCO ₃	NH ₄ ⁺
		SnS	NiS		
		As ₂ S ₃	ZnS		
		Sb ₂ S ₃	Al(OH) ₃		
		Bi ₂ S ₃	Cr(OH) ₃		

SOLUTION OF CATIONS, GROUPS 1–5

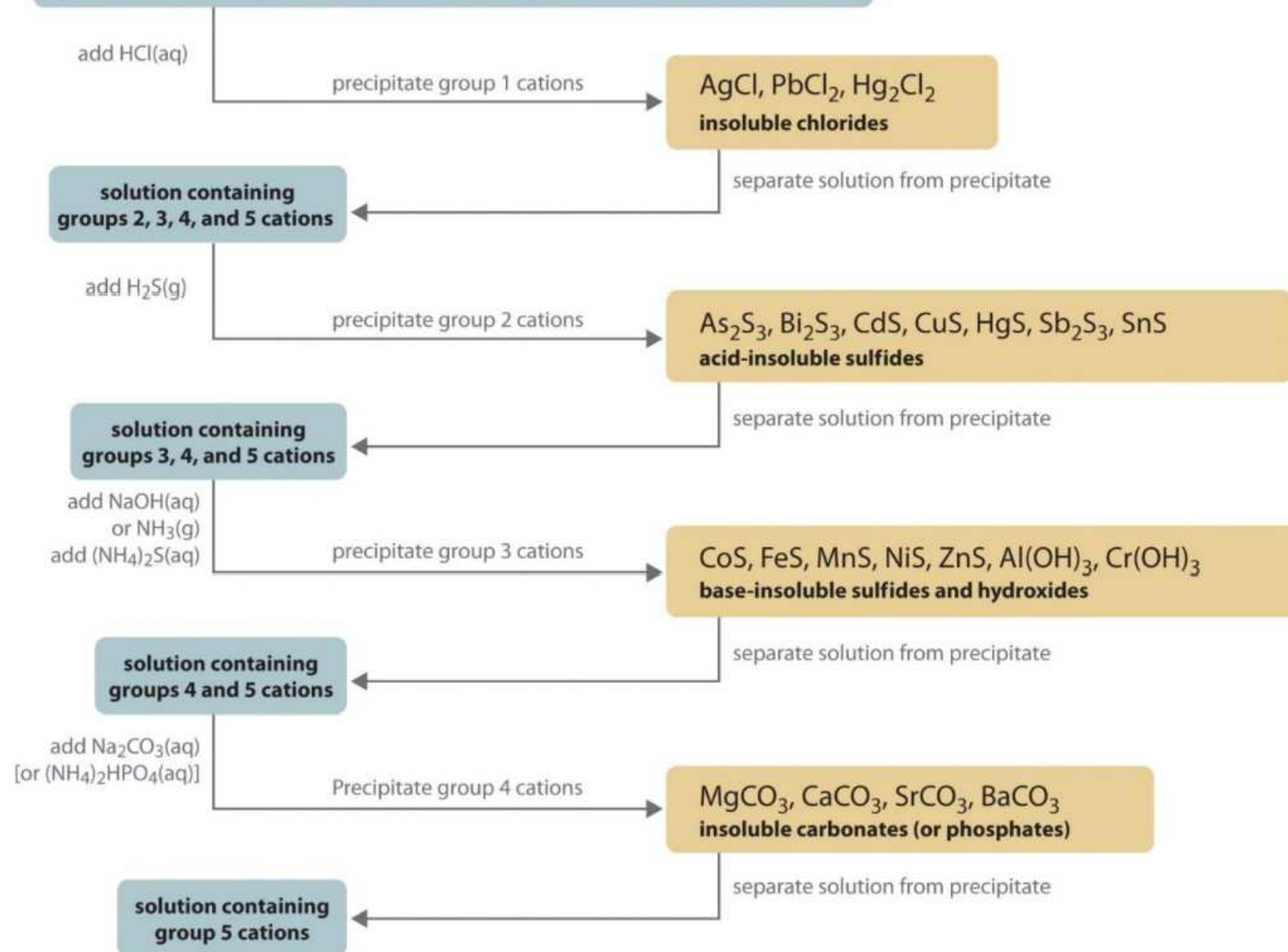
group 1 cations: Ag^+ , Pb^{2+} , Hg_2^{2+}

group 2 cations: As^{3+} , Bi^{3+} , Cd^{2+} , Cu^{2+} , Hg^{2+} , Sb^{3+} , Sn^{2+}

group 3 cations: Co^{2+} , Fe^{2+} , Fe^{3+} , Mn^{2+} , Ni^{2+} , Zn^{2+} , Al^{3+} , Cr^{3+}

group 4 cations: Mg^{2+} , Ca^{2+} , Sr^{2+} , Ba^{2+}

group 5 cations: Li^+ , Na^+ , K^+ , Rb^+ , Cs^+ , NH_4^+



Barevnost solí

Absorpce záření je u komplexů způsobena vnitřními elektronovými přechody o konkrétní energetické hodnotě. Pokud absorbovaná energie odpovídá vlnové délce v oblasti viditelné části spektra (380 až 770 nm), jsou komplexy barevné. Sůl tvořená SA-SB je tmavší než její "tvrdý" analog.

Příkladem může být oxid olovnatý PbO (SA-HB), respektive sulfid olovnatý PbS. (SA-SB). Zatímco PbO je žlutá-oranžová látka, PbS je černý.

Yellow Lead monoxide
(Massicot)



Red Lead Monoxide
(Litharge)



Galenit (PbS)



Katalytické jedy

Jako katalyzátory se často užívají elementární kovy (platina, nikl ad.), tedy velmi měkké Lewisovy kyseliny (mají nulový náboj). Jako katalytické jedy proto fungují měkké Lewisovy zásady, např. sulfidy (kovy s nimi zreagují).

Fajansova pravidla, elektronegativita a HSAB

Fajansova pravidla korespondují s Paulingovým výpočtem iontovosti vazby pomocí elektronegativit a také s HSAB, predikující vlastnosti vazby na základě polarizovatelnosti (založená na velikosti a náboji atomu). Binární sloučeniny **soft acid** a/nebo **soft base** jsou obvykle kovalentní.

compound	Fajans	Pauling	HSAB
NaCl	low + charge, larger cation, smaller anion, ionic	$3.16 - 0.93 =$ 2.19 ionic	hard acid, borderline base; ionic
AlI ₃	high + charge, smaller cation, larger anion, covalent	$2.66 - 1.61 =$ 1.05 covalent	hard acid, soft base covalent

Např. vazba v jodovodíku (HI) je téměř nepolární (rozdíl elektronegativit 0,3), jodovodík je však nejsilnější z halogenvodíkových kyselin v důsledku snadné polarizovatelnosti velkého atomu jodu, zvýšení polarity vazby H-I a následně její elektrolytické disociace

Příklad

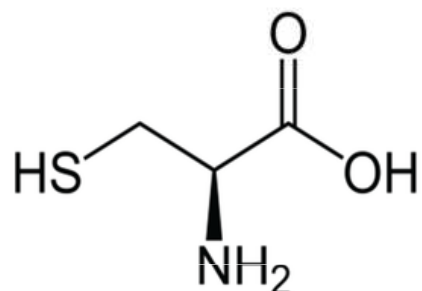
Ionty rtuti, Hg(I) a Hg(II), jsou toxické tím, že mohou vytěšňovat ostatní kovy z molekul enzymů a ničit tak jejich aktivitu.

- a) Jsou tyto ionty tvrdé nebo měkké kyseliny?
- b) Jaké skupiny aminokyselin se na ně mohou vázat?

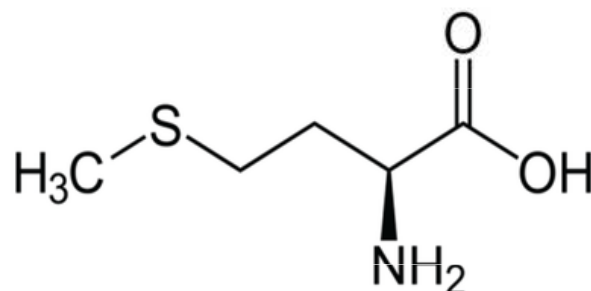
Řešení

Hg(I) a Hg(II) jsou velké, polarizovatelné ionty. Jsou tudíž měkké kyseliny a dobře se vážou na měkké báze, jako je atom síry, resp. sulfidový či hydrogensulfidový anion. Z aminokyselin je síra obsažena v cysteinu nebo methioninu.

Cysteine



Methionine



Příklad

Na základě teorie HSAB navrhněte vzorec jednoduchého minerálu, obsahujícího daný prvek:

- a) zirkonium(IV)
- b) kadmium(II)
- c) wolfram(VI)
- d) zinek(II)
- e) měď(I)

Řešení

ZrO_2 (minerál *baddeleyit*)

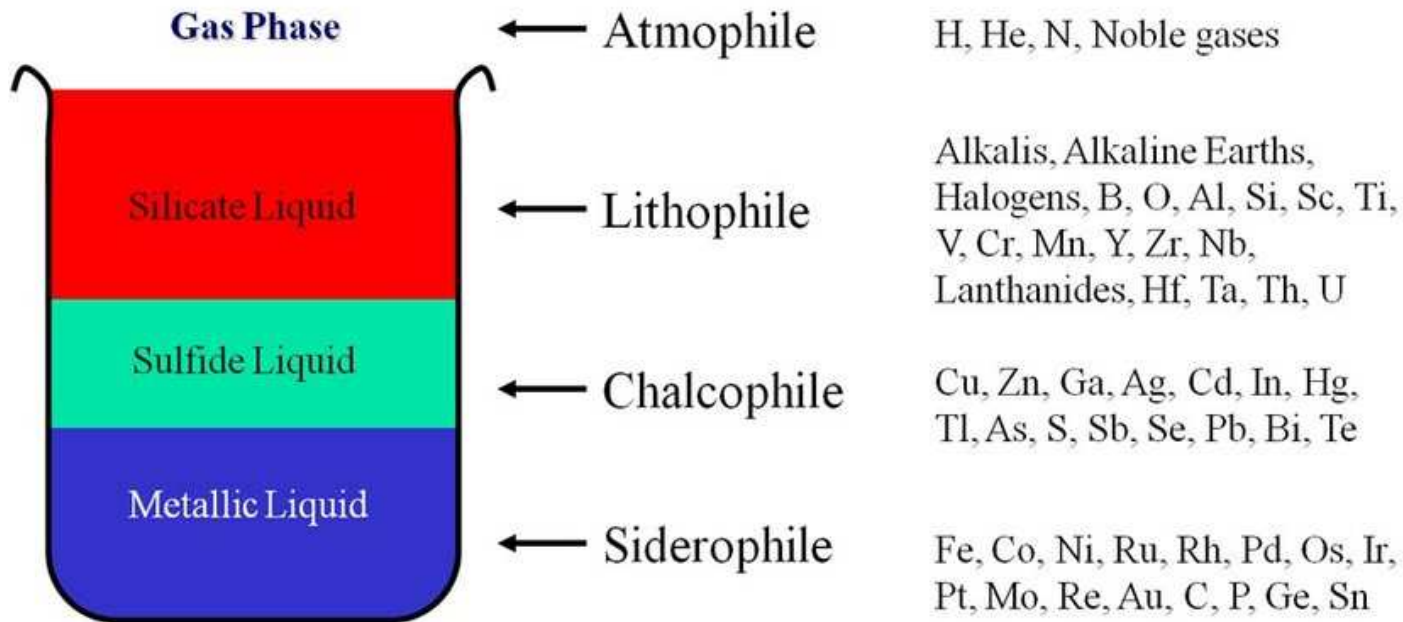
CdS (minerály *greenockit* a *hawleyit*)

WO_3 (minerály *tungstit* a *meymacit*)

ZnS (minerály *sfalerit* a *wurtzit*)

Cu_2S (minerál *chalkocit*)

Goldschmidtova klasifikace prvků

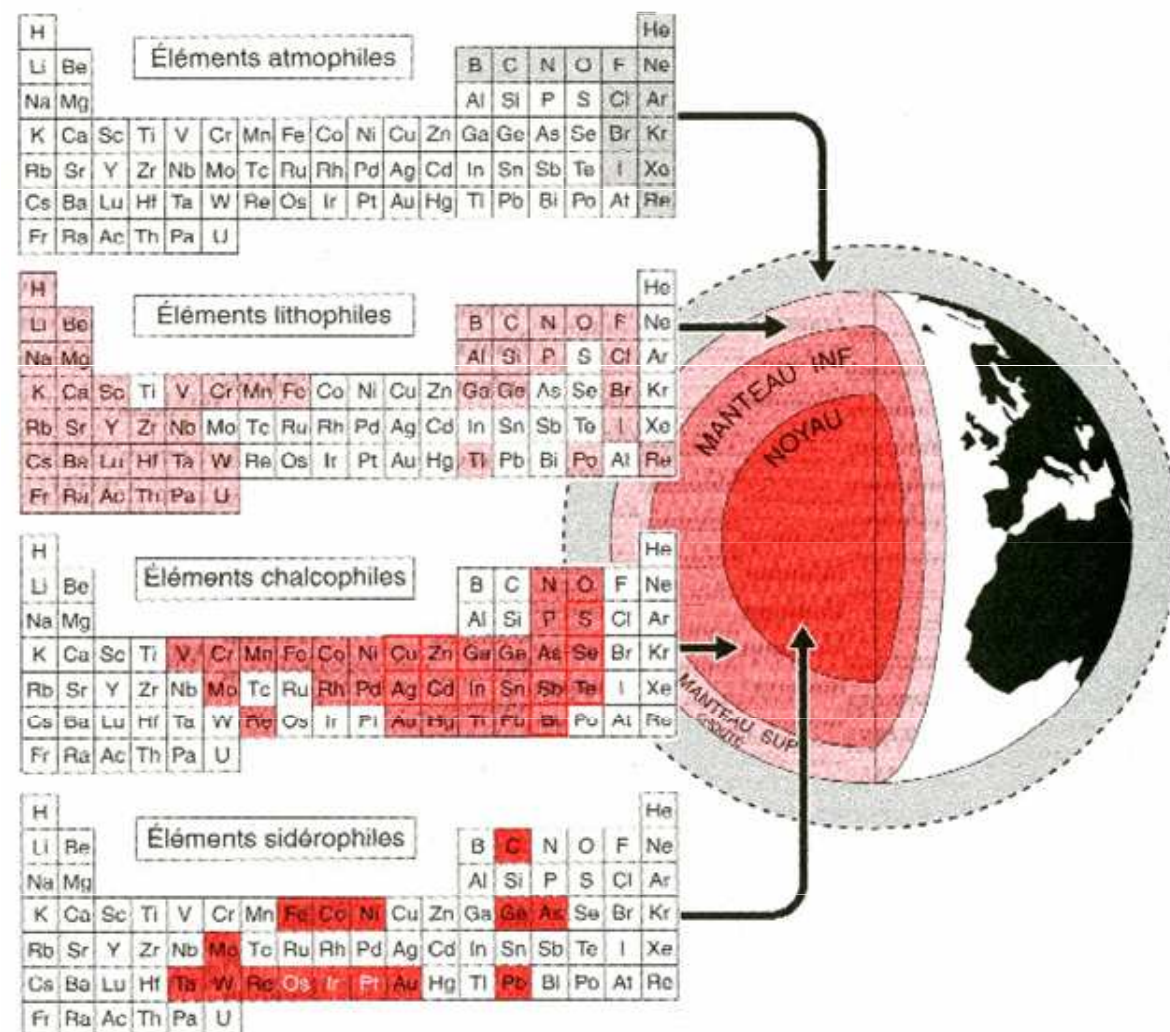


Litofilní prvky vykazují silnou afinitu ke kyslíku, vyskytují se v silikátových minerálech, případně jako halogenidy. Litofilní prvky tedy tvoří kationty, které považujeme za tvrdé Lewisovy kyseliny (HA). Ty se vážou s kyslíkem jakožto π-donorem.

Chalkofilní prvky mají silnou afinitu k síře; tvoří s ní sulfidy. Oproti litofilním prvkům jsou jejich kationty měkčími kyselinami.

Goldschmidtova klasifikace prvků

Pomocí konceptu HSAB můžeme vysvětlit, proč se vápník vyskytuje v litosféře jako síran nebo uhličitan (HA-HB, neboť anionty kyslíkatých solí obsahují atomy kyslíku sloužící jako donoři π -elektronů), olovo jako sulfid a zlato jako tellurid anebo ryzí (elementární zlato je nejměkčí kyselinou, což je dáno velikostí, elektronovou strukturou i nulovým nábojem).



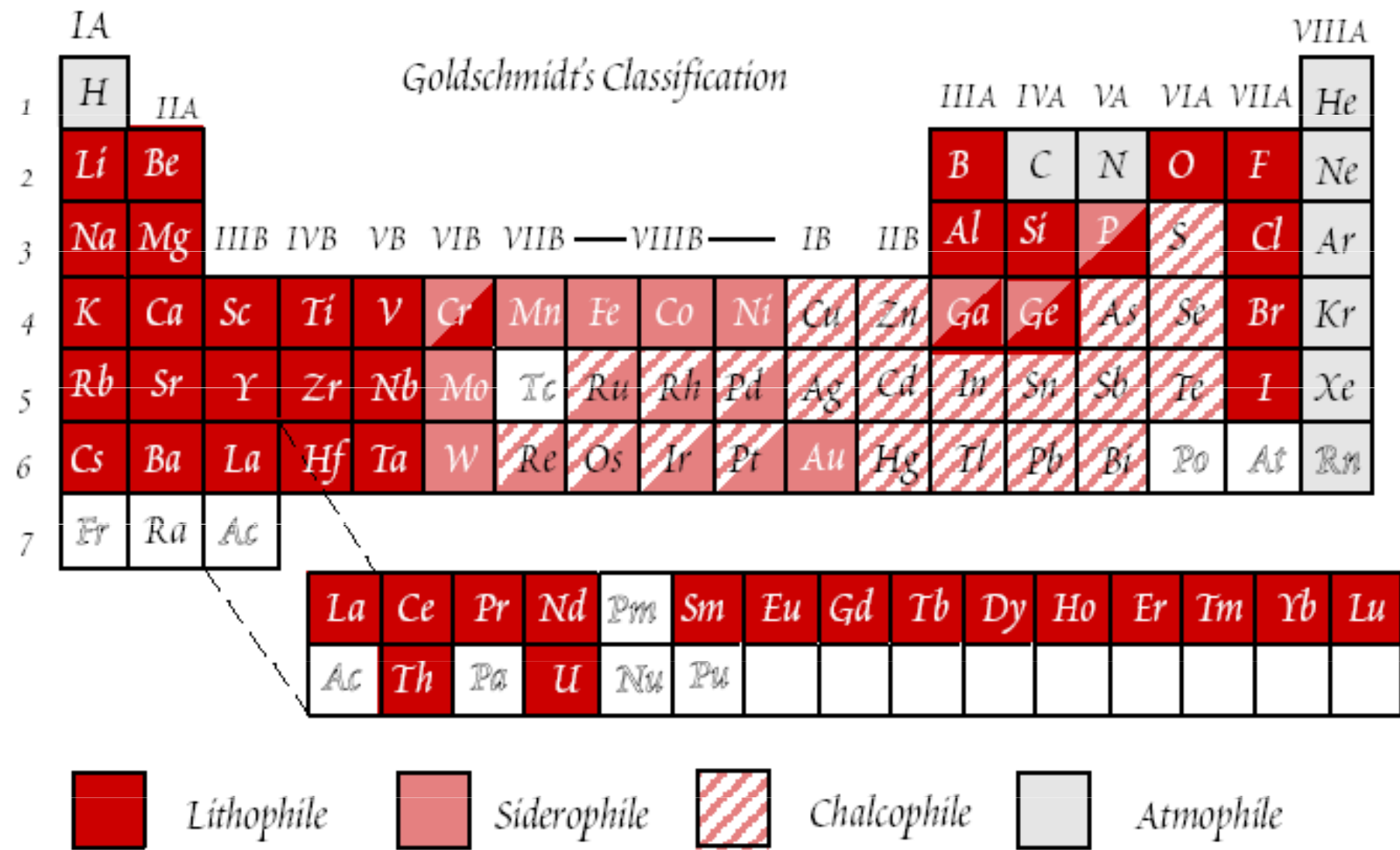


Figure 7.2. Goldschmidt's classification of the elements.

Geochemical Classification

Geochemical Classification

The chart illustrates the geochemical classification of elements based on their distribution in the Earth's crust. The periodic table is color-coded into six main groups:

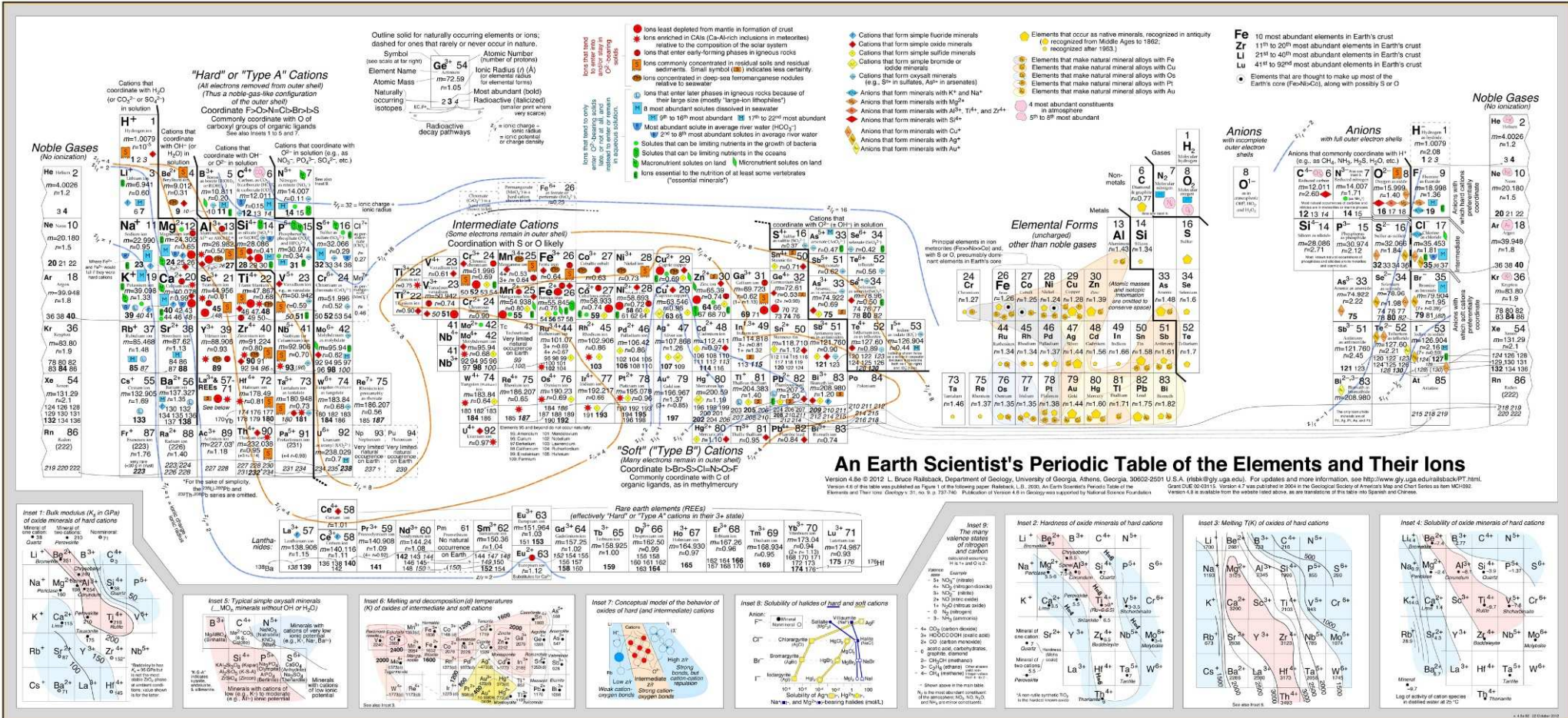
- Lithophile**: Green (Groups 1-2, 13-18)
- Siderophile**: Red (Groups 3-12)
- Chalcophile**: Purple (Groups 3-12, transition metals)
- Atmophile**: Yellow (Groups 13-18)
- Organophile**: Black (Groups 13-18, transition metals)
- Fluid-mobile**: Blue (Groups 13-18, transition metals)

Elements are also categorized by their presence in the crust (yellow), mantle (green), or core (red).

Group	Element	Crust	Mantle	Core
1	H	Yellow	Black	Red
2	Li	Green	Blue	Black
	Be	Green	Black	Black
3	Na	Blue	Black	Red
4	Mg	Black	Black	Red
5		Black	Black	Black
6		Black	Black	Black
7		Black	Black	Black
8	Sc	Green	Black	Red
9	Ti	Green	Black	Red
10	V	Black	Black	Red
11	Cr	Green	Black	Red
12	Mn	Green	Black	Red
13	Fe	Red	Green	Black
14	Co	Red	Green	Black
15	Ni	Red	Green	Black
16	Cu	Red	Green	Black
17	Zn	Red	Green	Black
18	Al	Red	Green	Black
	Si	Red	Green	Black
	P	Red	Green	Black
	B	Red	Green	Black
	C	Red	Green	Black
	N	Red	Green	Black
	O	Red	Green	Black
	F	Red	Green	Black
	Ne	Red	Green	Black
	Ar	Red	Green	Black
	K	Blue	Black	Red
	Ca	Black	Black	Red
	Sc	Green	Black	Red
	Ti	Green	Black	Red
	V	Black	Black	Red
	Cr	Green	Black	Red
	Mn	Green	Black	Red
	Fe	Red	Green	Black
	Co	Red	Green	Black
	Ni	Red	Green	Black
	Cu	Red	Green	Black
	Zn	Red	Green	Black
	Al	Red	Green	Black
	Si	Red	Green	Black
	P	Red	Green	Black
	B	Red	Green	Black
	C	Red	Green	Black
	N	Red	Green	Black
	O	Red	Green	Black
	F	Red	Green	Black
	Ne	Red	Green	Black
	Ar	Red	Green	Black
	Kr	Red	Green	Black
	Br	Red	Green	Black
	Xe	Red	Green	Black
	I	Red	Green	Black
	Rb	Blue	Black	Red
	Sr	Black	Black	Red
	Y	Green	Black	Red
	Zr	Green	Black	Red
	Nb	Black	Black	Red
	Mo	Black	Black	Red
	Tc	Black	Black	Red
	Ru	Red	Green	Black
	Rh	Red	Green	Black
	Pd	Red	Green	Black
	Ag	Red	Green	Black
	Cd	Red	Green	Black
	In	Red	Green	Black
	Sn	Red	Green	Black
	Sb	Red	Green	Black
	Te	Red	Green	Black
	I	Red	Green	Black
	Xe	Red	Green	Black
	Cs	Blue	Black	Red
	Ba	Black	Black	Red
	*	Hf	Green	Black
		Ta	Red	Black
		W	Red	Black
		Re	Green	Black
		Os	Red	Black
		Ir	Red	Black
		Pt	Red	Black
		Au	Red	Black
		Hg	Green	Black
		Tl	Red	Black
		Pb	Red	Black
		Bi	Green	Black
		Po	Green	Black
		At	Green	Black
		Rn	Green	Black
	Fr	Black	Black	Red
	Ra	Black	Black	Red
	**			

La	Ce	Pr	Nd	Pm	Sm	Eu	Gd	Tb	Dy	Ho	Er	Tm	Yb	Lu
Ac	Th	Pa	U	Np	Pu	Am	Cm	Bk	Cf	Es	Fm	Md	No	Lr

Goldschmidtova klasifikace prvků



Rozpustnost a HSAB

Rozpustnost ve vodě

Voda rozpouští látky, které disponují alespoň jednou „hard“ částí. Sloučenina vznikající kombinací „soft acid“ + „soft base“ je málo rozpustná v polárních rozpouštědlech jako voda.

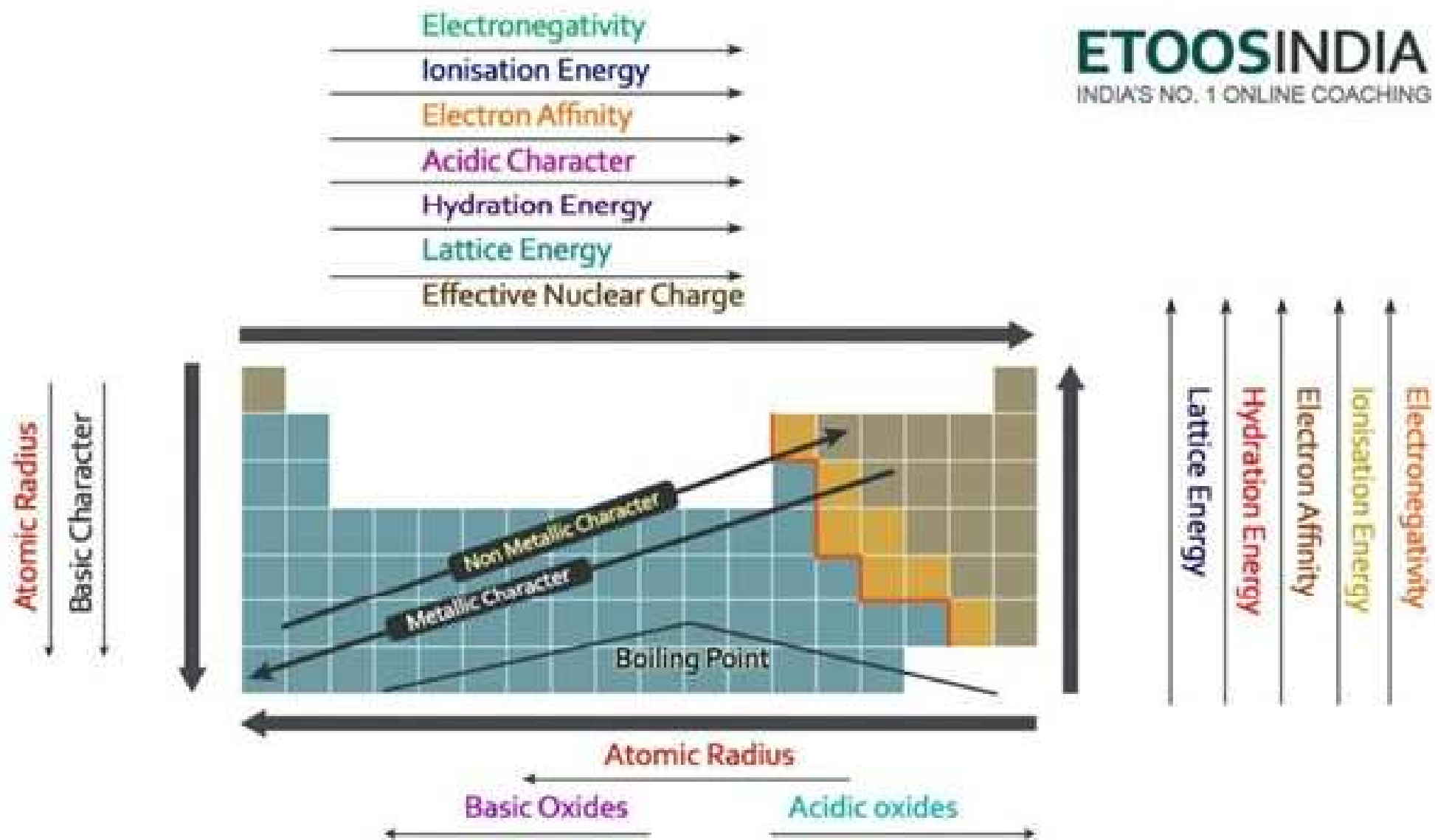
Příklady

Sulfid olovnatý není rozpustný ve vodě (sulfidový anion je měkčí zásadou než oxidový anion; olovnatý kation je měkkou Lewisovou kyselinou).

Sulfid sodný ale rozpustný ve vodě je, protože sodný kation je tvrdou Lewisovou kyselinou, kterou voda dobře solvatuje.

Jodid stříbrný je nerozpustný ve vodě díky kombinaci soft acid, Ag^+ and soft base, I^- .

Jodid lithný je výsledek kombinace Li^+ (hard acid) a I^- (soft base) a tedy rozpustný ve vodě.



Hydratace iontů a standardní elektrodový potenciál

Ionizační energie a **elektronová afinita** se týkají vzniku iontů z izolovaných atomů v plynném stavu.

Vznik iontů v roztoku zahrnuje:

1. Atomizace: standardní stav -> volný atom (g)
2. Ionizace: volný atom (g) -> volný ion (g)
3. Hydratace: volný ion (g) -> hydratovaný ion(aq)

Pokud je tento proces sledován

za standardních podmínek (25 °C, 101,325 kPa),

předpokládá se, že je prvek ve styku s roztokem svých iontů o koncentraci

1 mol/l

měří se srovnáním vůči vodíkovému systému

nazývá se sledovaná veličina **standardním elektrodovým potenciálem (E)**, nebo také redoxpotenciálem.

Vztah mezi standardním elektrodovým potenciálem a Gibbsovou energií:

$$\Delta G = -|z| \cdot F \cdot E$$

z je počet elektronů zúčastněných v oxidačně-redukčním procesu

F je Faradayova konstanta (96487 C/mol)

Redoxní potenciál (oxidačně-redukční potenciál, redox potenciál) = míra schopnosti redoxního systému převést jednoho z reakčních partnerů do oxidovaného stavu. Vyjadřuje redukční stav systému v milivoltech (napětí mezi standardní vodíkovou elektrodou a příslušným oxidačně-redukčním přechodem)

TABLE 17.1 Standard Reduction Potentials at 25 °C

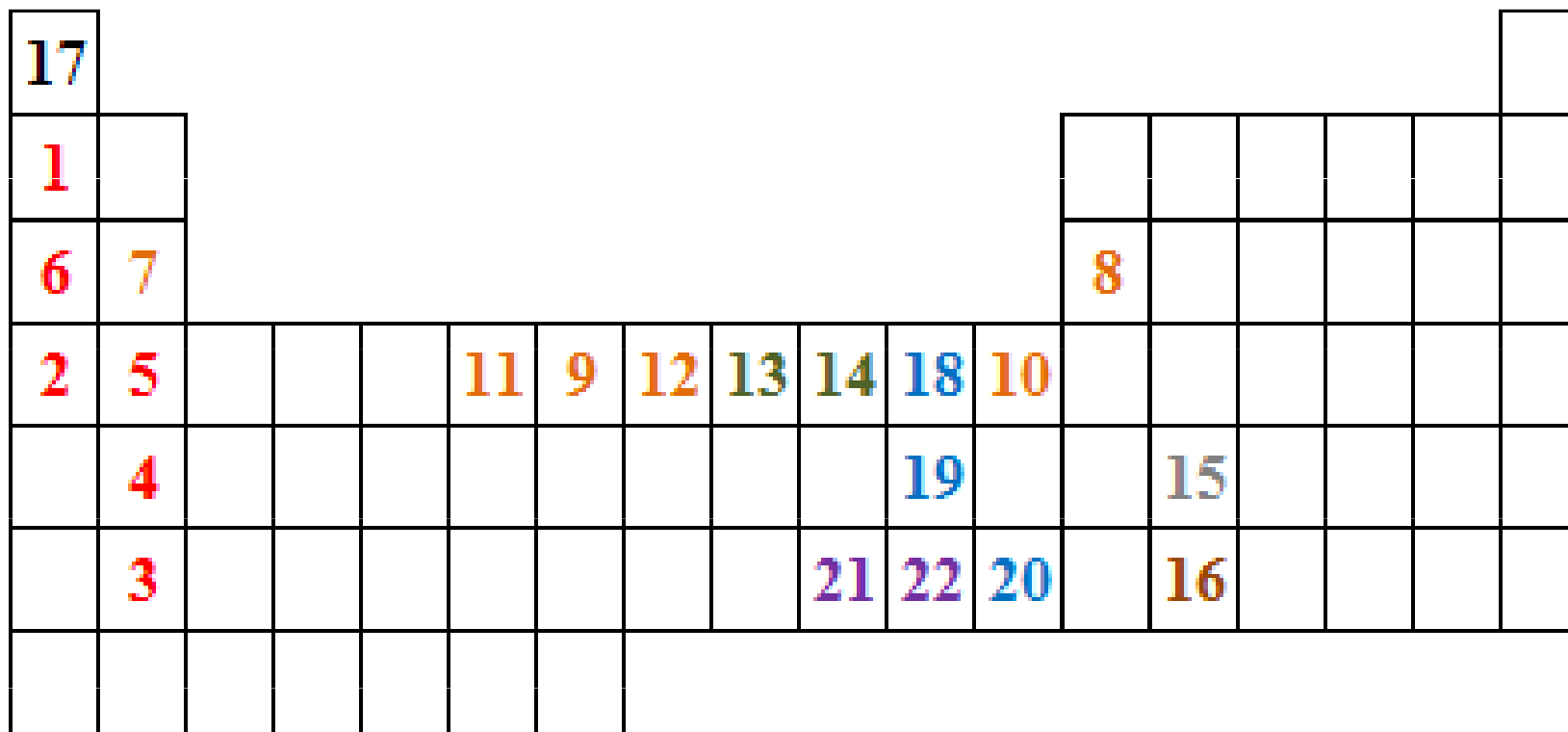
	Reduction Half-Reaction	E° (V)	
Stronger oxidizing agent	$\text{F}_2(g) + 2 \text{e}^- \rightarrow 2 \text{F}^-(aq)$	2.87	Weaker reducing agent
	$\text{H}_2\text{O}_2(aq) + 2 \text{H}^+(aq) + 2 \text{e}^- \rightarrow 2 \text{H}_2\text{O}(l)$	1.78	
	$\text{MnO}_4^-(aq) + 8 \text{H}^+(aq) + 5 \text{e}^- \rightarrow \text{Mn}^{2+}(aq) + 4 \text{H}_2\text{O}(l)$	1.51	
	$\text{Cl}_2(g) + 2 \text{e}^- \rightarrow 2 \text{Cl}^-(aq)$	1.36	
	$\text{Cr}_2\text{O}_7^{2-}(aq) + 14 \text{H}^+(aq) + 6 \text{e}^- \rightarrow 2 \text{Cr}^{3+}(aq) + 7 \text{H}_2\text{O}(l)$	1.33	
	$\text{O}_2(g) + 4 \text{H}^+(aq) + 4 \text{e}^- \rightarrow 2 \text{H}_2\text{O}(l)$	1.23	
	$\text{Br}_2(aq) + 2 \text{e}^- \rightarrow 2 \text{Br}^-(aq)$	1.09	
	$\text{Ag}^+(aq) + \text{e}^- \rightarrow \text{Ag}(s)$	0.80	
	$\text{Fe}^{3+}(aq) + \text{e}^- \rightarrow \text{Fe}^{2+}(aq)$	0.77	
	$\text{O}_2(g) + 2 \text{H}^+(aq) + 2 \text{e}^- \rightarrow \text{H}_2\text{O}_2(aq)$	0.70	
	$\text{I}_2(s) + 2 \text{e}^- \rightarrow 2 \text{I}^-(aq)$	0.54	
	$\text{O}_2(g) + 2 \text{H}_2\text{O}(l) + 4 \text{e}^- \rightarrow 4 \text{OH}^-(aq)$	0.40	
	$\text{Cu}^{2+}(aq) + 2 \text{e}^- \rightarrow \text{Cu}(s)$	0.34	
	$\text{Sn}^{4+}(aq) + 2 \text{e}^- \rightarrow \text{Sn}^{2+}(aq)$	0.15	
	$2 \text{H}^+(aq) + 2 \text{e}^- \rightarrow \text{H}_2(g)$	0	
Weaker oxidizing agent	$\text{Pb}^{2+}(aq) + 2 \text{e}^- \rightarrow \text{Pb}(s)$	-0.13	Stronger reducing agent
	$\text{Ni}^{2+}(aq) + 2 \text{e}^- \rightarrow \text{Ni}(s)$	-0.26	
	$\text{Cd}^{2+}(aq) + 2 \text{e}^- \rightarrow \text{Cd}(s)$	-0.40	
	$\text{Fe}^{2+}(aq) + 2 \text{e}^- \rightarrow \text{Fe}(s)$	-0.45	
	$\text{Zn}^{2+}(aq) + 2 \text{e}^- \rightarrow \text{Zn}(s)$	-0.76	
	$2 \text{H}_2\text{O}(l) + 2 \text{e}^- \rightarrow \text{H}_2(g) + 2 \text{OH}^-(aq)$	-0.83	
	$\text{Al}^{3+}(aq) + 3 \text{e}^- \rightarrow \text{Al}(s)$	-1.66	
	$\text{Mg}^{2+}(aq) + 2 \text{e}^- \rightarrow \text{Mg}(s)$	-2.37	
	$\text{Na}^+(aq) + \text{e}^- \rightarrow \text{Na}(s)$	-2.71	
	$\text{Li}^+(aq) + \text{e}^- \rightarrow \text{Li}(s)$	-3.04	

Čím více má činidlo $E > 0$, tím větším je oxidačním činidlem, čím má $E < 0$, tím je silnějším redukčním činidlem.

Čím má kov zápornější hodnotu redoxního potenciálu, tím má větší schopnost uvolňovat elektrony.

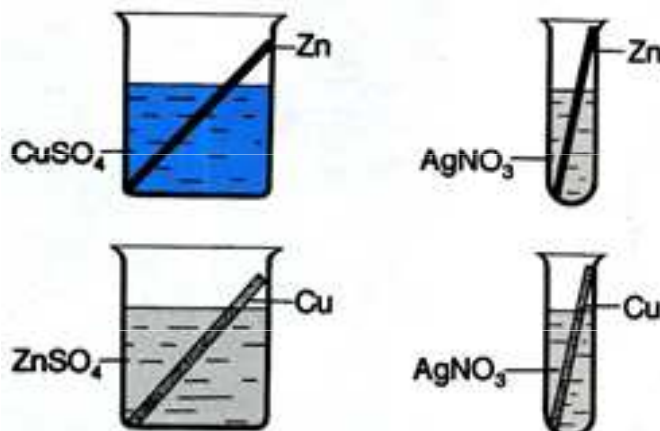
Elektrochemická řada napětí

1	2	3	4	5	6	7	8	9	10	11	12	13	14	15	16	17	18	19	20	21	22
Li	K	Ba	Sr	Ca	Na	Mg	Al	Mn	Zn	Cr	Fe	Co	Ni	Sn	Pb	H	Cu	Ag	Hg	Pt	Au



Vytěšňování kovů z roztoků jejich solí

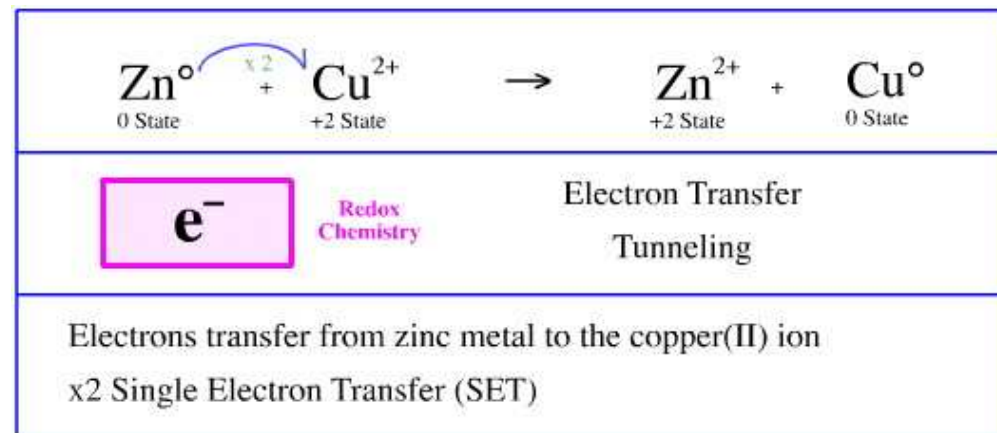
Kov stojící v řadě napětí vlevo dokáže kov (v kladném oxidačním stavu) stojící vpravo redukovat a sám se tím pádem oxidovat, a naopak – kov, který stojí v řadě napětí napravo je schopný kov stojící vlevo zoxidovat a sám se redukuje



Metal	Metal Ion
K	K ⁺
Ca	Ca ²⁺
Na	Na ⁺
Mg	Mg ²⁺
Al	Al ³⁺
Zn	Zn ²⁺
Fe	Fe ²⁺
Ni	Ni ²⁺
Sn	Sn ²⁺
Pb	Pb ²⁺
H ₂	H ⁺
Cu	Cu ²⁺
Hg	Hg ²⁺
Ag	Ag ⁺
Au	Au ³⁺

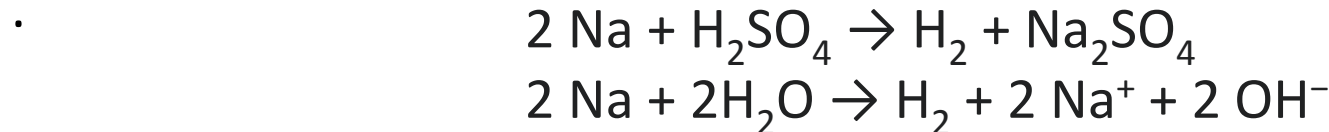
increasing ease of reduction ↑ ↓ increasing ease of oxidation

higher metals will replace lower metal ions in solution
lower metals will not replace higher metal ions in solution



Reakce kovů s kyselinami

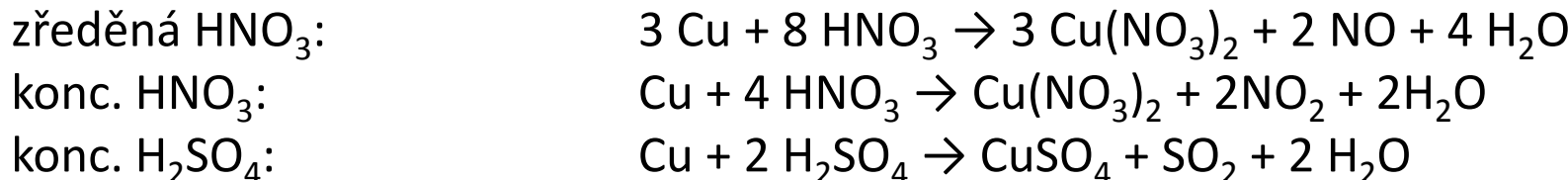
Kov stojící v řadě napětí před vodíkem, tj. od vodíku nalevo (zde nahoře nad vodíkem), je schopen redukovat vodík a sám sebe oxidovat (kovy stojící daleko před vodíkem jsou schopny zredukovat vodík dokonce i z vody).



Kov, který stojí za vodíkem, je schopný zoxidovat vodík a sám sebe redukovat:

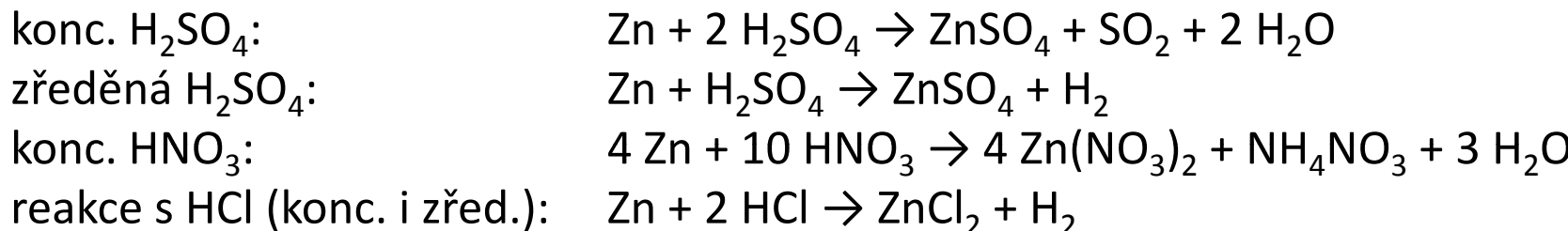


reakce Cu:



V neoxidujících kyselinách se měď nerozpouští.

reakce Zn:



Periodic Table of the Elements

		Groups →																			
		Periods ↓		1	2	3	4	5	6	7	8	9	10	11	12	13	14	15	16	17	18
		1	1 H																	2 He	
		2	3 Li	4 Be												5 B	6 C	7 N	8 O	9 F	10 Ne
		3	11 Na	12 Mg												13 Al	14 Si	15 P	16 S	17 Cl	18 Ar
		4	19 K	20 Ca	21 Sc	22 Ti	23 Y	24 Cr	25 Mn	26 Fe	27 Co	28 Ni	29 Cu	30 Zn	31 Ga	32 Ge	33 As	34 Se	35 Br	36 Kr	
		5	37 Rb	38 Sr	39 Y	40 Zr	41 Nb	42 Mo	43 Tc	44 Ru	45 Rh	46 Pd	47 Ag	48 Cd	49 In	50 Sn	51 Sb	52 Te	53 I	54 Xe	
		6	55 Cs	56 Ba	57 La	72 Hf	73 Ta	74 W	75 Re	76 Os	77 Ir	78 Pt	79 Au	80 Hg	81 Tl	82 Pb	83 Bi	84 Po	85 At	86 Rn	
		7	87 Fr	88 Ra	+Ac	104 Rf	105 Ha	106	107	108	109	110									

Electron Surplus

Reducing Elements

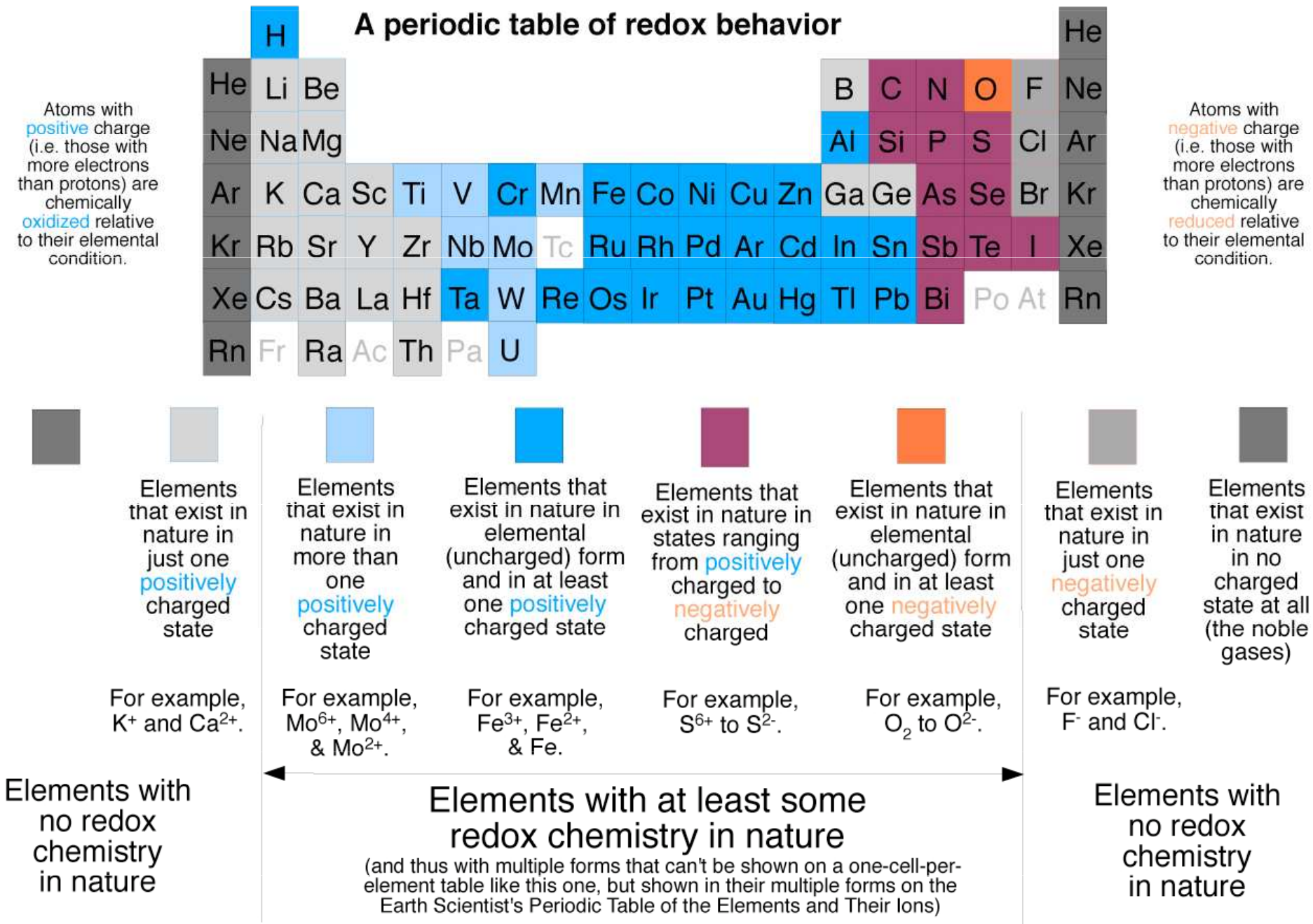
Oxidizing Elements

Electron Deficit

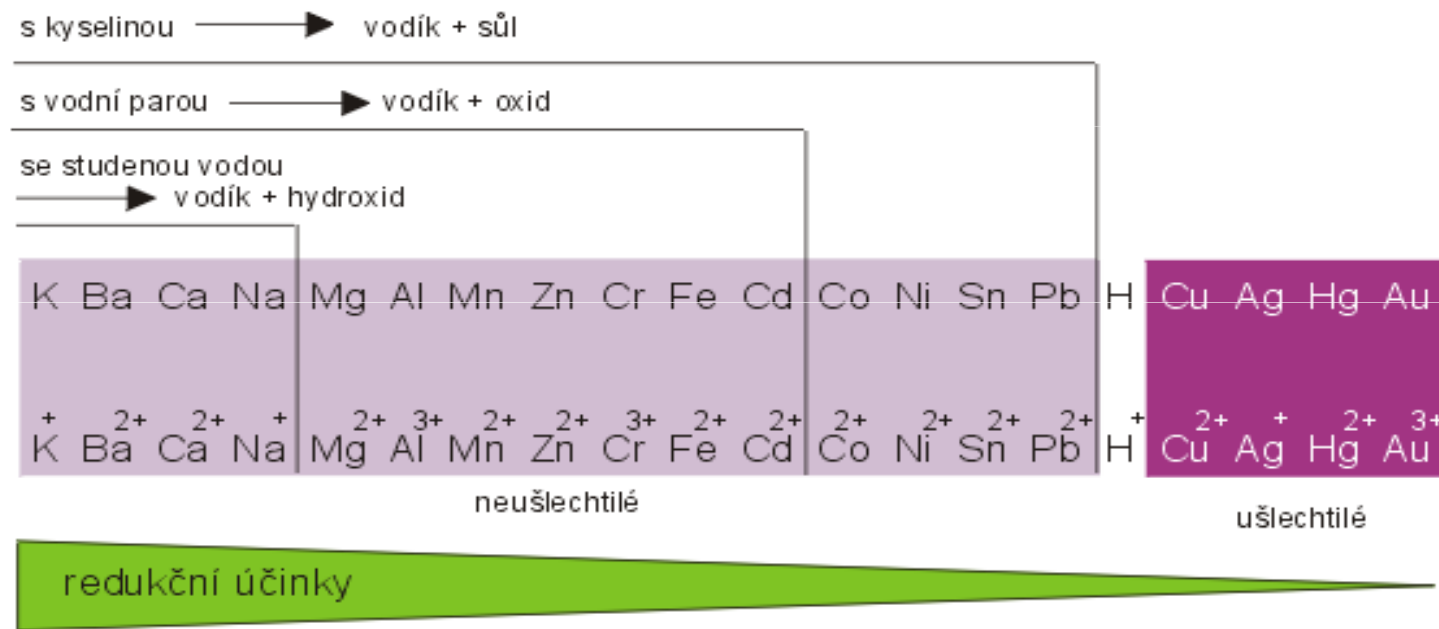
58 Ce	59 Pr	60 Nd	61 Pm	62 Sm	63 Eu	64 Gd	65 Tb	66 Dy	67 Ho	68 Er	69 Tm	70 Yb	71 Lu
90 Th	91 Pa	92 U	93 Np	94 Pu	95 Am	96 Cm	97 Bk	98 Cf	99 Es	100 Fm	101 Md	102 No	103 Lr

Lanthanides

Actinides



Elektrochemická řada napětí

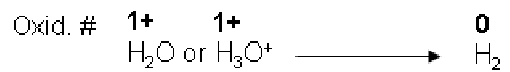
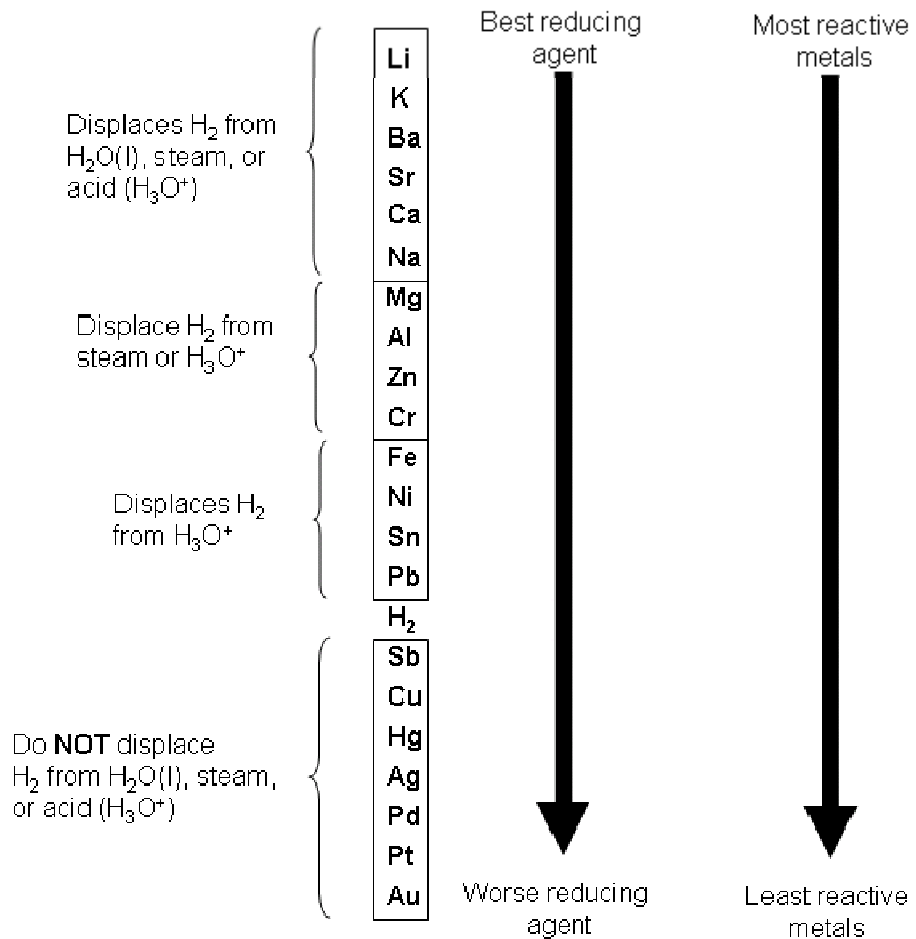


Řada aktivity kovů

1. Snadnost se kterou kov v roztoku ztrácí elektrony a tvoří pozitivní ionty klesá v řadě shora dolů t.j. od Cs po Pt.
 2. Kovy z horní části řady mají schopnost vytěsnit kovy umístěné níže z roztoků jejich solí.
 3. Řada aktivity kovů charakterizuje míru jejich reaktivity.
 4. Kovy v horní části řady je obtížné získat z jejich rud.

Metal Name	Symbol	Reactivity
Cesium	Cs	HIGHLY REACTIVE
Francium	Fr	
Rubidium	Rb	
Potassium	K	
Sodium	Na	
Lithium	Li	
Barium	Ba	
Radium	Ra	
Strontium	Sr	
Calcium	Ca	
Magnesium	Mg	MODERATELY REACTIVE
Aluminum	Al	
Titanium	Ti	
Manganese	Mn	
Zinc	Zn	
Chromium	Cr	
Iron	Fe	
Cadmium	Cd	
Cobalt	Co	
Nickel	Ni	
Tin	Sn	
Lead	Pb	
Hydrogen	H	Nonmetal (For Comparison)
Antimony	Sb	LEAST REACTIVE
Bismuth	Bi	
Copper	Cu	
Tungsten	W	
Mercury	Hg	
Silver	Ag	
Gold	Au	
Platinum	Pt	

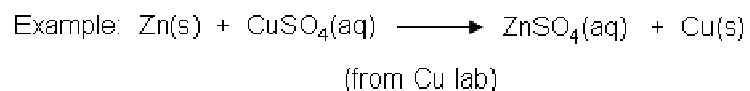
ACTIVITY SERIES OF METALS



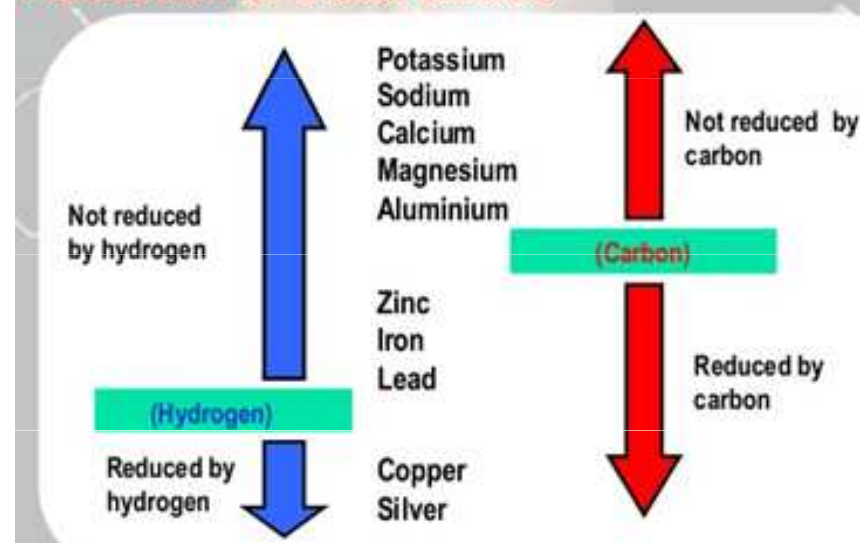
- H gains e⁻ and is reduced:
- Hence metals are reducing agents
- metals become oxidized



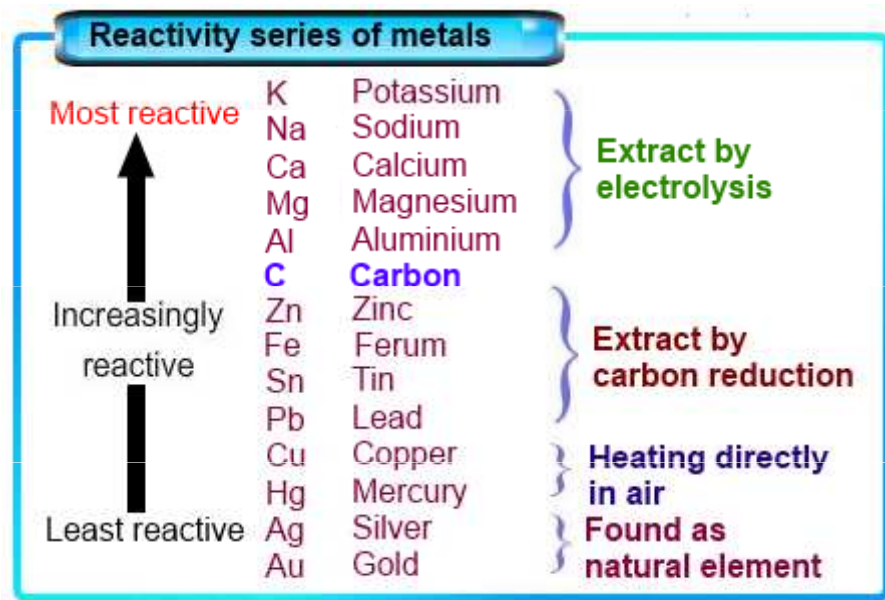
• A metal higher in the series will displace an element below it in the series.



Reduction of metal oxides



	Reduction with Carbon	Reduction with Hydrogen
Potassium		
Sodium		
Calcium		
Magnesium		
Aluminium		
(Carbon)		
Zinc		
Iron		
Tin		
Lead		
(Hydrogen)		
Copper		
Silver		
Gold		
	Oxides are not reduced by carbon	Oxides are not reduced by hydrogen
	Oxides reduced by heating with carbon	
		Oxides are reduced by heating with hydrogen
		Oxides decomposed to metal by heating only



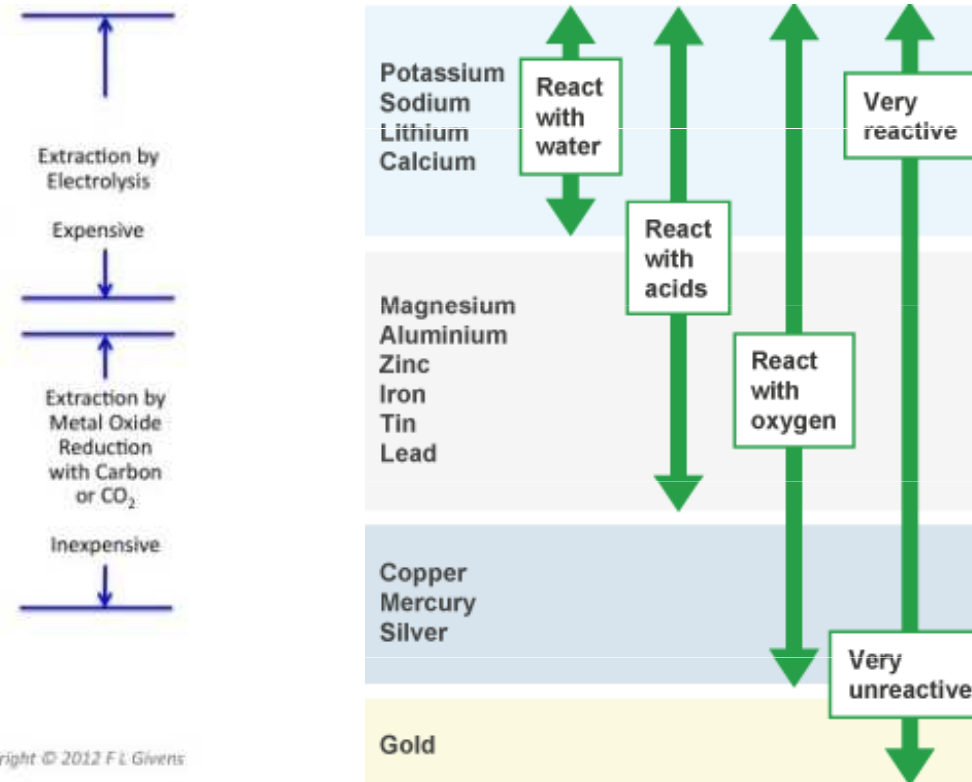
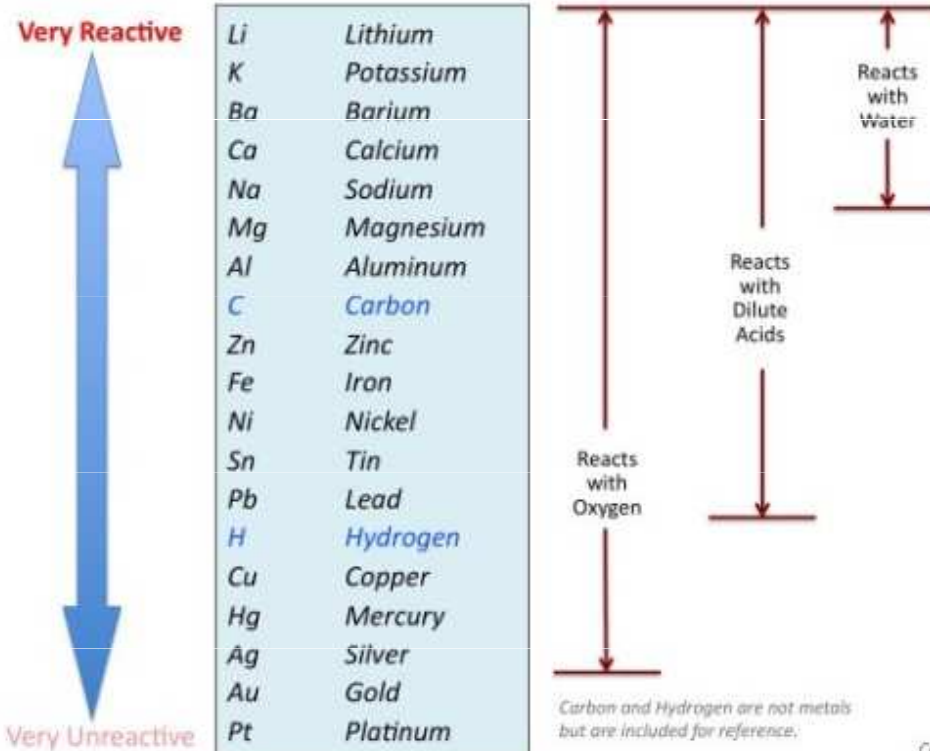
Reactivity Series of Metals

Potassium K (Most reactive metal)	
Sodium	Na
Calcium	Ca
Magnesium	Mg
Aluminium	Al
Zinc	Zn
Iron	Fe
Tin	Sn
Lead	Pb
[Hydrogen]	[H]
Copper	Cu
Mercury	Hg
Silver	Ag
Gold	Au

These metals are more reactive than hydrogen

These metals are less reactive than hydrogen

(Least reactive metal)

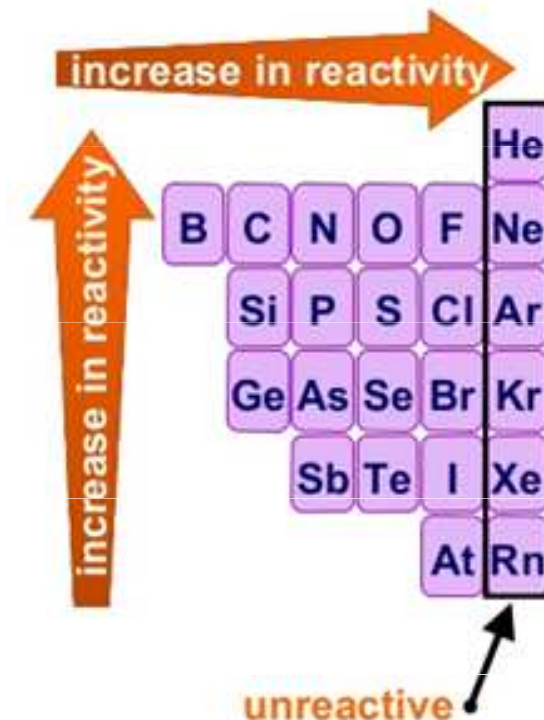


Metal Name	Symbol	Reactivity with Oxygen	Reactivity with Water	Reactivity with Acids
Cesium	Cs	Cs, Fr, Rb, K, Na, Li, Ba, Ra, Sr & Ca Reacts with oxygen at ordinary temperature to form oxides	Cs, Fr, Rb & K Violent Reaction with Cold Water Na, Li, Ba, Ra, Sr & Ca Moderate reaction with cold water, Strong reaction with hot water or steam	Cs, Fr, Rb, K, Na, Li, Ba, Ra, Sr React explosively with dilute acids to give hydrogen Ca Reacts less vigorously
Francium	Fr			
Rubidium	Rb			
Potassium	K			
Sodium	Na			
Lithium	Li			
Barium	Ba			
Radium	Ra			
Strontium	Sr			
Calcium	Ca			
Magnesium	Mg	Mg, Ti, Mn, Zn & Fe, Ni, Sn & Pb Reacts with oxygen on heating to form oxides Al Reacts with oxygen at ordinary temperature	Mg Very Slow Reaction with Cold Water, Strong reaction with hot water or steam Al, Ti, Mn, Zn & Fe Moderate reaction with hot water or steam Ni, Sn & Pb Do not react with water	Mg React vigorously with dilute acid to give hydrogen Al, Ti, Mn, Zn, Fe, Ni & Sn React moderately with dilute acid to give hydrogen Pb React with Concentrated acid to give hydrogen
Aluminum	Al			
Titanium	Ti			
Manganese	Mn			
Zinc	Zn			
Chromium	Cr			
Iron	Fe			
Cadmium	Cd			
Cobalt	Co			
Nickel	Ni			
Tin	Sn			
Lead	Pb			
Hydrogen	H	Nonmetal (For Comparison)	Nonmetal (For Comparison)	Nonmetal (For Comparison)
Antimony	Sb	Sb, Bi, Cu, W, Hg, Ag, Au & Pt Do not react with oxygen even on strong heating	Sb, Bi, Cu, W, Hg, Ag, Au & Pt Do not react with cold water, hot water, steam or dilute acids	Sb, Bi, Cu, W, Hg, Ag, Au & Pt Do not react with dilute acids
Bismuth	Bi			
Copper	Cu			
Tungsten	W			
Mercury	Hg			
Silver	Ag			
Gold	Au			
Platinum	Pt			

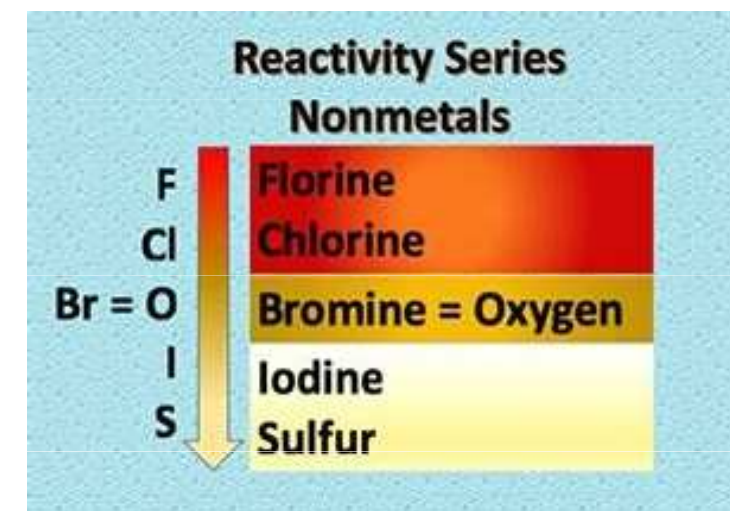
Reaktivita nekovů

Během vytěšňovacích reakcí více aktivní nekov vytěšňuje méně aktivní nekov ze sloučeniny.

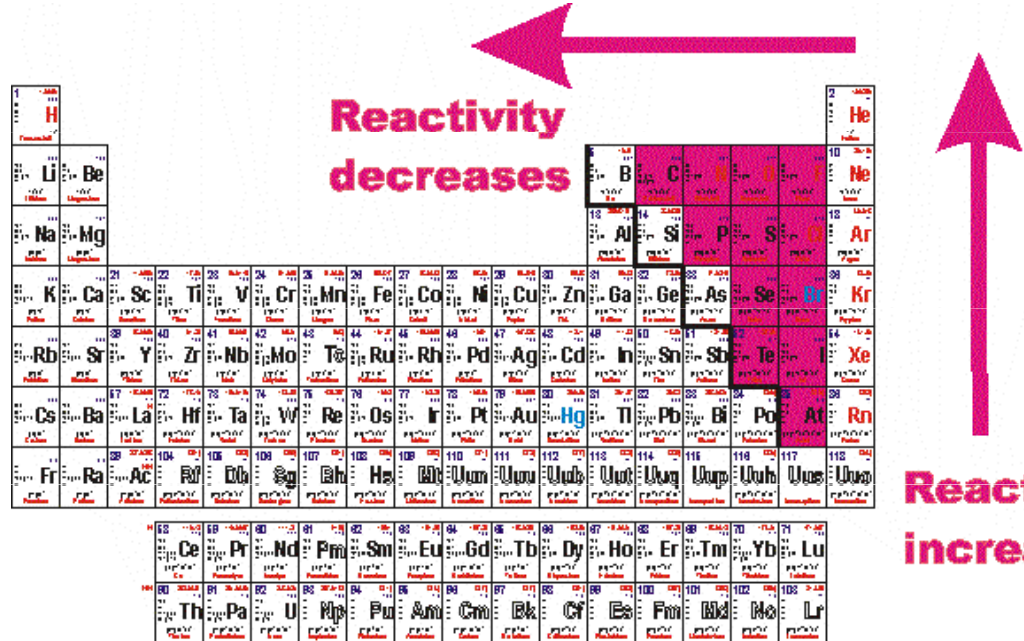
Aktivita nekovů závisí na jejich schopnosti přijímat z roztoku elektrony, za tvorby pozitivních iontů. Čím snadněji nekov přijímá elektrony, tím je aktivnější, a tím výše je v řadě reaktivity nekovů.



Activity Series of Non-Metals		
Most reactive	fluorine	F
	chlorine	Cl
	oxygen	O
	bromine	Br
	iodine	I
	sulfur	S
Least reactive	(red) phosphorus	P

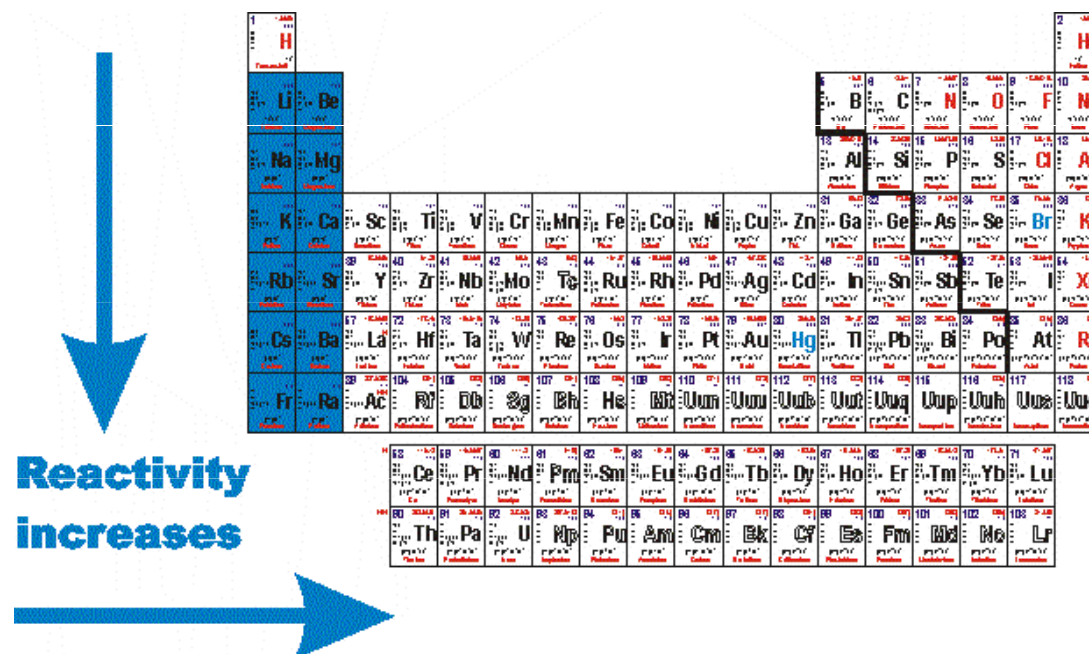


Reaktivita



Reactivity
increases

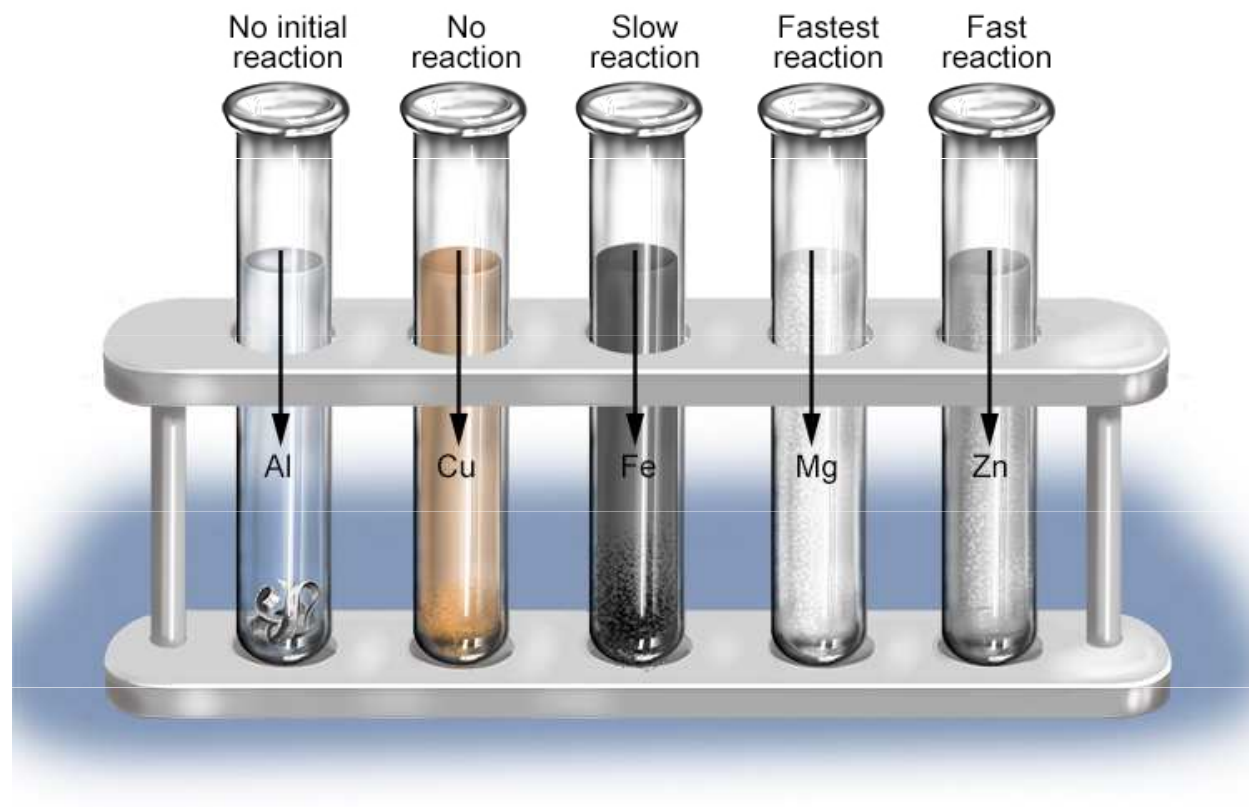
Reactivity
decreases



Reactivity
increases

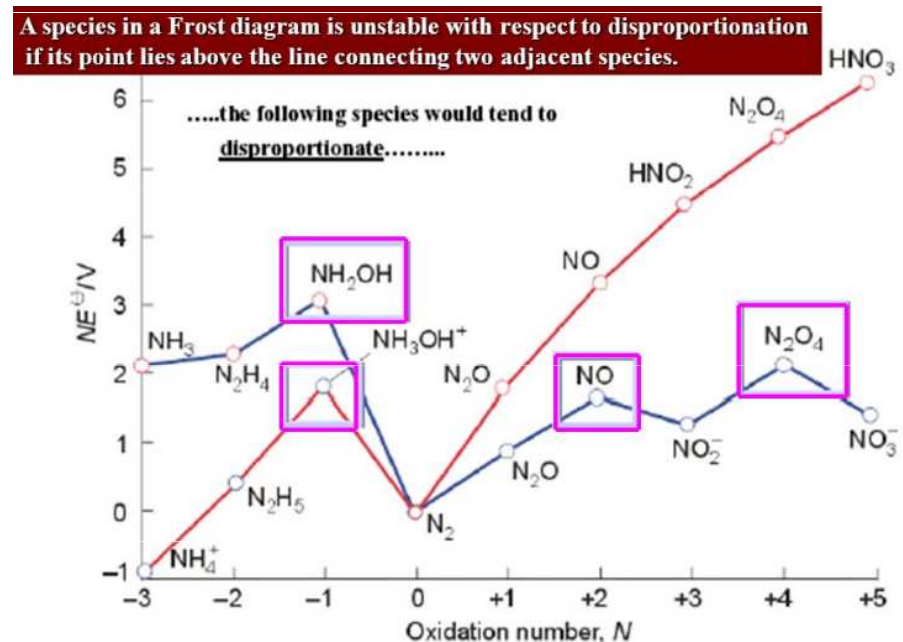
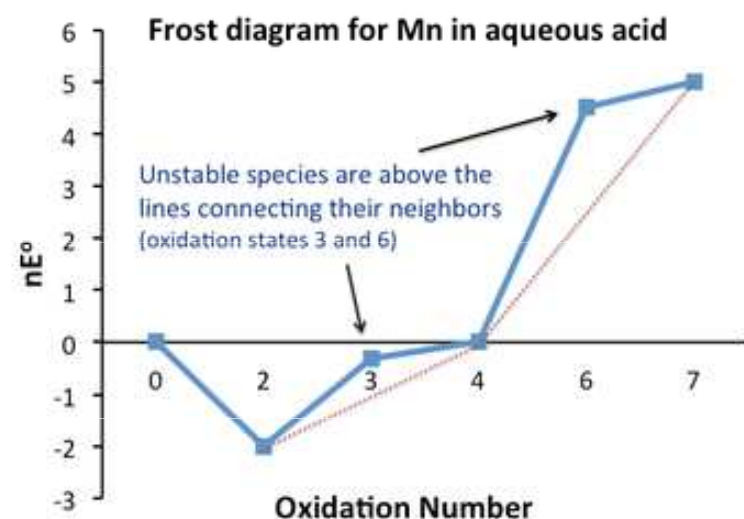
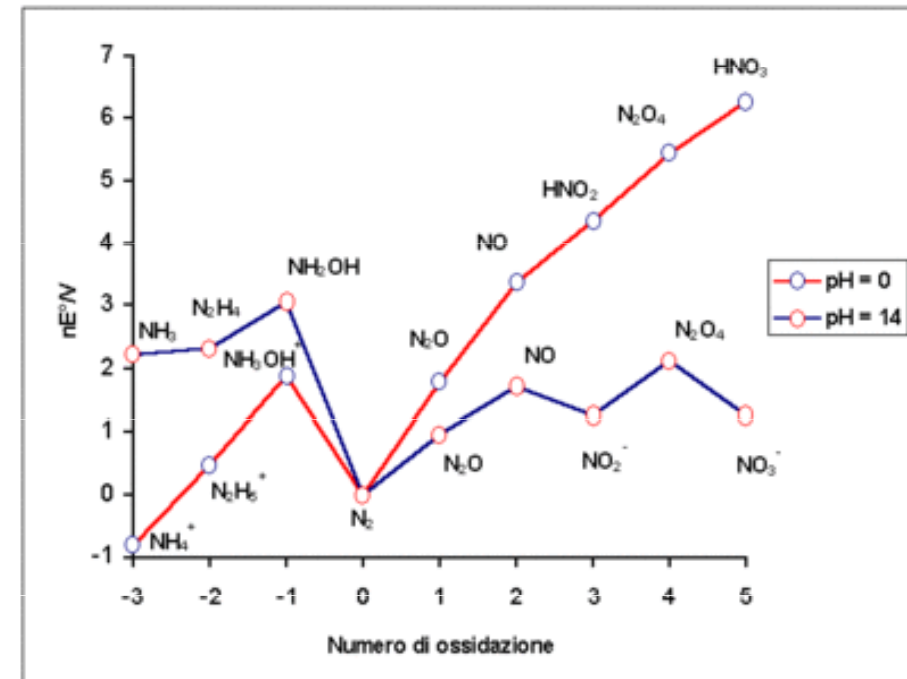
Reactivity
decreases

Element	Reaction with dilute hydrochloric acid
potassium	very violent- very explosive
sodium	very violent- explosive
calcium	very rapid- lots of hydrogen produced
magnesium	rapid- bubbles of hydrogen produced steadily
zinc	slow- bubbles of hydrogen produced slowly
iron	slow reaction- some bubbles produced
hydrogen	no reaction
copper	no reaction

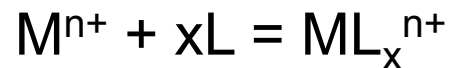


Frostův diagram

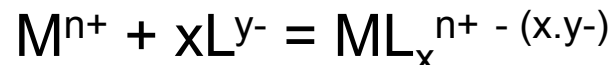
Tendence dvou látek k **synproporcionaci** či **disproporcionaci** lze vyjádřit Frostovým diagramem oxidačních čísel; pokud je u látek hodnota $\Delta G/F$ níže než čára spojující příslušná oxidační čísla na obou stranách, pak tyto látky, jsou-li společně přítomny v roztoku, podléhají synproporcionaci.



KOORDINAČNÍ SLOUČENINY

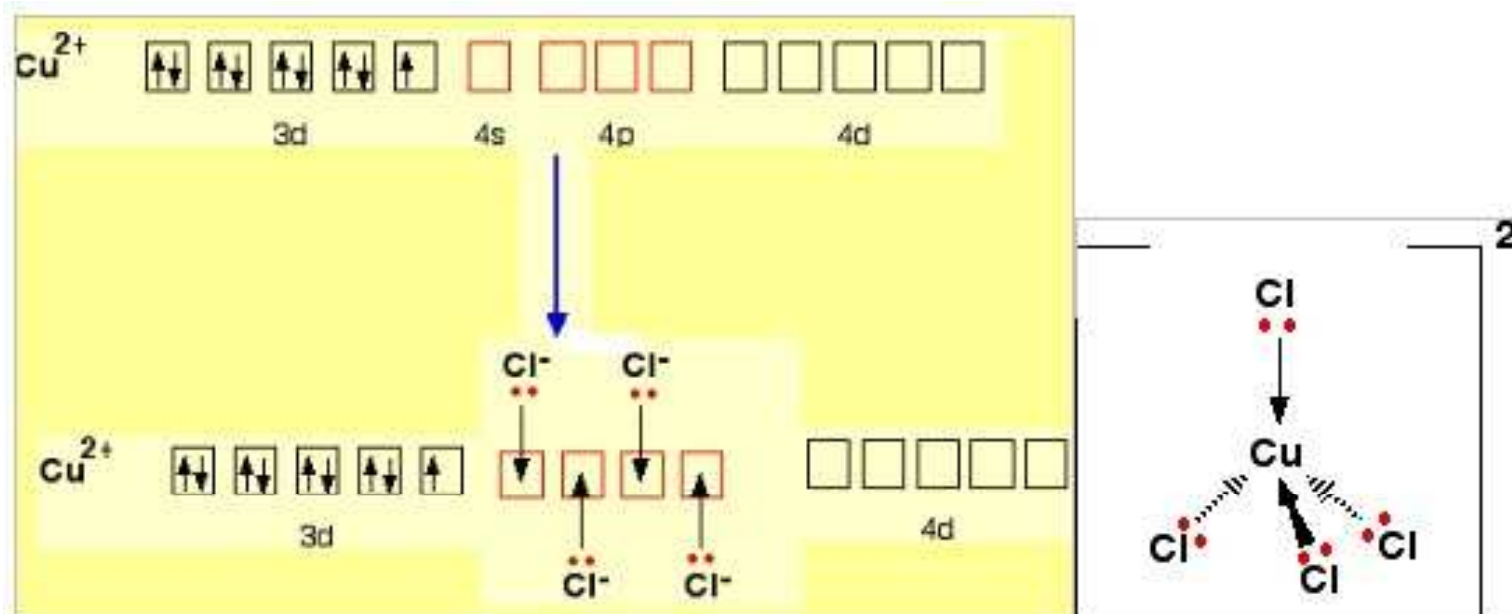


(M = centrální atom, L= neutrální ligand)



(L= aniontový ligand)

Koordinační číslo - počet atomů ligandů přímo vázaných na centrální atom v jeho koordinační sféře prostřednictvím tzv. **donorového atomu** (většinou C, P, N, O, S nebo halogen)

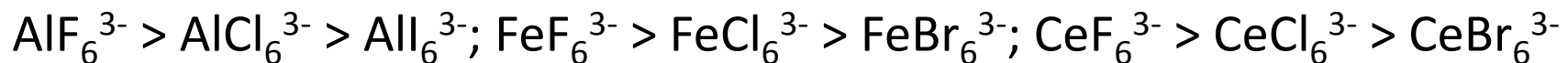


Stabilita komplexů

1. Nejvýše nabité kationty vážou přednostně nejmenší anionty. Např.:



2. Při vzniku iontových komplexů mohou hrát významnou roli elektrostatické síly, což vysvítá z **řady stability**: s rostoucí velikostí iontů (a tím pádem i vzdáleností iontů) vznikají méně stabilní komplexní ionty. To platí zejména tehdy, má-li centrální kation konfiguraci vzácného plynu nebo vysoký náboj.



3. Četné výjimky z tohoto pravidla indikují zapojení také jiných než čistě elektrostatických interakcí. Např.



4. Stabilita komplexů se zvyšuje u ligandů obsazujících několik koordinačních míst najednou (tzv. cheláty)

5. Komplexy některých iontů (Cr^{3+} , Co^{3+} , Pt^{2+} , Pt^{4+} , Ni^{2+}) velmi neochotně mění ligandy. Tyto ionty mají nezaplněné d-slupky.

d^3 : Cr^{3+} ,

d^6 : Co^{3+} , Pt^{4+}

d^8 : Ni^{2+} , Pt^{2+}

U nezaplněné d-slupky vzniká nepříznivé rozložení náboje pro přísun dalšího ligandu, který má nahradit jeden z původních.

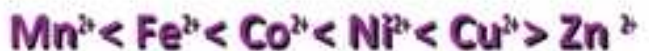
The stability of complexes is influenced by a number of factors related to the ligand and metal ions.

- 1. Nature of the metal ion:** Small ions with high charges lead to stronger complexes.
- 2. Nature of the ligand:** The ligands forming chelates impart extra stability (chelon effect). For example the complex of nickel with a multidentate ligand is more stable than the one formed with ammonia.
- 3. Basicity of the ligand:** Greater basicity of the ligand results in greater stability of the complex.

- To some extent we can say that if the ligand is smaller in size and bearing higher charge it will form more stable complexes.
- For example usually F^- forms more stable complexes than Cl^-
- In the case of neutral mono dentate ligands, high dipole moment and small size favour more stable complexes.

Irwing-Williamsova řada stability

- Stabilities of the high spin complexes of the 3d metals from Mn^{2+} to Zn^{2+} with a common ligand is usually

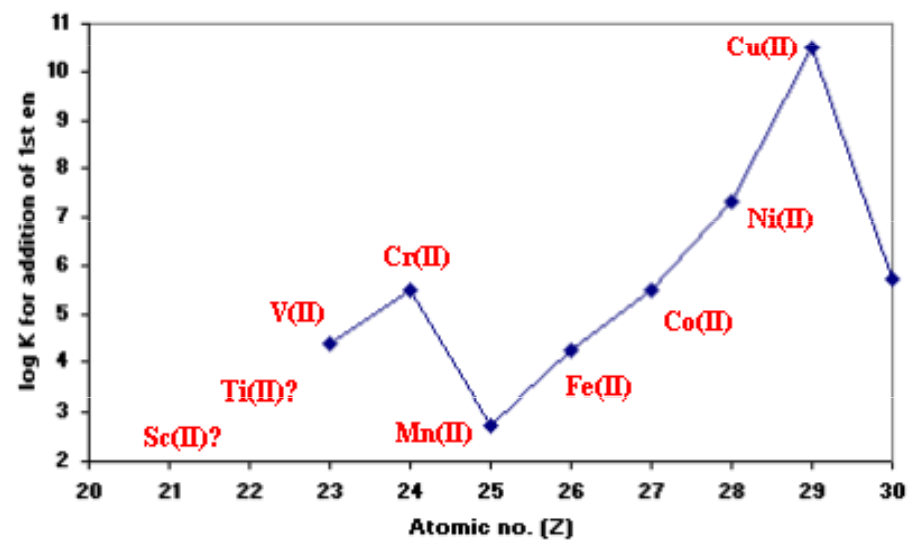


- This is attributed to the CFSE values of the complexes and called natural order of stability.
- There is a discrepancy with Cu which is due to Jahn – Teller distortion

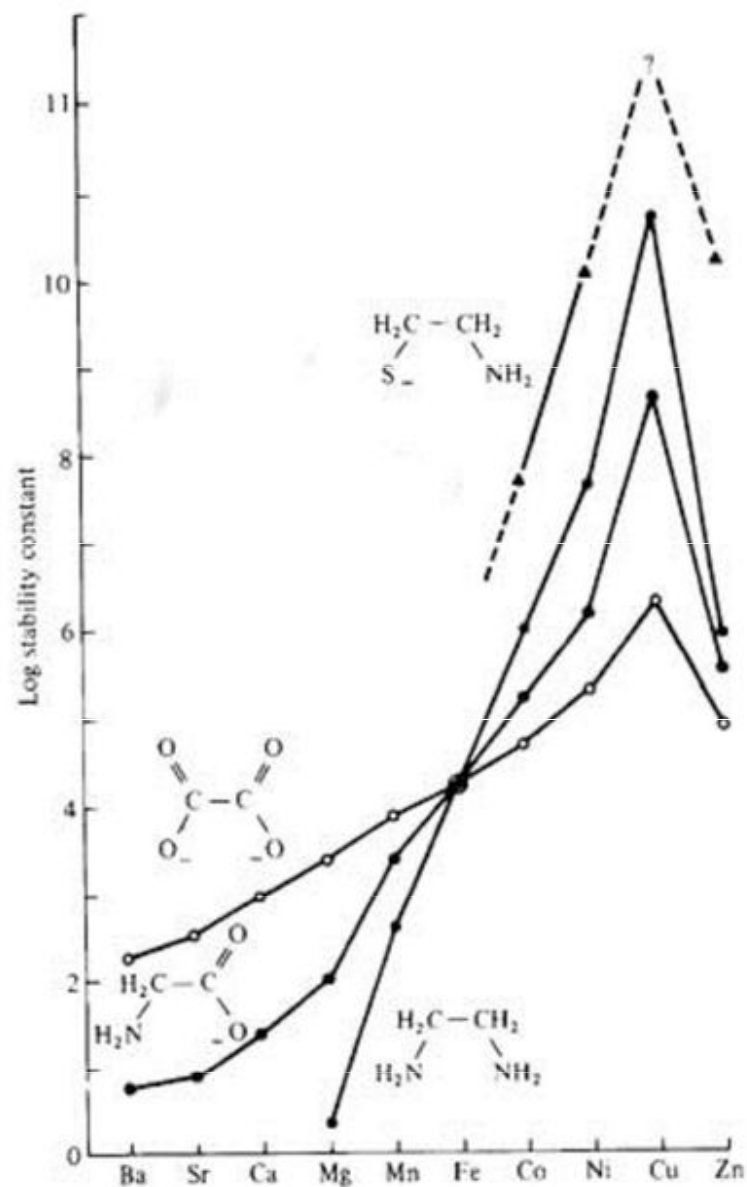
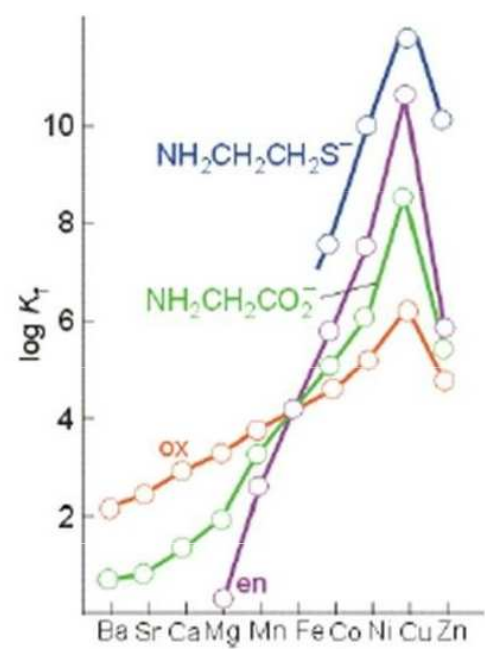
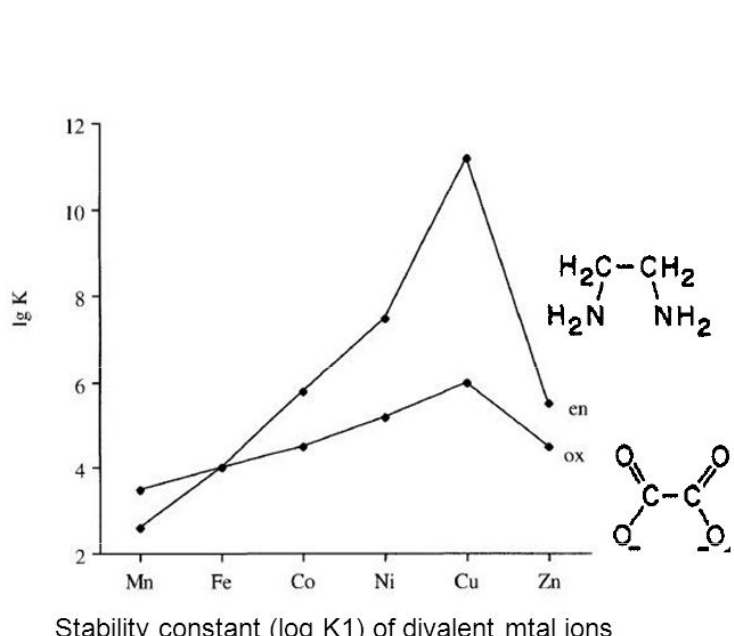
- Partially explained by electrostatics: smaller metal centre, same charge = greater charge density
- Based on electrostatics we expect stabilities which vary as:
 $Mn^{2+} < Fe^{2+} < Co^{2+} < Ni^{2+} > Cu^{2+} > Zn^{2+}$
- Irving William Series gives Cu^{2+} more stable than Ni^{2+}
 - Because of Jahn Teller Distortion

Periodic Table of the Elements																	
1	H	2															18
3	Li	4	Be														He
5	Na	6	Mg														
7	K	8	Ca	9	Sc	10	Ti	11	V	12	Cr	13	Mn	14	Fe	15	Co
14		15		16		17		18		19		20		21		22	
19		20		21		22		23		24		25		26		27	
22		23		24		25		26		27		28		29		30	
23		24		25		26		27		28		29		30		31	
24		25		26		27		28		29		30		31		32	
25		26		27		28		29		30		31		32		33	
26		27		28		29		30		31		32		33		34	
27		28		29		30		31		32		33		34		35	
28		29		30		31		32		33		34		35		36	
29		30		31		32		33		34		35		36		37	
30		31		32		33		34		35		36		37		38	
31		32		33		34		35		36		37		38		39	
32		33		34		35		36		37		38		39		40	
33		34		35		36		37		38		39		40		41	
34		35		36		37		38		39		40		41		42	
35		36		37		38		39		40		41		42		43	
36		37		38		39		40		41		42		43		44	
37		38		39		40		41		42		43		44		45	
38		39		40		41		42		43		44		45		46	
39		40		41		42		43		44		45		46		47	
40		41		42		43		44		45		46		47		48	
41		42		43		44		45		46		47		48		49	
42		43		44		45		46		47		48		49		50	
43		44		45		46		47		48		49		50		51	
44		45		46		47		48		49		50		51		52	
45		46		47		48		49		50		51		52		53	
46		47		48		49		50		51		52		53		54	
47		48		49		50		51		52		53		54		55	
48		49		50		51		52		53		54		55		56	
49		50		51		52		53		54		55		56		57	
50		51		52		53		54		55		56		57		58	
51		52		53		54		55		56		57		58		59	
52		53		54		55		56		57		58		59		60	
53		54		55		56		57		58		59		60		61	
54		55		56		57		58		59		60		61		62	
55		56		57		58		59		60		61		62		63	
56		57		58		59		60		61		62		63		64	
57		58		59		60		61		62		63		64		65	
58		59		60		61		62		63		64		65		66	
59		60		61		62		63		64		65		66		67	
60		61		62		63		64		65		66		67		68	
61		62		63		64		65		66		67		68		69	
62		63		64		65		66		67		68		69		70	
63		64		65		66		67		68		69		70		71	
64		65		66		67		68		69		70		71		72	
65		66		67		68		69		70		71		72		73	
66		67		68		69		70		71		72		73		74	
67		68		69		70		71		72		73		74		75	
68		69		70		71		72		73		74		75		76	
69		70		71		72		73		74		75		76		77	
70		71		72		73		74		75		76		77		78	
71		72		73		74		75		76		77		78		79	
72		73		74		75		76		77		78		79		80	
73		74		75		76		77		78		79		80		81	
74		75		76		77		78		79		80		81		82	
75		76		77		78		79		80		81		82		83	
76		77		78		79		80		81		82		83		84	
77		78		79		80		81		82		83		84		85	
78		79		80		81		82		83		84		85		86	
79		80		81		82		83		84		85		86		87	
80		81		82		83		84		85		86		87		88	
81		82		83		84		85		86		87		88		89	
82		83		84		85		86		87		88		89		90	
83		84		85		86		87		88		89		90		91	
84		85		86		87		88		89		90		91		92	
85		86		87		88		89		90		91		92		93	
86		87		88		89		90		91		92		93		94	
87		88		89		90		91		92		93		94		95	
88		89		90		91		92		93		94		95		96	
89		90		91		92		93		94		95		96		97	
90		91		92		93		94		95		96		97		98	
91		92		93		94		95		96		97		98		99	
92		93		94		95		96		97		98		99		100	
93		94		95		96		97		98		99		100		101	
94		95		96		97		98		99		100		101		102	
95		96		97		98		99		100		101		102		103	
96		97		98		99		100		101		102		103		104	
97		98		99		100		101		102		103		104		105	
98		99		100		101		102		103		104		105		106	
99		100		101		102		103		104		105		106		107	
100		101		102		103		104		105		106		107		108	
101		102		103		104		105		106		107		108		109	
102		103		104		105		106		107		108		109		110	
103		104		105		106		107		108		109		110		111	
104		105		106		107		108		109		110		111		112	
105		106		107		108		109		110		111		112		113	
106		107		108		109		110		111		112		113		114	
107		108		109		110		111		112		113		114		115	
108		109		110		111		112		113		114		115		116	
109		110		111		112		113		114		115		116		117	
110		111		112		113		114		115		116		117		118	
111		112		113		114		115		116		117		118		119	
112		113		114		115		116		117		118		119		120	
113		114		115		116		117		118		119		120		121	
114		115		116		117		118		119		120					

log K versus Z



1,2-diaminoethan (en), the first step-wise stability constants ($\log K_1$) for M(II) ions



Klasifikace koordinačních sloučenin podle koordinačního čísla centrálního atomu (hybridizace):

koord. č. 2 (zřídka) - **lineární** $[\text{Ag}(\text{CN})_2]^-$

koord. č. 3 (zřídka) - **trojúhelník** $[\text{HgI}_3]^-$

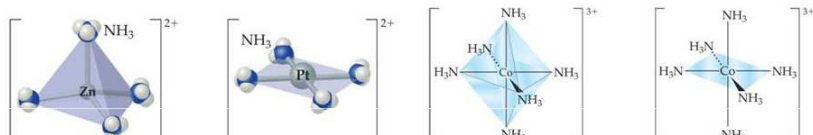
koord. č. 4 (často) - **tetraedr** $[\text{Cu}(\text{CN})_4]^{2-}$ nebo **čtverec** $[\text{Pt}(\text{NH}_3)_4]^{2+}$

koord. č. 5 (zřídka) - **trojboká pyramida** nebo **čtvercová pyramida** $[\text{Fe}(\text{CO})_5]$

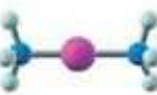
koord. č. 6 (nejčastější) - **oktaedr** $[\text{Co}(\text{NH}_3)_6]^{3+}$

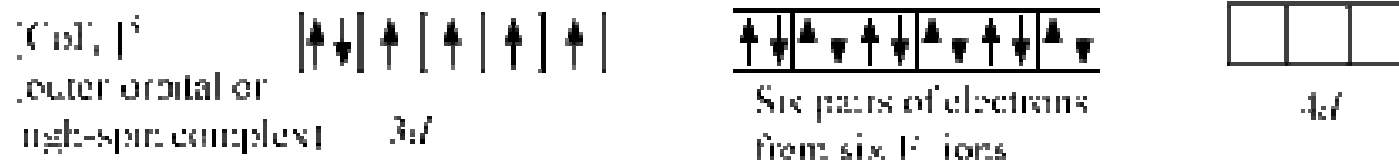
koord. č. 7 (zřídka) – **pentagonální bipyramida** $[\text{ZrF}_7]^{2-}$

Coordination number	Shape	Hybridization	Examples
2	Linear	sp	$[\text{CuCl}_2]^-$
4	Tetrahedral	sp^3	$[\text{CuCl}_4]^-$
4	Square planar	dsp^2	$[\text{Ni}(\text{CN})_4]^{2-}$
6	Octahedral	sp^3d^2	$[\text{Fe}(\text{H}_2\text{O})_6]^{2+}$

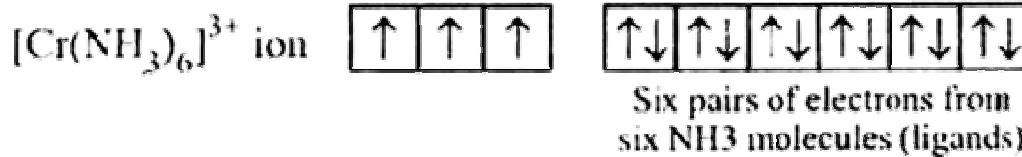
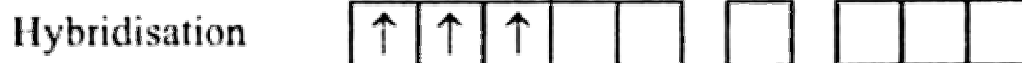
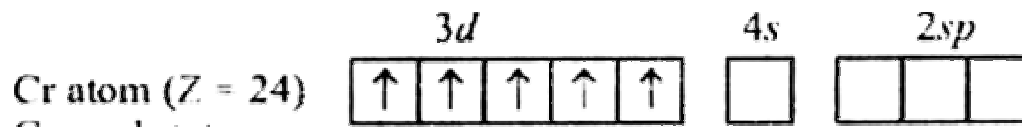


Co-ordination number	2	4	4	6
Shape	linear — M —	tetrahedral 	square planar 	octahedral
Bond angles	180°	$109\frac{1}{2}^\circ$	90°	90°
Occurrence	Ag^+ complexes	Large ligands (e.g. Cl^-)	Pt^{2+} complexes	Commonest
e.g.	$[\text{Ag}(\text{NH}_3)_2]^+$	$[\text{CuCl}_4]^{2-}$	$[\text{PtCl}_4]^{2-}$	$[\text{Cu}(\text{H}_2\text{O})_6]^{2+}$

CN	Geometry	Hybridization	Example
2	Linear		$[\text{Ag}(\text{NH}_3)_2]^+$
4	Tetrahedral		$[\text{Cd}(\text{NH}_3)_4]^{2+}$
4	square planar		$[\text{Cu}(\text{OH}_2)_4]^{2+}$
5	trigonal bipyramidal		$\text{Fe}(\text{CO})_5$
5	Square pyramidal		$[\text{Mn}(\text{Cl})_5]^{3-}$
6	Octahedral		$[\text{Fe}(\text{CN})_6]^{4-}$

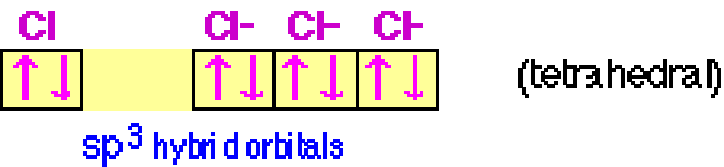


d^2sp^3

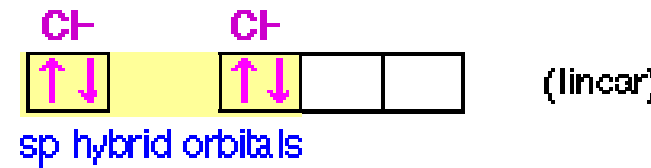
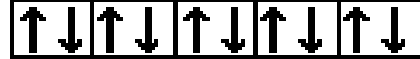


sp³

Zn(II) in [ZnCl₄]²⁻



Zn(II) in ZnCl₂



Zn²⁺ ion



3d



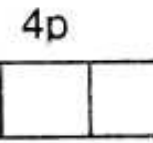
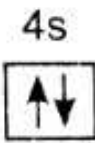
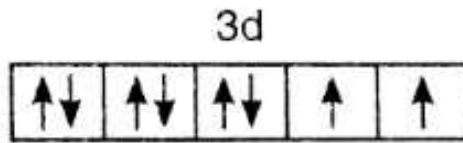
4p

Zn atom

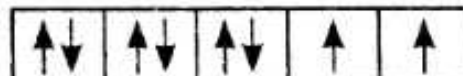


dsp²

Ni-atom

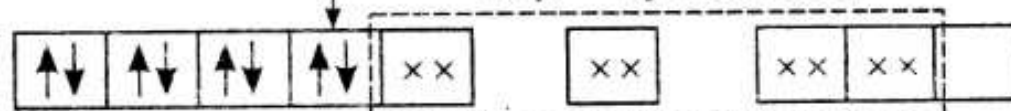


Ni (II)



dsp² – Hybridisation

[Ni(CN)₄]²⁻



CN⁻

CN⁻

CN⁻ CN⁻

Atom/ion / complex (1)	Configuration (2)	Oxidation state of metal (3)	Type of hybridization (4)	Geometry shape (5)	No. of unpaired electrons (6)	Magnetic nature (7)
$\text{Ni}^{2+}(d^8)$		+2			2	Paramagnetic
$[\text{NiCl}_4]^{2-}$		+2	sp^3	Tetrahedral	2	Paramagnetic
$[\text{Ni}(\text{CN})_4]^{2+}$		+2	dsp^2	Square planar	0	Diamagnetic
Ni		0			2	Paramagnetic
$\text{Ni}(\text{CO})_4$		0	sp^3	Tetrahedral	0	Diamagnetic
$[\text{Ni}(\text{NH}_3)_6]^{2+}$		+2	sp^3d^2 (Outer)	Octahedral	2	Paramagnetic
$\text{Mn}^{2+}(d^5)$		+2			5	Paramagnetic
$[\text{Mn}(\text{CN})_6]^{4-}$		+2	d^2sp^3 (Inner)	Octahedral	1	Paramagnetic
$[\text{MnCl}_4]^{2-}$		+2	sp^3	Tetrahedral	5	Paramagnetic
$\text{Cu}^{2+}(d^9)$		+2			1	Paramagnetic
$[\text{CuCl}_4]^{2-}$		+2	sp^3	Tetrahedral	1	Paramagnetic
$[\text{Cu}(\text{NH}_3)_4]^{2+}$		+2	dsp^2	Square planar	1	Paramagnetic

(1)	(2)	(3)	(4)	(5)	(6)	(7)
$\text{Cr}^{3+}(d^3)$		+3			3	Paramagnetic
$[\text{Cr}(\text{NH}_3)_6]^{3+}$		+3	d^2sp^3 (Inner)	Octahedral	3	Paramagnetic
$[\text{Cr}(\text{H}_2\text{O})_6]^{3+}$		+3	sp^3d^2 (Outer)	Octahedral	3	Paramagnetic
$\text{Co}^{3+}(d^6)$		+3			4	Paramagnetic
$[\text{CoF}_6]^{3-}$		+3	sp^3d^2 (Outer)	Octahedral	4	Paramagnetic
$[\text{Co}(\text{NH}_3)_6]^{3+}$		+3	d^2sp^3 (Inner)	Octahedral	0	Diamagnetic
$\text{Co}^{2+}(d^7)$		+2			3	Paramagnetic
$[\text{Co}(\text{H}_2\text{O})_6]^{2+}$		+2	sp^3d^2 (Outer)	Octahedral	3	Paramagnetic
$\text{Fe}^{2+}(d^6)$		+2			4	Paramagnetic
$[\text{Fe}(\text{CN})_6]^{4-}$		+2	d^2sp^3 (Inner)	Octahedral	0	Diamagnetic
$[\text{Fe}(\text{H}_2\text{O})_6]^{2+}$		+2	sp^3d^2 (Outer)	Octahedral	4	Paramagnetic
$[\text{Fe}(\text{NH}_3)_6]^{2+}$		+2	sp^3d^2 (Outer)	Octahedral	4	Paramagnetic
$\text{Fe}^{3+}(d^5)$		+3			5	Paramagnetic
$[\text{Fe}(\text{CN})_6]^{3-}$		+3	d^2sp^3 (Inner)	Octahedral	1	Paramagnetic
Fe		0			4	Paramagnetic
$\text{Fe}(\text{CO})_5$		0	dsp^3 (Inner)	Trigonal bipyramidal	0	Diamagnetic

Complex ion	Central metal ion	Configuration of metal ion	Hybridisation of metal ion involved	Geometry of complex ion	Number of unpaired electrons	Magnetic behaviour
$[\text{Ni}(\text{CN})_4]^2$	Ni^{2+}	d^8	dsp^2	Square planar	0	Diamagnetic
$[\text{Ni}(\text{Cl})_4]^{2-}$	Ni^{2+}	d^8	sp^3	Tetrahedral	2	Paramagnetic
$[\text{CoF}_6]^{3-}$	Co^{3+}	d^6	sp^3d^2	Octahedral	4	Paramagnetic

S. No.	Complex	Central metal ion	Configuration of metal ion	Hybridisation of metal ion	Geometry of the complex	Number of unpaired electrons	Magnetic behaviour
(i)	$[\text{CoF}_4]^{2-}$	Co^{2+}	d^7	sp^3	Tetrahedral	3	Paramagnetic
(ii)	$[\text{Cr}(\text{H}_2\text{O})_6]$	Cr^{3+}	$3d^3$	d^2sp^3	Octahedral	3	Paramagnetic
(iii)	$\text{Ni}(\text{CO})_4$	Ni	$3d^8 4s^2$	sp^3	Tetrahedral	0	Diamagnetic

Teorie krystalového a teorie ligandového pole

Teorie krystalového pole uvažuje pouze elektrostatické interakce, teorie ligandového pole je zobecněním předchozí teorie, zahrnuje i jiné typy interakcí.

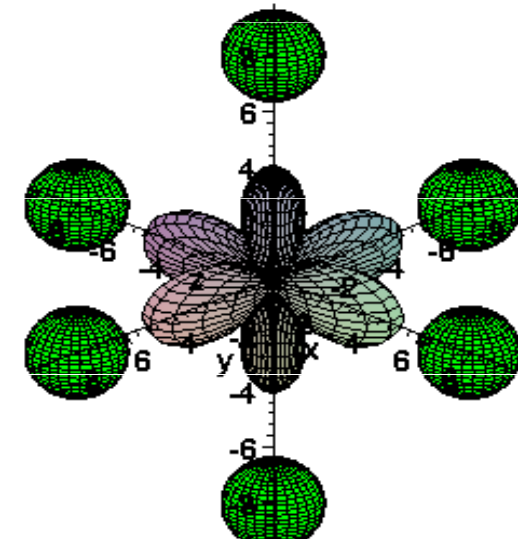
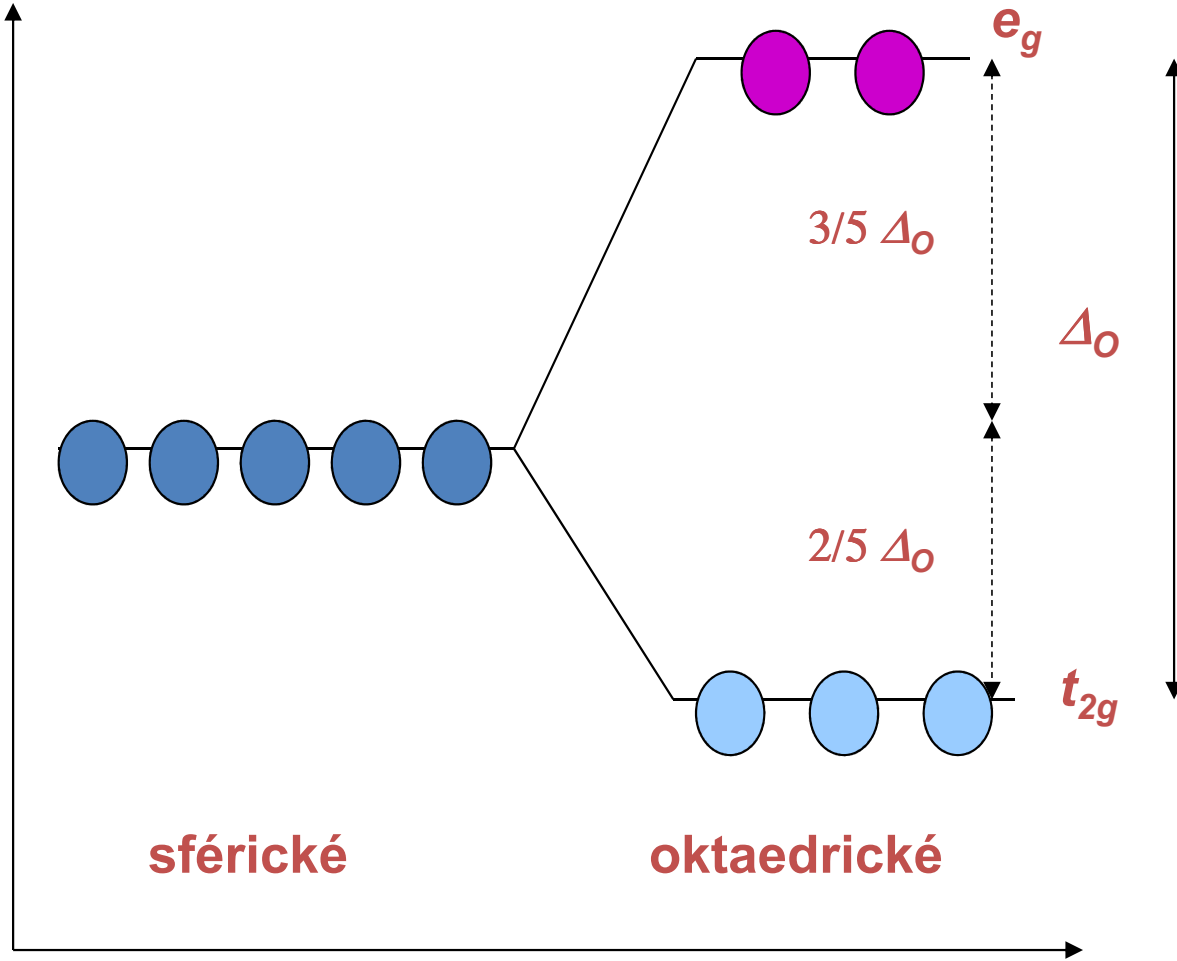
- vysvětlují elektronovou konfiguraci (a s tím související vlastnosti komplexu) centrálního atomu o dané symetrii obklopujících ligandů

Nejčastější je **oktaedrická symetrie** ⇒

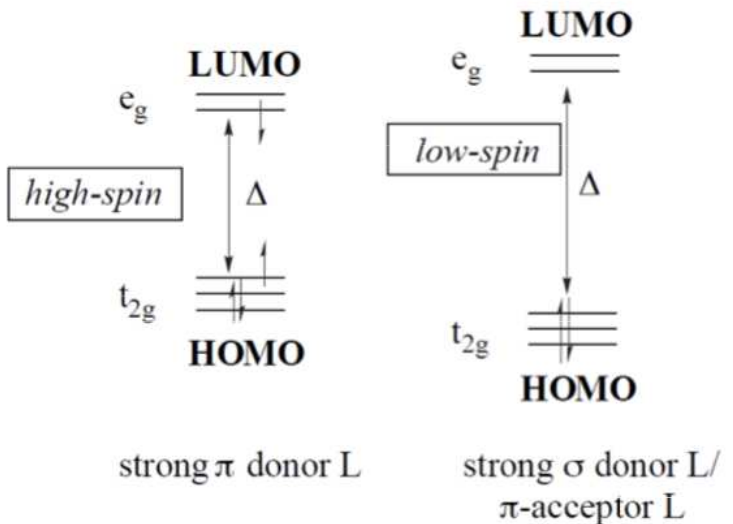
centrální atom je obklopen 6 ligandy, elektrony na orbitech $d_{x^2-y^2}$ a d_{z^2} jsou lokalizovány v bezprostřední blízkosti záporných nábojů ligandů, zatím co elektrony na zbývajících d orbitalech jsou ovlivněny ligandy méně. Soubor 5 původně degenerovaných d-orbitalů se elektronovou repulzí energeticky štěpí na 2 podhladiny:

$$d_{x^2-y^2}, d_{z^2} \quad \text{a} \quad d_{xy}, d_{xz}, d_{yz}$$

Energetický rozdíl mezi těmito podhladiny se nazývá **síla ligandového pole**, označuje se **D** a udává se v cm^{-1} .

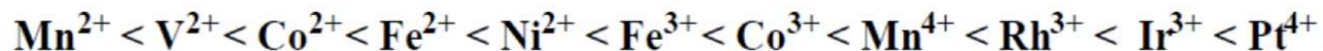


Velikost Δ závisí:



I) na povaze centrálního atomu

- a) s oxidačním číslem Δ roste
 - b) s hlavním kvantovým číslem Δ roste



← 1st row/low-valent 2nd,3rd row/high-valent →
 low Δ high Δ

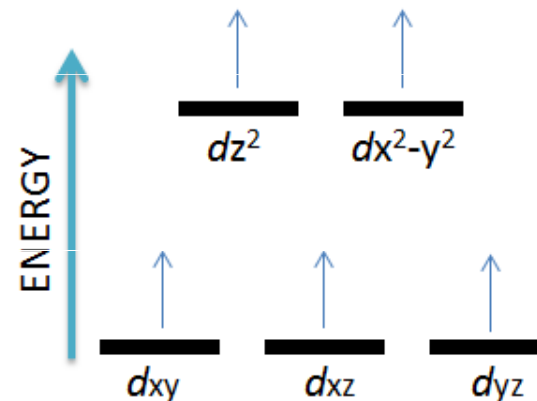
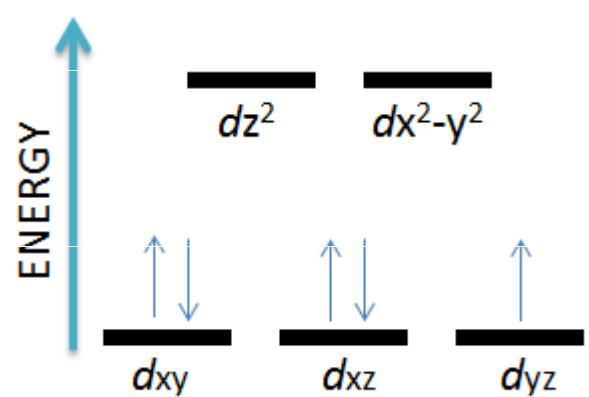
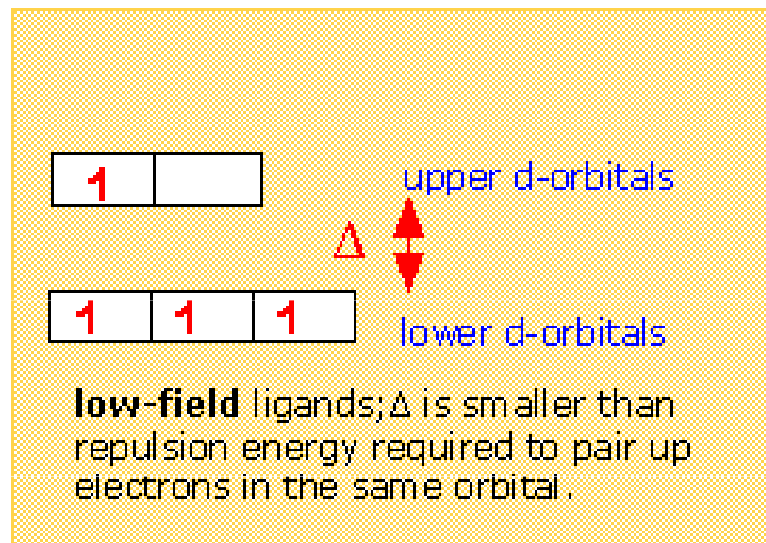
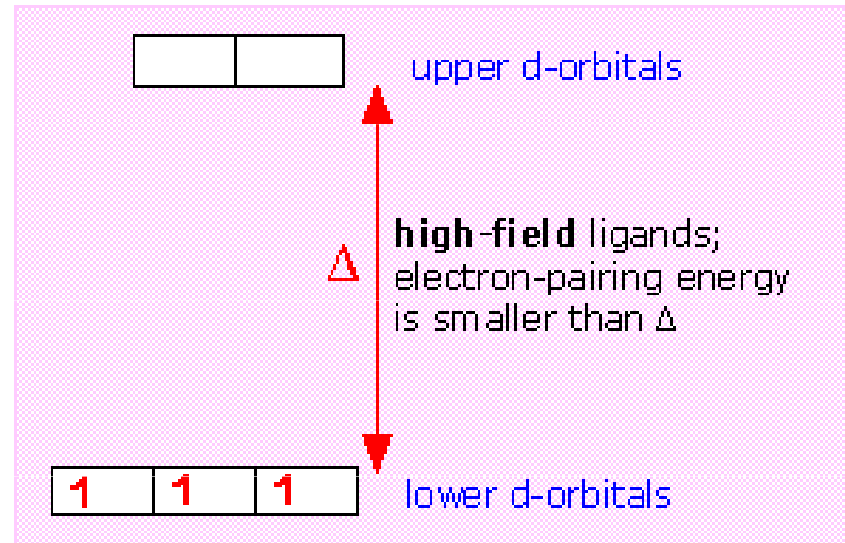
II) na povaze ligandu

ligandy lze sestavit podle schopnosti štěpit d-orbitaly centrálního kovu do tzv. spektrochemické řady ligandů:

I⁻, Br⁻, Cl⁻, SCN⁻, F⁻, S₂O₃²⁻, CO₃²⁻, OH⁻, NO₃⁻, SO₄²⁻, H₂O, C₂O₄²⁻, NO₂⁻, NH₃, C₅H₅N, en, H⁻, C₅H₅⁻, CO, CN⁻

zhruba platí pořadí:

halogenkomplexy < aquakomplexy < amminkomplexy < kyanokomplexy

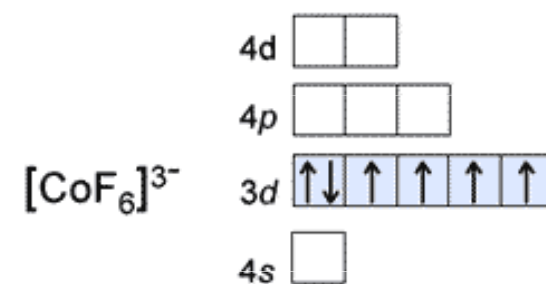
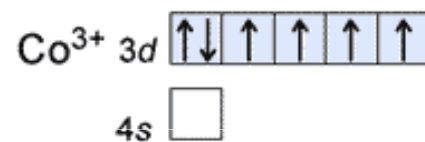
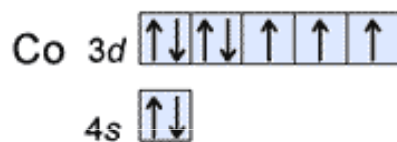


← strong weak →

CN^- , CO NO_2^- en NH_3 H_2O ox OH^- F^- SCN^- , Cl^- Br^- I^-

Relative ligand field strengths

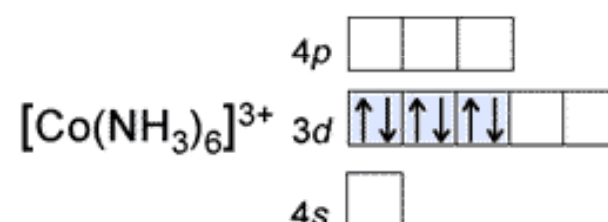
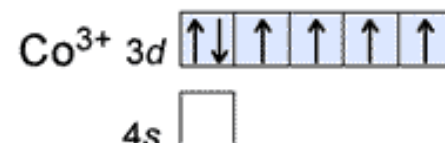
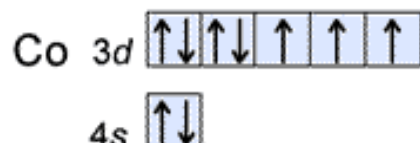
$[\text{CoF}_6]^{3-}$ Octahedral complex sp^3d^2



Outer orbital complex
High spin complex
4 unpaired electrons

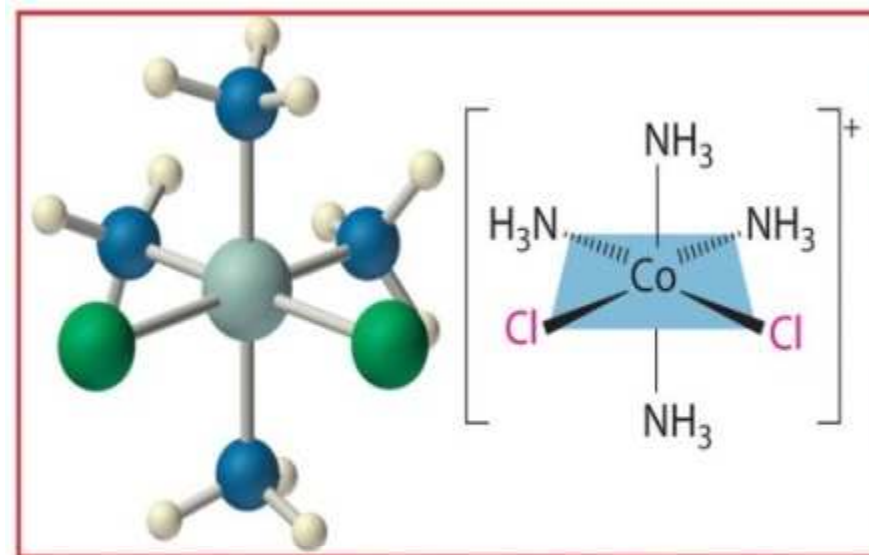
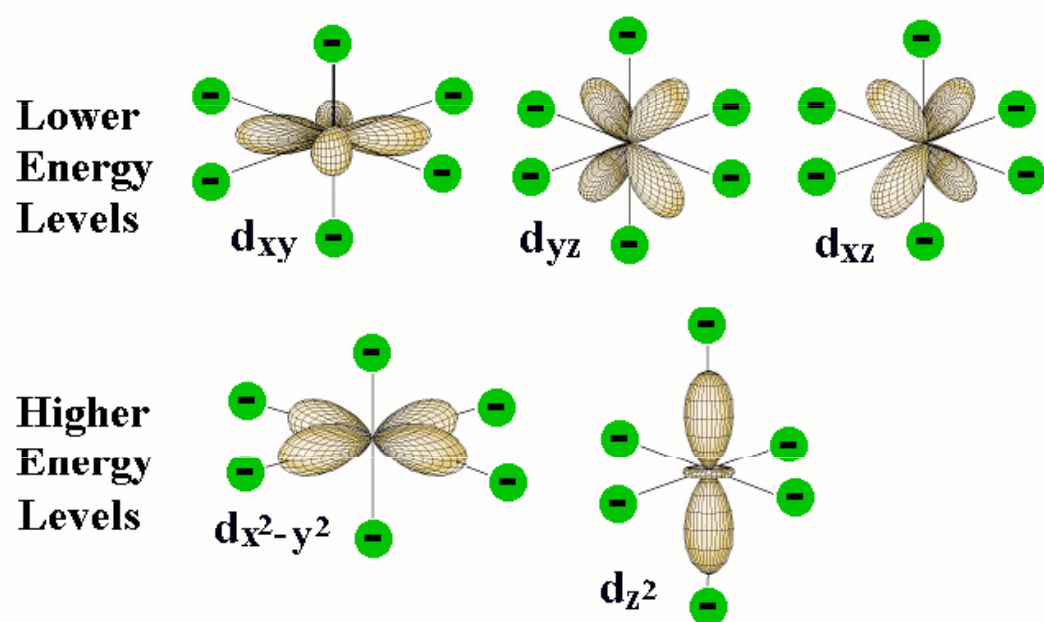
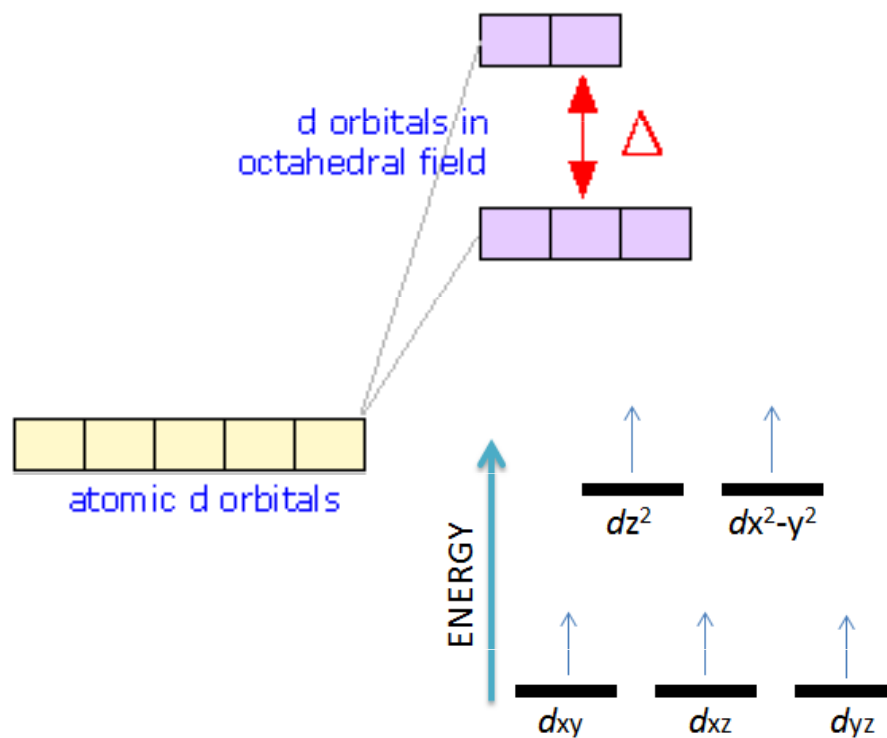
©NCSSM 2003

$[\text{Co}(\text{NH}_3)_6]^{3+}$ Octahedral complex sp^3d^2

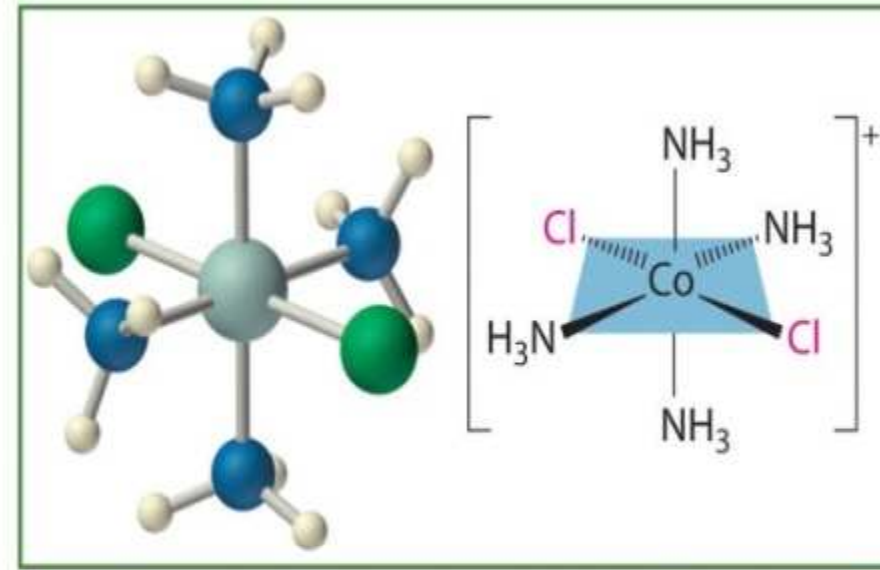


Inner orbital complex
Low spin complex
No unpaired electrons

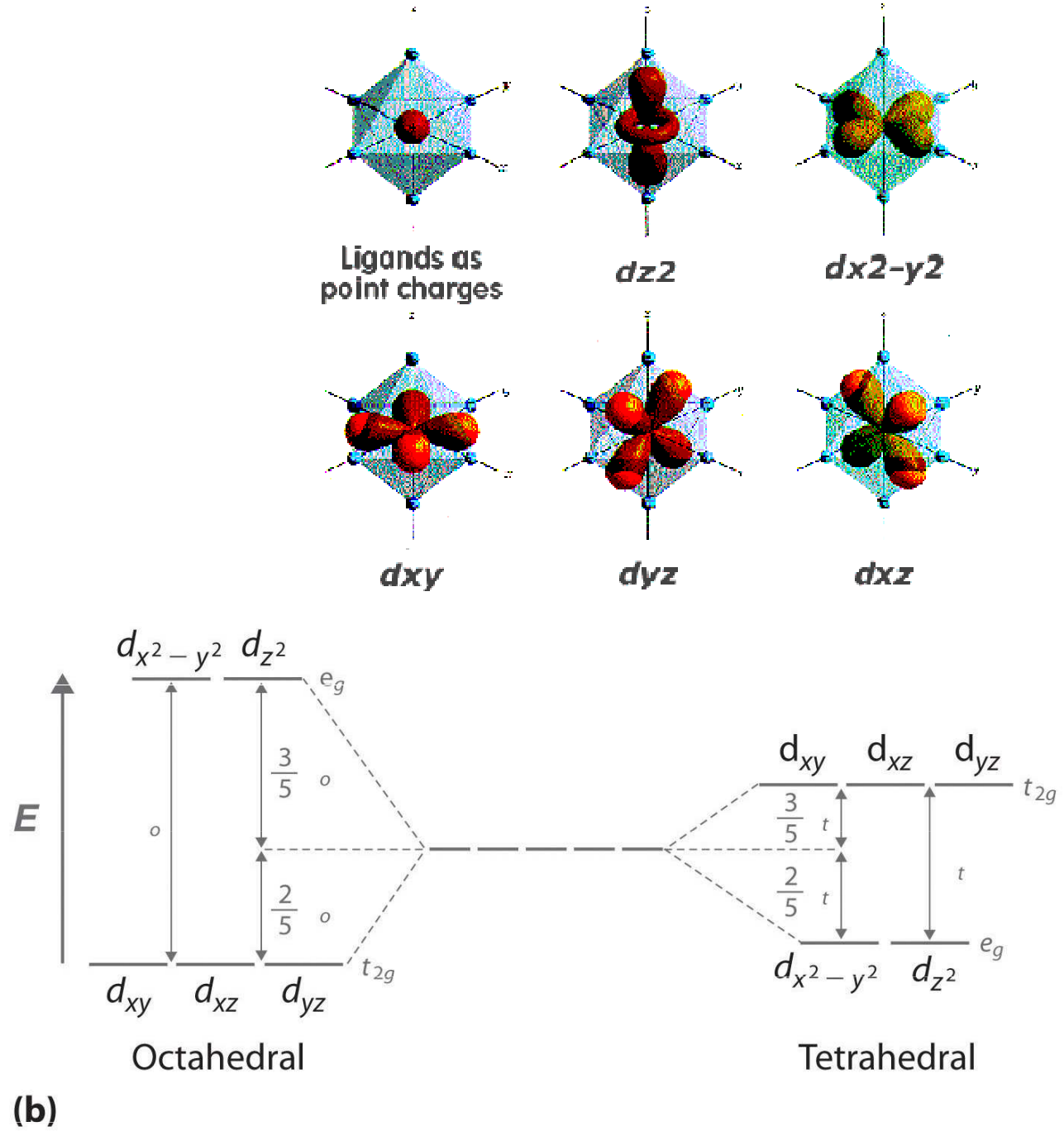
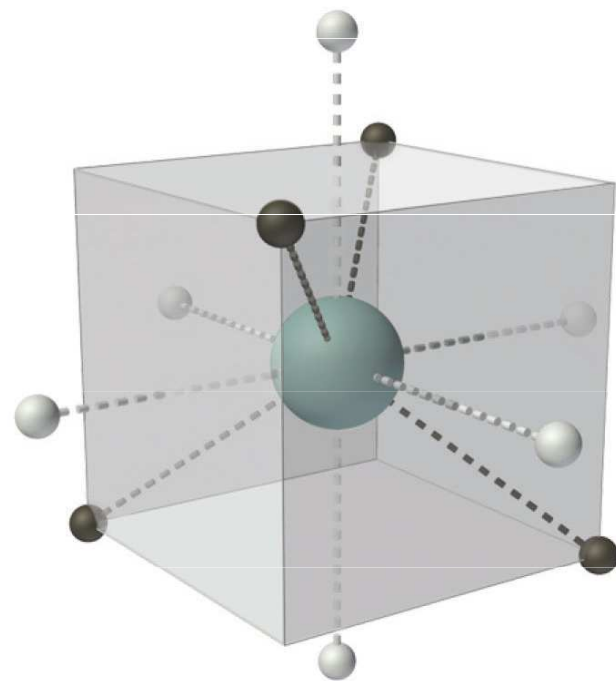
©NCSSM 2003



(a) Red form



(b) Green form



Aplikace teorie ligandového pole

Magnetické vlastnosti

- přibližně určeny počtem nepárových elektronů
- podle multiplicity dělíme komplexy na nízkospinové a vysokospinové (diamagnetické a paramagnetické)

Např. pro oktaedrické komplexy Fe^{2+} (d^6) platí:

$[\text{Fe}(\text{H}_2\text{O})_6]^{2+}$ = vysokospinový komplex ($D < p$ = energie párování)

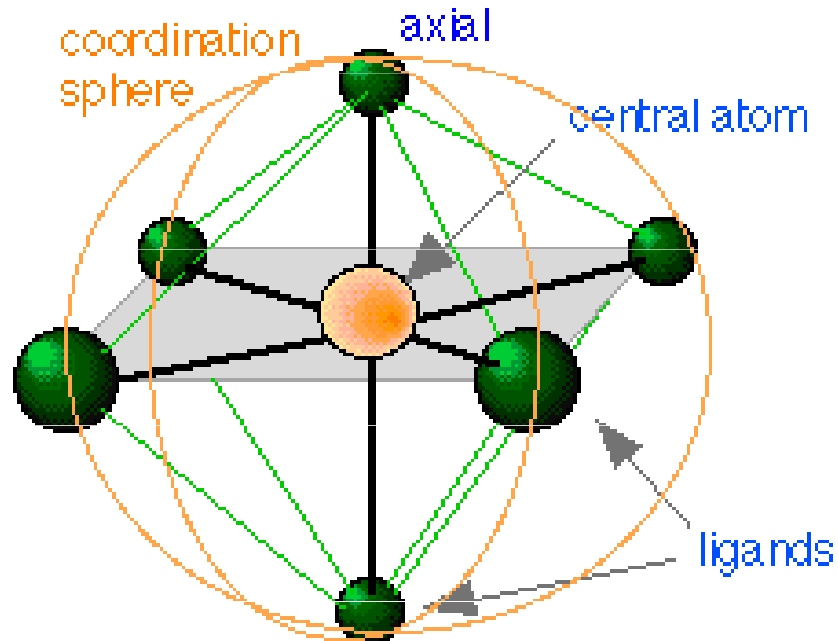
$[\text{Fe}(\text{CN})_6]^{4-}$ = nízkospinový komplex ($D > p$)

(vliv ligandu, postavení ve spektr. řadě)

$[\text{Fe}(\text{H}_2\text{O})_6]^{2+}$ = vysokospinový komplex

$[\text{Co}(\text{H}_2\text{O})_6]^{3+}$ = nízkospinový komplex

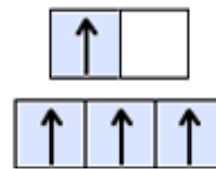
(vliv ox. čísla centrálního atomu)



d_1	d_2	d_3	d_4	d_5	d_6	d_7	d_8	d_9	d_{10}
Sc	Ti	V	Cr	Mn	Fe	Co	Ni	Cu	Zn
Y	Zr	Nb	Mo	Tc	Ru	Rh	Pd	Ag	Cd
La	Hf	Ta	W	Re	Os	Ir	Pt	Au	Hg
3	4	5	6	7	8	9	10	11	12

High spin:
weak-field ligand

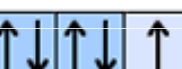
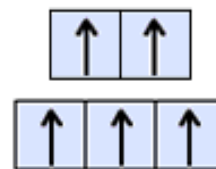
d^4



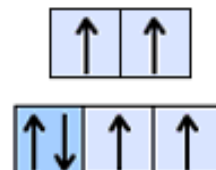
Low spin:
strong-field ligand



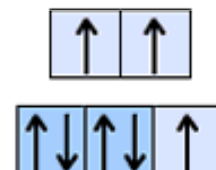
d^5



d^6

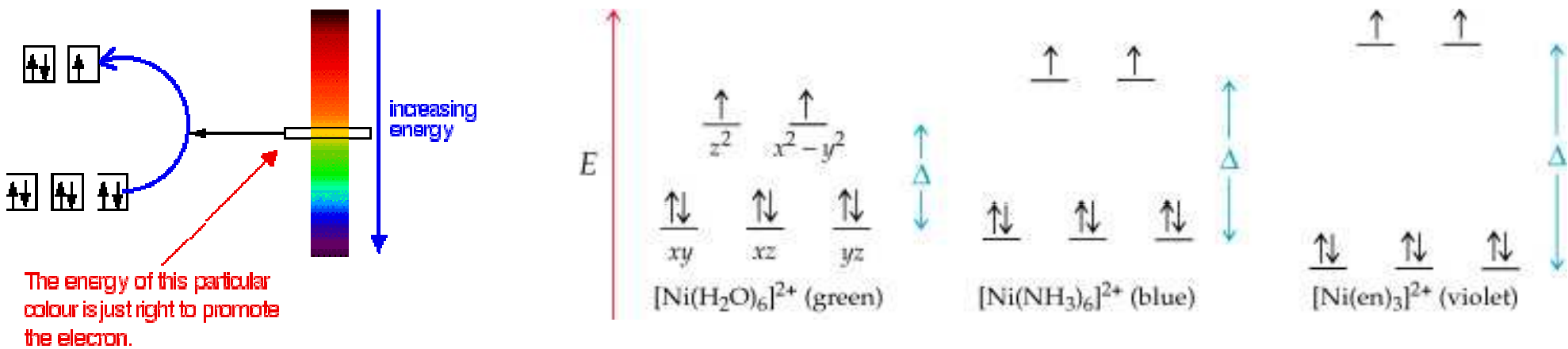


d^7



Elektronová spektra a zbarvení komplexů

- síla ligandového pole často odpovídá energii viditelného záření 13000 - 25000 cm⁻¹ což vede k barevnosti většiny sloučenin přechodných kovů (v absorpčních spektrech absorpční pásy tzv. d-d přechodů)



Např. zabarvení derivátů kationtu $[\text{Co}(\text{NH}_3)_6]^{3+}$, ve kterých je molekula NH₃ substituována ligandem, který stojí ve spektrochemické řadě vlevo od NH₃. S klesající silou průměrného ligandového pole se mění zabarvení:

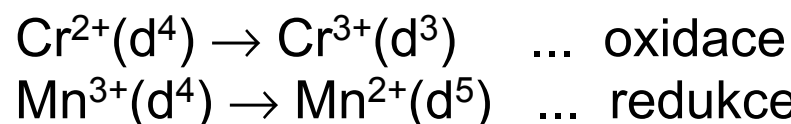
$[\text{Co}(\text{NH}_3)_6]^{3+}$	žlutý
$[\text{Co}(\text{NH}_3)_5\text{Cl}]^{2+}$	červený
$[\text{Co}(\text{NH}_3)_4\text{Cl}_2]^+$	fialový
$[\text{Co}(\text{NH}_3)_3\text{Cl}_3]$	modrý

Oxidačně-redukční stálost komplexů

Z možných el. konfigurací má univerzální stabilizační vliv konfigurace d^0 a d^{10} . Ostatní závisí na symetrii a síle ligandového pole.

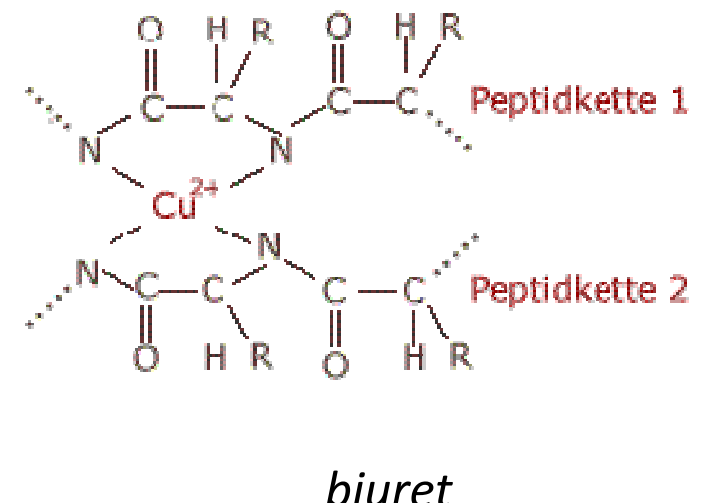
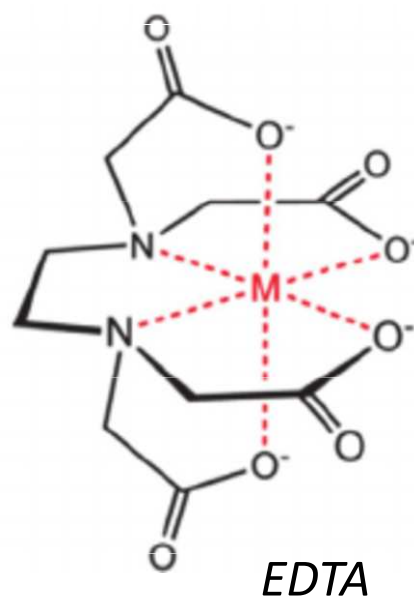
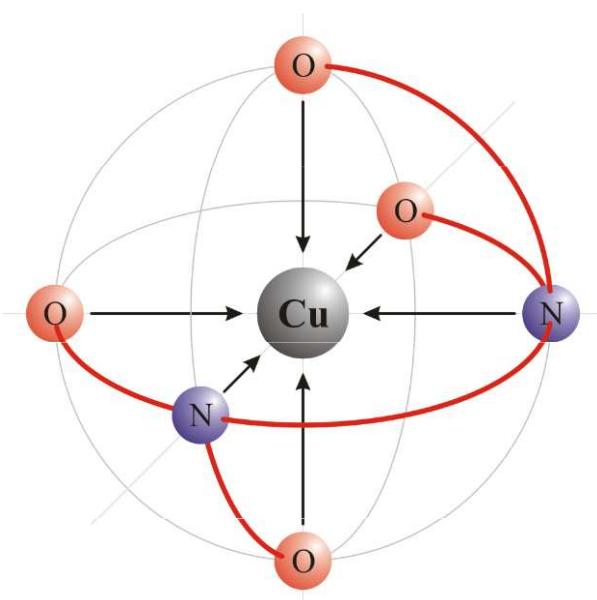
Např. pro oktaedrické komplexy se slabým ligandovým polem je velmi stálá konfigurace d^5 s vysokospinovým uspořádáním (Mn^{2+} , Fe^{3+}), nebo d^3 (Cr^{3+}).

Při silném ligandovém poli je stálá konfigurace d^6 , která odpovídá obsazení všech orbitalů t_{2g} . V případě, že el. konfigurace leží mezi uvedenými, je nestálá např.:



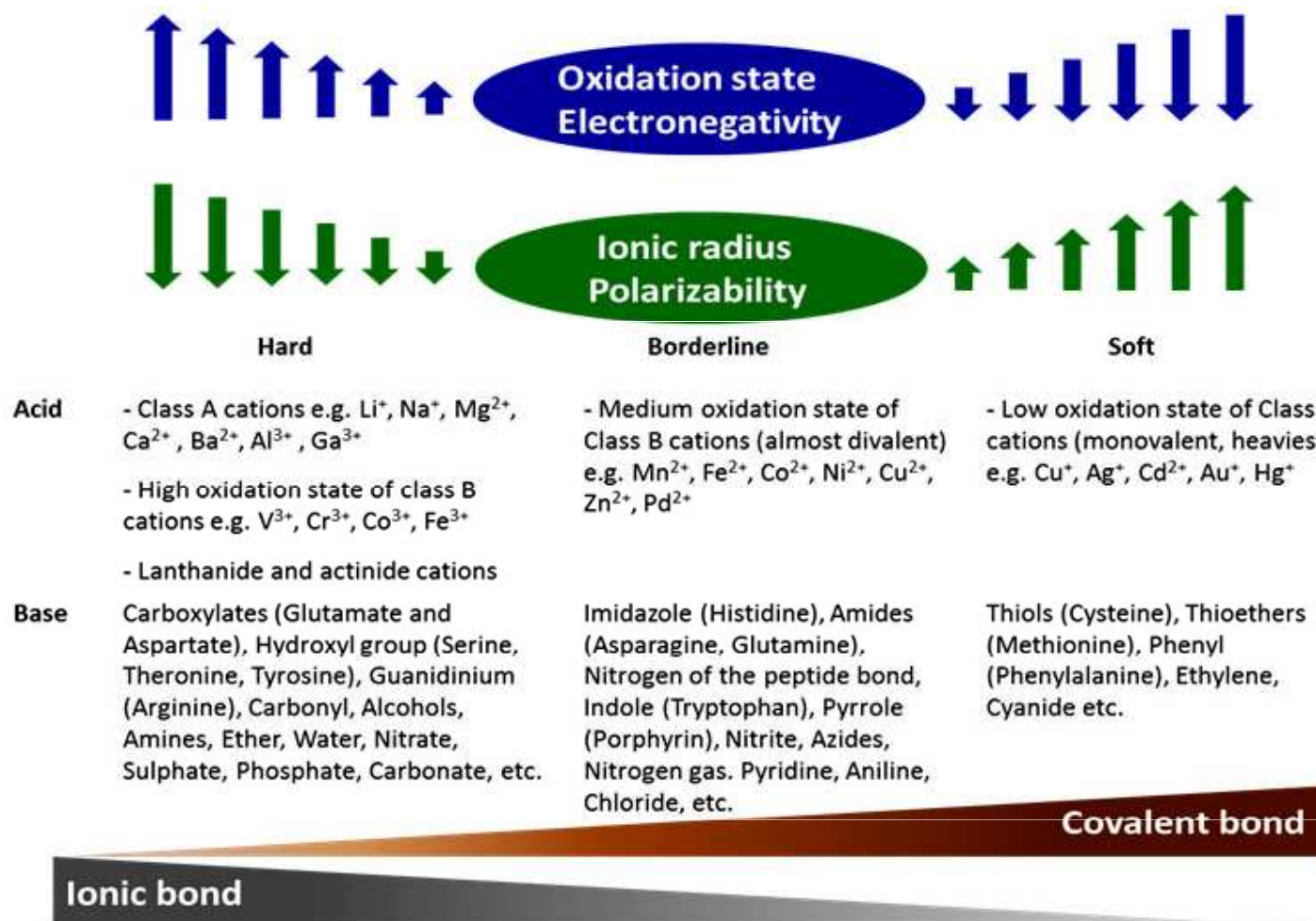
Cheláty

Cheláty (chelátové komplexy) mají na jeden centrální atom navázané dva či více donorových atomů téhož ligandu. Chelatotvorné činidlo je organická látka, která poskytuje nejméně dva volné elektronové páry na vznik dativní vazby. Některá tato činidla se používají v analytické chemii, např. *EDTA* (etylendiamintetraoctová kyselina a její soli), *biuret* a jiné. Řada chelatotvorných činidel se používá v medicíně při akutních otravách kationty některých dvoj- i trojmocných kovů, k jejich vyvázání a odstranění z organismu. Fyziologicky významné jsou též chelátové struktury u mnohých enzymů, dále pak např. hemoglobin, chlorofyl a jiné biologické pigmenty.



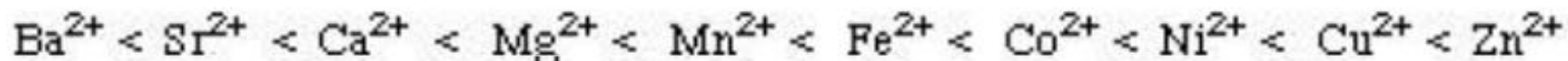
Popis vazby mezi ligandy a centrální částicí v koordinační chemii pomocí HSAB

Teorie HSAB dobře popisuje výběr ligandů k centrálním částicím v komplexních (koordinačních) sloučeninách. Obecně platí, že centrální částice (atom přechodného kovu, případně jeho kation) je Lewisovou kyselinou a ligandy pak Lewisovými zásadami. Stabilní jsou takové komplexy, v nichž se váže tvrdá Lewisovou kyselina s tvrdou Lewisovou zásadou (a měkká s měkkou).



Popis vazby mezi ligandy a centrální částicí v koordinační chemii pomocí HSAB

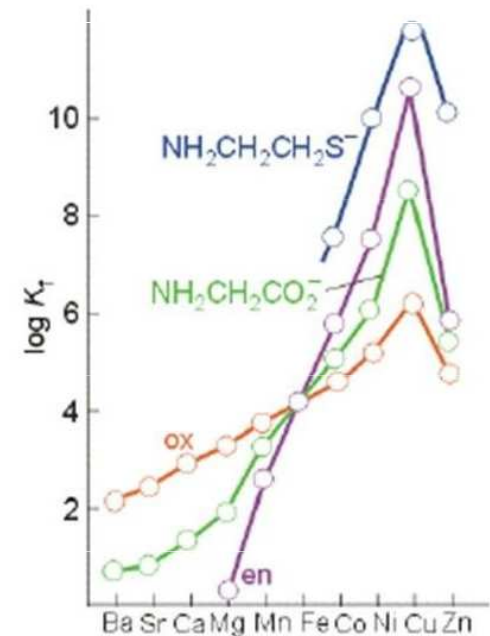
1. Irving-Williamsova řada stability:



hard acids → soft acids

2. Určité ligandy tvoří nejstabilnější komplexy s kationty jako jsou Al^{3+} , Ti^{4+} nebo Co^{3+} , zatímco jiné tvoří stabilní komplexy s Ag^+ , Hg^{2+} nebo Pt^{2+} .

	Acids	Bases
Hard	H^+ , Li^+ , Na^+ , K^+ , Be^{2+} , Mg^{2+} , Fe^{3+} , Ca^{2+} , Cr^{2+} , Cr^{3+} , Al^{3+} , SO_3 , BF_3	F^- , OH^- , H_2O , NH_3 , CO_3^{2-} , NO_3^- , O^{2-} , SO_4^{2-} , PO_4^{3-} , ClO_4^-
Borderline	Fe^{2+} , Co^{2+} , Ni^{2+} , Cu^{2+} , Zn^{2+} , Pb^{2+} , SO_2 , BBr_3	NO_2^- , SO_3^{2-} , Br^- , N_3^- , N_2 , $\text{C}_6\text{H}_5\text{N}$, SCN^-
Soft	Cu^+ , Au^+ , Ag^+ , Tl^+ , Hg^{2+} , Pd^{2+} , Cd^{2+} , Pt^{2+} , Hg^{2+} , BH_3	H^- , R^- , CN^- , CO , I^- , SCN^- , R_3P , C_6H_5 , R_2S



Příklad

Enterobactin je molekula používaná určitými bakteriemi k zachycování Fe(III) a jeho transportu do buňky (siderofor). Konstanta stability (formation constant) komplexu Fe(III)-enterobactin je cca 10^{49} . Vysvětlete vysokou hodnotu konstanty.

Řešení

Fe(III) jako HA se váže silně na donory kyslíku. Enterobactin má několik donorů kyslíku schopných vázat železo - dvojice OH skupin na každém ze 3 benzenových jader enterobactinu (catecholy). Vzhledem k velké vzájemné vzdálenosti catecholových skupin v enterobactinu, je dostatečný prostor k chelataci iontu železa molekulou enterobactinu a vzniku chelátu s vysokou konstantou stability.

